МИНИСТЕРСТВО ПРИРОДНЫХ РЕСУРСОВ И ЭКОЛОГИИ
РОССИЙСКОЙ ФЕДЕРАЦИИ

ФЕДЕРАЛЬНОЕ АГЕНТСТВО ПО НЕДРОПОЛЬЗОВАНИЮ

ФЕДЕРАЛЬНОЕ ГОСУДАРСТВЕННОЕ БЮДЖЕТНОЕ УЧРЕЖДЕНИЕ
«ГИДРОСПЕЦГЕОЛОГИЯ»

ЦЕНТР ГОСУДАРСТВЕННОГО МОНИТОРИНГА СОСТОЯНИЯ НЕДР И РЕГИОНАЛЬНЫХ РАБОТ

ИНФОРМАЦИОННАЯ СВОДКА

О ПРОЯВЛЕНИЯХ ЭКЗОГЕННЫХ ГЕОЛОГИЧЕСКИХ ПРОЦЕССОВ НА ТЕРРИТОРИИ РОССИЙСКОЙ ФЕДЕРАЦИИ

2 КВАРТАЛ 2022



МОСКВА, 2022

МИНИСТЕРСТВО ПРИРОДНЫХ РЕСУРСОВ И ЭКОЛОГИИ РОССИЙСКОЙ ФЕДЕРАЦИИ

ФЕДЕРАЛЬНОЕ АГЕНТСТВО ПО НЕДРОПОЛЬЗОВАНИЮ

ФЕДЕРАЛЬНОЕ ГОСУДАРСТВЕННОЕ БЮДЖЕТНОЕ УЧРЕЖДЕНИЕ "ГИДРОСПЕЦГЕОЛОГИЯ"

ЦЕНТР ГОСУДАРСТВЕННОГО МОНИТОРИНГА СОСТОЯНИЯ НЕДР И РЕГИОНАЛЬНЫХ РАБОТ

ИНФОРМАЦИОННАЯ СВОДКА О ПРОЯВЛЕНИЯХ ЭКЗОГЕННЫХ ГЕОЛОГИЧЕСКИХ ПРОЦЕССОВ НА ТЕРРИТОРИИ РОССИЙСКОЙ ФЕДЕРАЦИИ ЗА II КВАРТАЛ 2022 Г.

Зам. генерального директора
ФГБУ "Гидроспецгеология" - директор
Центра ГМСН и региональных работ — **С. В. Спектор**

Начальник отдела мониторинга ЭГП
Центра ГМСН и региональных работ — **А. А. Вожик**

Москва, 2022

ОГЛАВЛЕНИЕ

ВВЕДЕНИЕ……3

Краткая информация о случаях активизации экзогенных геологических процессов, зафиксированных во II квартале 2022 г. на территории Российской Федерации 4

Северо-западный федеральный округ 4

Центральный федеральный округ 5

Южный федеральный округ 6

Северо-Кавказский федеральный округ 6

Приволжский федеральный округ 7

Уральский федеральный округ.....9

Сибирский федеральный округ 9

Дальневосточного федеральный округ.....10

ЗАКЛЮЧЕНИЕ……..12

ПРИЛОЖЕНИЕ 1 Карта случаев активизаций опасных экзогенных геологических процессов, зафиксированных на территории Российской Федерации во II квартале 2022 г.....13

ПРИЛОЖЕНИЕ 2 Данные об активизациях экзогенных геологических процессов на территории Российской Федерации в II квартале 2022 г. 14

ПРИЛОЖЕНИЕ 3 Фотоматериалы 159

Сводка подготовлена в отделе мониторинга
экзогенных геологических процессов
Центра ГМСН и региональных работ
ФГБУ «Гидроспецгеология».

Составители: Голубев С.А., Заботкин А.А., Королев Е.Ю.

ВВЕДЕНИЕ

Обобщение и анализ информации об активизациях опасных экзогенных геологических процессов (далее – ЭГП) и последствиях их воздействий на населенные пункты и хозяйственные объекты по территории Российской Федерации во II квартале 2022 г. выполнены Центром государственного мониторинга состояния недр и региональных работ ФГБУ «Гидроспецгеология» на основании оперативных материалов и информационных сводок, представленных Северо-Западным, Центральным, Южным, Северо-Кавказским, Приволжским, Уральским, Сибирским и Дальневосточным региональными центрами Государственного мониторинга состояния недр (далее – ГМСН).

В текстовой части информационной сводки о проявлениях ЭГП на территории Российской Федерации за II квартал 2022 г. представлено краткое описание случаев активизаций опасных ЭГП, факторов их развития и описание негативных воздействий на населенные пункты, хозяйственные объекты и объекты инфраструктуры, а также земли различного назначения. В приложении 2 к информационной сводке представлено подробное описание случаев активизаций опасных ЭГП, административная и координатная привязки случаев активизаций, в том числе сопровождавшихся фотоматериалами. В приложении 3 представлены фотоматериалы в более наглядном формате.

Местоположение случаев активизаций опасных ЭГП, зафиксированных на территории Российской Федерации во II квартале 2022 г. представлено в приложении 1. Кроме того, местоположение и описание случаев активизаций опасных ЭГП отражено на интерактивной карте проявлений ЭГП, которая представлена на официальном сайте Центра ГМСН и региональных работ geomonitoring.ru – http://geomonitoring.ru:13159/

Краткая информация о случаях активизации экзогенных геологических процессов, зафиксированных во II квартале 2022 г. на территории Российской Федерации

Северо-западный федеральный округ

В целом во II квартале 2022 г. на территории Северо-Западного федерального округа было зафиксировано 43 случая активизации опасных ЭГП, в том числе: 29 случая оползневого процесса, 9 – комплекса криогенных процессов, по 2 случая активизации обвального и осыпного процессов, а также 1 случай – эоловых процессов. Всего отмечено 33 случая активизации, сопровождавшихся воздействием на объекты и земли различного назначения. Во II квартале 2022 г. развитие процессов в основном происходило под влиянием природных (метеорологических, гидрогеологических, гидрологических), и в отдельных случаях – техногенного факторов.

Республика Карелия. На территории субъекта зафиксировано 4 случая активизации оползневого процесса, все из которых сопровождались воздействием на объекты инфраструктуры и земли водного фонда. Основные факторы активизации: гидрометеорологический, гидрогеологический, гидрологический и техногенный.

Республика Коми. На территории республики во II квартале 2022 г. зафиксировано 8 случаев активизации комплекса криогенных процессов, которые не сопровождались воздействием на объекты инфраструктуры, земли различного назначения, а также здания и сооружения. Факторы активизации опасных ЭГП: гидрометеорологический, техногенный.

Калининградская область. На территории области было зафиксировано 3 случая активизации оползневого процесса, все из которых сопровождались негативным воздействием на объекты инфраструктуры, а также земли водного фонда. Основные факторы активизации: гидрометеорологический, гидрогеологический, гидрологический.

Ленинградская область. На территории Ленинградской области во II квартале 2022 г. отмечалось 2 случая активизации оползневого процесса, сопровождавшихся воздействием на здания и сооружения (1 случай) и объекты инфраструктуры (1 случай). Развитие процессов происходило под влиянием как природных (метеорологических, гидрогеологических), так и техногенных факторов.

Мурманская область. На территории Мурманской области отмечено 3 случая активизации опасных ЭГП: 2 случая – оползневого процесса, и 1 случай – обвального, при этом оба случая активизации оползневого процесса сопровождались воздействием на объекты инфраструктуры (автодороги). Активизация происходила под влиянием природного (гидрометеорологический), а также техногенного факторов.

Новгородская область. Во II квартале 2022 г. на территории Новгородской области было зафиксировано 13 случаев активизации опасных ЭГП, в том числе: 10 случаев активизации оползневого процесса, 2 случая – осыпного процесса, и 1 случай – обвального процесса. При этом, в 12 случаях отмечалось воздействие на здания и сооружения, объекты инфраструктуры, а также земли различного назначения. Активизация происходила под влиянием природных (метеорологических, гидрогеологических, гидрологических) факторов, и в ряде случаев – техногенного.

г. Санкт-Петербург. На территории субъекта было зафиксировано 6 случаев активизации оползневого процесса, все из которых сопровождались воздействием на объекты инфраструктуры. Активизация происходила под влиянием природных (метеорологических, гидрогеологических, гидрологических) факторов, и в ряде случаев – техногенного.

Ненецкий автономный округ. В целом на территории Ненецкого автономного округа было зафиксировано 4 случая активизации опасных ЭГП, в том числе: 2 случая активизации оползневого процесса, а также по 1 случаю – процесса криогенного пучения и эоловых процессов. При этом, все случаи активизации сопровождались воздействием на здания и сооружения, а также объекты инфраструктуры. Активизация происходила под влиянием природного (гидрометеорологический), а также техногенного факторов.

Центральный федеральный округ

Всего во II квартале 2022 г. на территории Центрального федерального округа зафиксировано 17 случаев активизации опасных ЭГП, 2 из которых сопровождались воздействием на объекты инфраструктуры. Так, во II квартале 2022 г. отмечалось 15 случаев активизации оползневого процесса, и 2 случая – процесса овражной эрозии. В основном активизация процессов происходила под влиянием природных факторов (гидрометеорологического, гидрогеологического и гидрологического).

Брянская область. Во II квартале 2022 г. на территории области было отмечено 3 случая активизации оползневого процесса, один из которых сопровождался воздействием на пешеходную дорогу с покрытием. Основным фактором активизации стал гидрометеорологический.

Владимирская область. На территории области во II квартале 2022 г. был отмечен 1 случай активизации оползневого процесса. Воздействия на населенные пункты, объекты инфраструктуры и земли различного назначения не отмечались. Основные факторы активизации – гидрометеорологический и гидрологический.

Калужская область. На территории области во II квартале 2022 г. был отмечен 1 случай активизации оползневого процесса. Воздействия на объекты инфраструктуры, здания и сооружения, а также земли различного назначения не отмечалось. Основным фактором активизации стал гидрометеорологический.

Костромская область. На территории субъекта было зафиксировано 2 случая активизации оползневого процесса Воздействия на объекты инфраструктуры, здания и сооружения, а также земли различного назначения не отмечалось. Основным фактором активизации стал гидрометеорологический.

Липецкая область. Во II квартале 2022 г. на территории области было зафиксировано 2 случая активизации процесса овражной эрозии, один из которых сопровождался воздействием на автодорогу без покрытия. Основной фактор активизации в обоих случаях – гидрометеорологический.

г. Москва. На территории г. Москва произошло 2 случая активизации оползневого процесса, которые не сопровождались воздействием на объекты инфраструктуры, здания и сооружения, а также земли различного назначения. Основной фактор активизации – гидрометеорологический.

Московская область. На территории субъекта был зафиксирован один случай активизации оползневого процесса, не сопровождавшийся воздействием на объекты инфраструктуры, здания и сооружения, а также земли различного назначения. Основные факторы активизации процесса: гидрометеорологический, гидрогеологический.

Смоленская область. На территории области во II квартале 2022 г. было отмечено 3 случая активизации оползневого процесса, которые не сопровождались воздействием на объекты инфраструктуры, здания и сооружения, а также земли различного назначения. Основными факторами активизации стали гидрометеорологический и гидрологический.

Ярославская область. На территории области было зафиксировано 2 случая активизации оползневого процесса. В обоих случаях воздействия на объекты

инфраструктуры, здания и сооружения, а также земли различного назначения не отмечалось. Основные факторы активизации процесса: гидрометеорологический, гидрогеологический.

Южный федеральный округ

Во II квартале 2022 г. на территории Южного федерального округа было зафиксировано 190 случаев активизации опасных ЭГП, в том числе 166 случаев активизации оползневого процесса, и 24 – обвального процесса. В 86 случаях активизация сопровождалась воздействием на здания и сооружения, объекты инфраструктуры и земли различного назначения. Во II квартале 2022 г. развитие процессов в основном происходило под влиянием преимущественно природных (гидрометеорологический, гидрогеологический, гидрологический), но также и техногенного факторов. На территории Краснодарского края было введено 13 режимов ЧС, все из которых имели муниципальный характер.

Республика Адыгея. Во II квартале зафиксировано 37 случаев активизации опасных ЭГП, в том числе: 25 случаев активизации оползневого процесса, и 12 – обвального. При этом в 12 случаях отмечалось воздействие на здания и сооружения, а также объекты инфраструктуры. Основные факторы активизации: гидрометеорологический, гидрологический, техногенный. Режимов чрезвычайной ситуации, связанных с активизацией опасных ЭГП, на территории субъекта не вводилось.

Краснодарский край. В II квартале 2022 г. зафиксировано 129 случаев активизации опасных ЭГП, в том числе: 123 случая активизации оползневого процесса, и 6 – обвального. В 72 случаях отмечалось воздействие на здания и сооружения, а также объекты инфраструктуры. Основной фактор активизации опасных ЭГП – гидрометеорологический. На территории Краснодарского края было введено 13 режимов ЧС, все из которых имели муниципальный характер.

Волгоградская область. Во II квартале 2022 г. на территории Волгоградской области было зафиксировано 5 случаев активизации обвального процесса, ни один из которых не сопровождался воздействием на объекты инфраструктуры, здания и сооружения, а также земли различного назначения. Основные факторы активизации опасного ЭГП: гидрометеорологический, гидрологический.

Республика Крым. На территории республики было зафиксировано 17 случаев активизации опасных ЭГП, в том числе: 16 случаев – оползневого процесса, и 1 – обвального процесса. При этом, в 2 случаях отмечалось воздействие на объекты инфраструктуры. В основном, активизация опасных ЭГП проходила под влиянием природных факторов (гидрометеорологический, гидрологический, гидрогеологический).

г. Севастополь. В пределах г. Севастополь во II квартале 2022 г. зафиксировано 2 случая активизации оползневого процесса, которые не сопровождались воздействием на объекты инфраструктуры, здания и сооружения, а также земли различного назначения. Основные факторы активизации: гидрометеорологический, техногенный.

Северо-Кавказский федеральный округ

В целом по округу во II квартале 2022 г. выявлено 168 случаев активизации опасных ЭГП, в том числе 123 – оползневого процесса, 26 – обвального процесса, 12 – обвально-осыпных процессов, и 7 – процесса подтопления. Всего зафиксировано 88 случаев воздействия опасных ЭГП на объекты инфраструктуры, земли лесного фонда, а также здания и сооружения. Основные факторы активизации опасных ЭГП: гидрометеорологический и техногенный, в меньшей степени – гидрогеологический и гидрологический.

Республика Дагестан. Во II квартале 2022 г. на территории Республики Дагестан было зафиксировано 38 случаев активизации опасных ЭГП, в том числе: 24 случая активизации обвального процесса, и 14 случаев – оползневого процесса. Воздействие

опасных ЭГП на здания и сооружения, а также объекты инфраструктуры отмечалось в 33 случаях. Основными факторами активизации опасных ЭГП стали гидрометеорологический и техногенный.

Республика Ингушетия. На территории субъекта было выявлено 2 случая активизации оползневого процесса, оба из которых сопровождались воздействием на объекты инфраструктуры. Основным фактором активизации процессов на территории Республики Ингушетия стал гидрометеорологический.

Кабардино-Балкарская Республика. Во II квартале 2022 г. было отмечено 7 случаев активизации опасных ЭГП, из них 5 – оползневого процесса и 2 – обвального процесса. При этом, в 5 случаях отмечалось воздействие на объекты инфраструктуры. Основные факторы активизации: гидрометеорологический, гидрогеологический и гидрологический.

Карачаево-Черкесская Республика. Во II квартале 2022 г. на территории республики было зафиксировано 13 случаев активизации опасных ЭГП, в том числе: 7 случаев активизации процесса подтопления, 5 случаев – оползневого процесса, и 1 случай – обвально-осыпных процессов. При этом, в 9 случаях отмечалось воздействие на земли различного назначения, здания и сооружения, а также объекты инфраструктуры. Основные факторы активизации: гидрометеорологический, гидрогеологический и техногенный.

Республика Северная Осетия-Алания. На территории субъекта зафиксировано 36 случаев активизации опасных ЭГП, в том числе: 25 случаев активизации оползневого процесса, и 11 случаев – обвально-осыпных процессов. В 14 случаях отмечалось воздействие на объекты инфраструктуры. Основные фактора активизации опасных ЭГП на территории республики: гидрометеорологический и техногенный.

Чеченская Республика. Во II квартале 2022 г. на территории Чеченской Республики было зафиксировано 33 случая активизации оползневого процесса, в 16 из которых отмечалось воздействие на объекты инфраструктуры.

Ставропольский край. Во II квартале 2022 г. на территории края выявлено 39 случаев активизации оползневого процесса. Из них, в 9 случаях отмечалось воздействие на земли лесного фонда, и объекты инфраструктуры. Основные факторы активизации опасного ЭГП на территории Ставропольского края: гидрометеорологический, гидрогеологический, гидрологический, техногенный.

Приволжский федеральный округ

Всего на территории Приволжского федерального округа во II квартале 2022 г. было отмечено 58 случаев активизации опасных ЭГП, в том числе: 36 случаев активизации оползневого процесса, 14 случаев – процесса овражной эрозии, 6 случаев – карстово-суффозионных процессов, и 2 случая – процесса оседания и обрушения поверхности над горными выработками. При этом, в 21 случае зафиксировано воздействие на объекты инфраструктуры, земли различного назначения, а также здания и сооружения. Основные факторы активизации: гидрометеорологический, гидрогеологический, техногенный.

Республика Башкортостан. На территории Республики Башкортостан во II квартале 2022 г. было отмечено 9 случаев активизации опасных ЭГП, в том числе: 5 случаев активизации карстового процесса, и 4 случая – процесса овражной эрозии. Случаев воздействия опасных ЭГП на земли различного назначения, объекты инфраструктуры или здания и сооружения не зафиксировано. Основные факторы активизации: гидрометеорологический, гидрологический, техногенный.

Республика Марий Эл. В Республике Марий Эл во II квартале 2022 г. зафиксировано 4 случая активизации процесса овражной эрозии, которые не сопровождались воздействием на земли различного назначения, объекты инфраструктуры, а также здания и сооружения.

Основным фактором активизации опасных ЭГП на территории субъекта стал гидрометеорологический.

Республика Мордовия. В Республике Мордовия во II квартале 2022 г. зафиксировано 2 случая активизации оползневого процесса, один из которых сопровождался воздействием на объекты инфраструктуры. Основные факторы активизации опасных ЭГП на территории республики: гидрометеорологический, гидрогеологический, техногенный.

Республика Татарстан. Всего на территории Республики Татарстан во II квартале 2022 г. было зафиксировано 8 случаев активизации оползневого процесса, 6 из которых сопровождались воздействием на здания и сооружения, а также объекты инфраструктуры. Основные факторы активизации: гидрометеорологический, гидрогеологический.

Удмуртская Республика. На территории субъекта зафиксировано 4 случая активизации опасных ЭГП, в том числе: 3 случая активизации процесса овражной эрозии, и 1 случай – оползневого процесса. При этом, воздействия на земли различного назначения, объекты инфраструктуры, а также здания и сооружения не отмечалось. Основные факторы активизации: гидрометеорологический, техногенный.

Чувашская Республика. На территории субъекта зафиксировано 2 случая активизации оползневого процесса, оба из которых сопровождались воздействием на объекты инфраструктуры, а также здания и сооружения.

Пермский край. В Пермском крае во II квартале 2022 г. отмечались 2 случая активизации процесса оседания поверхности над горными выработками. На территории городов Березники и Соликамск продолжились процессы оседания земной поверхности над шахтным полем затопленного рудника БКПРУ-1 и на аварийном участке рудника СКРУ-2. Основной фактор активизации – техногенный.

Нижегородская область. В Нижегородской области во II квартале 2022 г. зафиксировано 2 случая активизации оползневого процесса. Оба случая сопровождались воздействием на земли различного назначения. Основные факторы активизации: гидрометеорологический, техногенный.

Оренбургская область. Всего на территории Оренбургской области было отмечено 4 случая активизации процесса овражной эрозии, которые не сопровождались воздействием на объекты инфраструктуры, земли различного назначения, а также здания и сооружения. Основной фактор активизации – гидрометеорологический.

Пензенская область. На территории субъекта зафиксировано 13 случаев активизации опасных ЭГП, в том числе: 12 случаев активизации оползневого процесса, и 1 случай – процесса овражной эрозии. При этом в 1 случае отмечалось воздействие на объекты инфраструктуры. Основной фактор активизации: гидрометеорологический.

Самарская область. На территории Самарской области во II квартале 2022 г. зафиксировано 3 случая активизации опасных ЭГП, в том числе: 2 случая активизации оползневого процесса, и 1 – карстово-суффозионных процессов. При этом, во всех случаях отмечалось воздействие на здания и сооружения, а также объекты инфраструктуры. Основные факторы активизации: гидрометеорологический, гидрологический, гидрогеологический, техногенный.

Саратовская область. На территории Саратовской области во II квартале 2022 г. зафиксировано 3 случая активизации оползневого процесса. При этом, во всех случаях отмечалось воздействие на здания и сооружения, а также объекты инфраструктуры. Основные факторы активизации – метеорологический (выпадение атмосферных осадков), гидрогеологический и техногенный.

Ульяновская область. На территории Ульяновской области во II квартале 2022 г. зафиксирован 1 случай активизации оползневого процесса, который сопровождался

воздействием на объекты инфраструктуры. Основной фактор активизации – гидрогеологический.

Уральский федеральный округ

В целом по округу во II квартале 2022 г. отмечалось 8 случаев активизации опасных ЭГП, в том числе: 4 случая активизации карстово-суффозионных процессов, 3 случая – оползневого процесса, и 1 – процесса овражной эрозии. При этом, 7 случаев активизации сопровождались воздействием на земли различного назначения, а также объекты инфраструктуры. Развитие опасных ЭГП происходило в основном под влиянием метеорологических и техногенного факторов.

Курганская область. Во II квартале 2022 г. на территории субъекта отмечался 1 случай активизации процесса овражной эрозии, который сопровождался воздействием на земли сельскохозяйственного назначения, а также объекты инфраструктуры. Основные факторы активизации – гидрометеорологический и техногенный.

На территории ***Свердловской области*** во II квартале 2022 г. зафиксировано 5 случаев активизации опасных ЭГП, в том числе: 4 случая – карстово-суффозионных процессов, и 1 случай – оползневого процесса. В 4 случаях отмечалось воздействие на земли сельскохозяйственного назначения. Основной фактор активизации – гидрометеорологический.

На территории ***Челябинской области*** во II квартале 2022 г выявлено 2 случая активизации оползневого процесса, оба из которых сопровождались воздействием на объекты инфраструктуры. Основные факторы активизации – гидрометеорологический, техногенный.

Сибирский федеральный округ

Всего на территории округа во II квартале 2022 г. было выявлен 131 случай активизаций опасных ЭГП, в том числе: 69 – овражной эрозии, 23 – подтопления, 19 – комплекса гравитационных процессов, 18 – оползневого процесса, а также по 1 случаю – обвального и обвально-осыпных процессов. 65 случаев активизации ЭГП сопровождались негативными воздействиями здания и сооружения, объекты инфраструктуры и земли различного назначения.

Республика Алтай. На территории Республики Алтай во II квартале 2022 г. зафиксировано 12 случаев активизации ЭГП: 11 случаев оползневого процесса, 1 – обвального процесса. Всего отмечено 5 случаев активизации ЭГП, сопровождавшихся воздействием на земли различного назначения, здания и сооружения, а также объекты инфраструктуры. Основные факторы активизации: гидрометеорологический, гидрологический, гидрогеологический и техногенный.

Республика Тыва. На территории Республики Тыва во II квартале 2022 г. зафиксировано 4 случая активизации опасных ЭГП: 2 случая – процесса овражной эрозии, и по 1 случаю – комплекса гравитационных процессов и обвально-осыпных процессов. Воздействие отмечено в 2 случаях на объекты инфраструктуры. Основной фактор активизации – гидрометеорологический.

Алтайский край. В Алтайском крае зафиксировано 33 случая активизации ЭГП: 26 случаев активизации процесса овражной эрозии, и 7 случаев – оползневого процесса. Воздействие на земли различного назначения отмечалось в 17 случаях. Основные факторы активизации: гидрометеорологический.

Красноярский край. В Красноярском крае зафиксировано 3 случая активизации ЭГП: 2 случая активизации процесса подтопления, и 1 случай – овражной эрозии. 2 случая активизации сопровождались воздействием на здания и сооружения. Основные факторы активизации: гидрометеорологический, гидрогеологический.

Иркутская область. На территории Иркутской области зафиксировано 26 случаев активизации ЭГП: 22 случая активизации овражной эрозии, 3 случая активизации процесса подтопления, и 1 случай – комплекса гравитационных процессов. Воздействие на земли различного назначения, а также здания и сооружения отмечалось в 10 случаях. Основные факторы активизации: гидрометеорологический.

Кемеровская область – Кузбасс. На территории субъекта зафиксировано 7 случаев активизации опасных ЭГП: по 3 случая активизации комплекса гравитационных процессов и процесса подтопления, и 1 случай – процесса овражной эрозии. В 5 случаях отмечалось воздействие на здания и сооружения, а также земли различного назначения. Основные факторы активизации – гидрометеорологический, гидрогеологический.

Новосибирская область. На территории Новосибирской области во II квартале 2022 г. зафиксировано 17 случаев активизации ЭГП: 11 случаев процессов подтопления, и по 3 случая активизации комплекса гравитационных процессов, и процесса овражной эрозии. При этом, все случаи сопровождались воздействием на земли различного назначения, а также здания и сооружения. Основные факторы активизации: гидрометеорологический, гидрогеологический.

Омская область. На территории Омской области во II квартале 2022 г. зафиксировано 15 случаев активизации ЭГП: 11 случаев активизации процессов овражной эрозии, 4 случая процесса подтопления. Всего отмечено 4 случая активизации ЭГП, сопровождавшихся воздействием на здания и сооружения, а также земли различного назначения. Основной фактор активизации – гидрометеорологический.

Томская область. На территории Томской области во II квартале 2022 г. зафиксировано 14 случаев активизации ЭГП: 11 случаев активизации гравитационного процесса, 3 случая активизации процесса овражной эрозии. Всего отмечено 3 случаев активизации ЭГП, сопровождавшихся воздействием на объекты инфраструктуры и земли различного назначения. Факторы активизации: гидрометеорологический, гидрологический.

Дальневосточного федеральный округ

Во II квартале 2022 г. на территории Дальневосточного федерального округа было зафиксировано 28 случаев активизации опасных ЭГП. Из них: 8 случаев активизации оползневого процесса, 7 – осыпного процесса, 6 – процесса овражной эрозии, 4 – обвально-осыпных процессов, 2 – процесса плоскостной эрозии, и 1 – комплекса гравитационных процессов. При этом, в 5 случаях отмечалось воздействие на объекты инфраструктуры. Основные факторы активизации – гидрометеорологический, гидрогеологический, гидрологический и техногенный.

Республика Бурятия. На территории Республики Бурятия во II квартале 2022 г. зафиксировано 4 случая активизации процесса овражной эрозии. Воздействий на земли различного назначения, объекты инфраструктуры или здания и сооружения не отмечалось. Основной фактор активизации – гидрометеорологический.

На территории ***Приморского края*** выявлено 12 случаев активизации процессов ЭГП, из них: 5 случаев активизации осыпного процесса, 5 – оползневого, и 2 – процесса овражной эрозии. При этом, 2 случая сопровождались воздействием на объекты инфраструктуры. Основной фактор активизации – гидрометеорологический, гидрогеологический и техногенный.

На территории ***Хабаровского края*** выявлено 9 случаев активизации, в том числе: 4 обвально-осыпных процессов, по 2 случая – осыпного процесса и процесса плоскостной эрозии, а также 1 случай комплекса гравитационных процессов. Три случая сопровождались негативными воздействием на объекты инфраструктуры. Основной фактор активизации – гидрометеорологический, техногенный.

На территории ***Забайкальского края*** во II квартале 2022 г. было выявлено 3 случая активизации оползневого процесса, все из которых сопровождались воздействием на объекты инфраструктуры. Основные факторы активизации: гидрометеорологический, техногенный.

ЗАКЛЮЧЕНИЕ

Во II квартале 2022 г. при ведении государственного мониторинга за опасными ЭГП на территории Российской Федерации было зафиксировано активное развитие, преимущественно, оползневого процесса.

Всего выявлено 643 случаев активизации опасных ЭГП, из них:

- 190 – на территории Южного федерального округа;
- 168 – на территории Северо-Кавказского федерального округа;
- 131– на территории Сибирского федерального округа;
- 58 – на территории Приволжского федерального округа;
- 43 – на территории Северо-Западного федерального округа;
- 28 – на территории Дальневосточного федерального округа;
- 17 – на территории Центрального федерального округа;
- 8 – на территории Уральского федерального округа.

Наибольшее количество активизировавшихся проявлений наблюдалось:

- оползневого процесса – 398;
- овражной эрозии – 92;
- обвального процесса – 53.

Также отмечались случаи активизации криогенных процессов, комплекса гравитационных процессов, карстового, суффозионного и карстово-суффозионных процессов, процесса подтопления, осыпного и обвально-осыпного процесса, плоскостной эрозии и процесса оседания и обрушения поверхности над горными выработками.

Из 643 случаев активизации опасных ЭГП, выявленных на всей территории Российской Федерации во II квартале 2022 г., 307 случаев сопровождались негативным воздействием на объекты капитального строительства, линейные объекты и земли различного назначения. Наибольшее количество случаев воздействия опасных ЭГП было зафиксировано на территории Северо-Кавказского федерального округа (88 случаев).

Во II квартале 2022 г. вследствие активизации оползневых процессов были объявлены 13 режимов ЧС муниципального уровня. Так, режимы ЧС муниципального уровня были введены в Краснодарском крае (МО г. Сочи).

ФЕДЕРАЛЬНОЕ АГЕНТСТВО ПО НЕДРОПОЛЬЗОВАНИЮ
ФГБУ "Гидроспецгеология"

КАРТА СЛУЧАЕВ АКТИВИЗАЦИИ ОПАСНЫХ ЭКЗОГЕННЫХ ГЕОЛОГИЧЕСКИХ ПРОЦЕССОВ, ЗАФИКСИРОВАННЫХ НА ТЕРРИТОРИИ РОССИЙСКОЙ ФЕДЕРАЦИИ В II КВАРТАЛЕ 2022 г.

2022 г.

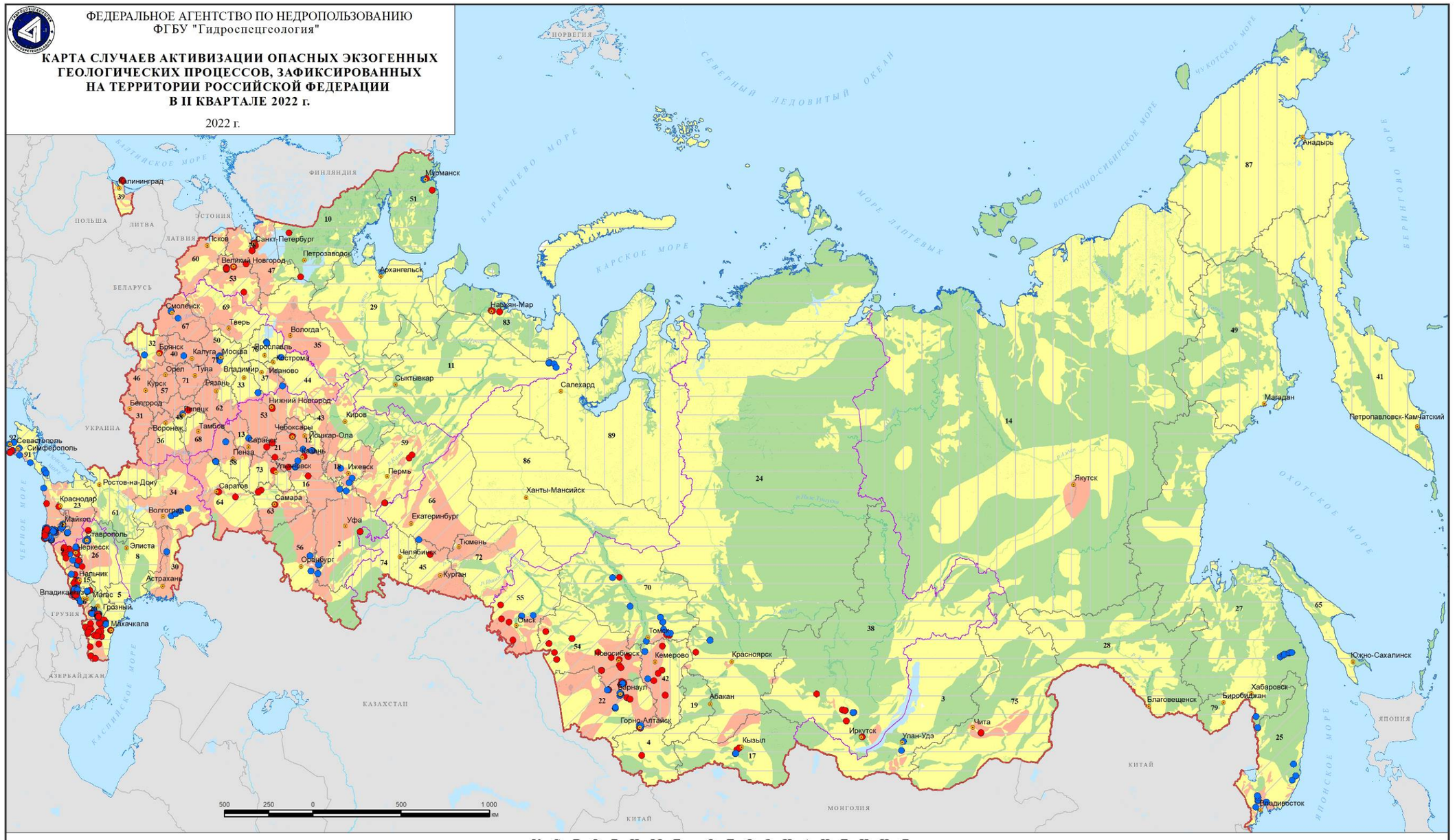

У С Л О В Н Ы Е О Б О З Н А Ч Е Н И Я

1. Зоны риска воздействий ЭГП на населенные пункты и хозяйственные объекты

- Зона незначительного риска
- Зона умеренного риска
- Зона высокого риска

2. Проявления опасных ЭГП

- Без негативного воздействия ЭГП на населенные пункты и хозяйственные объекты
- Сопровождавшиеся негативными воздействиями ЭГП на населенные пункты и хозяйственные объекты

3. Границы

- Российской Федерации
- Федеральных округов Российской Федерации
- 58 — Субъектов Российской Федерации

2. Плотность населения, чел/км²

- < 1
- 1-10
- 10-25
- 25-50
- 50-75
- 75-150
- 3000-10000

4. Субъекты Российской Федерации

Республики:
1. Адыгея
2. Башкортостан
3. Бурятия
4. Алтай
5. Дагестан
6. Ингушетия
7. Кабардино-Балкарская
8. Калмыкия
9. Карачаево-Черкесская
10. Карелия
11. Коми
12. Марий Эл
13. Мордовия
14. Саха (Якутия)
15. Северная Осетия – Алания
16. Татарстан
17. Тыва
18. Удмуртская
19. Хакасия
20. Чеченская
21. Чувашская
91. Крым

Края:
22. Алтайский край
23. Краснодарский край
24. Красноярский край
25. Приморский край
26. Ставропольский край
27. Хабаровский край
41. Камчатский край
59. Пермский край
75. Забайкальский край

Области:
28. Амурская
29. Архангельская
30. Астраханская
31. Белгородская
32. Брянская
33. Владимирская
34. Волгоградская
35. Вологодская
36. Воронежская
37. Ивановская
38. Иркутская
39. Калининградская
40. Калужская
42. Кемеровская
43. Кировская
44. Костромская
45. Курганская
46. Курская
47. Ленинградская
48. Липецкая
49. Магаданская
50. Московская
51. Мурманская
52. Нижегородская
53. Новгородская
54. Новосибирская
55. Омская
56. Оренбургская
57. Орловская
58. Пензенская
60. Псковская
61. Ростовская
62. Рязанская
63. Самарская
64. Саратовская
65. Сахалинская
66. Свердловская
67. Смоленская
68. Тамбовская
69. Тверская
70. Томская
71. Тульская
72. Тюменская
73. Ульяновская
74. Челябинская
76. Ярославская

Города федерального значения:
77. Москва
78. Санкт-Петербург
92. Севастополь

Автономные области:
79. Еврейская

Автономные округа:
83. Ненецкий
86. Ханты-Мансийский
87. Чукотский
89. Ямало-Ненецкий

© ФГБУ «Гидроспецгеология»

Карта случаев активизаций опасных экзогенных геологических процессов, зафиксированных на территории Российской Федерации во II квартале 2022 г.

ПРИЛОЖЕНИЕ 2

Данные об активизациях экзогенных геологических процессов на территории Российской Федерации в II квартале 2022 г.

№ п/п	ФО РФ	СРФ	Административная привязка	Координаты				Период активизации ЭГП		Генетический тип ЭГП	Основные факторы активизации ЭГП	Негативные воздействия ЭГП	Характеристика случая активизации ЭГП	Фотоматериалы	Примечание
				WGS-84		ГСК-2011									
				широта	долгота	широта	долгота	начало	окончание						
1	2	3	4	5	6	7	8	9	10	11	12	13	14	15	16
10.2022. 0001	Северо-Западный	Республика Карелия	Питкярантский район, п. Хийденсельга, территория базы отдыха	61.7204	30.9924	61.7204	30.9924	00.04.22	Не заверши-лась	Оп	Атм.; гидрогеол.; гидрол.; техн.	Отмечалось	Отмечалась активизация оползневого процесса на левом берегу р. Янисйоки на северной окраине п. Хийденсельга. Образование оползня отмечалось в ноябре 2016 г. Активизация процесса происходит ежегодно. Оползанию подвержены песчано-глинистые отложения. Параметры проявления опасного ЭГП: Длина – 70 м; ширина – 139 м; площадь – 9730 м^2; высота склона – 5 м. На момент обследования отмечалась свежая трещина отрыва с формированием бровки срыва длиной 13 м в 2,5 м от коттеджа. У подножия наблюдаются свежие мочажины размерами от 2,5×1 м. Воздействию подвержена деревянная лестница, расположена вблизи хоз. постройки.		
10.2022.0002	Северо-Западный	Республика Карелия	Прионежский район, п. Каскесручей, участок берега Онежского озера	61,2048	35,6016	61,2048	35,6016	00.04.22	Не заверши-лась	Оп	Атм.; гидрогеол.; гидрол.; техн.	Отмечалось	Отмечалась активизация оползневого процесса в Прионежском районе п. Каскесручей. Отмечалось осыпание, оползание и сплыв песчаного грунта, образование свежих стенок отрыва, наклон кустарниковых растений к воде, искривление и падение деревьев, нависание дернины вследствие выноса песка. Состав горных пород, затронутых проявлением: песчаные отложения. Также на склоне наблюдаются небольшие эрозионные промоины Параметры проявления опасного ЭГП: Длина – 8 м; ширина – 70 м; площадь – 560 м^2; Высота поражённого склона 6 - 8 м. Обрушение берега вызывает сокращение водоохранной зоны, ограждений частных территорий. Сооружения инженерной защиты отсутствуют. На теле оползня находится строительный мусор строительным.		
10.2022.0003	Северо-Западный	Республика Карелия	Прионежский район, п. Каскесручей, участок берега Онежского озера	61,2062	35,6030	61,2062	35,6030	00.04.22	Не заверши-лась	Оп	Атм.; гидрогеол.; гидрол.; техн.	Отмечалось	Отмечалась активизация оползневого процесса в Прионежском районе п. Каскесручей. Отмечалось осыпание, оползание и сплыв песчаного грунта, образование свежих стенок отрыва, наклон кустарниковых растений к воде, искривление и падение деревьев, нависание дернины вследствие выноса песка. Состав горных пород, затронутых проявлением: песчаные отложения. Параметры проявления опасного ЭГП: Длина до 16,5 м; ширина – 118 м; площадь – 1947 м^2; Высота поражённого склона 6 - 8 м. Обрушение берега вызывает сокращение водоохранной зоны, разрушение спусковых лестниц. Сооружения инженерной защиты отсутствуют.		
10.2022.0004	Северо-Западный	Республика Карелия	Прионежский район, п. Каскесручей, участок берега Онежского озера	61,2075	35,6058	61,2075	35,6058	00.04.22	Не заверши-лась	Оп	Атм.; гидрогеол.; гидрол.; техн.	Отмечалось	Отмечалась активизация оползневого процесса в Прионежском районе п. Каскесручей. Отмечалось осыпание, оползание и сплывы песчаного грунта образование свежих стенок отрыва, наклон к воде деревьев, их падение, нависание дернины вследствие выноса песка. Состав горных пород, затронутых проявлением: песчаные отложения. Параметры проявления опасного ЭГП: Длина до 13,8 м; ширина – 144 м; площадь – 1987,2 м^2; Высота поражённого склона 6 - 8 м. Обрушение берега вызывает сокращение водоохранной зоны. Сооружения инженерной защиты отсутствуют.		

1	2	3	4	5	6	7	8	9	10	11	12	13	14	15	16
11.2022.0001	Северо-Западный	Республика Коми	МО ГО "Воркута", Воркутинский опорный мерзлотно-гидро-геологический полигон, участок детальных наблюдений МГП 1, в 28,5 км Ю-З города Воркута	67,4263	63,4184	67,4263	63,4184	00.04.22	Не заверши-лась	Д-А	Атм.	Не отмечалось	Участок детальных наблюдений МГП 1 расположенный в 28,5 юго-западнее г. Воркута, в зоне прерывистого распространения голоценовых ММП. В состав пункта наблюдения входят: скв. ЗС-25; створ полуинструментальных измерений (скв. ВК-1615 – ЗС-12). В апреле сняты показания температуры по стволам скважин на глубину до 20 м и до забоя по скв. ЗС-25, которая была выше, теплее в сравнении со среднемноголетними ее значениями. По результатам наблюдений за апрель 2022 г., прослеживается дальнейшая деградация ММП относительно её состояния на начало наблюдений. Состав пород, затронутых проявлением: торф, глины, суглинки; суглинки тяжёлые и средние с гравием и галькой, с прослойками гравелистого суглинка и валунов с галькой; песчано-гравийно-галечные отложения с суглинистым заполнителем, суглинки, супесь.		
11.2022.0002	Северо-Западный	Республика Коми	МО ГО "Воркута", Воркутинский опорный мерзлотно-гидро-геологический полигон, участок детальных наблюдений МГП 2, в 30,8 км Ю-З города Воркута	67,3939	63,3936	67,3939	63,3936	00.04.22	Не заверши-лась	Д-А, Тк-Пу	Атм. Техн.	Не отмечалось	Участок детальных наблюдений МГП 2 расположенный в 30,8 км юго-западнее г. Воркута, в зоне прерывистого распространения голоценовых ММП. В состав пункта наблюдения входят: скв. ЗС-79; створ полуинструментальных измерений (скв. ЗС-124/124а – ДС-4/VI-74); площадка учётная – ПП-19. В апреле сняты показания температуры по стволам скважин на глубину 20 м и ниже до забоя, которая была выше, теплее в сравнении со среднемноголетними её значениями. По данным нивелирования, полученным в июне 2022 г можно сделать вывод о том, что относительно данных, 2021 г. изменения были незначительными и нивелировали друг друга. По результатам наблюдений, прослеживается дальнейшая деградация ММП относительно её состояния на начало наблюдений. Состав пород, затронутых проявлением: торф, пески разнозернистые, суглинки, суглинки с гравием и галькой; торф, суглинки с растительными остатками, суглинки, глины, пески и суглинки с включениями грубообломочного материала до 10-20%; супесчано- суглинистые отложения.		
11.2022.0003	Северо-Западный	Республика Коми	МО ГО "Воркута", Воркутинский опорный мерзлотно-гидро-геологический полигон, участок детальных наблюдений МГП 3, в 28,5 км Ю-З города Воркута	67,4263	63,4184	67,4263	63,4184	00.04.22	Не заверши-лась	Д-А, Тк-Пу	Атм.	Не отмечалось	Участок детальных наблюдений МГП 3 расположенный в 28,5 юго-западнее г. Воркута, в зоне прерывистого распространения голоценовых ММП. В состав пункта наблюдения входят: скв. ЗС-16, ЗС-14/227; площадка учётная ПП-18. В апреле сняты показания температуры по стволам скважин на глубину 20 м, которая была выше, теплее в сравнении со среднемноголетними её значениями (кроме скважины ЗС-16). По данным нивелирования полученным в июне 2022 г. можно сделать вывод о том, что относительно данных, полученных в июне 2021 г. преобладающим процессом было криогенное пучение. По результатам наблюдений, прослеживается дальнейшая деградация ММП относительно её состояния на начало наблюдений. Состав пород, затронутых проявлением: торф, суглинок оторфованный, переслаивание суглинков средних и тяжёлых, а также гравелистых с гравием и галькой; глина, гравийно-галечные отложения с суглинистым заполнением.		
11.2022.0004	Северо-Западный	Республика Коми	МО ГО "Воркута", Воркутинский опорный мерзлотно-гидро-геологический полигон, участок детальных наблюдений Лек-Воркутский 1, в 32,5 км Ю-З города Воркута	67,3886	63,3486	67,3886	63,3486	00.04.22	Не заверши-лась	Д-А, Тк-Пу	Атм.	Не отмечалось	Участок детальных наблюдений Лек-Воркутский 1 расположенный в 32,5 км юго-западнее г. Воркута, в зоне прерывистого распространения голоценовых ММП. В состав пункта наблюдения входят: скв. ЗС-83а, ЗС-115; площадка учётная-КП-10, створ геодезических измерений. В апреле сняты показания температуры по стволам скважин на глубину 20 м, которая была выше, теплее в сравнении со среднемноголетними её значениями. По данным нивелирования, полученным в июне 2022 г. можно сделать вывод о том, что относительно данных, полученных в июне 2021 г. преобладающим процессом было – термокарстовое проседание (пучиномерный створ фрагмент I-I). По результатам наблюдений, прослеживается дальнейшая деградация ММП относительно её состояния на начало наблюдений. Состав пород, затронутых проявлением: суглинок, суглинки с гравием и галькой; супесь, песок с галькой, супесь с гравием и галькой; торф, супесчано-суглинистые отложения.		

1	2	3	4	5	6	7	8	9	10	11	12	13	14	15	16
11.2022.0005	Северо-Западный	Республика Коми	МО ГО "Воркута", Воркутинский опорный мерзлотно-гидро-геологический полигон, участок детальных наблюдений Лек-Воркутский 2, в 31,7 км Ю-З города Воркута	67,3957	63,3653	67,3957	63,3653	00.04.22	Не заверши-лась	Д-А, Тк-Пу	Атм.	Не отмечалось	Участок детальных наблюдений Лек-Воркутский 2 расположенный в 31,7 км юго-западнее г. Воркута, в зоне прерывистого распространения голоценовых ММП. В состав пункта наблюдения входят: скв. ДС-3/VII-74; площадка учётная ПП-3. В апреле сняты показания температуры по стволу скважины на всю глубину, которая была выше, теплее в сравнении со среднемноголетними её значениями. По данным нивелирования, полученным в июне 2022 г. можно сделать вывод о том, что относительно данных, полученных в июне 2021 г. изменения были незначительными и нивелировали друг друга. По результатам наблюдений, прослеживается дальнейшая деградация ММП относительно её состояния на начало наблюдений. Состав пород, затронутых проявлением: суглинок, суглинки с гравием и галькой, гравийно-галечные отложения.		
11.2022.0006	Северо-Западный	Республика Коми	МО ГО "Воркута", Воркутинский опорный мерзлотно-гидро-геологический полигон, участок детальных наблюдений Восточно-Воркутский, в 1,8 км на З, С-З от города Воркута	67,5040	64,0221	67,5040	64,0221	00.04.22	Не заверши-лась	Д-А	Атм.	Не отмечалось	Участок детальных наблюдений Восточно-Воркутский расположенный в 1,8 км северо-западнее г. Воркута, на правом берегу реки Воркута, в верхней части склона в массиве ивняка с включениями ерника. В состав пункта наблюдения входят: скв. Я-3, Я-1бис. В апреле 2022 г. были сняты показания температуры по стволу скважины на всю глубину. По результатам наблюдений, прослеживается дальнейшая деградация ММП относительно её состояния на начало наблюдений. Состав пород, затронутых проявлением: суглинки с гравием и галькой.		
11.2022.0007	Северо-Западный	Республика Коми	МО ГО "Воркута", Воркутинский опорный мерзлотно-гидро-геологический полигон, участок детальных наблюдений Усинское водохранилище 1, в 20,4 км Ю-В города Воркута	67,4019	64,4621	67,4019	64,4621	00.04.22	Не заверши-лась	Д-А	Атм. Техн.	Не отмечалось	Участок детальных наблюдений Усинское водохранилище 1 расположенный в 20,4 км юго-восточнее г. Воркута, на правом берегу в прибортовой части долины реки Уса, в 180 м восточнее плотины. В состав пункта наблюдения входит скв. УП-33. В апреле сняты показания температуры по стволу скважины на глубину до 20 метров и были незначительно ниже значений прошлого года, но в тоже время, были выше, теплее в сравнении со среднемноголетними ее значениями. По результатам наблюдений за апрель 2022 г., прослеживается дальнейшая деградация ММП относительно её состояния на начало наблюдений. Состав пород, затронутых проявлением: суглинки с гравием и галькой, известняки, доломиты.		

1	2	3	4	5	6	7	8	9	10	11	12	13	14	15	16
11.2022.0008	Северо-Западный	Республика Коми	МО ГО "Воркута", Воркутинский опорный мерзлотно-гидро-геологический полигон, участок детальных наблюдений Усинское водохранилище 2, в 21 км Ю-В города Воркута, в 800 метрах северо-восточнее плотины на реке Уса	67,4040	64,4846	67,4040	64,4846	00.04.22	Не заверши-лась	Д-А	Атм.	Не отмечалось	Участок детальных наблюдений Усинское водохранилище 2 расположенный в 21 км юго-восточнее г. Воркута, в заболоченной нижней части склона. В состав пункта наблюдения входит скв. УП-35. В апреле сняты показания температуры по стволу скважины на глубину до 20 метров, которая была на 0,49° С ниже значения прошлого года, но выше, теплее в сравнении со среднемноголетними её значениями. По результатам наблюдений в 2022 г., прослеживается дальнейшая деградация ММП относительно её состояния на начало наблюдений. Состав пород, затронутых проявлением: торф, суглинки мёрзлые, валунно-галечные отложения с прослоем песка, карбонатные породы.		
39.2022.0001	Северо-Западный	Калининградская область	Светлогорский городской округ пгт. Донское,	54,93188	19,95357	54,93188	19,95357	00.03. – 00.04.22	Не заверши-лась	Оп	Атм.; гидрогеол.; гидрол.	Отмечалось	Отмечалась активизация процесса на очень крутом, практически отвесный береговом склоне (высота до 35 м) в пгт. Донское. Признаки активизации во II квартале: множество свежих вторичных оползней шириной по нижней части языка от 27 до 280 м, зелёной, ещё не пожухшей растительности на оползневых массах. Базисом развития процесса является подножие склона. Ширина проявления в целом 1998 м, длина до 40 м. Также склон подвержен парагенетическим процессам дефляции и суффозии, в результате которых образуется нависание дернины. Над оползневой частью склона расположены спусковые лестницы, ведущие из посёлка на пляж, опоры которых установлены в песок. В результате активизации оползневого процесса (с сопутствующими процессами) склон разрушается и происходит их оголение и расшатывание. В 2021 году проведена модернизация лестничных опор южной металлической лестницы, однако, это лишь временно укрепило конструкцию, не защищая от воздействия ЭГП. При текущем обследовании вновь отмечается значительное воздействие на опоры. Сооружения и мероприятия инженерной защиты – отсутствуют.		
39.2022.0002	Северо-Западный	Калининградская область	Светлогорский городской округ, п. Маяк	54,9529	19,9731	54,9529	19,9731	00.03. – 00.05.22	Не заверши-лась	Оп	Атм.; гидрогеол.; Гидрол.	Отмечалось	В светлогорском городском округе в п. Маяк отмечалась активизация оползневого процесса. Признаки активизации во II квартале: свежие оползневые массы, конусы выноса, поваленные деревья, «пьяный» лес. Базисом развития процесса служит подножие склона. Общая протяжённость активной части проявления оползневого процесса достигает 1,6 км, ширина отдельных вторичных оползней по нижней части конуса выноса составляет 80 – 430 м, длина – от 30 до 57 м. Парагенетически процесс оползания сопровождается дефляцией и суффозией. Образуется нависание дернины, обнажение корней, наклон и падение деревьев. Основное воздействие в настоящее время процесс оказывает на водоохранную зону. При воздействии сползает почвенный слой с дерниной, кустарником, деревьями, что вызывает значительные изменения в очертании береговых склонов, приводит к их разрушению. Сооружения и мероприятия инженерной защиты – отсутствуют. Воздействие испытывают земли водного фонда		

1	2	3	4	5	6	7	8	9	10	11	12	13	14	15	16
39.2022.0003	Северо-Западный	Калининградская область	Светлогорский городской округ, п. Филино	54,94750	20,06291	54,94750	20,06291	00.03. – 00.04.22	Не заверши-лась	Оп	Атм.; гидрогеол.; Гидрол.;	Отмечалось	На протяжении всей береговой линии от п. Филино до г. Светлогорска (порядка 7 км) наблюдалась активизация оползневого процесса на обрывистом склоне высотой от 3 до 52 м. Признаки активизации во II квартале: аккумулятивные песчаные наносы, подтёки и сплывы суглинистых прослоек и темно-серых глин, глыбы песчаных пород у подножья склона. На самом склоне прослеживаются небольшие эрозионные уступы, начинают развиваться процессы дефляции и суффозии. В результате выдувания и вымывания песчаных отложений образуется нависание дернины, крен и падение деревьев. На склоне от временных водотоков присутствуют борозды размыва, рытвины, промоины. Фиксируется струйное осыпание разнозернистого сухого песка. Воздействие испытывают земли водного фонда, сокращается территория общественных пляжей. Нижняя бровка склона примыкает к общественному пляжу. У верхней бровки в ТН1 частично в подвешенном состоянии находится металлическое ограждение старой смотровой площадки. У подножья склона лежат обломки бетонной лестницы, некогда проходившей от смотровой площадки вниз по склону. Вдоль берега вблизи г. Светлогорска присутствуют волнорезы, других сооружений и мероприятий инженерной защиты нет.	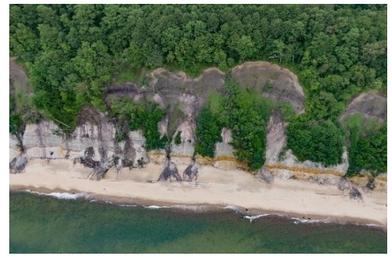	
47.2022.0004	Северо-Западный	Ленинградская область	Тосненский район, г. Никольское, территория расположения церкви Царя Николая по ул. Зелёная 7А, правый берег р. Тосна	59,7006	30,7837	59,7006	30,7837	00.04.22	Не заверши-лась	Оп	Атм.; гидрогеол.; техн.	Отмечалось	Тосненский район, г. Никольское, территория расположения церкви Царя Николая по ул. Зелёная 7А, правый берег р. Тосна. На крутом склоне, высотой 2,5-3 м происходит сползание грунта вдоль забора, установленного вокруг территории церкви, а также скопление оползневых масс. Состав горных пород, затронутых проявлением: Q, пески, суглинки, глины. Параметры проявления опасного ЭГП: Ширина – 50 м, Длина – 20 м, Площадь – 1000 м^2. Воздействию оползневого процесса подвергается ограждение вокруг церкви, где отмечается оголение основания опоры. Основные факторы активизации: гидрометеорологический, гидрогеологический, техногенный.		
47.2022.0005	Северо-Западный	Ленинградская область	Тосненский район, г. Никольское, участке региональной автодороги Ям-Ижора – Никольское (Никольское шоссе), вдоль излучины левого берега р. Тосна	59,7011	30,7755	59,7011	30,7755	00.04.22	Не заверши-лась	Оп	Атм.; гидрогеол.; техн.	Отмечалось	Тосненский район, г. Никольское, участке региональной автодороги Ям-Ижора – Никольское (Никольское шоссе), вдоль излучины левого берега р. Тосна. В результате активизации оползневого процесса происходит деформация (провалы и растрескивание) асфальтного полотна на участке автодороги Ям-Ижора – Никольское. В 2021 г. были зафиксированы 2 фрагмента, имеющие значительные деформации: 1. трещина - 41 м (просадка более 10 см); 2. трещина - 32 м с раскрытием в асфальтном полотне более 15 см. На момент обследования в 2022 г. в пределах проявления проведены ремонтные работы дорожного полотна. Состав горных пород, затронутых проявлением: пески, суглинки, глины (Q, Є). Параметры проявления: ширина – 251 м, длина – 98 м, Площадь – 24598 м^2. По состоянию на 22.04.2022 проявление находится в стадии развития, на склоне видны локальные свежие бровки отрыва почвенного слоя. Основные факторы активизации: гидрометеорологический, гидрогеологический, техногенный.		
51.2022.0001	Северо-Западный	Мурманская область	г. Мурманск, Нижне-Ростинское шоссе	68,99035	33,06411	68,99035	33,06411	20.04.22	20.04.22	Оп	Атм., техн.	Отмечалось	г. Мурманск, Нижне-Ростинское шоссе. 20 апреля на придорожном склоне зафиксирована активизация оползневого процесса. Оползневые массы перегородили Нижне-Ростинское шоссе и проезд был перекрыт в обоих направлениях. Проявление современное. Параметры проявления опасного ЭГП: длина – 50 м, площадь активной части – 500 м^2, мощность – до 2,5 м. В зоне воздействия процесса находятся автомобильная дорога, пешеходный тротуар, чуть ниже по склону ж/д пути (в 5 метрах от дороги) и складские помещения торгового порта. В результате активизации оползневого процесса были повреждены опоры ЛЭП, пешеходный тротуар и лотки ливневой канализации. Основные факторы активизации: гидрометеорологический, техногенный.		

1	2	3	4	5	6	7	8	9	10	11	12	13	14	15	16
51.2022. 0002	Северо-Западный	Мурманская область	г. Кола, дом № 16 по улице Капитана Миронова	68,87726	33,02231	68,87726	33,02231	11.05.22	12.05.22	Об	Атм.	Не отмечалось	г. Кола, дом № 16 по улице Капитана Миронова. 12 мая возле жилого дома произошла активизация обвального процесса на склоне горы Соловарака. В результате активизации процесса огромной глыбой была повреждена иномарка, припаркованная во дворе жилого дома. Основные факторы активизации процесса – активное физическое выветривание и переувлажнение грунта в период обильного снеготаяния (гидрометеорологический). В зоне потенциального воздействия находятся автодорога и жилые дома, расположенные у подножия склона.		
51.2022.0003	Северо-Западный	Мурманская область	23 км автоподъезда к с. Териберка автодороги Кола-Серебрянские ГЭС	68,99227	34,93757	68,99227	34,93757	28.05.22	28.05.22	Оп	Атм.	Отмечалось	На автодороге Кола-Серебрянские ГЭС, на 23 км автоподъезда к с Териберка 28 мая произошла активизация оползневого процесса, в результате чего участок единственной грунтовой дороги к селу был перекрыт оползневыми массами. Пострадавших, по сообщениям СМИ, нет, но автомобильное движение по дороге было перекрыто в обоих направлениях. Образовавшийся оползень представляет собой оползень-оплывину – небольшой, поверхностный, ориентировочной площадью 100 м². Основной фактор активизации – гидрометеорологический.		
53.2022.0001	Северо-Западный	Новгородская область	Кладбище г. Чудово ул. Магистральная	59,1310	31,6345	59,1310	31,6345	01.03.22	12.04.22	Оп	Атм.; гидрогеол.; гидрол.	Отмечалось	В г. Чудово, на территории кладбища по ул. Магистральная зафиксирована активизация оползневого процесса. В результате переувлажнения склона происходит оплывание песчано-глинистых отложений вниз по склону. Признаки активизации оползневого процесса: в пределах склона местами отсутствует растительность, на склоне и у его основания многочисленные поваленные стволы деревьев, «пьяный» лес, железобетонные ограждения (бывшие надгробия) сползли ниже по склону; у верхней бровки оголены корни деревьев. Параметры проявления опасного ЭГП: ширина – 170 м, длина – 15,6 м, площадь – 2658 м^2, высота поражённого склона – 17-25 м. Состав горных пород, затронутых проявлением: песчано-глинистые отложения. Основные факторы активизации: гидрометеорологический, гидрологический, гидрогеологический.		
53.2022.0002	Северо-Западный	Новгородская область	Г. Боровичи, Мстинская наб. 62	58,3957	33,8712	58,3957	33,8712	01.03.22	12.04.22	Оп	Атм.; гидрогеол.; гидрол.	Отмечалось	В г. Боровичи, Мстинская набережная 62 зафиксирована активизация оползневого процесса. Параметры проявления опасного ЭГП: длина – 72 м, площадь – 1440 м^2; высота поражённого склона – 9 м, длина трещин отрыва – 15-17 м, средняя глубина трещин составляет 0,45 м. Состав затронутых горных пород: песчаные грунты черно-коричневого цвета. В результате активизации оползневого процесса полностью разрушены ограждение, а также спусковая лестница, часть бетонных опор ограждения оголена. Также отмечается частичное разрушение земляной насыпи над погребом. Развитие процесса приводит к деградации части придомовой территории. Основные факторы активизации: гидрометеорологический, гидрологический, гидрогеологический.		
53.2022.0003	Северо-Западный	Новгородская область	Д Устрека, у д. 11 по ул. Северная	58,1464	31,1532	58,1464	31,1532	01.03.22	13.04.22	Оп	Атм.; гидрогеол.; гидрол.	Не отмечалось	Д. Устрека, у д. 11 по ул. Северная зафиксирована активизация оползневого процесса. Параметры проявления опасного ЭГП: длина – 5 м, ширина – 570 м, высота склона – 6 м, площадь – 2850 м^2. Склон высотой до 6 м, в верхней части (4 м) сложенный моренными песчано-глинистыми отложениями, в основании известняками и аллювиальными отложениями (2 м). Верхняя часть оползает при повышении влажности за счёт атмосферных осадков, повышающих уровень грунтовых вод, а также из-за размыва основания склона под действием прибойной волны. Признаки активизации оползневого процесса: наличие на склоне съехавшего почвенно-растительного слоя вместе с кустарником и искривление молодых деревьев.		

1	2	3	4	5	6	7	8	9	10	11	12	13	14	15	16
53.2022.0004	Северо-Западный	Новгородская область	Д. Устрека, ул. Северная	58,1461	31,1473	58,1461	31,1473	01.03.22	13.04.22	Оп	Атм.; гидрогеол., гидрол.; техн.	Отмечалось	В д. Устрека, по ул. Северная отмечалась активизация оползневого процесса. Параметры проявления опасного ЭГП: длина – 2 м, ширина – 570 м, Площадь – 1140 м^2, высота активной части – 2,5 м. Состав горных пород, затронутых проявлением: моренные отложениями с включениями крупных валунов кристаллических пород. На склоне расположены покосившиеся хозяйственные постройки, которые съезжают вместе с покровными отложениями. Отмечаются оползневые бугры на склоне и оголение корневищ растительности вдоль всего проявления. Основные факторы активизации: гидрометеорологический, гидрологический, гидрогеологический, техногенный.		
53.2022.0005	Северо-Западный	Новгородская область	Д. Устрека, вдоль ул. Набережная (от ул. Заводская до ул. Зелёная)	58,1462	31,1338	58,1462	31,1338	01.03.22	13.04.22	Об	Атм.; гидрогеол.; гидрол.; техн.	Отмечалось	В д. Устрека, вдоль ул. Набережная (от ул. Заводская до ул. Зелёная) отмечалась активизация обвального процесса. Уступ вертикальный, сложенный трещиноватыми плитчатыми известняками бурегского горизонта (высота уступа до 4,34 м). Признаками активизации обвального процесса являются обломки известняка в основании уступа, а также нависшие блоки и глубокие трещины в уступе длиной до 3 м. Признаки активизации процесса имеются на протяжении 542 м. В непосредственной близости от уступа расположены промышленные сооружения и ограждения Рыбзавода. Воздействию подвержены 2 спусковые лестницы, одной из которых в настоящее время уже нельзя пользоваться, т.к. она практически висит в воздухе и не имеет опоры. Другая лестница, сооружённая вместо разрушенной, деформирована в верхней части. По словам сотрудника Рыбзавода, дорога, проходившая ранее вдоль уступа полностью обрушена. Кроме того, разрушается Ильменский глинт – геологический памятник природы. Основные факторы активизации: гидрометеорологический, гидрологический, гидрогеологический, техногенный.		
53.2022.0006	Северо-Западный	Новгородская область	Д. Пустошь, вдоль ул. Озёрная	58,1735	31,0426	58,1735	31,0426	01.03.22	13.04.22	Ос	Атм.; гидрогеол.;	Отмечалось	В д. Пустошь, вдоль ул. Озёрная отмечалась активизация осыпного процесса. Параметры проявления опасного ЭГП: ширина – 9,8 м, длина – 3 м, площадь – 29,4 м. Береговой склон высотой 10 м, сложенный в верхней части моренными отложениями с включениями крупных валунов кристаллических пород, частично оголён, у верхней бровки рыхлый, практически вертикальный (3,5-4 м), к низу выполаживается. Наблюдаются свежие осыпи, скопление осыпных масс и обломков фундамента (2,5 м). В склоне погребён фундамент утраченной церкви Святого Духа, выполненный из известняков и моренных валунов. Основные факторы активизации: гидрометеорологический, гидрогеологический.		
53.2022.0007	Северо-Западный	Новгородская область	Д. Пустошь, в 85 м восточнее д. 20 по ул. Озерная	58,1718	31,0463	58,1718	31,0463	01.03.22	13.04.22	Оп	Атм.; гидрогеол.;	Отмечалось	В д. Пустошь д. Пустошь, в 85 м восточнее дома № 20 по ул. Озерная наблюдалась активизация оползневого процесса. Береговой склон высотой 14-15 м, сложенный голубыми глинами с прослоями пестроцветных, на всем протяжении подвержен оползневому процессу, которые формируют оползневой фронт вдоль берегового уступа. Оползневые тела влажные, свежие, что свидетельствует о недавнем пике активности процесса. Глины, слагающие склон, при избыточном увлажнении оползают, формируя асеквентные оползневые тела скольжения и течения. У подножия наблюдаются множественные сплывы. Ограждение участка 16А по ул. Озёрная расположено у бровки склона. Владельцами участка 16А предпринята попытка укрепления верхней части склона вблизи своего ограждения в виде устройства подпорной стенки из горизонтально уложенного бруса, которая к настоящему времени перекошена и частично разрушена. Спусковые лестницы сместились или разрушились полностью или частично. Отмечается деградация земель водного фонда. Основные факторы активизации: гидрометеорологический, гидрогеологический.		

1	2	3	4	5	6	7	8	9	10	11	12	13	14	15	16
53.2022.0008	Северо-Западный	Новгородская область	Д. Пустошь, в 420 м к юго-востоку от д. 20 по ул. Озерная	58,1702	31,0515	58,1702	31,0515	01.03.22	13.04.22	Оп	Атм.; гидрогеол.;	Отмечалось	В д. Пустошь, в 420 м к юго-востоку от д. № 20 по ул. Озерная наблюдалась активизация оползневого процесса. Параметры проявления опасного ЭГП – до 28 м; ширина – 379 м. Береговой склон высотой 15-18 м, сложенный в нижней части голубыми глинами с прослоями пестроцветных, в верхней - известняками бурегского горизонта на всем протяжении подвержен оползневым процессам, которые формируют оползневой фронт вдоль берегового уступа. Оползневые тела в средней и нижней частях склона свежие, влажные, что свидетельствует о недавнем пике активности процесса. Т.к. склон сложен неоднородными, слоистыми, залегающими горизонтально породами при оползании формируются инсеквентные оползневые тела скольжения и течения. При текущем обследовании отмечено, что произошло движение оползневых масс в виде вторичного оползня-потока вдоль всего склона. При активизации оползневого процесса сокращается площадь земель водного фонда. Основные факторы активизации: гидрометеорологический, гидрогеологический.		
53.2022.0009	Северо-Западный	Новгородская область	Д. Коростынь, в 1,05 км к востоку от д. 30 по ул. Озерная	58,1904	30,9986	58,1904	30,9986	01.03.22	13.04.22	Оп	Атм.; Гидрогеол.; гидрол.	Отмечалось	В д. Коростынь, в 1,05 км к востоку от д. № 30 по ул. Озерная наблюдалась активизация оползневого процесса на берегу оз. Ильмень. Параметры проявления опасного ЭГП: длина – 20 м; ширина – 140 м; площадь – 2800 м^2. Береговой склон высотой 15 м, сложенный в нижней части голубыми глинами с прослоями пестроцветных, в верхней - песками с включением валунов кристаллических пород на всем протяжении подвержен оползневым процессам. Надоползневой уступ высотой до 2,5 м. Наблюдается нависание и сползание дернины. В результате постоянного движения покровных отложений на склоне наблюдаются многочисленные валы и бугры. У подножия склона наблюдается высачивание подземных вод. Воздействию подвержен Ильменский глинт - природное образование, геологический памятник, а также земли водного фонда. Основные факторы активизации: гидрометеорологический, гидрогеологический, гидрологический.		
53.2022.0010	Северо-Западный	Новгородская область	г. Великий Новгород, ул. Черняховского, д. 40, Оборонительный вал Окольного города	58,5202	31,2605	58,5202	31,2605	01.04.22	14.04.22	Оп	Атм.; гидрогеол.;	Отмечалось	В г. Великий Новгород, ул. Черняховского, д. 40 зафиксирована активизация оползневого процесса в районе оборонительного вала окольного города. Параметры активной части проявления опасного ЭГП: длина – 5,5 м; ширина – 7 м. Оборонительные сооружения представляют собой земляной вал высотой в среднем 10-12 м, склоны которого подвержены развитию оползневых процессов. Состав горных пород, вовлеченных в оползневой процесс: песчано-глинистые отложения коричнево-черного цвета. Оползневой цирк частично задернован. В месте проявления в верхней части склона наблюдается свежая стенка срыва, дернина отсутствует. Воздействию оползневого процесса подвержены оборонительные сооружения окольного города – исторический памятник Новгорода, включённый ЮНЕСКО в Список Всемирного наследия. Основные факторы активизации: гидрометеорологический, гидрогеологический.		
53.2022.0011	Северо-Западный	Новгородская область	г. Великий Новгород, ул. Черняховского, напротив д. 38	58,5192	31,2611	58,5192	31,2611	01.04.22	14.04.22	Оп	Атм.; гидрогеол.;	Отмечалось	В г. Великий Новгород, ул. Черняховского, напротив д. 38 отмечалась активизация оползневого процесса. Параметры проявления опасного ЭГП: длина – 15 м; ширина – 22 м. Склон оборонительного сооружения высотой 10 м, сложенный песчаными грунтами, подвержен развитию оползневых процессов. Наблюдаются 2 этапа активации процесса, при этом отчётливо выделяется 2 оползневых цирка, верхний надоползневой уступ оголённый, нижний - поросший травой, у оснований уступов оползневые массы в виде волновых наносов поросли травой. Язык оползня от предыдущей активизации, проросший густой травой, остановился в 1 м от пешеходной дороги. Оползание слона приводит к его выполаживанию и разрушению памятника исторического наследия постройки конца X – первой половины XI веков, включённого ЮНЕСКО в Список Всемирного наследия. Основные факторы активизации: гидрометеорологический, гидрогеологический.		

1	2	3	4	5	6	7	8	9	10	11	12	13	14	15	16
53.2022.0012	Северо-Западный	Новгородская область	Д. Ретлё, в 1,06 км к востоку от д. 10 по ул. Вишневая	58,1572	31,0935	58,1572	31,0935	01.03.22	13.04.22	Оп	Атм.; гидрогеол.	Отмечалось	В д. Ретлё, в 1,06 км к востоку от д. 10 по ул. Вишневая отмечалась активизация оползневого процесса. Параметры проявления опасного ЭГП: длина – до 16 м, ширина – 772 м, площадь – 12352 м^2. Береговой склон высотой 5-8 м, сложенный в нижней части голубыми глинами с прослоями пестроцветных, в верхней части – известняками бурегского горизонта на всем протяжении подвержен оползневым процессам, которые формируют оползневой фронт вдоль берегового уступа. Оползневые тела в средней и нижней частях склона свежие, влажные, что свидетельствует о недавнем пике активности процесса. Т.к. склон сложен неоднородными, слоистыми, залегающими горизонтально породами при оползании формируются инсеквентные оползневые тела скольжения и течения.; В результате активизации оползневого процесса происходит сокращение земель водного фонда. Основные факторы активизации: гидрометеорологический, гидрогеологический.		
53.2022.0013	Северо-Западный	Новгородская область	Д. Ретлё, в 0,56 км восточнее д. 17 по ул. Дачная	58,1550	31,1004	58,1550	31,1004	01.03.22	13.04.22	Ос	Атм., гидрогеол., гидрол., техн.	Отмечалось	В д. Ретлё, в 0,56 км восточнее д. 17 по ул. Дачная наблюдалась активизация осыпного процесса. Параметры проявления опасного ЭГП: длина 1000 м; ширина – 1,5 м; площадь – 1500 м^2. Уступ вертикальный, сложенный трещиноватыми плитчатыми известняками бурегского горизонта. Высота уступа 4-6 м. Склоны свежие, не окисленные. Признаки активизации осыпного процесса: многочисленные осыпные лотки в основании уступа, а также нависшие блоки и трещины в уступе длиной до 1,5 м. Воздействию подвержен Ильменский глинт - природное образование, геологический памятник, а также земли водного фонда. Основные факторы активизации: гидрометеорологический, гидрогеологический, гидрологический и техногенный.		
78.2022.0001	Северо-Западный	Г. Санкт-Петербург	г. Санкт-Петербург, ул. Беринга, д. 27	59,9467	30,2379	59,9467	30,2379	00.03.22	Не завершилась	Оп	Атм.; гидрогеол.; гидрол.; техн.	Отмечалось	В г. Санкт-Петербург, по ул. Беринга, д. 27. Отмечалась активизация оползневого процесса у защитной бетонной стенки опоры пешеходного Ново-Андреевского моста через р. Смоленка и около автомобильной парковки. Состав горных пород, затронутых проявлением: Q (пески мелкие и тонкие с включением гальки, гравия и строительного мусора). Сползание рыхлого грунта происходит за счёт переувлажнения склона атмосферными осадками и разгрузки грунтовых вод. Параметры проявления опасного ЭГП: длина – 4 м, ширина – 8,5 м, площадь – 34 м^2, мощность – 3 м. В зоне воздействия оползневого процесса находится парковочная площадка. По состоянию на 20.04.2022 процесс находится в стадии развития. Основные факторы активизации: гидрометеорологический, гидрогеологический, гидрологический и техногенный.		
78.2022.0003	Северо-Западный	Г. Санкт-Петербург	Василеостровский район, кладбище Остров Декабристов, пешеходная набережная правого берега р. Смоленка	59,9462	30,2447	59,9462	30,2447	00.03.22	Не завершилась	Оп	Атм.; гидрогеол.; гидрол.;	Отмечалось	В Василеостровском районе г. Санкт-Петербурга (кладбище Остров Декабристов) отмечалась активизация оползневого процесса. Параметры проявления опасного ЭГП: длина – 1,8 м; ширина – 12 м; Площадь – 21,6 м^2; высота оползневого склона – 3 м. На момент обследования наблюдались оголённый склон с редкими островками почвенно-растительного слоя, а также оголённые корни растений. Состав горных пород, затронутых проявлением: пески мелкие и тонкие, пылеватые. У верхней бровки оползающего склона оголена металлическая подпорная стенка, сокращается ширина пешеходной набережной, а также оголяются бетонные опоры металлического забора территории кладбища. По состоянию на 20.04.2022 г. процесс в стадии развития. Основные факторы активизации: гидрометеорологический, гидрогеологический, гидрологический.		
78.2022.0004	Северо-Западный	Г. Санкт-Петербург	Василеостровский район, набережная реки Смоленки, парковочная зона д. 33	59,9470	30,2557	59,9470	30,2557	00.03.22	Не завершилась	Оп	Атм.; гидрогеол.; гидрол.	Отмечалось	В Василеостровском районе г. Санкт-Петербурга (набережная р. Смоленки) в парковочной зоне д. 33 отмечалась активизация оползневого процесса. Параметры проявления опасного ЭГП: длина – 1,5 м, ширина – 21 м; Площадь – 31,5 м^2; высота поражённого склона составляет 3 м. На момент обследования фиксировалось частичное оголение берегового склона. У верхней бровки оползающего склона обваливается поребрик, обрамляющий асфальтовую дорогу. Ширина деформированного участка асфальтированной дороги парковочной зоны составляет 48 м. Состав горных пород, затронутых проявлением: пески мелкие и тонкие. Основные факторы активизации: гидрометеорологический, гидрогеологический, гидрологический.		

1	2	3	4	5	6	7	8	9	10	11	12	13	14	15	16
78.2022.0011	Северо-Западный	Г. Санкт-Петербург	г. Санкт-Петербург, ул. 6-а Жерновская, д. 7	59,9654	30,4958	59,9654	30,4958	00.03.22	Не завершилась	Оп	Атм.; гидрогеол.; гидрол.; техн.	Отмечалось	В г. Санкт-Петербург, по ул. 6-а Жерновская, д. 7 зафиксирована активизация оползневого процесса. Параметры проявления опасного ЭГП: ширина – 25 м, длина – 12 м, площадь – 300 м^2. В пределах придомовой территории на склоне верхней террасы формируется свежая бровка отрыва. В результате развития оползня происходит разрушение асфальтной пешеходной дороги, покрытие которой расколото на куски и частично сползло вниз по склону нижней террасы. На склоне нижней террасы зафиксировано скопление строительного мусора. Состав горных пород, затронутых проявлением: пески, валунные суглинки. Основные факторы активизации: гидрометеорологический, гидрогеологический, гидрологический и техногенный.		
78.2022.0012	Северо-Западный	Г. Санкт-Петербург	г. Санкт-Петербург, ул. 6-а Жерновская, д. 7	59,9652	30,4953	59,9652	30,4953	00.03.22	Не завершилась	Оп	Атм.; гидрогеол.; гидрол.; техн.	Отмечалось	В г. Санкт-Петербург, ул. 6-а Жерновская, д. 7 отмечалась активизация оползневого процесса. Параметры проявления опасного ЭГП: длина – 11 м; ширина – 21 м; площадь – 231 м^2. Состав горных пород, затронутых проявлением: пески, валунные суглинки. Прогулочная асфальтная пешеходная дорожка в пределах проявления полностью разрушена. Асфальтное покрытие полностью отсутствует или расколото на куски и частично сползло вниз по склону. Протяжённость разрушенного участка дорожки 5,3 м. Основные факторы активизации: гидрометеорологический, гидрогеологический, гидрологический и техногенный.		
78.2022.0013	Северо-Западный	г. Санкт-Петербург	г. Санкт-Петербург, ул. 6-а Жерновская, д. 7.	59,9653	30,4950	59,9653	30,4950	00.03.22	Не завершилась	Оп	Атм.; гидрогеол.; гидрол.; техн.	Отмечалось	В г. Санкт-Петербург, ул. 6-а Жерновская, д. 7 отмечалась активизация оползневого процесса. Параметры проявления опасного ЭГП: ширина – 25 м, длина – 15 м, площадь – 375 м^2. Происходит сползание рыхлых грунтов, влекущее за собой обрушение асфальтного покрытия прогулочной зоны в пределах проявления. Состав горных пород, затронутых проявлением: пески, валунные суглинки (Q). Основные факторы активизации: гидрометеорологический, гидрогеологический, гидрологический и техногенный.		
83.2022.0001	Северо-Западный	Ненецкий автономный округ	г. Нарьян-Мар, район речного порта города Нарьян-Мар, участок дежурных наблюдений №1	67,6456	52,9892	67,6397	53,0022	00.04-05.22	Не завершилась	Оп	Атм.; гидрогеол; техн.	Отмечалось	В г. Нарьян-Мар, в районе речного порта зафиксирована активизация оползневого процесса. Отмечалось дальнейшее оползание берегового уступа высотой от 2-х до 4-х м. Базис развития опасного ЭГП – подножие склона. Состав пород, затронутых проявлением: песчаные и супесчаные грунты. Общая длина воздействия на дом оставила 30 м, активная длина с непосредственным контактом с конструкцией около 20 м. Фиксировалось дальнейшее увеличение (на 3 м) воздействия на жилую постройку. Также отмечается воздействие до 40 м на забор, окружающий частную территорию вокруг этого дома. Основные факторы активизации: гидрометеорологический, гидрогеологический и техногенный.		
83.2022.0002	Северо-Западный	Ненецкий автономный округ	МО ГО "Город Нарьян-Мар", район речного порта города Нарьян-Мар, участок дежурных наблюдений № 1	67,6466	52,9930	67,6466	52,9930	00.04-05.21	Не завершилась	Оп	Атм.; гидрогеол; техн.	Отмечалось	В г. Нарьян-Мар, в районе речного порта зафиксирована активизация оползневого процесса. В 2022 г. была выполнена подсыпка склона с геосеткой. При обследовании отмечено возобновление оползневого процесса на заново отсыпанном грунтом укреплённом склоне и оголение геосетки. Базис развития опасного ЭГП – подножие склона. Состав пород, затронутых проявлением: песчаные и супесчаные грунты. В зоне воздействия оползневого процесса оказались хозяйственные постройки. В потенциальной зоне воздействия находятся объекты инфраструктуры набережной (декоративная ограда, смотровая площадка с зоной отдыха). Основные факторы активизации: гидрометеорологический, гидрогеологический и техногенный.		

1	2	3	4	5	6	7	8	9	10	11	12	13	14	15	16
83.2022.0003	Северо-Западный	Ненецкий автономный округ	МО "Заполярный район", газопровод Василково-Нарьян-Мар, в 41 км к северо-востоку от пос. Искателей	67,8810	53,9141	67,8810	53,9141	00.04-05.22	Не завершилась	Эол	Атм.; техн.	Отмечалось	МО "Заполярный район", газопровод Василково-Нарьян- Мар, в 41 км к северо-востоку от пос. Искателей. В 3 квартале 2022 г. отмечалась активизация эоловых процессов. Общая протяжённость песчаных раздувов над газопроводом составила 700 м (от 50 до 190 м), максимальная высота борта выдувания составила 1,5 м. Состав пород, затронутых проявлением: пески. Общая протяжённость оголённых участков газопровода составила 38 метров (от 4 до 21 м), как следствие в дальнейшем возможно провисание нитки газопровода. Основные факторы активизации: гидрометеорологический, техногенный.		
83.2022.0004	Северо-Западный	Ненецкий автономный округ	МО "Заполярный район", газопровод Василково-Нарьян-Мар, 47,75 км от посёлка Искатели	67,6881	53,1350	67,6881	53,1350	00.04-05.22	Не завершилась	Пу	Техн.; атм.	Отмечалось	МО "Заполярный район", газопровод Василково-Нарьян- Мар, 47,75 км от пос. Искателей. В 3 квартале 2022 г. отмечалась активизация процесса криогенного пучения. В результате активизации процесса отмечалось выпирание на отдельных участках трубы газопровода. Общая протяжённость оголённых участков газопровода составила 225 м. (от 7 до 75 м). Состав пород, затронутых проявлением: торф. Основные факторы активизации: гидрометеорологический, техногенный.		
32.2022.0002	Центральный	Брянская область	Брянская область, г. Брянск. Советский район, садовое товарищество "Десна" ул. Фабричная д. 45/1	53,2813	34,3405	53,28125	34,33869	05.05.22	05.05.22	Оп	Атм.	Отмечалось	В г. Брянск. Советский район, садовое товарищество "Десна" ул. Фабричная д. 45/1 отмечалась активизация оползневого процесса. Параметры проявления опасного ЭГП: длина – 4,5 м, ширина – 15 м, площадь – 82,5 м². Состав горных пород, затронутых проявлением: суглинки, супеси, пески четвертичного возраста. Оползневой процесс находится в стадии развития, возраст проявления опасного ЭГП - современный. Основным фактором активизации опасного ЭГП послужили выпадение атмосферных осадков и интенсивное весеннее снеготаяние. В результате активизации оползневого процесса отмечалось разрушение дороги с покрытием на протяжении 2 м.		
32.2022.0003	Центральный	Брянская область	Брянская область, Трубчевский район, г. Трубчевск, Свято-Троицкий Собор	52,575	33,7739	52,57493	33,77211	29.04.22	29.04.22	Оп	Атм.	Не отмечалось	В Брянской области, Трубчевский район, г. Трубчевск, городской парк, Свято-Троицкий Собор отмечалась активизация оползневого процесса. Параметры проявления опасного ЭГП: длина – 18 м, ширина – 3 м, площадь – 54 м². Состав горных пород, затронутых проявлением – суглинки пески четвертичного возраста. Отмечалось смещение оползневого блока пород, длиной 18 м, шириной – 3 м, мощность оползня – 1 м, площадь – 54 м^2. Оползневой процесс находится в стадии развития, возраст проявления опасного ЭГП – современный. Основным фактором активизации опасного ЭГП послужили выпадение атмосферных осадков и интенсивное весеннее снеготаяние.		
32.2022.0004	Центральный	Брянская область	Брянская область, Трубчевский район, г. Трубчевск, городской парк, Свято-Троицкий Собор	52,5738	33,7705	52,57373	33,76871	29.04.22	29.04.22	Оп	Атм.	Не отмечалось	В Брянской области, Трубчевский район, г. Трубчевск, городской парк, Свято-Троицкий Собор отмечалась активизация оползневого процесса. Параметры проявления опасного ЭГП: длина – 25 м, ширина – 8 м, площадь – 200 м². Состав горных пород, затронутых проявлением: суглинки и пески четвертичного возраста. Отмечалось смещение оползневого блока пород, длинной 2 м, шириной – 8 м, мощность оползня – 1 м, площадь – 16 м^2. Оползневой процесс находится в стадии развития, возраст проявления опасного ЭГП - современный. Основным фактором активизации опасного ЭГП послужили выпадение атмосферных осадков и интенсивное весеннее снеготаяние.		

1	2	3	4	5	6	7	8	9	10	11	12	13	14	15	16
33.2022.0001	Центральный	Владимирская область	Владимирская область, Вязниковский район, г. Вязники, правый склон долины р. Свистишна	56,2333	42,1576	56,23343	42,15577	09.06.22	09.06.22	Оп	Атм., гидрол.	Не отмечалось	На территории Владимирской области, в г. Вязники, на правом склоне долины р. Свистишна отмечалась активизация оползневого процесса. Параметры проявления опасного ЭГП: длина – 12 м, ширина – 25 м, площадь – 300 м². Состав горных пород, затронутых проявлением: супеси и суглинки четвертичного возраста. Базисом развития опасного ЭГП: нижняя часть склона, урез воды р. Свистишна. Оползневой процесс находится в стадии развития, возраст проявления опасного ЭГП – современный. Основные факторы активизации: гидрометеорологический, гидрологический.	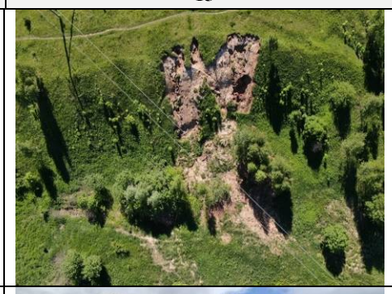	
40.2022.0001	Центральный	Калужская область	Калужская область, Козельский район, с. Ильинское	54,24015	35,67997	54,24014	35,67815	16.05.22	16.05.22	Оп	Атм.	Не отмечалось	На территории Калужской области в с. Ильинское (Козельский район) зафиксирована активизация оползневого процесса. Параметры опасного проявления длина 32 м, ширина 10 м, площадь 320 м². Параметры активной части: длина – 6 м, ширина – 30 м, площадь – 180 м². Состав горных пород, затронутых проявлением: пески супеси суглинки четвертичного возраста. Оползневой процесс находится в стадии развития, возраст проявления опасного ЭГП - современный. Основной фактор активизации – гидрометеорологический.		
44.2022.0001	Центральный	Костромская область	Костромская область, Кадыйский район, южная окраина с. Завражье. Слияние р. Волги и Немды	57,4032	43,1459	57,403370	43,14402	29.05.22	29.05.22	Оп	Атм.	Не отмечалось	В Костромской области (Кадыйский район), на южной окраине с. Завражье, в месте слияния р. Волги и р. Немды зафиксирована активизация оползневого процесса. Параметры проявления опасного ЭГП: длина – 4 м, ширина – 110 м, площадь – 440 м². Состав горных пород, затронутых проявлением: пески и суглинки верхнечетвертичного возраста. Базис развития опасного ЭГП – урез р. Волга. Оползневой процесс находится в стадии развития, возраст проявления опасного ЭГП – современный. Основной фактор активизации – гидрометеорологический.		
44.2022.0002	Центральный	Костромская область	Костромская область, Костромской район, с. Сандогора, ул. Центральная, приусадебная территория д. 15	58,1981	40,9662	58,19824	40,96423	02.06.22	02.06.22	Оп	Атм.	Не отмечалось	В Костромской области (Костромской район), с. Сандогора, ул. Центральная, приусадебная территория д. 15 зафиксирована активизация оползневого процесса. Параметры проявления опасного ЭГП: длина – 6 м, ширина – 50 м, площадь – 300 м². Отмечалось образование трещины закола в прибровочной части, с шириной раскрытия до 0,5 м, а также увеличение активной части проявления: ширины – на 5 м, мощности – на 0,5 м и длины – на 2 м. Состав горных пород, затронутых проявлением: пески и суглинки верхнечетвертичного возраста. Базисом развития опасного ЭГП является урез р. Кострома. Оползневой процесс находится в стадии развития, возраст проявления опасного ЭГП – современный. Основной фактор активизации – гидрометеорологический.		
48.2022.0001	Центральный	Липецкая область	Липецкая область, г. Липецк, склон р. Липовка в парке Победы	52,59343	39,49304	52,59346	39,49134	28.04.22	28.04.22	Эо	Атм.	Не отмечалось	В Липецкой области, г. Липецк, на левом берегу р. Липовка, в Парке Победы фиксировалась активизация процесса овражной эрозии: отмечалось увеличение оврага в длину на 3 м, в ширину – на 1 м, увеличение глубины в центральной части составило 0,5 м. Процесс находится в стадии развития. Возраст проявления опасного ЭГП - современный. Параметры проявления опасного ЭГП: длина – 25 м, ширина – 12 м, площадь – 300 м². Комплексы горных пород, затронутые проявлением: песчано-глинистые отложения четвертичного возраста. Основной фактор активизации – гидрометеорологический.		

1	2	3	4	5	6	7	8	9	10	11	12	13	14	15	16
48.2022.0002	Центральный	Липецкая область	Липецкая область, Лебедянский район, ур. Озерки, в 1,1 км западнее с. Екатериновка	52,94123	39,51666	52,94126	39,51494	15.04.22	15.04.22	Эо	Атм.	Отмечалось	В Липецкой области (Лебедянский район, ур. Озерки), в 1,1 км западнее с. Екатериновка зафиксирована активизация процесса овражной эрозии: отмечалось увеличение оврага в длину на 3 м, в ширину – 3 м 5 м, а также увеличение глубины в центральной части на 1 м. Процесс находится в стадии развития, возраст проявления опасного ЭГП – современный. Параметры проявления опасного ЭГП: длина – 40 м, ширина – 10 м, площадь – 400 м², мощность (глубина) – 3 м. Комплексы горных пород, затронутые проявлением: суглинки и супеси четвертичного возраста. В результате активизации процесса овражной эрозии была разрушена автомобильная дорога без покрытия на протяжении 3 м. Основной фактор активизации – гидрометеорологический.		
77.2022.0001	Центральный	г. Москва	г. Москва, правый берег р. Москва, в пределах Филевской излучины, между домом отдыха "Крылатское" на западе и районом бывшего пос. Первомайский	55,7442	37,4706	55,74424	37,46871	29.04.22	29.04.22	Оп	Атм.	Не отмечалось	В г. Москва, по ул. Большая Филевская д. 39 с 93, зафиксирована активизация оползневого процесса: отмечалось образование оползня второго порядка длинной 5 м, шириной – 2,6 м и мощностью – 1,2 м. Общие параметры проявления опасного ЭГП: длина – 3500 м, ширина – 300 м, площадь – 1050000 м². Базисом развития опасного ЭГП является урез р. Москвы. Состав горных пород, затронутых проявлением: пески, супеси и суглинки четвертичного возраста. Оползневой процесс находится в стадии развития, возраст проявления опасного ЭГП – современный. Основной фактор активизации – гидрометеорологический.		
77.2022.0002	Центральный	г. Москва	г. Москва, правый берег р. Раменка, восточная часть парка им. 50-летия Октября	55,6836	37,5083	55,68364	37,50641	19.05.22	19.05.22	Оп	Атм.	Не отмечалось	В г. Москва, на правом берегу р. Раменка (восточная часть парка им. 50-летия Октября) зафиксирована активизация оползневого процесса. Параметры проявления опасного ЭГП: длина – 39 м, ширина – 6,5 м, площадь – 253,5 м^2. Активизация выражалась в смещении оползневого блока пород длиной 27 м, шириной – 3,5 м, и мощностью – 1,5 м. Оползневой процесс находится в стадии развития, возраст проявления опасного ЭГП – современный. Комплексы горных пород, затронутые проявлением: суглинки, супеси и пески четвертичного возраста. Основной фактор активизации – гидрометеорологический.		
50.2022.0001	Центральный	Московская область	Московская область, г. о. Ленинский, д. Дроздово, правый берег р. Москвы, ниже по течению от плотины "Трудкоммуны"	55,6091	37,8049	55,60915	37,80302	16.05.22	16.05.22	Оп	Атм., гидрогеол.	Не отмечалось	В Московской области, г.о. Ленинский, д. Дроздово (правый берег р. Москвы, ниже по течению от плотины "Трудкоммуны") зафиксирована активизация оползневого процесса. Параметры опасного проявления опасного ЭГП: длина – 150 м, ширина – 50 м. Активизация выражалась в смещении оползневого блока длиной 43 м, и шириной 15 м. Состав горных пород, затронутых проявлением: пески, супеси, суглинки и глины четвертичного возраста. Базисом развития опасного ЭГП является урез р. Москвы. Возраст проявления опасного ЭГП – современный. Факторы активизации – атмосферные осадки и выход родников в подошвенной части склона. Основные факторы активизации: гидрометеорологический, гидрогеологический.		
67.2022.0001	Центральный	Смоленская область	Смоленская область, Смоленский район, 0,25 км юго-западнее д. Дачная -2	54,7781	31,9035	54,77803	31,90158	03.06.22	03.06.22	Оп	Атм., гидрол.	Не отмечалось	В Смоленской области, в 0,25 км юго-западнее д. Дачная-2 зафиксирована активизация оползневого процесса. Параметры проявления опасного ЭГП: длина – 40 м, ширина – 6 м. Активизация выражалась в смещении оползневого блока. Состав горных пород, затронутых проявлением: пески, супеси и суглинки четвертичного возраста. Базисом развития опасного ЭГП является первая надпойменная терраса р. Днепр. Оползневой процесс находится в стадии развития, возраст проявления опасного ЭГП – современный. Основные факторы активизации: гидрометеорологический, гидрологический.		

1	2	3	4	5	6	7	8	9	10	11	12	13	14	15	16
67.2022.0002	Центральный	Смоленская область	Смоленская область, Кардымовский район, 0,28 км юго-восточнее д. Соловьево	54,9193	32,7143	54,91925	32,71238	06.06.22	06.06.22	Оп	Атм., гидрол.	Не отмечалось	В Смоленской области (Кардымовский район), в 0,28 км юго-восточнее д. Соловьево зафиксирована активизация оползневого процесса. Параметры проявления опасного ЭГП: длина – 40 м, ширина – 8 м. Состав горных пород, затронутых проявлением: пески и супеси четвертичного возраста. Базисом развития опасного ЭГП является первая надпойменная терраса р. Днепр. Оползневой процесс находится в стадии развития, возраст проявления опасного ЭГП – современный. Основные факторы активизации: гидрометеорологический, гидрологический.		
67.2022.0003	Центральный	Смоленская область	Смоленский район, вблизи д. Гнёздово	54,7777	31,8658	54,77763	31,86388	03.06.22	03.06.22	Оп	Атм., гидрол.	Не отмечалось	В Смоленской области, вблизи д. Гнёздово отмечалась активизация оползневого процесса. Параметры проявления опасного ЭГП: длина – 4 м, ширина – 30 м. Состав горных пород, затронутых проявлением: супеси и суглинки четвертичного возраста. Базисом развития опасного ЭГП является первая надпойменная терраса р. Днепр. Оползневой процесс находится в стадии развития, возраст проявления опасного ЭГП – современный. Основные факторы активизации: гидрометеорологический, гидрологический.		
76.2022.0002	Центральный	Ярославская область	Ярославская область, Рыбинский район, с. Семеновское	58,03409	38,97788	58,0342	38,9759	20.05.22	20.05.22	Оп	Атм., гидрогеол.	Не отмечалось	В Ярославской области (Рыбинский район), с. Семеновское отмечалась активизация оползневого процесса. Параметры проявления опасного ЭГП: длина – 10 м, ширина – 10 м, площадь – 100 м². Оползневой процесс находится в стадии развития, возраст проявления опасного ЭГП – современный. Комплексы горных пород, затронутые проявлением: мелкие пески четвертичного возраста. Основные факторы активизации: гидрометеорологический, гидрогеологический.		
76.2022.0001	Центральный	Ярославская область	Ярославская область, Рыбинский район, д. Демино	58,03283	39,11278	58,03191	39,11161	22.06.22	22.06.22	Оп	Атм., гидрогеол.	Не отмечалось	В Ярославской области (Рыбинский район), д. Демино отмечалась активизация оползневого процесса. Оползневой процесс находится в стадии развития, возраст проявления опасного ЭГП - современный. Параметры проявления опасного ЭГП: длина – 10 м, ширина – 6 м, площадь – 60 м². Комплексы горных пород, затронутые проявлением: верхняя часть – пески и суглинки четвертичного возраста. Основные факторы активизации: гидрометеорологический, гидрогеологический.		

1	2	3	4	5	6	7	8	9	10	11	12	13	14	15	16
01.2022.0001	Южный	Республика Адыгея	Тахтамукайский район, участок дамбы вдоль Октябрьского водохранилища (автодорога 79А-110 Энем-Адыгейск-Бжедугхабль)	44,92990	38,97424	44,92990	38,97424	07.06.22	00.06.22	Оп	Атм.,техн.	Отмечалось	7 июня, по сообщениям СМИ, в Тахтамукайском районе на участке дамбы вдоль Октябрьского водохранилища (автодорога 79А-110 Энем-Адыгейск-Бжедугхабль) отмечена повторная активизация оползневого процесса. В результате активизации оползневого процесса произошло увеличение горизонтальных трещин на откосе плотины Октябрьского водохранилища. Вводился режим повышенной готовности. Основные факторы активизации: гидрометеорологический, техногенный.		
01.2022.0002	Южный	Республика Адыгея	Южная окраина г. Майкоп, в 2 км к северу от пос. Краснооктябрьский	44,58757	40,08371	44,58757	40,08371	00.04.22	00.05.22	Оп	Атм., гидрол.	Не отмечалось	В г. Майкоп, в 2 км к северу от пос. Краснооктябрьский, зафиксирована активизация оползневого процесса. Наибольшая активность отмечается в головной и центральной частях. Параметры проявления опасного ЭГП: ширина активной части – 200 м, длина – около 100 м. Оползень блоково-консистентного типа. На теле оползня отмечаются борозды временных водотоков. Состав горных пород, затронутых проявлением: глины, суглинки и пески. Склон обводнен, деляпсий в подножии склона разжижен. Базис развития процесса – днище долины р. Белая. Основные факторы активизации: гидрометеорологический, гидрологический.		
01.2022.0003	Южный	Республика Адыгея	Кошехабльский район, южная окраина а. Ходзь	44,48502	40,71435	44,48502	40,71435	00.04.22	00.05.22	Оп	Атм., гидрол.	Не отмечалось	В Кошехабльском районе, на южной окраине а. Ходзь, на левом борту р. Ходзь отмечалась активизация оползневого процесса. Параметры проявления опасного ЭГП: длина – 150 м, ширина – до 5 м. Признаками активизации процесса являются свежие коллювиальные вывалы суглинков и глин у подножия склона. Базис развития опасного ЭГП – р. Ходзь. Основные факторы активизации: гидрометеорологический, гидрологический.		
01.2022.0004	Южный	Республика Адыгея	Кошехабльский район, юго-западная окраина а. Ходзь	44,49801	40,70918	44,49801	40,70918	00.04.22	00.05.22	Оп	Атм.	Не отмечалось	В Кошехабльском районе, на юго-западной окраине а. Ходзь зафиксирована активизация оползневого процесса. Отмечалось наличие множественных мелких стенок срыва, высотой до 0,3 м, а также повсеместное нарушение и разрывы почвенно-растительного слоя, с захватом подстилающих горных пород. Состав горных пород, затронутых проявлением: глины с прослоями мергелей и известняков, ракушечники, галечники, пески. Основной фактор активизации – гидрометеорологический.		
01.2022.0005	Южный	Республика Адыгея	Кошехабльский район, западная окраина а. Ходзь	44,50082	40,70668	44,50082	40,70668	00.04.22	00.05.22	Оп	Атм.	Не отмечалось	В Кошехабльском районе, на западной окраине а. Ходзь фиксировалась активизация оползневого процесса. На склоне отмечаются значительные оползневые просадки, оголены несколько стенок срыва. По склону оползают цельные блоки. Следов высачивания подземных вод нет, склон не обводнен. Высота стенок срыва варьируется от 0,5 до 1,5 м. Оползания происходят в направлении безымянной балки (в северном направлении). Базис развития оползневого процесса – тальвег балки. Основной фактор активизации – гидрометеорологический.		
01.2022.0006	Южный	Республика Адыгея	Кошехабльский район, западная окраина а. Ходзь	44,51022	40,70409	44,51022	40,70409	00.04.22	00.05.22	Оп	Атм.	Не отмечалось	В Кошехабльском районе, на западной окраине а. Ходзь (в правом борту балки Кара-Гулюк) произошла активизация оползневого процесса. Параметры активной части проявления опасного ЭГП: длина – 100 м, ширина – 50 м, высота стенки срыва – 0,3-0,4 м. Активизация происходит преимущественно на правом борту, левый более стабилен. Базис развития процесса – балка Кара-Гулюк. Основной фактор активизации – гидрометеорологический.		

1	2	3	4	5	6	7	8	9	10	11	12	13	14	15	16
01.2022.0007	Южный	Республика Адыгея	Майкопский район, ст. Абадзехская, северо-западная окраина – ул. Шоссейная	44,40880	40,20541	44,40880	40,20541	00.04.22	00.05.22	Об	Атм., гидрол.	Не отмечалось	В Майкопском районе, ст. Абадзехская, на северо-западной окраине (ул. Шоссейная), в левом борту р. Белая произошла активизация обвального процесса. Уступ отвесный, высотой 4-5 м, в верхней части сложен аллювиальными гравийно-галечниковыми отложениями, в нижней – аргиллитоподобными глинами. В местах контакта пород отмечается повсеместное высачивание грунтовых вод. В подножии склона отмечены свежие коллювиальные накопления небольшой мощности, подверженные активному размыванию. Основные факторы активизации: гидрометеорологический, гидрологический.		
01.2022.0008	Южный	Республика Адыгея	Майкопский район, ст-ца Абадзехская, в 200 м к северу от ул. Советской, правы борт р. Молочка	44,39490	40,19504	44,39490	40,19504	00.04.22	00.05.22	Оп	Атм., гидрол.	Не отмечалось	В Майкопском районе, ст. Абадзехская, в 200 м к северу от ул. Советской, в правом борту р. Молочка отмечалась активизация оползневого процесса. Активизация происходит преимущественно на левом фланге. Наиболее крупный отделившийся блок имеет округлую форму и достигает 25 м в диаметре, также имеется ряд отсевших блоков меньшего размера – от 2 до 5 м. Блоки съехали на расстояние 10-12 м от основного уступа. Стенка срыва, высотой до 3 м не задернована. Основные факторы активизации: гидрометеорологический, гидрологический.		
01.2022.0009	Южный	Республика Адыгея	Майкопский район, ст-ца Абадзехская, в 150 м к юго-востоку от ул. Малая 2	44,39196	40,20204	44,39196	40,20204	00.04.22	00.05.22	Об	Атм., гидрол.	Не отмечалось	В Майкопском районе, ст. Абадзехская, на северной окраине х. Шевченко, в 150 м к юго-востоку от ул. Малая 2, на левом фланге старого оползневого массива наблюдалась активизация обвально-осыпных процессов. Состав горных пород, затронутых проявлением: аллювиальные отложения р. Белой и палеоген-неогеновые аргиллитоподобные глины с прослоями мергелей и алевролитов. У подножия склона отмечались коллювиальные конусы выноса. Активность процесса невысокая, порядка 5%. Базис развития опасного ЭГП – русло р. Белая. Основные факторы активизации: гидрометеорологический, гидрологический.		
01.2022.0010	Южный	Республика Адыгея	Майкопский район, южная окраина ст-цы Абадзехская	44,37639	40,21751	44,37639	40,21751	00.04.22	00.05.22	Оп	Атм., гидрол.	Не отмечалось	В Майкопском районе, на южной окраине ст. Абадзехская фиксировалась активизация оползневого процесса. Наибольшая активность процесса наблюдалась в головной части на правом фланге оползня. Отмечалось формирование нового оползневого блока, шириной 8 м, длиной – 4 м. Блок отделен многочисленными трещинами откола, произошла осадка блока на 10-15 см. Состав горных пород, затронутых проявлением; гравийно-галечниковые среднечетвертичные отложения мощностью до 10 м и палеоген-неогеновые аргиллитоподобные глины, с прослоями мергелей и алевролитов, которые обнажаются в цоколе террасы. Основные факторы активизации: гидрометеорологический, гидрологический.		
01.2022.0011	Южный	Республика Адыгея	Майкопский район, пос. Табачный, ул. Короткая 3	44,55912	40,10094	44,55912	40,10094	00.04.22	00.05.22	Об	Атм., гидрол.	Не отмечалось	В Майкопском районе, п. Табачный ул. Короткая, д. 3 отмечалась активизация обвального процесса. Высота уступа составляет 9 м. В верхней части обнажаются четвертичные аллювиальные отложения, в нижней – голоценовые глины. Повсеместно, по поверхности уступа, отмечалось высачивание подземных вод. Базис развития опасного ЭГП – р. Белая. Основные факторы активизации: гидрометеорологический, гидрологический.		

1	2	3	4	5	6	7	8	9	10	11	12	13	14	15	16
01.2022.0012	Южный	Республика Адыгея	Майкопский район, пос. Краснооктябрьский, ул. Курджипская, Приречная	44,57870	40,06974	44,57870	40,06974	00.04.22	00.05.22	Оп	Атм., гидрол.	Не отмечалось	В Майкопском районе, в пос. Краснооктябрьский, вблизи ул. Курджипская, на правом берегу р. Курджипс фиксировалась активизация оползневого процесса. Ширина участка активизации составила 30 м, длина проявления до уреза воды – 20 м. Уступ сложен аллювиальными гравийно-галечниковыми отложениями с суглинистым заполнителем в верхней части, и аргиллитоподобными глинами в нижней части. На границе слоев наблюдалось обильное высачивание подземных вод, Склон обнаженный, в подножии свежие вывалы деляпсия. Активизация происходила преимущественно в правой части оползневого массива. Основные факторы активизации: гидрометеорологический, гидрологический.		
01.2022.0013	Южный	Республика Адыгея	Майкопский район, пос. Краснооктябрьский, ул. Набережная	44,57947	40,05789	44,57947	40,05789	00.04.22	00.05.22	Оп	Атм., гидрол.	Не отмечалось	В Майкопском районе, в пос. Краснооктябрьский, вблизи ул. Набережная, на левом берегу р. Курджипс наблюдалась активизация оползневого процесса. Ширина активизации составила 10 м, длина – 7 м. В оползневой процесс вовлечены аллювиальные отложения. Уступ не обводнен, задернован на 10%. Наибольшая активность сосредоточена на правом фланге и в центральной части. Основные факторы активизации: гидрометеорологический, гидрологический.		
01.2022.0014	Южный	Республика Адыгея	Майкопский район, пос. Совхозный, левый борт р. Белая	44,55048	40,14078	44,55048	40,14078	00.04.22	00.05.22	Об	Атм., гидрол.	Не отмечалось	В Майкопском районе, в пос. Совхозный, на левом борту р. Белая на протяжении 400 м отмечалась активизация о. Уступ отвесный, обнаженный. Фиксировалось локальное высачивание подземных вод. У подножия склона наблюдались вывалы, осыпи. В обвальный процесс вовлечены гравийно-галечниковые среднечетвертичные отложения, мощностью до 10 м и палеоген-неогеновые аргиллитоподобные глины, с прослоями мергелей и алевролитов. Базис развития обвального процесса – р. Белая. Основные факторы активизации: гидрометеорологический, гидрологический.		
01.2022.0015	Южный	Республика Адыгея	Майкопский район, южная окраина пос. Тульский, правый берег р. Белая	44,48972	40,17953	44,48972	40,17953	00.04.22	00.05.22	Оп	Атм., гидрол.	Не отмечалось	В Майкопском районе, на южной окраине пос. Тульский, на правом берегу р. Белая отмечалась активизация оползневого процесса. Состав горных пород, затронутых проявлением: четвертичные аллювиальные отложения, представленные галькой, гравием. Параметры проявления опасного ЭГП: длина – 250 м, высота – 5-6 м. Признаки активизации процесса: слабая задернованность склона, свежие вывалы грунта у подножия склона, размерами 3×3 м. Склон обводнен, отмечены многочисленные очаги высачивания подземных вод. Основные факторы активизации: гидрометеорологический, гидрологический.		
01.2022.0016	Южный	Республика Адыгея	Майкопский район, южная окраина пос. Тульский, левый берег р. Белой	44,49073	40,17499	44,49073	40,17499	00.04.22	00.05.22	Об	Атм., гидрол.	Не отмечалось	В Майкопском районе, на левом берегу р. Белой, зафиксирована активизация обвального процесса. Базисом развития является русло р. Белой. Склон отвесный, задернован на 30%, частично обводнен. В подножии отмечен крупный обвалившийся блок. На поверхности уступа наблюдались трещины, направленные к склону, с шириной раскрытия до 20 см. Факторы активизации – атмосферные осадки, эрозия временных водотоков. Основные факторы активизации: гидрометеорологический, гидрологический.		
01.2022.0017	Южный	Республика Адыгея	Майкопский район, участок строящейся автомобильной дороги «с. Черниговское - пос. Дагомыс»	43,98635	39,85020	43,98635	39,85020	00.04.22	00.05.22	Об	Атм, Техн, гидрол	Не отмечалось	В Майкопском районе, на участке строящейся автомобильной дороги «с. Черниговское – пос. Дагомыс» в верховом откосе автодороги произошла активизация обвального процесса. Склон отвесный, не задернованный. У подножия склона наблюдались свежие коллювиальные накопления, мощностью до 2 м, ширина полосы обвалившейся породы составляет 40 м. Обваливающиеся массы частично перекрывали проезжую часть. В обвальный процесс вовлечены аргиллиты, песчаники и известняки. Основные факторы активизации: гидрометеорологический, техногенный и гидрологический.		

1	2	3	4	5	6	7	8	9	10	11	12	13	14	15	16
01.2022.0018	Южный	Республика Адыгея	Майкопский район, участок строящейся автомобильной дороги «с. Черниговское - пос. Дагомыс»	43,98197	39,84823	43,98197	39,84823	00.05.22	00.06.22	Об	Атм, Техн., гидрол	Не отмечалось	В Майкопском районе, на участке строящейся автомобильной дороги «с. Черниговское – пос. Дагомыс» в верховом откосе автодороги произошла активизация обвального процесса. В подножии склона отмечались маломощные коллювиальные накопления, а также вывалы глыб скальных пород. Сместившиеся горные породы частично перекрыли автодорогу. В обвальный процесс вовлечены делювиальные суглинки, с включением гравия и гальки. Склон частично обводнен, присутствует несколько выходов родников. Основные факторы активизации: гидрометеорологический, техногенный и гидрологический.		
01.2022.0019	Южный	Республика Адыгея	Майкопский район, участок строящейся автомобильной дороги «с. Черниговское - пос. Дагомыс»	43,97928	39,85262	43,97928	39,85262	00.05.22	00.06.22	Об	Атм, Техн., гидрол	Не отмечалось	В Майкопском районе, на участке строящейся автомобильной дороги «с. Черниговское – пос. Дагомыс» в верховом откосе автодороги наблюдалась активизация обвального процесса. На открытом, не задернованном участке склона, шириной 100 м отмечалось несколько активных участков, шириной 15 м, длиной – до 2 м. Мощность коллювиальных накоплений достигает 1,5 м. В обвальный процесс вовлечены известняки сильно выветрелые, трещиноватые и суглинки элювиальные, с включениями щебнистого материала. Основные факторы активизации: гидрометеорологический, техногенный и гидрологический.		
01.2022.0020	Южный	Республика Адыгея	Майкопский район, участок строящейся автомобильной дороги Гузерипль – плато Лаго-Наки в 14 км к северо-западу от п. Гузерипль	44,10483	40,01758	44,10483	40,01758	00.05.22	00.06.22	Оп	Атм, Техн, гидрол	Отмечалось	В Майкопском районе, на участке строящейся автомобильной дороги Гузерипль – плато Лаго-Наки в низовом откосе автодороги наблюдалась активизация оползневого процесса. Параметры проявления оползневого процесса: ширина – 2,5 м, длина – 3 м. В результате активизации процесса воздействию подвергся фрагмент дорожного отбойника. На дорожном полотне образовались трещины растяжения, на протяжении 10 м наблюдались небольшие оползневые просадки. Основные факторы активизации: гидрометеорологический, техногенный и гидрологический.		
01.2022.0021	Южный	Республика Адыгея	Майкопский район, участок строящейся автомобильной дороги Гузерипль – плато Лаго-Наки в 14,3 км к северо-западу от п. Гузерипль	44,10283	40,01862	44,10483	40,01758	00.05.22	00.06.22	Оп	Атм, техн	Отмечалось	В Майкопском районе, на участке строящейся автомобильной дороги Гузерипль – плато Лаго-Наки наблюдалась активизация оползневого процесса в низовом откосе. Параметры проявления опасного ЭГП: ширина – 25 м, длина – 2,5 м. В результате активизации оползневого процесса воздействию подверглась часть парковочной площадки. Площадка разбита трещинами глубиной до 0,5 м, с шириной раскрытия 20 см, амплитуда просадки составляет 20-30 см. Состав горных пород, затронутых проявлением: коллювиально-делювиальные отложения, представленные суглинками, с включениями дресвы и щебня, коренные породы (нижне-среднеюрские аргиллиты). Основные факторы активизации: гидрометеорологический, техногенный.		
01.2022.0022	Южный	Республика Адыгея	Майкопский район, участок строящейся автомобильной дороги Гузерипль – плато Лаго-Наки	44,10030	40,01975	44,10030	40,01975	00.05.22	00.06.22	Об	Атм, техн	Не отмечалось	В Майкопском районе, на участке строящейся автомобильной дороги Гузерипль – плато Лаго-Наки, на левом берегу р. Бзыха, на правом фланге обвально-оползневого массива отмечена активизация обвального процесса. Состав горных пород, затронутых проявлением: аргиллиты, песчаники, а также залегающий на вершине склона чехол делювиальных суглинков, мощностью до 2 м. В нижней части склона отмечено оседание грунта на протяжении 25 м, длиной до 3 м. Дорога ранее перекрывалась коллювиальным материалом, на момент обследования – расчищена. Склон отвесный, обнаженный, обводненный. Основные факторы активизации: гидрометеорологический, техногенный.		

1	2	3	4	5	6	7	8	9	10	11	12	13	14	15	16
01.2022.0023	Южный	Республика Адыгея	Майкопский район, участок строящейся автомобильной дороги Гузерипль – плато Лаго-Наки	44,09935	40,02062	44,09935	40,02062	00.05.22	00.06.22	Оп	Атм, техн	Отмечалось	В Майкопском районе, на участке строящейся автомобильной дороги Гузерипль – плато Лаго-Наки, на правом берегу р. Бзыха, произошла активизация оползневого процесса. Оползень блокового типа. В результате активизации оползневого процесса была разрушена часть автодороги, на протяжении 70 м, с захватом 2/3 от общей ширины. Активизация на этом участке повторная, приращение составило порядка 40 м. Поверхность разбита трещинами растяжения с шириной раскрытия до 10 см, и глубиной – до 0,5 м. Основные факторы активизации: гидрометеорологический, техногенный.		
01.2022.0024	Южный	Республика Адыгея	Майкопский район, участок строящейся автомобильной дороги Гузерипль – плато Лаго-Наки	44,09493	40,02560	44,09493	40,02560	00.05.22	00.06.22	Оп	Атм, техн	Отмечалось	В Майкопском районе, на участке строящейся автомобильной дороги Гузерипль – плато Лаго-Наки, на правом фланге оползневого массива фиксировалась активизация оползневого процесса. На дороге отмечалась свежая оползневая просадка асфальтированного полотна, длиной 50 м. Состав горных пород, затронутых проявлением: коллювиально-делювиальные отложения, представленные суглинками с включениями дресвы и щебня. Основные факторы активизации: гидрометеорологический, техногенный.		
01.2022.0025	Южный	Республика Адыгея	Майкопский район, участок строящейся автомобильной дороги Гузерипль – плато Лаго-Наки	44,09143	40,02541	44,09143	40,02541	00.05.22	00.06.22	Оп	Атм, техн	Не отмечалось	В Майкопском районе, на участке строящейся автомобильной дороги Гузерипль – плато Лаго-Наки, в верховом откосе отмечалась активизация оползневого процесса. Головная часть оползня расположена в верховом откосе, оползень пересекает автодорогу и спускается вниз по склону в виде консистентного потока. В оползание вовлечены сильно выветрелые аргиллиты, делювиально-коллювиальные суглинки. Склон частично обводнен. Наблюдалось несколько небольших выходов подземных вод, поваленные стволы деревьев у подножия склона. Основные факторы активизации: гидрометеорологический, техногенный.		
01.2022.0026	Южный	Республика Адыгея	Майкопский район, участок строящейся автомобильной дороги Гузерипль – плато Лаго-Наки	44,08973	40,02692	44,08973	40,02692	00.05.22	00.06.22	Оп	Атм, техн	Отмечалось	В Майкопском районе, на участке строящейся автомобильной дороги Гузерипль – плато Лаго-Наки, отмечалась активизация оползневого процесса. Параметры проявления опасного ЭГП: длина – 200 м, ширина – 200 м. В нижней части склона отмечен массивный вал выпирания, а также множество крупных поваленных деревьев. В результате активизации оползневого процесса была деформирована подпорная стенка, а также автодорога, состоящая из бетонных плит, на протяжении 100 м. Склон обводнен, по телу оползня наблюдались эрозионные борозды временных водотоков. Основные факторы активизации: гидрометеорологический, техногенный.		
01.2022.0027	Южный	Республика Адыгея	Майкопский район, участок строящейся автомобильной дороги Гузерипль – плато Лаго-Наки	44,08784	40,02744	44,08784	40,02744	00.05.22	00.06.22	Оп	Атм, техн	Не отмечалось	В Майкопском районе, на участке строящейся автомобильной дороги Гузерипль – плато Лаго-Наки, на обвально-оползневом участке склона выявлена активизация оползневого процесса. Состав горных пород, затронутых опасным ЭГП: сильно выветрелые аргиллиты. По поверхности склона распространены борозды временных водотоков. Признаки активизации оползневого процесса: множество смещенных деревьев, наличие вала выпирания у подножия склона. В низовом откосе оборудована подпорная стенка, которая на момент обследования, устойчива, без видимых деформаций. Основные факторы активизации: гидрометеорологический, техногенный.		
01.2022.0028	Южный	Республика Адыгея	Майкопский район, 79-й км автомобильной дороги А159 Майкоп-Гузерипль	44,03733	40,16805	44,03733	40,16805	00.04.22	00.06.22	Оп	Атм., гидрол. Техног.	Отмечалось	На 79-м км автодороги А-159 произошла активизация оползневого процесса. Ширина участка активизации – 12 м. В результате активизации оползневого процесса было деформировано 7 м дорожного полотна. Основные факторы активизации: гидрометеорологический, гидрологический, техногенный.		

1	2	3	4	5	6	7	8	9	10	11	12	13	14	15	16
01.2022.0029	Южный	Республика Адыгея	Майкопский район, 84-й км автомобильной дороги А159 Майкоп-Гузерипль	44,00943	40,14479	44,00943	40,14479	00.04.22	00.06.22	Об	Атм., гидрол. Техног.	Не отмечалось	На 84-м км автодороги А-159 на левом берегу р. Белая произошла активизация обвального процесса. Параметры проявления опасного ЭГП: ширина – 100 м, длина – 12 м. ширина активной части – 15 м. Воздействия на автодорогу не отмечалось. Основные факторы активизации: гидрометеорологический, гидрологический, техногенный.		
01.2022.0030	Южный	Республика Адыгея	Майкопский район, участок автомобильной дороги 79К-187 в 6,5 км к северо-западу от п. Гузерипль	44,01658	40,05801	44,01658	40,05801	00.04.22	00.06.22	Оп	Атм, техн	Отмечалось	В 6,5 км к северо-западу от пос. Гузерипль произошла активизация оползневого процесса. На левом фланге оползневого участка, общей протяженностью около 0,5 км фиксировалось несколько активных проявлений процесса. Состав горных пород, затронутых проявлением: коренные аргиллиты, ожелезненные по трещинам. Воздействию оползневого процесса подвержена автодорога (суммарная длина участков деформации порядка 40 м). Основные факторы активизации: гидрометеорологический и техногенный.		
01.2022.0031	Южный	Республика Адыгея	Майкопский район, участок автомобильной дороги 79К-187 в 7 км к северо-западу от п. Гузерипль	44,01497	40,05089	44,01497	40,05089	00.04.22	00.06.22	Оп	Атм, техн	Отмечалось	В 7 км к северо-западу от п. Гузерипль произошла активизация оползневого процесса. На момент обследования в июне 2022 г степень активности составляла около 30%. Оползень развивается на левом борту балки Медвеженки. Признаки активизации оползневого процесса – деформации дорожного полотна на нескольких участках, суммарной протяженностью 60 м. Ранее на данном отрезке выполнен ямочный ремонт поврежденного дорожного полотна, что свидетельствует о периодических активизациях здесь оползневого процесса. Основные факторы активизации: гидрометеорологический и техногенный.		
01.2022.0032	Южный	Республика Адыгея	Майкопский район, участок автомобильной дороги 79К-187 в 7,4 км к западу от п. Гузерипль	44,00888	40,04462	44,00888	40,04462	00.04.22	00.06.22	Оп	Атм, гидрогеол., Техн	Отмечалось	В 7,4 км к западу от пос. Гузерипль в верховьях балки Дурная (правосторонний приток балки Медвеженки) произошла активизация оползневого процесса. Активные очаги отмечались по флангам оползня. Состав горных пород, затронутых проявлением: трещиноватые аргиллиты. На двух участках зафиксированы деформации дорожного полотна, суммарной протяженностью – 20 м. Основные факторы активизации: гидрометеорологический, гидрогеологический и техногенный.		
01.2022.0033	Южный	Республика Адыгея	Майкопский район, участок автомобильной дороги 79К-187 в 9,1 км к западу от п. Гузерипль	44,00995	40,02468	44,00995	40,02468	00.04.22	00.06.22	Об	Атм, техн	Отмечалось	В 9,1 км к западу от пос. Гузерипль произошла активизация обвального процесса в верховом откосе дороги 79К-187. Ширина активной части проявления составляла 15 м. Состав горных пород, затронутых проявлением: сильно выветрелые коренные аргиллиты и делювиальный чехол. Воздействию обвального процесса подверглось 10 м автодороги. Основные факторы активизации: гидрометеорологический и техногенный.		
01.2022.0034	Южный	Республика Адыгея	Майкопский район, участок автомобильной дороги 79К-187 в 9,4 км к западу от п. Гузерипль	44,00713	40,01653	44,00713	40,01653	00.04.22	00.06.22	Оп	Атм, техн	Отмечалось	В 9,4 км к западу от пос. Гузерипль в пределах автомобильной дороги 79К-187 произошла активизация оползневого процесса. Состав горных пород, затронутых проявлением: коренные аргиллиты и известняки, а также породы делювиального чехла. На дороге на протяжении 30 м по обеим сторонам проезжей части отмечалось разрушение асфальтового полотна. Ширина активной части проявления - 50 м. Основные факторы активизации: гидрометеорологический и техногенный.		

1	2	3	4	5	6	7	8	9	10	11	12	13	14	15	16
01.2022.0035	Южный	Республика Адыгея	Майкопский район, участок автомобильной дороги 79К-187 в 9,5 км к северо-западу от п. Гузерипль	44,00801	40,01530	44,00801	40,01530	00.04.22	00.06.22	Оп	Атм, техн	Не отмечалось	В 9,5 км к северо-западу от пос. Гузерипль в верховом откосе дороги произошла активизация оползневого процесса. На момент обследования процесс находился в стадии развития. Состав горных пород, затронутых проявлением: коренные нижне-среднеюрские отложения (аргиллиты, известняки) и делювиальные четвертичные отложения (крупно щебнистые суглинки). Высота обнажения над полотном дороги около 20 м. Основные факторы активизации: гидрометеорологический и техногенный.		
01.2022.0036	Южный	Республика Адыгея	Майкопский район, в 12 км к западу – юго-западу от п. Гузерипль	43,98048	39,97569	43,98048	39,97569	00.04.22	00.06.22	Оп	Атм, сейсм.	Не отмечалось	В 12 км к западу – юго-западу от пос. Гузерипль произошла активизация оползневого процесса. К северу от основной стенки срыва ранее было сформировано понижение просадочного характера общей площадью около 30 000 м^2. В привершинной части механизм смещения – блоковый. Высота вторичных стенок срыва к северу от головной части достигает 1,5-2,0 м. Поверхность оползневого массива в этой части осложнена трещинами, оползневыми блоками, эрозионными рытвинами. К юго-востоку от головной части накапливается вода, образуя оползневые озера. Из многих водотоков в средней части долины формируется единое русло. Аргиллитовые останцы в головной стенке срыва подвержены процессам физического выветривания. Основные факторы активизации: гидрометеорологический, сейсмический.		
01.2022.0037	Южный	Республика Адыгея	Майкопский район, в 12 км к западу – юго-западу от п. Гузерипль	43,98091	39,97829	43,98091	39,97829	00.04.22	00.06.22	Об	Атм, геолого-тектон.	Не отмечалось	В 12 км к западу – юго-западу от п. Гузерипль на левом фланге оползневого массива (на контакте аргиллитов и известняков) произошла активизация обвального процесса. Размер обломков составляет в среднем 0,2-0,3 м. Площадь активной части – около 3500 м^2. В обвальной процесс вовлечены известняки и песчаники. Базис развития опасного ЭГП – 2-й левый приток р. Мутный Тепляк. Основные факторы активизации: гидрометеорологический, сейсмический.		
23.2022.0001	Южный	Краснодарский край	МО г. Сочи, Хостинский район, ул. Курортный Проспект, 120 (в районе санатория «Зеленая Роща»)	43,54086	39,79951	43,54086	39,79951	02.01.22	00.04.22	Оп	Атм.	Не отмечалось	По информации СМИ В Хостинском районе г. Сочи на 189 км федеральной трассы Джубга-Сочи (А147) в районе санатория «Зеленая Роща» на Курортном проспекте 2 января произошла активизация оползневого процесса. Это участок неоднократных активизаций оползневого процесса, в том числе в 2021 г. Инженерно-геологическое обследование участка активизации проведено 08 апреля 2022 г. На момент облседования верховой откос дорожной врезки был оголен, происходило оползание рыхлого разжиженного грунта. Параметры активной части проявления опасного ЭГП: длина – 15 м, ширина – 40 м. Основной фактор активизации – гидрометеорологический.		По информации СМИ ЧС муниципального характера №901 от 05.04.2022
23.2022.0003	Южный	Краснодарский край	МО г. Сочи, Центральный район, мкр. Заречный, ул. Красноармейская, 19/Цюрупы 32	43,60098	39,72018	43,60098	39,72018	04.01.22	00.04.22	Оп	Атм.	Не отмечалось	По информации СМИ 12 января в Центральном районе г. Сочи по ул. Красноармейская, 19/Цюрупы, 32 активизировался оползневой процесс. Инженерно-геологическое обследование проведено 07 апреля. В языковой части оползня отмечался свежий деляпсий, увлажненный. Фиксировалось высачивание подземных вод вдоль подпорной стены на протяжении 150 м. Разжиженные деляпсивные массы в языковой части проявления переползают через подпорную стену во двор жилого дома по ул. Красноармейская, 19. Параметры проявления опасного ЭГП: длина – 30 м, ширина – 20 м. Периодическая активизация на данном участке наблюдается с 2015 г, что связано со строительством жилого многоквартирного дома в верхней части склона. Основной фактор активизации – гидрометеорологический.		По информации СМИ

1	2	3	4	5	6	7	8	9	10	11	12	13	14	15	16
23.2022.0005	Южный	Краснодарский край	МО г. Сочи, Центральный район, мкрн. Донская, ул. Пасечная, 12/ул. Подгорная, 5	43,61504	39,72858	43,61504	39,72858	12.01.22	00.04.22	Оп	Атм.	Отмечалось	По информации СМИ 12 января в Центральном районе г. Сочи по ул. Пасечная, 12 (Подгорная 5) активизировался оползневой процесс. Инженерно-геологическое обследование проведено 07 апреля. Оползень развивается на правобережном склоне долины р. Сочи в делювиально-коллювиальных суглинках. Параметры активной части проявления опасного ЭГП: длина – 40 м, ширина – 35 м. В языковой части проявления отмечались поваленные деревья. При активизации оползневого процесса произошло оголение коммуникаций, электрического кабеля и водопровода. Основной фактор активизации – гидрометеорологический.		По информации СМИ ЧС муниципального характера № 426 от 28.02.2022 с изменениями №601 от 11.03.2022
23.2022.0008	Южный	Краснодарский край	МО г. Сочи, Центральный район, мкрн. Новый Сочи, ул. Санаторная, 59	43,62203	39,71183	43,62203	39,71183	14.01.22	00.04.22	Оп	Атм.	Отмечалось	По информации СМИ 14 января в Центральном районе г. Сочи по ул. Санаторной 59 произошла активизация оползневого процесса. Инженерно-геологическое обследование проведено 07 апреля. Состав горных пород, затронутых проявлением опасного ЭГП: делювиальные суглинки. Параметры активной части проявления: ширина – около 30 м длина – 40 м, высота стенки срыва – до 2 м. Воздействию оползневого процесса подверглись опоры газовой трубы, а также одна из линий газопровода. Бетонная отмостка дома разбита трещинами. На жилом доме деформаций нет. Отсевший блок шириной 30 м, 10-15 м длиной. Склон обводнен. В пределах проявления присутствуют поваленные деревья. Основной фактор активизации – гидрометеорологический.		По информации СМИ
23.2022.0009	Южный	Краснодарский край	МО г. Сочи, Хостинский район, дорога на Ореховские водопады	43,70759	39,76948	43,70759	39,76948	15.01.22	00.04.22	Оп	Атм.	Отмечалось	По информации СМИ 15 января в Хостинском районе г. Сочи по дороге на туристический объект «Ореховские водопады» произошла активизация оползневого процесса. В течение 1 квартала отмечалась неоднократная активизация опасного ЭГП. Оползень активен в верховом откосе грунтовой дороги. В результате активизации автодорога была перекрыта для проезда автотранспорта, частично разрушена. От города Сочи было отрезано около 30 домов. Инженерно-геологическое обследование проведено 07 апреля. Параметры проявления опасного ЭГП: длина – 80 м, ширина – 30 м. При очередных активизациях отмечался прирост мощности и объемов оползающих пород. Ширина проявления в верхней части 20 м, к низу расширяется. Тело оползня обнажено, растительность отсутствует. В привершинной части склона поваленные деревья, готовые к обрушению. На момент обследования по флангам отмечаются высачивания подземных вод. В оползание вовлечены делювиальные суглинки с включениями щебнистого материала. Основной фактор активизации – гидрометеорологический.		По информации СМИ ЧС муниципального характера №222 от 04.02.2022
23.2022.0010	Южный	Краснодарский край	МО г. Сочи, Лазаревский район, пос. Кучук-Дере (Лоо) ул. Астраханская, 5/9 (Таллинская 10А)	43,69453	39,59276	43,69453	39,59276	16.01.22	00.04.22	Оп	Атм.	Отмечалось	По информации СМИ 16 января в Лазаревском районе г. Сочи по ул. Астраханская, 5/9 произошла активизация оползневого процесса. Инженерно-геологическое обследование проведено 05 апреля. Языковая часть оползня достигает домовладения в нижней части склона по адресу ул. Таллинская, 10А. В языковой части дерево повалено на участок, поломано ограждение забора. В головной части тело оползня техногенно преобразовано, выровнено. Высота стенки срыва – от 0,5-0,7 м до 1 м. В результате активизации оползневого процесса было разрушено около 50 м местной автодороги. Оползень активен на площади около 5 000 м^2. Основной фактор активизации – гидрометеорологический.		По информации СМИ

1	2	3	4	5	6	7	8	9	10	11	12	13	14	15	16
23.2022.0011	Южный	Краснодарский край	МО г. Сочи, Адлерский район, мкр. Блинов о, ул. Лесная, 13	43,42242	39,96469	43,42242	39,96469	16.01.22	00.04.22	Оп	Атм.	Отмечалось	По информации СМИ 16 января в Адлерском районе г. Сочи по ул. Лесная, 13 произошла активизация оползневого процесса. В течение 1 квартала на этом участке отмечалась неоднократная активизация опасного ЭГП. Инженерно-геологическое обследование проведено 14 апреля. В результате активизации оползневого процесса была перекрыта одна полоса движения, на протяжении 20 м. Грунт сильно увлажнен. Параметры активной части проявления: ширина – 40 м, длина – около 50 м На тротуаре, выложенном плиткой, на правом фланге отмечался перегиб, высотой до 40 см. Основной фактор активизации – гидрометеорологический.		По информации СМИ
23.2022.0013	Южный	Краснодарский край	МО г. Сочи, Хостинский район, 4 км автодороги «Обход Сочи» А-147	43,56602	39,78292	43,56602	39,78292	20.01.22	00.04.22	Оп	Атм.	Отмечалось	По информации СМИ в Хостинском районе г. Сочи на 4 км автодороги «Обход Сочи» А-147 20 января произошла активизация оползневого процесса. Параметры проявления оползневого процесса: длина – 200 м, ширина – 150 м. На объездной перед Мацестинским виадуком появилась глубокая поперечная трещина в дорожном полотне. Непрекращающиеся сильные осадки на побережье и отрицательные температуры в ночное время спровоцировали движения грунта, угрожающие федеральной трассе. Инженерно-геологическое обследование опасного ЭГП проведено 8 апреля. Оползневой процесс находился в стадии активного развития. Отмечались деформации, просадки и смещения дорожного полотна. После проведения ремонтных работ наблюдались свежие трещины растяжения на новом асфальте. Вдоль обочины разрушен водоотводящий желоб, ливневый коллектор. Смещено полотно дороги – амплитуда смещений составила около 4 м. При обследовании оползневого тела ниже полотна дороги, отмечается каскад оползневых ступеней, спускающихся к долине р. Цаныk. Высота стенок срыва около 0,5 м. Деляпсий разжижен, склон местами оголен. Основной фактор активизации – гидрометеорологический.		По информации СМИ
23.2022.0014	Южный	Краснодарский край	МО г. Сочи, Хостинский район, ул. Пятигорская (в районе домовладения №32А)	43,59627	39,74966	43,59627	39,74966	22.01.22	00.04.22	Оп	Атм.	Отмечалось	По информации СМИ 22 января в Хостинском районе г. Сочи в районе домовладения №32А по ул. Пятигорской произошла активизация оползневого процесса. Инженерно-геологическое обследование проведено 07 апреля. Оползень потоковый, формируется из нескольких вершин. Языковая часть практически достигает ул. Транспортной. Параметры проявления опасного ЭГП: длина – 300 м, ширина – 70 м. Автомобильная дорога по ул. Пятигорская проходит по водоразделу между долинами р. Бзугу и балки Верещагинки. В центре головной части присутствует старая подпорная стена, оползень обошел ее с двух сторон – имеется приращение по флангам (причем, правый фланг активнее). Головная часть оползня подступила к автодороге, расстояние до которой составляет около 2 м, разрушается обочина. Территория огорожена забором. Оползень разрушает асфальтное покрытие – на дороге присутствуют трещины растяжения. Основной фактор активизации – гидрометеорологический.		По информации СМИ
23.2022.0018	Южный	Краснодарский край	МО г. Сочи, Центральный район, ул. Виноградная (в районе строящегося здания №190)	43,62301	39,71765	43,62301	39,71765	25.01.22	00.04.22	Оп	Атм.	Не отмечалось	По информации СМИ 25 января в Центральном районе г. Сочи по ул. Виноградной (в районе строящегося здания №190) произошла активизация оползневого процесса. Инженерно-геологическое обследование проведено 07 апреля. Опасный ЭГП развивается в восточном направлении – в сторону местной автодороги, за которой находится территория детского сада №105. Оползень активен на площади около 2 000 м^2. В оползание вовлечены техногенные грунты и бурые суглинки с включениями щебнистого материала. Деляпсий в нижней части склона переувлажнен. В подножии проводились работы по расчистке языка оползня. Оползень достиг территории детского сада, расположенного ниже. Основной фактор активизации – гидрометеорологический.		По информации СМИ

1	2	3	4	5	6	7	8	9	10	11	12	13	14	15	16
23.2022.0026	Южный	Краснодарский край	МО г. Сочи, Центральный район, ул. Пластунская 194-16	43,63488	39,75158	43,63488	39,75158	09.02.22	00.04.22	Оп	Атм.	Отмечалось	По информации СМИ 09 февраля 2022 г в районе ул. Пластунской № 194/16 в нижней части левобережного склона долины р. Сочи была зафиксирована активизация оползневого процесса. Это участок неоднократной активизации в 2021 г. Инженерно-геологическое обследование проведено 07 апреля 2022 г. В оползание вовлечены четвертичные породы, представленные коллювиально-делювиальными отложениями дресвяно-глинистого состава. Делювиальные суглинки подстилаются сильно выветрелыми аргиллитами. Головная часть оползня расположена на территории приусадебных участков по пер. Грушевый. Параметры проявления опасного ЭГП: длина – 80 м, ширина – 30 м. Общая протяженность оползневого склона составляет около 150-200 м, вдоль домов по ул. Пластунская, расположенных ниже по склону. В головной части деляпсий увлажнен, грязевые массы наползают на подъезд и 2-3-й этажи многоквартирного жилого дома. На правом фланге, подвижка грунта переместила 4 м проезжей части. Основной фактор активизации – гидрометеорологический.		По информации СМИ
23.2022.0027	Южный	Краснодарский край	МО г. Сочи, Адлерский район, ул. Известинская в районе многоквартирных домов №51,45,45А	43,47254	39,90879	43,47254	39,90879	10.02.22	00.04.22	Оп	Атм.	Отмечалось	По информации СМИ 10 февраля в Адлерском районе г. Сочи в районе дома №51 по ул. Известинская, произошла активизация оползневого процесса. Инженерно-геологическое обследование оползневого склона проведено 14 апреля. Оползень блоково-консистентного типа, направление развития – юго-восточное. В оползание вовлечены породы четвертичного возраста, представленные коллювиально-делювиальными суглинками. В зоне воздействия оползня, вблизи многоквартирных домов №51, 45, 45А по ул. Известинская, находятся газопровод (опоры деформированы и смещены, труба погнута) и подпорная стенка (деформирована и частично разрушена). Протяженность склона с аналогичными условиями – около 150 м, из них наиболее активны 40 м. Оползень активен на площади около 800 м^2. Основной фактор активизации – гидрометеорологический.		По информации СМИ
23.2022.0029	Южный	Краснодарский край	МО г. Сочи, Хостинский район, Новороссийское шоссе (после туннеля «АД мыс Видный»)	43,52263	39,84176	43,52263	39,84176	11.02.22	00.04.22	Оп	Атм.	Не отмечалось	По информации СМИ в Хостинском районе г. Сочи после тоннеля «АД мыс Видный», при съезде на Новороссийское шоссе 11 февраля произошла активизация оползневого процесса. Инженерно-геологическое обследование проведено 12 апреля. Оползень блоково-консистентного типа, направление развития юго-западное. Оползание произошло в средней части склона. В оползание вовлечены четвертичные породы, представленные коллювиально-делювиальными отложениями дресвяно-глинистого состава. Параметры проявления опасного ЭГП: ширина – 20 м, длинна – 9 м. В результате сползания разжиженной массы грунта были повалены несколько деревьев и кустарников и частично перекрыт участок автодороги. На момент обследования движение восстановлено. Основной фактор активизации – гидрометеорологический.		По информации СМИ

1	2	3	4	5	6	7	8	9	10	11	12	13	14	15	16
23.2022.0031	Южный	Краснодарский край	МО г. Сочи, Центральный район, СТ Кипарис – ул. Макаренко 8Б/8	43,60914	39,74929	43,60914	39,74929	12.02.22	00.04.22	Оп	Атм.	Отмечалось	По информации СМИ 12 февраля в Центральном районе г. Сочи по адресу ул. Макаренко 8Б/8 произошла активизация оползневого процесса. Инженерно-геологическое обследование проведено 08 апреля 2022 г. Ранее активизация на данном участке отмечалась неоднократно, начиная с 2016 года, а последний случай зафиксирован в октябре 2021 года. В оползание вовлечены породы четвертичного возраста, представленные коллювиально-делювиальными суглинками. Головная часть оползня находится в районе многоквартирных домов в СТ Кипарис. На склон выведена ливневая канализация, вода протекает по склону. Тело оползня обводнено, присутствуют следы временных водотоков, эрозионные борозды. Деляпсий разжиженный, переувлажненный. Общая ширина оползня 80-100 м, длина 200 м. Оползень доходит до многоквартирных домов, расположенных ниже по склону по ул. Макаренко 8Б/8. Языковая часть наползает на многоквартирный дом до 2-го этажа. Основной фактор активизации – гидрометеорологический.		По информации СМИ
23.2022.0032	Южный	Краснодарский край	МО г. Сочи, Центральный район, ЖК Романовский, ул. Санаторная 50А	43,62548	39,70536	43,62548	39,70536	14.02.22	00.04.22	Оп	Атм.	Отмечалось	По информации СМИ 14 февраля в Центральном районе г. Сочи по ул. Санаторной, д. 50 активизировался оползневой процесс. Инженерно-геологическое обследование проведено 07 апреля. В результате активизации, негативному воздействию подверглась металлическая лестница, ведущая к морю от ул. Санаторной до ул. Плеханова. Длина оползня – 140 м, ширина – 50-70 м. Оползень консистентный, в языковой части деляпсий разжижен. Основной фактор активизации – гидрометеорологический.		По информации СМИ
23.2022.0034	Южный	Краснодарский край	МО г. Сочи, Адлерский район, в 2,5 км к северу от с. Нижняя Шиловка по дороге на с. Ермоловка	43,49057	40,02463	43,49057	40,02463	00.02.22	00.04.22	Оп	Атм.	Отмечалось	По информации СМИ в феврале 2022 г произошла активизация оползневого процесса вдоль автодороги с. Нижняя Шиловка – с. Ермоловка в Адлерском районе МО г. Сочи. В 2,5 км к северу от с. Нижняя Шиловка отмечается оползневое проявление с обрушением дорожных плит на расстоянии 5-6 м. В верховом откосе дороги деформаций не видно, а в низовом оползень ступенчато спускается вниз к днищу долины правобережного притока р. Псоу. Общая длина около 60 м, ширина – 40 м. На левом фланге высота стенки срыва около 1,5 м. Основной фактор активизации – гидрометеорологический.		По информации СМИ ЧС муниципального характера №302 от 17.02.2022
23.2022.0040	Южный	Краснодарский край	МО г. Сочи, Хостинский район, у туннеля «Дублер Курортного проспекта» в районе с. Раздольное	43,57892	39,76133	43,57892	39,76133	22.02.22	00.04.22	Оп	Атм.	Не отмечалось	По информации СМИ 22 февраля в Хостинском районе г. Сочи, над полотном дороги у туннеля «Дублер Курортного проспекта» в районе с. Раздольное произошла активизация оползневого процесса. Инженерно-геологическое обследование проведено 08 апреля 2022 г. Тело оползня не задерновано, открыто, в подножии поваленные деревья, в оползание вовлечены суглинки. В подножии склона оборудована водосборная канава. В теле отмечаются две оползневые ступени, слабо выражены, высотой около 1,5 м. Происходят вторичные оползания. Длина оползня – 60-70 м, ширина – около 30-40 м. Примерная площадь активизации опасного ЭГП – около 1 500 м^2. Основной фактор активизации – гидрометеорологический.		По информации СМИ
23.2022.0044	Южный	Краснодарский край	МО г. Сочи, Адлерский район, северная окраина с. Орел-Изумруд – дорога на с. Бестужевское	43,46917	39,92684	43,46917	39,92684	07.03.22	00.04.22	Оп	Атм., техног.	Отмечалось	По информации СМИ в начале марта в Адлерском районе г. Сочи по дороге из с. Орел-Изумруд в с. Бестужевское в низовом откосе автомобильной дороги произошла активизация оползневого процесса. Инженерно-геологическое обследование участка активизации проведено 13 апреля. В результате активизации оползневого процесса разрушена 1 полоса дороги на протяжении 20 м. Кроме того, сместились и деформировались опоры и труба газопровода. На дороге свежая оползневая ступень высотой 30-40 см. Оползень активен на площади около 2400 м^2. Основные факторы активизации: гидрометеорологический, техногенный.		По информации СМИ

1	2	3	4	5	6	7	8	9	10	11	12	13	14	15	16
23.2022.0046	Южный	Краснодарский край	МО г. Сочи, Адлерский район, с. Нижняя Шиловка, квартал «Социализм»	43,46810	39,99170	43,46810	39,99170	12.03.22	00.04.22	Оп	Атм.	Отмечалось	По информации СМИ 12 марта в Адлерском районе г. Сочи, в с. Нижняя Шиловка, по дороге к кварталу Социализм, в результате оползневого движения грунта было деформировано дорожное полотно, деформация произошла на участке шириной около 5 м. Инженерно-геологическое обследование проведено 14 апреля. Дорога была отремонтирована, на новом асфальтовом полотне отмечаются оползневые деформации. Протяженность деформаций увеличилась до 7 м, просадка составляла 20 см. Параметры активной части проявления: ширина – 20 м, длина – 30 м. Основной фактор активизации – гидрометеорологический.		По информации СМИ
23.2022.0053	Южный	Краснодарский край	МО г. Сочи, Лазаревский район, аул Большой Кичмай	43,83836	39,52130	43,83836	39,52130	00.02.22	00.04.22	Об	Атм.	Не отмечалось	В верховом откосе дороги в а Большой Кичмай Лазаревского района г. Сочи произошла активизация обвального процесса. Состав горных пород, затронутых проявлением: аргиллиты и песчаники, делювиальные суглинки. Параметры активной части проявления: длина – 3 м, ширина – 3 м, высота – 5 м. Основной фактор активизации – гидрометеорологический.		По информации СМИ
23.2022.0054	Южный	Краснодарский край	МО г. Сочи, Лазаревский район, 139-й км трассы А-147 Джубга-Сочи между мкр. Головинка и мкр. Якорная Щель	43,77403	39,48736	43,77403	39,48736	15.01.22	00.04.22	Оп	Атм.	Не отмечалось	По информации СМИ в Лазаревском районе г. Сочи на 139-м км федеральной трассы Джубга-Сочи (А147) 15 января произошла активизация оползневого процесса. В результате схода оползня на дорогу повалило несколько деревьев, а также несколько тонн грунта. Движение автомобилей на этом участке было ограничено, но не перекрывалось. Инженерно-геологическое обследование проведено 05 апреля. Оползень активен на площади более 30 м^2. Вдоль дорожной врезки отмечались свежио вывалы грунта. В оползание вовлечены делювиальные суглинки. Основной фактор активизации – гидрометеорологический.		По информации СМИ
23.2022.0055	Южный	Краснодарский край	МО г. Сочи, Лазаревский район, с. Детляжка, ул. Бюроканская в районе дома №54	43,76819	39,54345	43,76819	39,54345	00.02.22	00.04.22	Оп	Атм.	Отмечалось	В МО г. Сочи (Лазаревский район), с. Детляжка, ул. Бюроканская в районе дома №54 произошла активизация оползневого процесса. Общая ширина оползня около 70 м, активна, в основном, левая часть. Деляпсий разжижен, переползает через подпорную стену. В оползание вовлечены делювиальные суглинки. Отмечаются высачивания родников. На асфальте циркообразная трещина, диаметром около 4 м. Основной фактор активизации – гидрометеорологический.		
23.2022.0056	Южный	Краснодарский край	МО г. Сочи, Лазаревский район, с. Детляжка, ул. Холмская	43,76419	39,54577	43,76419	39,54577	00.02.22	00.04.22	Оп	Атм.	Отмечалось	Слабоактивный оползневой очаг по ул. Холмская в с. Детляжка. Активность опасного ЭГП около 5%. На новом асфальтовом полотне оползневые просадки и деформации на протяжении 30 м. На склоне выше дороги старые деформации газовой трубы. Оползень развивается на юг к днищу долины р. Детляшко. Оползень активен на площади около 1 000 м^2. Оползневые деформации на новом асфальте на протяжении 30 м.		
23.2022.0057	Южный	Краснодарский край	МО г. Сочи, Лазаревский район, с. Верхнее Буу, ул. Холмская	43,76430	39,54907	43,76430	39,54907	00.02.22	00.04.22	Оп	Атм.	Отмечалось	Оползневой очаг по дороге на ул. Холмская в с. Верхнее Буу. Активность опасного ЭГП около 5%. На асфальте оползневые просадки и деформации на протяжении 10 м. В рельефе наблюдается «пьяный лес». Тело оползня не обводнено, высачивания родников не отмечается. Направление развития оползня – на юго-запад к днищу долины р. Детляшко. Оползень активен на площади около 600 м^2.		
23.2022.0058	Южный	Краснодарский край	МО г. Сочи, Лазаревский район, северо-восточная окраина с. Верхнее Буу	43,75892	39,56680	43,75892	39,56680	00.02.22	00.04.22	Оп	Атм.	Не отмечалось	Оползневой очаг на левом берегу р. Буу. Оползень блоковый, фронтальный, многоступенчатый. Оползневой массив в целом находится в стадии стабилизации. Наибольшая активность сохраняется на левом фланге. Стенка срыва высотой 0,6-0,5 м. Вторичные оползневые процессы в теле приостановились. Высачивания родников не наблюдается. В цоколе обнажаются плотные серо-зеленые глины, по которым отмечается ожелезнение. Оползневой очаг активен на площади около 100 м^2.		

1	2	3	4	5	6	7	8	9	10	11	12	13	14	15	16
23.2022.0059	Южный	Краснодарский край	МО г. Сочи, Лазаревский район, мкр. Культурное Уч-Дере, ул. Семашко	43,66454	39,62865	43,66454	39,62865	00.02.22	00.04.22	Оп	Атм.	Не отмечалось	На пешеходной дорожке по ул. Семашко по пути к ж/д станции Уч-Дере активны оползневые процессы. Отмечаются свежие трещины закола вдоль тропинки. Многие деревья наклонены по направлению склона либо повалены. Стволы саблевидной формы. Стенка срыва в низовом откосе 0,3-0,5 м, максимум до 1,0 м. Направление развития западное, в русло левобережного притока р. Битха. Параметры активного проявления – длина 15 м, ширина 20 м.		
23.2022.00060	Южный	Краснодарский край	МО г. Сочи, Лазаревский район, южная окраина мкр. Культурное Уч-Дере, дорога к ж/д станции Уч-Дере	43,66052	39,62821	43,66052	39,62821	00.02.22	00.04.22	Оп	Атм.	Отмечалось	Активизация оползневого процесса на местной дороге от Санатория им. Семашко к ж/д станции Уч-Дере. Оползень образовался в феврале 2021 г, после стадии стабилизации отмечаются новые подвижки и деформации в апреле 2022 г. В теле образуются вторичные стенки срыва высотой 1,5 м. Тело оползня в целом не увлажнено, но на правом фланге берет начало малодебитный ручей (вода с солями железа). На левом фланге отмечается затухание оползневой активности. Бетонная дорога, которая была повреждена во время прошлогодней активизации, не восстановлена. Рядом отсыпана дорога из щебня, которая также претерпела деформации и сжатия в начале 2022 г. В теле оползня поваленные взрослые деревья. В оползание вовлечены глинистые отложения, выветрелые аргиллиты. В верхней части оползня обнажается пласт песчаников, залегающих субгоризонтально. Кровля пласта является поверхностью скольжения. Отмечаются разрушения в бетонном заборе санатория – смещены 5 секций вместе с бетонным основанием на расстояние около 7 м. Активизация отмечается на площади около 600 м^2.		
23.2022.0061	Южный	Краснодарский край	МО г. Сочи, Лазаревский район, пгт. Дагомыс, ул. Армавирская, в районе домовладения №164/4	43,67500	39,65637	43,67500	39,65637	00.02.22	00.04.22	Оп	Атм.	Отмечалось	Активизация оползневого процесса по ул. Армавирская 164/4. Фактор активизации – боковая эрозия р. Восточный Дагомыс. В реку выведены канализационные стоки с жилых многоквартирных домов, что создает дополнительные условия для развития опасного ЭГП. Отмечается разрушение берега и прилегающих территорий. Ширина участка активизации около 100 м. К руслу смещаются блоки протяженностью 10-12 м. Кратчайшее расстояние до жилых домов и заборов – около 2-3 м		ЧС муниципального характера №268 от 15.02.2022
23.2022.0062	Южный	Краснодарский край	МО г. Сочи, Лазаревский район, с. Альтмец, ул. Космическая	43,72455	39,67341	43,72455	39,67341	00.02.22	00.04.22	Оп	Атм.	Отмечалось	Активизация оползневого процесса на полке автомобильной дороги и в верховом ее откосе по ул. Космическая в с. Альтмец Лазаревского района. Деформации дорожного полотна на протяжении 100 м. Высота просадки около 20 см. Асфальт разбит трещинами. В рельефе на дороге хорошо заметен перегиб. В низовом откосе видно продолжение оползня. Вторичные стенки срыва высотой до 30 см. Отсевший блок шириной 30 м. В верхней части склона жилые постройки с заметными деформациями. Площадь активного очага около 7 000 м^2.		
23.2022.0063	Южный	Краснодарский край	МО г. Сочи, Лазаревский район, с. Верхнерусское Лоо, участок дороги 03К-458	43,75970	39,64941	43,75970	39,64941	00.00.22	00.04.22	Оп	Атм.	Отмечалось	Активизация оползневого процесса в верховом откосе автодороги 03К-458. По флангам 2 слабоактивных участка. Общая ширина проявления 80 м. В подножии склона свежие осыпания щебнистых пород. В низовом откосе оборудована подпорная стенка. За ней наблюдается крупная трещина отседания. Угол склона около 70. Повсеместно на подпорной стене следы деляпсия. Длина проявления 70 м от бровки в верховом откосе. На правом фланге оползня повреждения дорожного полотна на протяжении 10 м на половину ширины проезжей части. Высота стенки срыва 0,5-0,7 м. Вдоль низового откоса прослеживается трещина. Тело оползня не просматривается, завалено стволами деревьев и строительным мусором. Отмечаются разрушения асфальтированной дороги на протяжении 10 м		

1	2	3	4	5	6	7	8	9	10	11	12	13	14	15	16
23.2022.0064	Южный	Краснодарский край	МО г. Сочи, Лазаревский район, в 0,8 км к востоку от с. Верхнерусская Хобза, участок дороги 03К-458	43,77833	39,64305	43,77833	39,64305	00.00.22	00.04.22	Оп	Атм.	Отмечалось	Оползневое проявление в верховьях р Хобза. Опасное ЭГП развивается в средней части склона в западном направлении. На относительно новом полотне дороги просадка и деформация на протяжении 40-50 м. Высота оползневой ступени около 20 см. Бетонная заливка на обочине деформирована. В верховом откосе дороги никаких признаков активности нет. На склоне ниже дорожной полки отмечается высачивание родников. Проявление активно на площади около 1 000 м^2.		
23.2022.0065	Южный	Краснодарский край	МО г. Сочи, Лазаревский район, в 1,5 км к северо-западу от с. Верхнерусская Хобза, участок дороги 03К-458 (22-й км)	43,79280	39,62132	43,79280	39,62132	00.00.22	00.04.22	Оп	Атм.	Отмечалось	В результате оползневых подвижек отмечаются деформации на дорожном полотне трассы 03К-458 «Дагомыс- Солохаул» (22-й км). Асфальтовое полотно испытало вертикальные смещения глубиной до 30 см. Разрушения затронули обе полосы дороги, наибольшие деформации отмечаются на нижней полосе на протяжении 7-10 м. Опасное ЭГП развивается в верховьях правобережного притока р. Хобзы, в средней части склона. Направление развития – юго-запад. В оползание вовлечены коллювиально-делювиальные отложения. На правом фланге отмечается эрозионный врез с крутыми бортами, высачивание малодебитных родников. Борта сложены серо-зелеными глинами, выше чехол делювия. Под дорогой проложена труба для отвода балочных вод. Проявление активно на площади около 1 000 м^2.		
23.2022.0066	Южный	Краснодарский край	МО г. Сочи, Лазаревский район, пер. Араратский	43,67681	39,70665	43,67681	39,70665	00.00.22	00.04.22	Оп	Атм.	Отмечалось	Оползневые деформации на дороге по пер. Араратскому. Отмечается общая просадка территории. Высота стенки срыва около 0,7-1,0 м. В верхней части склона признаков оползневой активизации не зафиксировано. Отмечаются деформации шириной около 4 м на протяжении 60 м (½ дороги и обочина). Заменены некоторые столбы ЛЭП с железных на бетонные. В низовом откосе склон хорошо просматривается, растительности нет. Фактор активизации – атмосферные осадки и эксплуатация дороги. Ширина проявления 250 м, длина более 50 м.		
23.2022.0067	Южный	Краснодарский край	МО г. Сочи, Лазаревский район, пер. Араратский 5 (3)	43,67807	39,70720	43,67807	39,70720	00.00.22	00.04.22	Оп	Атм.	Отмечалось	Оползневое проявление по адресу пер. Араратский №5. Протяженность участка активизации около 100 м. Высота стенки срыва в головной части 0,5 м, за ней каскад ступеней. Длина проявления около 50 м. Ниже по склону на левом фланге и в центральной части оползня идет строительство жилых домов, устроена бетонная подпорная стена – для отвода воды в ней не предусмотрены отверстия. Т.е. вода скапливается на территории домовладения пер. Араратский №5, грунт на участке переувлажнен. В тело оползня вовлечено обрушившееся дерево с корнями. Территория участка значительно просела, формируется понижение 10*7 м, оголен фундамент кирпичного хозяйственного строения. Деревянные постройки на участке отклонены от вертикали – из-за подвижек грунта их нижняя часть выдается вперед. На правом фланге оползня устроена траншея для отвода воды глубиной 1,0 м. Под дорогой уложена труба для пропуска поверхностных вод. Канава-траншея для закладки трубы начинается выше по склону, не чищена, забита.		

1	2	3	4	5	6	7	8	9	10	11	12	13	14	15	16
23.2022.0068	Южный	Краснодарский край	МО г. Сочи, Лазаревский район, участок дороги 03К-450 (пос. Мамайский Перевал – с. Разбитый Котел) у въезда в с. Разбитый Котел	43,68716	39,72226	43,68716	39,72226	00.00.22	00.04.22	Оп	Атм.	Отмечалось	Оползневое проявление на петле дороги при въезде в с. Разбитый Котел. Опасное ЭГП активно в средней части левобережного склона долины р. Мамайка (Псахе). Оползень консистентного типа, активен на площади около 300 м^2. Задернован на 50%, обнажаются аргиллиты, ожелезненные по трещинам, и делювиальные суглинки. На протяжении 7 м на повороте дороги обрушение обочины и части полотна шириной 0,5 м. В теле оползня оградительный блок дороги. В центральной части берет начало левосторонний приток р. Мамайки (Псахе), питание притока осуществляется в том числе за счет дождевой воды, которая поступает с водосборной канавы. Поперек русла находится ствол дерева, вовлеченный в оползание во время активизации опасного ЭГП.		
23.2022.0069	Южный	Краснодарский край	МО г. Сочи, Лазаревский район, участок дороги 03К-450 (пос. Мамайский Перевал – с. Разбитый Котел) в 0,3 км к северо-западу от с. Разбитый Котел	43,68722	39,72051	43,68722	39,72051	00.00.22	00.04.22	Оп	Атм.	Не отмечалось	Консистентный оползень в верховом откосе дороги 03К-450. Оползень активен на 40%, в оползание вовлечены деревья. Проявление развивается на правом борту долины р. Псахе (Мамайка) в нижней части склона. Оползает верхний почвенно-растительный слой и делювиальный чехол. Из нескольких очагов формируется один оползень-поток, который доходит до самого полотна дороги. Общая его протяженность 70-100 м при ширине 40 м. Деформаций на дорожном полотне нет. Под дорогой проложена труба для отвода поверхностных вод.		
23.2022.00070	Южный	Краснодарский край	МО г. Сочи, Центральный район, ул. Ломоносовская (ул. 20ГСД 1А)	43,56769	39,75146	43,56769	39,75146	00.00.22	00.04.22	Оп	Атм.	Отмечалось	Активизация опасного ЭГП на склоне между ул. Ломоносовская и 20 ГСд. Оползень активен в нижней части древнеоползневого склона долины р. Бзугу. Параметры активной части 20*30 м. В оползание вовлечены делювиальные суглинки, техногенный грунт. Участок склона активно застраивается многоэтажными жилыми домами. Отмечается негативное воздействие на трубу газопровода. Правый фланг оползня активнее левого. На бетонной отмостке наблюдаются трещины откола, на всем ее протяжении, ширина трещин достигает 30 см.		ЧС муниципального характера №389 от 24.02.2022
23.2022.00071	Южный	Краснодарский край	МО г. Сочи, Хостинский район, с. Пластунка, ул. Леселидзе 93/5	43,69361	39,76316	43,69361	39,76316	00.00.22	00.04.22	Оп	Атм.	Не отмечалось	На левом борту долины в верхней части склона в районе домовладения №95/3 по ул. Леселидзе с. Пластунка отмечается активное оползневое проявление. Оползень шириной 30 м, длиной 50-60 м. Оползают делювиальные суглинки, аллювиальные отложения. Склон сухой, не обводнен, обнаженный, растительность почти отсутствует. Активность около 30%		
23.2022.0072	Южный	Краснодарский край	МО г. Сочи, Хостинский район, с. Пластунка, ул. Леселидзе	43,69559	39,76216	43,69559	39,76216	00.00.22	00.04.22	Оп	Атм.	Не отмечалось	Активный оползень-поток в верхней части склона долины р. Сочи. Оползень развивается в западном направлении. Площадь активного очага около 500 м^2. Склон оголен, высачиваний подземных вод не отмечается. В подножии вывалы коллювия, оползневые блоки со сместившимися деревьями. Уступ крутой, угол откоса около 80°. В оползание вовлечены делювиальные суглинки с включением гальки. Подстилающие породы – сильно выветрелые трещиноватые аргиллиты. Высота уступа до уреза воды около 30 м. Дополнительным фактором активизации выступает боковая эрозия, т.к. русло прижимается и подмывает левый борт.		

1	2	3	4	5	6	7	8	9	10	11	12	13	14	15	16
23.2022.0073	Южный	Краснодарский край	МО г. Сочи, Центральный район, ул. Голенева, 17/18	43,61028	39,74309	43,61028	39,74309	00.00.22	00.04.22	Оп	Атм.	Не отмечалось	В Центральном районе г. Сочи по ул. Голенева в районе домовладения №17/11 активен оползень. Очаг развивается в верховом откосе местной дороги. В оползание вовлечены делювиальные суглинки. Ширина оползня 4 м, длина 4-5 м. В верховом откосе из бетонных блоков сложена подпорная стенка. В головной части грунт пытались закрепить удерживающей сеткой. Склон открытый, не задернованный. Высота обнажения над полотном дороги около 5 м. Угол откоса крутой, около 80°. Деляпсий переползает через бетонные плиты, выполняющие оградительную функцию		
23.2022.0074	Южный	Краснодарский край	МО г. Сочи, Центральный район, ул. Вишневая, 27	43,62240	39,75001	43,62240	39,75001	00.00.22	00.04.22	Оп	Атм.	Отмечалось	В Центральном районе г. Сочи по ул. Вишневая, 27 активен оползневой очаг. Ширина оползня 40 м, длина 60-70 м. Оползень развивается в южном направлении в балку в Корчагинском сквере. В оползание вовлечены суглинки. Оползень приблизился к придомовой асфальтированной территории, грунт уходит из-под основания. В подножии поваленные деревья. Тело оползня открыто, увлажнено, переформировано в нижней части. Присутствуют оборванные водопроводные трубы. Активный очаг приурочен к левому флангу оползневого склона. В центре и на правом фланге стабильно, головная часть укреплена сваями. Выше головной части оползня заасфальтированная площадка разбита трещинами, подпорные сваи оголены.		
23.2022.0075	Южный	Краснодарский край	МО г. Сочи, Хостинский район, с. Верхний Юрт, СТ Спартак, 19	43,63524	39,78393	43,63524	39,78393	00.00.22	00.04.22	Оп	Атм.	Отмечалось	В Хостинском районе г. Сочи в с. Верхний Юрт активен оползень. Проявление развивается в низовом откосе местной дороги. В верхней части ширина оползня составляет 7-8 м, к низу расширяется до 15 м. Высота стенки срыва до 1,5 м. Оползают суглинки и почвенно-растительный слой. Длина оползня около 50-60 м. Оползень разжижен, борта отвесные крутые. Правый фланг ниже – 1,5 м высотой, левый достигает 3 м. В верховом откосе дороги массивная подпорная стена.		
23.2022.0076	Южный	Краснодарский край	МО г. Сочи, Центральный район, ул. Вишневая, в районе эстакады на 10-м километре «Обхода Сочи»	43,61863	39,75912	43,61863	39,75912	00.00.22	00.04.22	Оп	Атм.	Отмечалось	В Центральном районе г. Сочи в районе эстакады на 10-м километре «Обхода Сочи» активен оползневой склон. В верховом откосе дороги по ул. Вишневая обследован оползневой склон. Весь склон на протяжении 200 м поражен оползневыми процессами с несколькими крупными очагами активизации общей площадью около 500 м^2. Оползают суглинки с включением щебнистого материала, дресвы. В местах активизации растительность на склоне отсутствует. В подножии имеются поваленные стволы деревьев. На склон выведена канализация – в результате деятельности поверхностных сточных вод сформировалось эрозионно-балочное понижение. По склону проходят газовые трубы, они изогнуты. Дорога по ул. Вишневая деформирована, отмечаются трещины в бетонных плитах и на стыках между ними.		
23.2022.0077	Южный	Краснодарский край	МО г. Сочи, Хостинский район, с. Раздольное, ул. Теплична я в районе квартала Фруктовый	43,60213	39,76462	43,60213	39,76462	00.00.22	00.04.22	Оп	Атм.	Не отмечалось	В Хостинском районе г. Сочи по ул. Тепличная в районе квартала Фруктовый активен оползневой очаг. Проявление активно на левом борту долины р. Бзугу. Оползень блоково-консистентный – в верхней части преимущественно блоковый, в нижней консистентный. Размер блоков 2-3 м. Рядом с оползнем проходит высоковольтная ЛЭП, находится на левом фланге, что является потенциальной угрозой. На правом фланге отмечается русло временного водотока, эрозионный врез. В подножии деляпсий разжиженный, с остатками стволов деревьев. На автомобильной дороге деформаций не наблюдается. Проявление активно на площади около 900 м^2.		

1	2	3	4	5	6	7	8	9	10	11	12	13	14	15	16
23.2022.0078	Южный	Краснодарский край	МО г. Сочи, Хостинский район, южная окраина с. Богушевка	43,59191	39,78014	43,59191	39,78014	00.00.22	00.04.22	Оп	Атм.	Не отмечалось	В Хостинском районе г. Сочи на правом борту долины р. Цаныk активно оползневое проявление. Общая протяженность оползневого участка около 100 м, из них активно около 40 м. На петле дороги разрушается склон в верховом и в низовом откосах. В верховом откосе оползания, осыпания. В оползание вовлечены почвенно-растительный покров, делювиальные суглинки. Высота склона над полотном дороги около 10 м. Склон обнажен на 20%, изрезан промоинами, следами водотоков. На дороге сползший деляпсий.		
23.2022.0079	Южный	Краснодарский край	МО г. Сочи, Хостинский район, Мацестинский лесопарк к югу от Среднемацестинского виадука и тоннеля «Обход Сочи Мацеста»	43,55145	39,79648	43,55145	39,79648	00.00.22	00.04.22	Оп	Атм.	Отмечалось	В Хостинском районе г. Сочи на левом борту долины р. Мацеста активны оползневые процессы. Оползневые деформации на дороге, в низовом откосе оползания. Трещины на дороге на протяжении 30 м. Ширина трещин до 5 см. Вертикальная просадка дороги около 10 м. Внизу старый отсевший оползневой блок, покрытый растительностью. На дорожном отбойнике старые деформации на протяжении 10-12 м. Общие параметры активного очага – ширина 40 м, длина 20 м.		
23.2022.0080	Южный	Краснодарский край	МО г. Сочи, Хостинский район, мкр. Старая Мацеста, ул. Аллея Челтенхема	43,56214	39,79456	43,56214	39,79456	00.00.22	00.04.22	Оп	Атм.	Не отмечалось	В Хостинском районе г. Сочи на левом борту долины р. Мацеста активный оползень-оплывина. Оползень спускается до автодороги на ул. Челтенхема. Ширина оползня 3-4 м, длина 7-8 м. В оползание вовлечены суглинки, обнажаются прослои песчаника. Отмечаются поваленные деревья, кустарники. В подножии разжиженный деляпсий. Склон крутой, открытый. В 70 м вверх по склону жилые многоквартирные дома (ЖК Челтенхем)	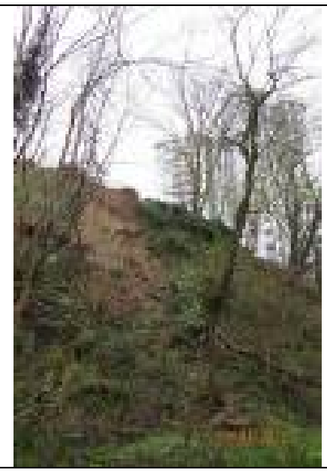	
23.2022.0081	Южный	Краснодарский край	МО г. Сочи, Хостинский район, с. Краевско-Армянское, ул. Измайловская в створе с домом №40/6	43,60261	39,81166	43,60261	39,81166	00.00.22	00.04.22	Оп	Атм.	Не отмечалось	В Хостинском районе г. Сочи на левом борту долины р. Мацеста, в створе с ул. Измайловская 40/6 активно оползневое проявление консистентного типа. Оползень шириной 3-4 м, длиной 10 м. В подножии поваленные деревья, деляпсий. Склон оголен, крутой, отвесный. Оползают суглинки.		
23.2022.0082	Южный	Краснодарский край	МО г. Сочи, Хостинский район, южная окраина с. Измайловка, ул. Измайловская	43,62803	39,82040	43,62803	39,82040	00.00.22	00.04.22	Оп	Атм.	Не отмечалось	В Хостинском районе г. Сочи на левом борту долины р. Мацеста в средней части склона развивается оползневой очаг протяженностью около 10 м, высотой около 20 м. В оползание вовлечены выветрелые аргиллиты, делювиальные суглинки. Общая протяженность проявления 50-60 м в низовом откосе. В верховом откосе обширное обнажение с локальными небольшими осыпаниями. С аналогичными условиями склон просматривается на 100-120 м, с несколькими очагами активизации. На левом фланге оползня обильное высачивание родников, сформировался водоток.		

1	2	3	4	5	6	7	8	9	10	11	12	13	14	15	16
23.2022.0083	Южный	Краснодарский край	МО г. Сочи, Адлерский район, с. Казачий Брод, ул. Краснофлотская	43,50449	39,98681	43,50449	39,98681	00.00.22	00.04.22	Оп	Атм.	Отмечалось	Оползневое проявление в низовом откосе дороги по ул. Краснофлотская в с. Казачий Брод. Ниже по склону участок расчищен под строительство. Фактор активизации – атмосферные осадки и застройка оползневого склона. Прослеживается несколько оползневых ступеней с высотой стенок срыва 0,3-0,5 м. На дороге на протяжении 3 м деформации, поломана бетонная плита дороги. Трещины на нижней обочине на протяжении 3 м. Длина активной части оползня около 12-17 м. В верховом откосе признаков активности не наблюдается.		
23.2022.0084	Южный	Краснодарский край	МО г. Сочи, Адлерский район, пер. Аэровокзальный, 22	43,44938	39,93370	43,44938	39,93370	00.00.22	00.04.22	Оп	Атм.	Не отмечалось	В Адлерском районе МО г. Сочи по адресу пер. Аэровокзальный, 22 в начале 2022 г активизировались оползневые процессы. Инженерно-геологическое обследование проведено 11 апреля. В низовом откосе дороги при планировании площадки под парковочные места в нижней части склона сошел консистентный оползень. Оползень развивается в южном направлении на правобережном склоне долины р. Мзымта. Под дорогой установлена бетонная подпорная стена. Со слов местных жителей, ранее столб ЛЭП находился под угрозой разрушения, был заменен с новый бетонный. На жилом многоквартирном доме, расположенном в языковой части оползня, отмечаются трещины и деформации стен и фундамента. Имеется угроза наползания деляпсия на 1-й этаж дома, расстояние составляет около 1 м. Подвижки грунта отмечаются местными жителями с 2020 г. На левом фланге высачивание воды, в понижениях образуются мочажины. В целом, смещение грунта составило около 10 м. Оползень активен на площади около 40 м^2.		
23.2022.0085	Южный	Краснодарский край	МО г. Сочи, Хостинский район, Новороссийское шоссе в районе домовладения №6/11	43,52712	39,83414	43,52712	39,83414	00.00.22	00.04.22	Оп	Атм.	Отмечалось	В Хостинском районе г. Сочи активный оползневой процесс по Новороссийскому шоссе. Оползневые деформации на дорожном полотне, просадка составила 10-15 см. Трещины растяжения на протяжении 30 м, шириной до 5 см. Площадь активизации оползневого очага около 1 200 м^2.		
23.2022.0086	Южный	Краснодарский край	МО г. Сочи, Хостинский район, мкр. Мацестинская долина, ул. Видовая в районе домовладения №1	43,55955	39,80007	43,55955	39,80007	00.00.22	00.04.22	Оп	Атм.	Отмечалось	В Хостинском районе г. Сочи по ул. Видовая активен оползневой процесс в низовом откосе местной дороги. Оползень образовался в результате подрезки склона. Оползень циркообразной формы шириной 40-80 м. Вдоль головной части проходит водоотводящая труба. Отмечается разрушение обочины и дорожного полотна на протяжении 12-15 м. В оползание вовлечены делювиальные суглинки. Активное ЭГП развивается в юго-западном направлении на левом борту долины р. Мацеста в средней части склона.		

1	2	3	4	5	6	7	8	9	10	11	12	13	14	15	16
23.2022.0087	Южный	Краснодарский край	МО г. Сочи, Хостинский район, ул. Малый Ахун	43,54056	39,81075	43,54056	39,81075	00.00.22	00.04.22	Оп	Атм.	Отмечалось	В Хостинском районе г. Сочи по ул. Малый Ахун активен оползневой процесс. В результате происходит деформация автодороги. На дороге и тротуаре оползневые деформации, трещины растяжения, дорога просела на 2-3 см, появились трещины на протяжении 30-35 м, шириной до 3-4 см. Тротуар разорван на блоки. В низовом откосе погнутая газовая труба. Есть старая подпорная стена, частично разрушенная старыми подвижками. Оползень развивается в юго-западном направлении на левом борту долины ручья Агура. Параметры активного очага – 30*50 м.		
23.2022.0088	Южный	Краснодарский край	МО г. Сочи, Хостинский район, ул. Дорога на Большой Ахун	43,54375	39,84847	43,54375	39,84847	00.00.22	00.04.22	Об	Атм.	Не отмечалось	В Хостинском районе г. Сочи в верховом откосе автодороги активизировался обвальный процесс. Высота обнажения над полотном дороги 10-12 м. Вдоль подножия на обочине свежие вывалы песчаников, известняков. В обвальный процесс также вовлечены делювиальные суглинки с щебнем и дресвой. Ширина обнажения 3-4 м. Процесс развивается в средней части склона в верховьях Сутугинской балки. Направление смещения – юго-юго-запад.		
23.2022.0089	Южный	Краснодарский край	МО г. Сочи, Хостинский район, ул. Дорога на Большой Ахун к западу от СТ «Труд»	43,54500	39,83428	43,54500	39,83428	00.00.22	00.04.22	Оп	Атм.	Отмечалось	В Хостинском районе г. Сочи по ул. Дорога на Большой Ахун к западу от СТ «Труд» на дороге оползневые деформации, трещины, отколовшиеся блоки асфальта. Ширина раскрытия трещин максимум 30-35 см, в основном 2-3 см. Участок с трещинами протяженностью 40 м. В верховом откосе установлена подпорная стенка, из которой выведен водоток. Склон обводнен. Проявление развивается в северном направлении в долину левого притока ручья Агура. Проявление развивается на площади около 1 500 м^2.		
23.2022.0090	Южный	Краснодарский край	МО г. Сочи, Хостинский район, ул. Дорога на Большой Ахун к западу (СТ «Труд», СТ «Журналист»)	43,54551	39,82178	43,54551	39,82178	00.00.22	00.04.22	Оп	Атм.	Отмечалось	В Хостинском районе г. Сочи по ул. Дорога на Большой Ахун оползневым процессом деформирована автодорога в районе СТ «Труд», СТ «Журналист». На протяжении 600 м череда участков с разрушениями и оползаниями дорожного покрытия. Суммарно повреждено около 210 м. Имеются отрезки с ямочным ремонтом асфальта, что свидетельствует о периодических циклах активизации на данном участке. Отмечаются отсевшие блоки длиной 0,5-2,5 м, шириной 3-4 м. На дороге трещины с шириной раскрытия 20-30 см. Высота стенок срыва 0,1-03 м. В ряде мест склон укреплен буронабивными скважинами. Проявление развивается в северо-западном направлении, базисом оползания является левобережный приток ручья Агура. В оползание вовлечены делювиальные суглинки. Проявление развивается на площади около 60 000 м^2.		

1	2	3	4	5	6	7	8	9	10	11	12	13	14	15	16
23.2022.0091	Южный	Краснодарский край	МО г. Сочи, Адлерский район, участок дороги 03К-465 в 2,2 км к юго-западу от с. Красная Воля	43,54581	39,88933	43,54581	39,88933	00.00.22	00.04.22	Оп	Атм.	Не отмечалось	В Адлерском районе г. Сочи по дороге на с. Красная Воля отмечается оползневой очаг. Проявление развивается на северо-западном склоне горы Кизиловая. Активизация произошла вдоль дороги 03К-465 на левом борту долины р. Большая Хоста в верховьях одного из притоков. Оползень блоково-консистентный, шириной 10 м, длиной 30 м. Оползают суглинки с включениями щебня, обломков аргиллитов. На склоне рельеф оползневой, валы выпирания, бугры. В оползание вовлечены поваленные стволы деревьев. В верховом откосе обнажение шириной 40 м. Высота над полотном дороги 8-9 м. Угол склона крутой, близкий к отвесному. В привершинной части отмечается отсевший блок, готовый к обрушению. Высота стенки срыва 0,3-0,4 м. Площадь активизации около 300 м^2.		
23.2022.0092	Южный	Краснодарский край	МО г. Сочи, Адлерский район, участок дороги 03К-465 «Подъезд к с. Красная Воля» на южной окраине села	43,54952	39,90537	43,54952	39,90537	00.00.22	00.04.22	Оп	Атм.	Не отмечалось	Активизация оползневого процесса на участке дороги 03К-465 на южной окраине с. Красная Воля. Проявление развивается на левом борту долины р. Большая Хоста. Оползень проходит через верховой и низовой откосы. Оползень в верховом откосе потоковый. Есть несколько локальных очагов, общая протяженность участка 70-80 м. Длина до 100 м. Высота обнажения над полотном дороги 4-5 м. В верховом откосе 2 активных очага. Оползают суглинки сильно разжиженные, склон обводнен. В оползание также вовлечены крупные обломки аргиллитов и песчаников. В низовом откосе оползень ступенчатый, в подножии поваленные деревья. Размеры 1-й оползневой ступени 50*10 м. Разбит крупными трещинами. Инженерно-геологическое обследование проведено 12 апреля. Повторная активизация отмечалась по сообщениям СМИ 19 апреля.		
23.2022.0093	Южный	Краснодарский край	МО г. Сочи, Адлерский район, южная часть с. Хлебороб, ул. Центральная в районе домовладения №6В	43,55683	39,88464	43,55683	39,88464	00.00.22	00.04.22	Оп	Атм.	Отмечалось	По ул. Центральная в с. Хлебороб Адлерского района активен оползневой очаг в низовом откосе дороги. Просадки и деформации на протяжении 10 м. Высота стенки срыва около 10 см. На асфальте трещины растяжения. Оползень активен на площади около 400 м^2.		
23.2022.0094	Южный	Краснодарский край	МО г. Сочи, Адлерский район, участок дороги 03К-452 «п. Хоста – с. Калиновое Озеро» в 0,7 км к северу от с. Хлебороб	43,56964	39,88960	43,56964	39,88960	00.00.22	00.04.22	Оп	Атм.	Не отмечалось	В Адлерском районе на участке дороги к с. Калиновое озеро активен оползневой отрезок склона. Проявление развивается в верховьях левостороннего притока р. Малая Хоста в привершинной части склона вдоль автомобильной дороги. На отрезке протяженностью около 180 м отмечается два оползневых участка. Участок на левом фланге находится в стадии стабилизации. На правом фланге – отмечается небольшая активность обвально-оползневых процессов. Общая ширина активного проявления в верхней части 7-8 м, в средней части расширяется до 30-40 м. Высота очага над дорожной врезкой около 12-15 м. В подножии установлены бетонные ограждения дороги (блоки). В оползание вовлечены суглинки, выветрелые аргиллиты.		
23.2022.0095	Южный	Краснодарский край	МО г. Сочи, Адлерский район, с. Илларионовка, ул. Центральная	43,59884	39,89261	43,59884	39,89261	00.00.22	00.04.22	Оп	Атм.	Не отмечалось	Активизация оползневого процесса в верховом откосе дороги в с. Илларионовка по ул. Центральная. Общая протяженность участка с одинаковыми условиями – около 100 м, причем самая активная часть шириной около 20 м. Свежий сошедший блок со взрослыми деревьями, его параметры 3*3 м. Кроме того, присутствуют блоки, готовые к обрушению и оползанию в прибровочной части. Высота стенки срыва около 1 м. В оползание вовлечена верхняя часть делювиального чехла и почвенно-растительный слой. Подстилающие коренные породы – аргиллиты и песчаники.		

1	2	3	4	5	6	7	8	9	10	11	12	13	14	15	16
23.2022.0096	Южный	Краснодарский край	МО г. Сочи, Адлерский район, с. Илларионовка, ул. Центральная в районе дома №17	43,59949	39,89198	43,59949	39,89198	00.00.22	00.04.22	Оп	Атм.	Не отмечалось	В Адлерском районе в с. Илларионовка в верховом откосе дороги по ул. Центральная активные оползневые процессы. Активизация сопровождается деформациями на дорожном полотне на протяжении 7 м. Верховой откос дороги обнажен, отмечаются осыпания и оползания делювиальных суглинков и почвенно-растительного слоя на участке шириной около 100 м. Площадь активизации около 1 200 м^2. Активность слабая. Оползневой блок сместился на расстояние около 2 м.		
23.2022.0097	Южный	Краснодарский край	МО г. Сочи, Адлерский район, с. Илларионовка, ул. Центральная в районе домовладения №23	43,60071	39,89124	43,60071	39,89124	00.00.22	00.04.22	Оп	Атм.	Отмечалось	В с. Илларионовка Адлерского района г. Сочи по ул. Центральная активный оползневой очаг. Проявление развивается в делювиальных суглинках. Направление смещения – юго-запад. В верховом откосе дороги слабоактивные маломощные оползания почвенно-растительного покрова на протяжении 100 м. Ширина наиболее активной части 40 м. В низовом откосе рельеф оползневой – отмечаются отсевшие ранее оползневые блоки, валы выпирания. Разрушается обочина дороги, расстояние до проезжей части около 0,5 м. На асфальтовом полотне деформации и вертикальные смещения в диапазоне 0,1-0,2 м.		
23.2022.0098	Южный	Краснодарский край	МО г. Сочи, Адлерский район, участок дороги 03К-452 между селами Илларионовка и Калиновое Озеро	43,60693	39,89258	43,60693	39,89258	00.00.22	00.04.22	Оп	Атм.	Не отмечалось	В Адлерском районе г. Сочи на участке постоянных активизаций зафиксировано оползневое событие. Проявление активно на отрезке дороги 03К-452 между селами Илларионовка и Калиновое озеро. Оползень блоково-консистентный, развивается в верховьях левого притока р. Малая Хоста. В верхней части склона обнажение, в головной части которого расположены опоры высоковольтной ЛЭП. Проявление задернованно на 50%, на открытых участках отмечаются следы временных водотоков. В результате неоднократных активизаций оползневого процесса на дороге образован перегиб и понижение около 1,0 м на участке протяженностью около 70 м. На проезжей части следы старых циклов активизации, задета часть дороги, обочина разрушена, под металлическим отбойником отсутствует грунт. Площадь активизации около 400 м^2.		
23.2022.0099	Южный	Краснодарский край	МО г. Сочи, Адлерский район, с. Калиновое Озеро, ул. Центральная в районе домовладения №28А	43,61766	39,88741	43,61766	39,88741	00.00.22	00.04.22	Оп	Атм.	Отмечалось	В Адлерском районе в с. Калиновое Озеро на дороге по ул. Центральная активный оползень. Проявление развивается в северо-восточном направлении в долину одного из левосторонних притоков р. Малая Хоста. В оползание вовлечены делювиальные суглинки. На автомобильной дороге отмечается воздействие на протяжении 4 м – трещина шириной 5-10 см. Площадь активизации около 100 м^2.		
23.2022.0100	Южный	Краснодарский край	МО г. Сочи, Адлерский район, юго-западная окраина с. Верхнениколаевское, ул. Заречная в районе домовладения № 1/26	43,49846	39,91742	43,49846	39,91742	00.00.22	00.04.22	Оп	Атм.	Не отмечалось	В Адлерском районе г. Сочи в с. Верхнениколаевское активен оползень по ул. Заречная. Проявление развивается в делювиальных суглинках. Базис оползания – днище долины р. Старики (левобережный приток р. Кудепста). Деляпсий разжижен, увлажнен. Язык оползня достигает полотна дороги. В подножии поваленные стволы деревьев. Длина оползня-потока около 50 м при ширине 30 м. Фактором активизации опасного ЭГП выступают атмосферные осадки.		

1	2	3	4	5	6	7	8	9	10	11	12	13	14	15	16
23.2022.0101	Южный	Краснодарский край	МО г. Сочи, Адлерский район, юго-западная окраина с. Верхнениколаевское, ул. Мостовая в районе домовладения №63	43,50634	39,92462	43,50634	39,92462	00.00.22	00.04.22	Оп	Атм.	Отмечалось	В Адлерском районе г. Сочи по ул. Мостовая в с. Верхнениколаевское активен оползневой процесс. Оползание дорожного полотна и подстилающих делювиальных суглинков. В центральной части оползня проходит балочный врез, обводненный во время дождя. Просадки и деформации на асфальтовом полотне и обочине на протяжении 7 м – задействована одна полоса дороги (2,5 м). Вертикальные смещения составили около 30 см. Проявление развивается в приводораздельной части склона долины р. Старики (левосторонний приток р. Кудепста). Проявление активно на площади около 2 500 м^2.		
23.2022.0102	Южный	Краснодарский край	МО г. Сочи, Адлерский район, юго-западная окраина с. Верхнениколаевское, х. Старый Кляр, ул. Кузнечная в районе домовладения №44Б	43,50634	39,92462	43,50634	39,92462	00.00.22	00.04.22	Оп	Атм.	Отмечалось	В Адлерском районе г. Сочи по ул. Кузнечная в х. Старый Кляр активен оползневой процесс. Проявление затронуло низовой откос дороги и обочину. Деформации и трещины дорожного полотна на протяжении 15-20 м. Оползневая просадка грунта вблизи обочины, величиной 0,5 м. В верховом откосе старый забор, наклоненный в сторону оползания, газовая труба ровная, столбы-опоры ЛЭП имеют небольшой наклон. Низовой откос полностью покрыт растительностью, плохой обзор. В целом, активность слабая. Проявление развивается в западном направлении к днищу долины р. Старики в средней части склона горы Сахарная Головка. Оползень активен на площади 30*40 м.		
23.2022.0103	Южный	Краснодарский край	МО г. Сочи, Адлерский район, с. Вардане-Верино, СТ Фара, ул. Веринская	43,50289	39,95221	43,50289	39,95221	00.00.22	00.04.22	Оп	Атм.	Не отмечалось	В Адлерском районе г. Сочи на территории садоводческого товарищества в пределах с. Вардане-Верино активен оползневой процесс. Оползень блоково-консистентный, развивается в верховом откосе вдоль ул. Веринская. Присутствуют несколько съехавших блоков шириной от 1,0 до 2,0 м. Степень активности не высокая, в теле оползня фрагментарно имеется травянистая растительность. Высота стенки срыва около 0,5 м в центральной части, до 1,5 м по флангам. Рядом расположены хозяйственные постройки и жилой дом. В низовом откосе. Рельеф оползневой, при этом склон полностью закрыт растительностью. Проявление развивается в приводораздельной части между реками Старики (приток р. Кудепста) и Большая Хорота. Направление развития – северо-запад к днищу долины р. Старики. Площадь активизации составляет около 700 м^2.		
23.2022.0104	Южный	Краснодарский край	МО г. Сочи, Адлерский район, северо-западная часть с. Вардане-Верино, ул. Чайная	43,49945	39,94817	43,49945	39,94817	00.00.22	00.04.22	Оп	Атм.	Отмечалось	В Адлерском районе г. Сочи по ул. Чайная в с. Вардане-Верино активен оползневой очаг. На новом асфальте свежие трещины, деформации по флангам оползня, развивающегося в верховьях р. Малая Хорота. На дороге перегиб высотой около 10 см. В оползание вовлечены делювиальные суглинки. Площадь активизации составляет около 1 000 м^2.		
23.2022.0105	Южный	Краснодарский край	МО г. Сочи, Адлерский район, участок дороги между селами Вардане-Верино и Бестужевское	43,49485	39,94881	43,49485	39,94881	00.00.22	00.04.22	Оп	Атм.	Отмечалось	В Адлерском районе г. Сочи на участке дороги между селами Вардане-Верино и Бестужевское активизация оползня. Проявление развивается в верховьях р. Малая Хорота в приводораздельной части склона. Активизация опасного ЭГП привела к деформациям и вертикальным смещениям обочины на протяжении 20 м. Высота стенки срыва около 0,5 м. Выгнут металлический отбойник дорожного ограждения, погнута газовая труба. Под асфальтом грунт фрагментарно отсутствует. Площадь активизации составляет около 2 400 м^2.		

1	2	3	4	5	6	7	8	9	10	11	12	13	14	15	16
23.2022.0106	Южный	Краснодарский край	МО г. Сочи, Адлерский район, участок дороги к северу от с. Бестужевское	43,49377	39,94671	43,49377	39,94671	00.00.22	00.04.22	Оп	Атм.	Отмечалось	В Адлерском районе г. Сочи к северу от с. Бестужевское активный оползневой процесс с деформациями дорожного покрытия. Трещина на протяжении 10 м с шириной раскрытия 5 см. На дороге вертикальные смещения высотой 10 см. Проявление развивается в верховьях р. Малая Хорота в приводораздельной части склона. Склон залесен, в рельефе оползневые признаки не просматриваются. Площадь активизации составляет около 400 м^2.		
23.2022.0107	Южный	Краснодарский край	МО г. Сочи, Адлерский район, участок дороги между селами Бестужевское и Орел-Изумруд	43,47863	39,93222	43,47863	39,93222	00.00.22	00.04.22	Оп	Атм.	Не отмечалось	В Адлерском районе г. Сочи на участке дороги между селами Бестужевское и Орел-Изумруд активен оползневой процесс. Это участок постоянных активизаций. В низовом откосе устроена защитная стенка из буронабивных скважин. В верховом откосе обнажение высотой около 5 м над полотном дороги. В оползание вовлечены делювиальные суглинки, на склоне вывалы грунта при расчистке дороги. Оползень развивается в юго-восточном направлении. Площадь активизации составляет около 1 200 м^2.		
23.2022.0108	Южный	Краснодарский край	МО г. Сочи, Адлерский район, с. Веселое, СТ Россия, пер. Васильковый, 12	43,42843	39,99374	43,42843	39,99374	00.00.22	00.04.22	Оп	Атм.	Не отмечалось	В с. Веселое Адлерского района по пер. Васильковый активен оползневой процесс. Дорога проходит по местному водоразделу. Оползень фронтальный шириной 25-30 м, развивается в северо-западном направлении к днищу балки. В оползание вовлечены делювиальные суглинки. В средней части проявления отмечаются высачивания родников, из нескольких водотоков формируется единое русло. Расстояние до жилого дома №12 около 7 м. Фактор активизации – обильные атмосферные осадки.		
23.2022.0109	Южный	Краснодарский край	МО г. Сочи, Адлерский район, северная окраина с. Нижняя Шиловка, ул. Лавровая в районе домовладения №2	43,48031	40,03283	43,48031	40,03283	00.02.22	00.04.22	Оп	Атм.	Отмечалось	Активизация оползневого процесса на дороге, ведущей в с. Ермоловка. Оползень развивается в средней части склона в верховьях правостороннего притока р. Псоу. Направление смещения – юго-восток. Параметры активного очага – около 70 м длиной при ширине 50 м. Активизация привела к деформациям бетонных плит на дороге на протяжении 50 м. Выше дороги в рельефе четко видны оползневые блоки.		ЧС муниципального характера №302 от 17.02.2022
23.2022.0110	Южный	Краснодарский край	МО г. Сочи, Адлерский район, к северу от с. Нижняя Шиловка по дороге на с. Ермоловка	43,48323	40,03362	43,48323	40,03362	00.02.22	00.04.22	Оп	Атм.	Отмечалось	Оползневыми подвижками разрушена одна полоса бетонной дороги к северу от с. Нижняя Шиловка. Произошло обрушение бетонных плит на протяжении 20 м. Под другими плитами отсутствует грунт на глубину 1,5-2,0 м. Выше дороги отмечаются обрушения песчаников. Общая длина активного проявления около 30 м. Под дорогой выведена труба большого диаметра для отвода воды, собирающейся в верхней части склона. Она обводнена, что является дополнительным фактором активизации.		ЧС муниципального характера №302 от 17.02.2022
23.2022.0111	Южный	Краснодарский край	МО г. Сочи, Адлерский район, в 1,5 км к северу от с. Нижняя Шиловка по дороге на с. Ермоловка	43,48762	40,02824	43,48762	40,02824	00.02.22	00.04.22	Оп	Атм.	Отмечалось	В результате оползневых подвижек, происходивших неоднократно на участке дороги в 1,5 км к северу от с. Нижняя Шиловка, было снято бетонное основание дороги. Покрытие отсутствует на протяжении 20 м, отсыпана гравийная перемычка. На момент обследования отмечается приращение оползня по флангам – проявление активно на площади около 2 000 м^2. Вертикальные смещения на этом отрезке достигают 1,0-1,5 м глубины.		ЧС муниципального характера №302 от 17.02.2022

1	2	3	4	5	6	7	8	9	10	11	12	13	14	15	16
23.2022.0112	Южный	Краснодарский край	МО г. Сочи, Адлерский район, в 3,7 км к северу от с. Нижняя Шиловка по дороге на с. Ермоловка	43,49057	40,02604	43,50290	40,02604	00.02.22	00.04.22	Оп	Атм.	Отмечалось	В 3,7 км к северу от с. Нижняя Шиловка в верховом откосе дороги отмечается оползневое проявление. Направление развития – восток-юго-восток в верховьях правобережного притока р. Псоу. Проявление активно в привершинной части водораздельного хребта между долинами рек Мзымта и Псоу. Выше дороги обнажение делювиальных суглинков. Проявление осложнено эрозионными бороздами временных водотоков. Отмечаются маломощные оползневые блоки в подножии и по флангам. В створе с оползнем установлена опора высоковольтных ЛЭП №76. На автомобильной дороге отмечается оползневое понижение. Ширина проявления – около 30 м, длина 10 м.		ЧС муниципального характера №302 от 17.02.2022
23.2022.0113	Южный	Краснодарский край	МО г. Сочи, Адлерский район, с. Ахштырь, ул. Кропоткинская, в районе строения №26	43,51209	40,00473	43,51209	40,00473	00.00.22	00.04.22	Оп	Атм.	Отмечалось	На дороге по ул. Кропоткинская в с. Ахштырь активен оползневой процесс. Подвижки затронули бетонную дорогу – отмечается расхождение полос дороги и понижение между ними. Максимальное расхождение между бетонными плитами около 20 см. Деформации полотна отмечаются на протяжении 70 м. Понижение в осевой части оползня достигает 0,5 м. Проявление активно в средней части склона, базис развития – днище долины левобережного притока р. Мзымты. Под дорогой оборудован водопропуск, не обводнен. Площадь активизации составляет около 1 400 м^2.		
23.2022.0114	Южный	Краснодарский край	МО г. Сочи, Адлерский район, участок автодороги между селами Ахштырь и Черешня, в 1,5 км к северу от с. Черешня	43,47330	39,98485	43,47330	39,98485	00.00.22	00.04.22	Оп	Атм.	Отмечалось	На дороге между селами Черешня и Ахштырь активизация оползневого процесса. Фронтальный оползень на левом борту долины р. Мзымта в нижней части склона. Оползень ступенчато спускается к днищу долины. Наибольшие деформации на протяжении 5-7 м – одна полоса дороги просела. На левом фланге тянется трещина закола. Отсевший блок с высотой стенки срыва около 1,5 м отмечается в низовом откосе дороги. На участках постоянных активизаций оползней бетонные плиты фрагментарно заменены асфальтовым покрытием. Весь участок затрагивают деформации и вертикальные смещения на протяжении 70 м.		
23.2022.0115	Южный	Краснодарский край	МО г. Сочи, Адлерский район, северная окраина с. Черешня, в районе строения по адресу ул. Гранатовая, 15	43,46448	39,97640	43,46448	39,97640	00.00.22	00.04.22	Оп	Атм.	Отмечалось	На северной окраине с. Черешня на дороге активен блоковый оползень. Проявление развивается в нижней части левобережного склона р. Мзымты. Направление смещения – северо-запад. Дорога выложена бетонными плитами, на стыках которых отмечаются расхождения, разрушения на протяжении 15 м. Вымывается грунт из-под основания дороги. Нижняя часть дороги просела и разломана. В низовом откосе блок шириной 10 м. Высота стенки срыва 0,5 м. Ниже дороги проходит линия электропередач, столбы наклонены. Площадь активизации составляет около 1 000 м^2.		
23.2022.0116	Южный	Краснодарский край	МО г. Сочи, Адлерский район, северная окраина с. Черешня, ул. Владимировская в районе пересечения с ул. Гранатовая	43,45736	39,97362	43,45736	39,97362	00.00.22	00.04.22	Оп	Атм.	Отмечалось	На северной окраине с. Черешня по ул. Владимировская оползневой очаг пересекает полотно дороги. В верховом откосе стенка срыва высотой около 2 м. Выше дороги проходит газовая труба, завалена деляпсием. В низовом откосе стенка срыва высотой 0,5 м, ниже дома. Основание забора деформировано, от вертикали отклонены опоры. Протяженность участка с аналогичными условиями около 80 м, длина 25 м.		

1	2	3	4	5	6	7	8	9	10	11	12	13	14	15	16
23.2022.0117	Южный	Краснодарский край	МО г. Сочи, Адлерский район, северная окраина с. Черешня, ул. Владимировская в районе домовладения №119	43,45571	39,98034	43,45571	39,98034	00.00.22	00.04.22	Оп	Атм.	Отмечалось	В с. Черешня по улице Владимировская оползневые деформации на дорожном полотне. Очаг активен на левом фланге оползня протяженностью около 300 м. Сильные деформации на дороге на протяжении 80-100 м. Вертикальное смещение составляет около 0,5 м. Асфальт разбит трещинами. В обоих откосах плотная жилая застройка. В днище балочного понижения – левобережного притока р. Мзымта идет строительство коттеджного поселка «Зеландия». Площадь активизации составляет около 3 000 м^2.		
23.2022.0118	Южный	Краснодарский край	МО г. Сочи, Адлерский район, с. Черешня, ул. Владимировская №114А	43,45615	39,98615	43,45615	39,98615	00.00.22	00.04.22	Оп	Атм.	Отмечалось	В с. Черешня по улице Владимировская в районе домовладения №114А оползневые деформации на дорожном полотне. Очаг активен на правом фланге оползня шириной около 280 м. Площадь активной части около 1 600 м^2. Сильные деформации, просадки на автодороге на протяжении 70 м. На территории домовладения выше дороги начались разрушения – забетонированная площадка перед домом разбита трещиной, из-под площадки вымывается грунт. Ниже дома проходит газовая труба, без видимых деформаций. На дороге частично снят асфальт. Ниже дороги выровненная площадка, очевидно, планировка участка под жилое строительство. Проявление активно на правом борту долины левостороннего притока р. Мзымты.		
23.2022.0119	Южный	Краснодарский край	МО г. Сочи, Адлерский район, с. Черешня, ул. Владимировская в районе домовладения №112	43,45582	39,98760	43,45582	39,98760	00.00.22	00.04.22	Оп	Атм.	Не отмечалось	Выше основной дороги по ул. Владимировская в районе домовладения №112 активен оползневой очаг. Оползень блоковый, в нижней части консистентный. Длина 50-60 м, ширина 30-40 м. Высота стенки срыва 0,5 м. В верхней части оползень каскадный, блоковый, в языковой части консистентный, деляпсий сползает на дорогу. Оползающие породы представлены суглинком, очень жирным, с редкими включениями мелкой дресвы. В средней части оползня образовалась промоина, эрозионный врез формируется.		
23.2022.0120	Южный	Краснодарский край	МО г. Сочи, Адлерский район, с. Черешня в районе домовладения №1Б по ул. Гомельская	43,45114	39,98527	43,45114	39,98527	00.00.22	00.04.22	Оп	Атм.	Отмечалось	Обрушение одной полосы низового откоса дороги в районе домовладения №1Б по ул. Гомельская. Ниже дороги проходит труба водовода, видимых деформаций не отмечается. Высота стенки срыва около 0,4 м, отсевший оползневой блок. Разрушения отмечаются на протяжении 5 м. Затронута одна полоса дороги. Площадь активизации составляет около 400 м^2.		
23.2022.0121	Южный	Краснодарский край	МО г. Сочи, Адлерский район, с. Верхне-Веселое, ул. Миндальная, в районе домовладения №30	43,42078	39,97469	43,42078	39,97469	00.00.22	00.04.22	Оп	Атм.	Отмечалось	В с. Верхне-Веселое в низовом откосе дороги по ул. Миндальная в районе домовладения №30 активен оползень. Очаг развивается в западном направлении. На дороге деформации на протяжении 20 м: просадка и трещины на новом асфальте. Бетонная площадка (парковка) нависает над дорогой, под ней вымыто грунтовое основание. Дорога просела на 20 см. В низовом откосе рельеф валунно-западинный, съехавшие ранее блоки с деревьями. Вдоль проходит пластиковая труба водовода небольшого диаметра. На дороге трещины шириной раскрытия 10 см, глубиной 20 см. Активность около 30%. Площадь активизации составляет около 900 м^2.		

1	2	3	4	5	6	7	8	9	10	11	12	13	14	15	16
23.2022.0122	Южный	Краснодарский край	МО г. Сочи, Адлерский район, ул. Белых Акаций в районе ЖК «Курортный»	43,47515	39,90514	43,47515	39,90514	00.00.22	00.04.22	Оп	Атм.	Не отмечалось	Активный оползневой очаг по ул. Белых Акаций в районе ЖК «Курортный». В центральной части и на правом фланге деляпсий увлажнен, разжижен. Формируются глинистые потоки. Активизация на правом борту, оползание в южном направлении в ложбину. Негативный процесс затронул технологическую дорогу, которая использовалась при строительстве ЖК Курортный. Параметры активизации: откололся блок шириной 30 м при длине 50 м. Кроме того, в прибровочной части съехал небольшой блок 1*3 м. На левом борту балки оползневой склон застраивается частными жилыми домами. При подрезке склона также отмечаются маломощные оползания.		
23.2022.0123	Южный	Краснодарский край	МО г. Сочи, Адлерский район, ЖК «Курортный»	43,47634	39,90617	43,47634	39,90617	00.00.22	00.04.22	Оп	Атм.	Не отмечалось	Активный оползневой очаг в верховьях балочного вреза. В днище построен ЖК «Курортный». Проявление активно в верхней части склона. В прибровочной части оползают суглинки. Свежая активность на протяжении 30 м. Длина проявления около 15 м. Наибольшая активность отмечается на правом фланге и в головной части. В оползание вовлечены техногенные грунты, делювиальные суглинки. Направление развития опасного ЭГП – северо-запад		
23.2022.0124	Южный	Краснодарский край	МО г. Сочи, Адлерский район, южная окраина с. Липники, ул. Липецкая	43,49866	39,97070	43,49866	39,97070	00.00.22	00.04.22	Оп	Атм.	Не отмечалось	Активный оползневой очаг в верховом откосе дороги на южной окраине с. Липники. Проявление развивается в западном направлении в верховьях левобережного притока р. Большая Хорота. Ранее на этом участке дороги отмечались активные оползневые процессы. После установки инженерной защиты в низовом откосе, процесс стабилизировался. В настоящее время отмечается приращение оползня на правом фланге выше полотна дороги. В низовом откосе многочисленными малообъемными трещинами, блоками растянут весь оползневой склон. Самая активная часть 5 м длиной, шириной 30 м. В верховом откосе обнажаются песчаники с аргиллитами. В месте пересечения оползневого тела автомобильной дорогой отмечается высачивание родников.		
23.2022.0125	Южный	Краснодарский край	МО г. Сочи, Адлерский район, технологическая дорога к зданию «Россети» у впадения р. Пслух в р. Мзымту	43,66171	40,33995	43,66171	40,33995	00.00.22	00.04.22	Оп	Атм.	Не отмечалось	Правый берег реки Мзымты в месте впадения в нее р. Пслух. Активное оползневое проявление в нижней части склона. В оползание вовлечены аргиллиты, делювиальные суглинки. Уступ обнаженный, практически отвесный. В центральной части и по флангам лишен растительности. Отмечаются высачивания родников. Высота над урезом воды около 20 м. Площадь активизации составляет около 75 м^2.		
23.2022.0126	Южный	Краснодарский край	МО г. Сочи, Адлерский район, технологическая дорога к зданию «Россети» в устье селя №4	43,66108	40,32847	43,66108	40,32847	00.00.22	00.04.22	Оп	Атм.	Не отмечалось	Левый берег реки Мзымты в устье селя №4. В русле селя крупные глыбы. По бортам фиксируются оползания делювиального чехла. Мощность селевых наносов в устьевой части 3-4 м. В нижней части склона ширина участка активизации около 30 м. В средней части склона сель №4 сливается с селем №5, образуя активный участок шириной около 100 м, длиной 170 м. В верхней части склона на технологическом съезде с ул. Альпийское шоссе также отмечаются активные оползания по обоим бортам. Через русло селя проложен короб с коммуникациями, он деформирован.		

1	2	3	4	5	6	7	8	9	10	11	12	13	14	15	16
23.2022.0127	Южный	Краснодарский край	МО г. Сочи, Адлерский район, 0,9 км к северо-востоку от смотровой площадки у объектов электроснабжения по ул. Альпийское шоссе	43,65271	40,34587	43,65271	40,34587	00.00.22	00.04.22	Оп	Атм.	Не отмечалось	Оползневой очаг на правом борту долины р. Мзымты после впадения в нее ручья Пограничного. Активность проявления около 20%. В оползание вовлечены делювиальные суглинки и коренные породы. Обнажение на отвесном склоне, практически не задернованно. Площадь активизации составляет около 2 100 м^2.		
23.2022.0128	Южный	Краснодарский край	МО г. Сочи, Адлерский район, участок автодороги 03К-568 (ул. Альпийское шоссе)	43,64872	40,33379	43,64872	40,33379	00.00.22	00.04.22	Оп	Атм.	Не отмечалось	Левобережный приток р. Мзымты в среднем течении. По обоим бортам активные оползневые проявления. На левом борту оползень затрагивает обочину дороги, на самой дороге разрушений нет. Оползень слабоактивный, блоково-консистентный, согласно времени года, покрывается растительностью. Имеется высачивание родников. Общая протяженность участка около 40-50 м, длина 30 м. В теле единичные деревья возрастом 2-3 года.		
23.2022.0129	Южный	Краснодарский край	МО г. Сочи, Адлерский район, участок автодороги 03К-568 (ул. Альпийское шоссе) перед туннелем «№2 Роза-Хутор»	43,65448	40,32918	43,65448	40,32918	00.00.22	00.04.22	Оп	Атм.	Не отмечалось	Оползневое проявление на левом борту эрозионно-балочного вреза (левобережного притока р. Мзымты). Оползень развивается в делювиально-коллювиальных отложениях с захватом коренных пород. Угол откоса около 80-90. Задернован на 40%. Активны процессы физического выветривания, эрозии временных водотоков. Площадь активизации составляет около 13 000 м^2.		
23.2022.0130	Южный	Краснодарский край	МО г. Сочи, Адлерский район, участок автодороги 03К-568 (ул. Альпийское шоссе) над туннелем «№2 Роза-Хутор»	43,65537	40,33301	43,65537	40,33301	00.00.22	00.04.22	Оп	Атм.	Не отмечалось	Оползневое проявление на левом борту эрозионно-балочного вреза (левобережного притока р. Мзымты). Оползень развивается в делювиально-коллювиальных отложениях с захватом коренных пород. Угол откоса около 80-90. Обнажен, активен. Развиты процессы физического выветривания, эрозии временных водотоков. Площадь активизации составляет около 17 600 м^2.		
23.2022.0131	Южный	Краснодарский край	МО г. Сочи, Адлерский район, участок автодороги 03К-568 (ул. Альпийское шоссе) в 250 м к юго-западу от туннеля «№2 Роза-Хутор»	43,65369	40,32584	43,65369	40,32584	00.00.22	00.04.22	Оп	Атм.	Не отмечалось	Оползневое проявление на левом борту эрозионно-балочного вреза (левобережного притока р. Мзымты). Оползень развивается в делювиально-коллювиальных отложениях с захватом коренных пород. Угол откоса около 70. Поверхность оползня обнажена, активна. В нижней части у полки дороги имеются коллювиально-делювиальные накопления. Склон был задернован геотекстилем, сеткой. В настоящее время укрывной материал значительно нарушен. Площадь активизации составляет около 2 000 м^2.		

1	2	3	4	5	6	7	8	9	10	11	12	13	14	15	16
23.2022.0132	Южный	Краснодарский край	МО г. Сочи, Адлерский район, технологический съезд с автодороги 03К-568 (ул. Альпийское шоссе) к станции канатной дороги «Экстрим 1044»	43,65701	40,33027	43,65701	40,33027	00.00.22	00.04.22	Оп	Атм.	Отмечалось	Оползневое проявление в верховье селя №2. Сель формируется из 2-х вершин на расстоянии 50-70 м. Вниз по склону они сливаются в единую долину. Мощность накоплений по бортам 2-3 м. Имеются высачивания родников – на левом борту. Борта эрозионного вреза оползневые. В русле стволы деревьев. Съезд на технологическую дорогу, под которой оборудован бетонный водопропуск. Площадь активизации составляет около 300 м^2.		
23.2022.0133	Южный	Краснодарский край	МО г. Сочи, Адлерский район, технологический съезд с автодороги 03К-568 (ул. Альпийское шоссе)	43,65762	40,32978	43,65762	40,32978	00.00.22	00.04.22	Оп	Атм.	Отмечалось	Оползневое проявление в верховье селя №3. Широкая выработанная долина с оползневыми бортами. Питание происходит с верхней части склона. В период обследования идет активное таяние снега. Под дорогой бетонный лоток для воды – очень обводнен. Под ней отсутствует грунт на 3 м. Мощность селевых накоплений 5-7 м. Угол откоса крутой, около 70-80°. В русле балочного вреза стволы деревьев. Площадь активизации составляет около 150 м^2.		
23.2022.0134	Южный	Краснодарский край	МО г. Сочи, Адлерский район, технологический съезд с автодороги 03К-568 (ул. Альпийское шоссе)	43,65803	40,32796	43,65803	40,32796	00.00.22	00.04.22	Оп	Атм.	Не отмечалось	Оползневое проявление в верховье селя №3. Разрушено технологическое сооружение с коммуникациями. На крыше следов деляпсия нет. Левый фланг оползня активен. Крутизна склона достигает 80% вблизи низового откоса автодороги. Расстояние от подпорной стенки низового откоса дороги до стенки срыва около 10 м. Стенка срыва высотой 1,5 м. В верхней части склона эрозионный врез без водотока, в средней части водоток проявляется. В теле оползня крупные стволы деревьев. По бортам оползания почвенно-растительного покрова. Площадь активизации составляет около 1 400 м^2.		
23.2022.0135	Южный	Краснодарский край	МО г. Сочи, Адлерский район, автодорога 03К-568 (ул. Альпийское шоссе)	43,65943	40,32682	43,65943	40,32682	00.00.22	00.04.22	Оп	Атм.	Не отмечалось	Оползневое проявление в верховье селя №4. Обильный водоток. В верховом откосе дороги подпорная стена с выведенным водотоком. Обнажения выветрелых аргиллитов. Активные оползания прослеживаются на протяжении 100 м из двух вершин. В низовом откосе оборудован технологический короб с коммуникациями, без видимых повреждений. Площадь активизации составляет около 2 450 м^2.		
23.2022.0136	Южный	Краснодарский край	МО г. Сочи, Адлерский район, автодорога 03К-568 (ул. Альпийское шоссе)	43,66062	40,31184	43,66062	40,31184	00.00.22	00.04.22	Оп	Атм.	Отмечалось	Продолжаются процессы оползания по бортам ручья Черного. Подпорная стена деформирована под давлением оползневых масс. В настоящее время дополнительно укреплена. На дороге многочисленные латки, трещины, деформации. Вдоль верхового откоса устроен водоотводящий лоток, который в настоящее время засыпан осыпающимися породами и обводнен. В низовом откосе трещины отседания. На обочине перегиб высотой 1 м. Вниз по склону каскад отсевших ступеней, в понижениях стоит вода. В месте наибольших деформаций подпорной стены идет активное высачивание родников. Левый борт активен, не смотря на обширные укрепления по бортам и дну ручья. В русле крупные стволы деревьев, обнажения аргиллитов. Площадь активизации составляет около 20 000 м^2.		
23.2022.0137	Южный	Краснодарский край	МО г. Сочи, Адлерский район, автодорога 03К-568 (ул. Альпийское шоссе)	43,66456	40,29914	43,66456	40,29914	00.00.22	00.04.22	Оп	Атм.	Не отмечалось	На левом борту долины Сулимовского ручья, вдоль дороги в верховом откосе активное проявление с несколькими очагами. В зоне воздействия находятся две опоры канатной дороги. В оползание вовлечены суглинки в местах разрыва геотекстиля. В подножии склона бетонная подпорная стенка. Площадь активизации составляет около 5 400 м^2.		

1	2	3	4	5	6	7	8	9	10	11	12	13	14	15	16
23.2022.0138	Южный	Краснодарский край	МО г. Сочи, Адлерский район, с. Эсто-Садок, ул. Березовая	43,68805	40,25772	43,68805	40,25772	00.00.22	00.04.22	Оп	Атм.	Не отмечалось	Активный оползневой склон. В подножии свежие коллювиально-делювиальные массы. В оползание вовлечены суглинки, щебнистые аргиллиты, дресва. На левом фланге наблюдается высачивание родников. Идет приращение в головной части. Оползень отступает назад, вверх по склону. В верхней части отсевшие блоки, с растущими на ними деревьями. Общая ширина оползня 50 м. Уступ сложен тонкослоистым аргиллитами. Площадь активизации составляет около 500 м^2.		
23.2022.0139	Южный	Краснодарский край	МО г. Сочи, Адлерский район, пгт. Красная Поляна, ул. Защитников Кавказа	43,68692	40,20977	43,68692	40,20977	00.00.22	00.04.22	Оп	Атм.	Отмечалось	Склон с ярко выраженным оползневым рельефом, в верховом откосе производится вырубка деревьев. На дорожном полотне оползневые деформации, просадка составила около 30 см, деформации на дороге прослеживаются на протяжении 5 м. Площадь активизации составляет около 300 м^2.		
23.2022.0140	Южный	Краснодарский край	МО г. Сочи, Адлерский район, пгт. Красная Поляна, ул. Защитников Кавказа	43,68853	40,21152	43,68853	40,21152	00.00.22	00.04.22	Оп	Атм.	Не отмечалось	Активный оползневой очаг в верховом откосе автодороги. Склон крутой, открытый, не задернованный, присутствует отделившийся блок. В подножии свежие отложения деляпсия. Площадь активизации составляет около 60 м^2.		
23.2022.0141	Южный	Краснодарский край	МО г. Сочи, Адлерский район, пгт. Красная Поляна, ул. Защитников Кавказа	43,68798	40,21535	43,68798	40,21535	00.00.22	00.04.22	Оп	Атм.	Отмечалось	Блоковый оползень. Отсевшая оползневая ступень, высотой 0,5-0,7 м. Разрушена 1 полоса автодороги. Трещины с шириной раскрытия 3 см длиной до7 м. В верховом откосе трещины на бетонной подпорной стене. Обнажение на протяжении 40 м. Деревья саблевидной формы. В рельефе наблюдается перегиб. Склон крутой, с углом наклона до 80^0, задернован, общая протяженность оползневого участка 25-30 м. Присутствуют трещины закола, грунт в теле оползня рыхлый. Площадь активизации составляет более 600 м^2.		
23.2022.0142	Южный	Краснодарский край	МО г. Сочи, Адлерский район, пгт. Красная Поляна	43,68601	40,20819	43,68601	40,20819	00.00.22	00.04.22	Оп	Атм.	Не отмечалось	Свежий обвально-оползневой очаг в средней части правобережного склона долины р. Мзымта. В верховом откосе селевого типа. В верхней части блоковый, к низу потоковый. Нарушена сплошность пород. В оползание вовлечены дресвяные и щебнистые суглинки Деревья саблевидной формы. Высота стенки срыва до 1 м. На левом фланге высачивание подземных вод. Коллювий достигает обочины в низовом откосе дороги. Площадь активизации составляет около 50 м^2.		
23.2022.0143	Южный	Краснодарский край	МО г. Сочи, Адлерский район, пгт. Красная Поляна	43,68802	40,20577	43,68802	40,20577	00.00.22	00.04.22	Оп	Атм.	Не отмечалось	Оползневое проявление на петле автодороги. Тело оползня обводнено, множество высачивающихся родников. Оползень разделен на два потока, разделенных целиком. В подножии накопления коллювия-деляпсия. Дорога была расчищена, отвалы перемещены на склон в низовом откосе. В подножии поваленные деревья. Просматривается стенка срыва высотой до 1,5 м. Оползень развивается на левом фланге балочного вреза. Площадь активизации составляет около 400 м^2.		
23.2022.0144	Южный	Краснодарский край	МО г. Сочи, Адлерский район, дорога А-149, 31-й км	43,63237	40,09626	43,63237	40,09626	00.00.22	00.04.22	Оп	Атм.	Не отмечалось	На повороте дороги активное обвально-осыпное проявление, общей протяженностью 150 м. В подножии свежие накопления малой мощности. Склон на 90% обнажен. Высота склона над полотном дороги достигает 17 м. Площадь активизации составляет около 3 000 м^2.		

1	2	3	4	5	6	7	8	9	10	11	12	13	14	15	16
23.2022.0145	Южный	Краснодарский край	МО г. Сочи, Адлерский район, дорога А-149, 30-й км	43,63130	40,09120	43,63130	40,09120	00.00.22	00.04.22	Оп	Атм.	Не отмечалось	Слабоактивный обвально-оползневой участок в верховом откосе автодороги, на ранее сползшем блоке растут молодые деревья. В подножии осыпные накопления мощностью до 1 м. Высота стенки срыва 1-1,2 м. Ширина активного участка 20 м. Площадь активизации составляет около 200 м^2.		
23.2022.0146	Южный	Краснодарский край	МО г. Сочи, Адлерский район, с. Чвижепсе	43,64418	40,07141	43,64418	40,07141	00.00.22	00.04.22	Об	Атм.	Не отмечалось	В долине р. Чвижепсе на правом борту активизация обвально-осыпного процесса. По сравнения с предыдущими наблюдениями увеличилась площадь. Размер обломков 20-30 см. Высота склона достигает 20 м. Ширина очага 7 м. Высачивания подземных вод нет, активность не высокая. Площадь активизации составляет около 140 м^2.		
23.2022.0147	Южный	Краснодарский край	МО г. Сочи, Центральный район, СНТ Железнодорожник, пос. 73-й километр, ул. Ландышевая, 65	43,63959	39,68277	43,63959	39,68277	00.00.22	00.04.22	Оп	Атм.	Отмечалось	В Центральном районе г. Сочи по ул. Ландышевая, 65 зафиксировано оползневое проявление. Оползень блоково-консистентный. На асфальтированной дороге деформации на протяжении 70 м, просадка составляет 20 см. На одном из участков обрушение подпорной стенки. На склоне присутствует отделившийся блок шириной 20 м, длиной 7 м. Рельеф оползневой, наблюдаются резкие перегибы, обнажаются стенки срыва, верхняя 2 м, нижняя около 8 м. В подножии склона разжиженный деляпсий. Разрушены бетонные конструкции, водопровод. Площадь активизации составляет около 2 400 м^2.		
23.2022.0148	Южный	Краснодарский край	МО г. Сочи, Центральный район, СНТ Железнодорожник, пос. 73-й километр, ул. Ландышевая, 168а	43,64255	39,67874	43,64255	39,67874	00.00.22	00.04.22	Оп	Атм.	Не отмечалось	Оползень в верховом откосе автодороги. Оползень поток, ширина 10 м, длина 80 м. Блоково-консистентный со ступенчатым строением. Склон не увлажнен, не задернован. В оползание вовлечены коллювиально-делювиальные отложения		
23.2022.0149	Южный	Краснодарский край	МО г. Сочи, Адлерский район, восточная окраина с. Ахштырь	43,51172	40,02666	43,51172	40,02666	00.00.22	00.04.22	Оп	Атм.	Отмечалось	Оползания происходят в низовом откосе автодороги. Дорога разрушена на протяжении 20 м. В верховом откосе автодороги отмечаются незначительные осыпания. Общая ширина оползня 60 м, активно несколько локальных очагов. В подножии присутствуют водотоки, деляпсий разжижен. Площадь активизации составляет около 3 000 м^2.		
23.2022.0150	Южный	Краснодарский край	МО г. Сочи, Адлерский район, восточная часть с. Высокое	43,47479	39,97831	43,47479	39,97831	00.00.22	00.04.22	Об	Атм.	Не отмечалось	Обвал. Активизация происходит в верховом откосе автодороги по ул. Зеленая. Свежее обнажение. Осыпаются бурые суглинки с включением аллювиального материала до 50%. Площадь активизации составляет 24м^2.		

1	2	3	4	5	6	7	8	9	10	11	12	13	14	15	16
23.2022.0151	Южный	Краснодарский край	МО г. Сочи, Адлерский район, центральная часть с. Высокое	43,47666	39,97417	43,47666	39,97417	00.00.22	00.04.22	Оп	Атм.	Не отмечалось	На левом борту правобережного притока р. Мзымта активизировался оползневой процесс. На склоне присутствует свежий отделившийся блок шириной 7 м, длиной 2 м. в оползание вовлечены делювиальные суглинки. Оползень блоково-консистентный. В подножии разжиженный деляпсий. В осевой части оползня эрозионный врез, собирающий водные потоки. Рядом активно ведется строительство коттеджного поселка на древнеоползневом склоне. Площадь активизации составляет около 200 м^2.		
23.2022.0152	Южный	Краснодарский край	МО г. Сочи, Адлерский район, с. Казачий Брод, ул. Краснофлотская, 57г	43,51719	39,98577	43,51719	39,98577	00.00.22	00.04.22	Оп	Атм.	Отмечалось	Оползневые деформации на автодороге по ул. Краснофлотская. Сильная просадка на дороге. Разрывы и трещины на бетонных плитах. Плиты разошлись на 10-15 см. Ширина раскрытия трещин 5-7 см. Воздействие на дорогу на протяжении 15 м. Площадь активизации составляет около 120 м^2.		
23.2022.0153	Южный	Краснодарский край	МО г. Сочи, Адлерский район, с. Казачий Брод, ул. Краснофлотская	43,51481	39,98864	43,51481	39,98864	00.00.22	00.04.22	Об	Атм.	Не отмечалось	На петле автодороги, на всем протяжении обнажения активно обвально-осыпное проявление. Высота обнажения над плотном дороги 20 м. Верхняя часть склона оголена, нижняя часть склона занята коллювиальными отложениями. В подножии молодые деревья, кустарники. Площадь активизации составляет около 1 200 м^2.		
23.2022.0154	Южный	Краснодарский край	МО г. Сочи, Хостинский район, западная окраина с. Барановка	43,64840	39,72738	43,64840	39,72738	00.00.22	00.04.22	Оп	Атм.	Не отмечалось	Активизация происходит на левом фланге старого оползневого массива. Просматривается ступенчатый рельеф, присутствуют стенки срыва высотой до 2 м. Оползень развивается в сторону днища балки Холодная. Площадь активизации составляет около 800 м^2.		
23.2022.0155	Южный	Краснодарский край	МО г. Сочи, Лазаревский район, с. Сергей-Поле, ул. Новошкольная	43,67625	39,70096	43,67625	39,70096	00.00.22	Не окончено	Оп	Атм.	Отмечалось	Активизация оползневых процессов на долгоживущем оползневом массиве в приводораздельной части восточного склона долины р. Восточный Дагомыс, на территории с. Сергей-Поле. Дорога, отсыпанная щебнем, деформирована, разбита трещинами на отдельные блоки. Просматриваются несколько стенок срыва высотой до 1 м. Произошла общая оползневая просадка территории. Тело оползня в верхней своей части покрыто трещинами с шириной раскрытия до 10 см, глубиной до 20 см. Высота первой оползневой ступени перегиба 2 м. Площадь активизации составляет около 39 000 м^2.		
23.2022.0156	Южный	Краснодарский край	МО г. Сочи, Лазаревский район, с. Сергей-Поле, пер. Масиса, 5	43,67895	39,69795	43,67895	39,69795	00.00.22	00.04.22	Оп	Атм.	Отмечалось	Оползание грунта от дороги переулка Масиса до балки. На участке высота стенки срыва 1 м. Основные деформации на правом фланге оползня. Забор сместился на 1,5 м. Деформированы опоры ЛЭП. В оползание захвачены хозяйственные постройки. Рельеф переформирован. В центральной части оползня грунт переувлажнен. Длина оползня 110 м, ширина 20 м.		

1	2	3	4	5	6	7	8	9	10	11	12	13	14	15	16
23.2022.0157	Южный	Краснодарский край	Муниципальное образование Геленджик, 1493 км федеральной автодороги М-4 «Дон»	44,53633	38,26358	44,53633	38,26358	16.04.22	00.04.22	Оп	Атм.	Отмечалось	По информации СМИ в МО г. Геленджик между селами Возрождение и Михайловский Перевал 16 апреля, в результате обильных осадков, на 1493 км автодороги М-4 «Дон» в низовом откосе автодороги активизировался оползневой процесс. Площадь оползня около 150 м^2. Направление развития - юго-западное, базис оползания – долина р. Мезыбь. Активность ЭГП проявилась в зоне тектонического контакта нижне-верхнемеловых отложений, представленных глинами, алевролитами, песчаниками, перекрытыми плейстоценовыми глыбово-щебнистыми накоплениями. В результате оползневой активности разрушена 1 полоса автодороги на протяжении 15 м. На этом участке автодороги планируется строительство подпорной стенки.		По информации СМИ
23.2022.0158	Южный	Краснодарский край	Муниципальное образование г. Анапа, с. Супсех	44,84887	37,33965	44,84887	37,33965	25.04.22	00.04.22	Об	Атм.	Не отмечалось	По информации СМИ в с. Супсех муниципального образования г. Анапа 25 апреля произошел обвал скальных пород. Площадь обвального проявления около 60 м^2. Размер обломков от 0,1 – до 0,5 м в диаметре. Объем обвала около 18 м^3. Направление развития обвала – западное, базис побережье Черного моря. Обвал произошел на обнаженном морском склоне, сложенном флишевыми породами, трещиноватыми и подверженными активному физическому выветриванию. Растительность на этом участке практически отсутствует. Коллювий представлен обломками песчаников, алевролитов, мергелей верхнемелового возраста. Обвалившиеся массы перекрыли пешеходную дорогу, ведущую к морю.		По информации СМИ
23.2022.0159	Южный	Краснодарский край	МО г. Сочи, Хостинский район, Лысая Гора, ул. Пятигорская в районе дома №90	43,58337	39,74629	43,58337	39,74629	21.04.22	Н.с.	Оп	Атм.	Отмечалось	По информации СМИ в Хостинском районе на Лысой Горе по ул. Пятигорская в районе домовладения №90 сошел оползень. Проявлением повреждена подпорная стена и коммуникации. В оползание вовлечены делювиальные суглинки		По информации СМИ
23.2022.0160	Южный	Краснодарский край	МО г. Сочи, Центральный район, ул. Ландышевая вблизи участка железной дороги 1957 км ПК 8-9 перегона Дагомыс-Сочи	43,63219	39,69075	43,63219	39,69075	25.05.22	Н.с.	Оп	Атм.	Отмечалось	По информации СМИ в Центральном районе г. Сочи по ул. Ландышевая в конце мая сошел оползень. Опасный ЭГП разрушил лестницу, ведущую к морю, засыпал пешеходную тропинку. Имеется опасность перекрытия железной дороги		По информации СМИ ЧС муниципального характера №1509 от 25.05.2022
23.2022.0161	Южный	Краснодарский край	МО г. Сочи, Лазаревский район, Харциз 2-й, ул. Ногинская 2	43,79897	39,61604	43,79897	39,61604	16.06.22	Н.с.	Оп	Атм.	Отмечалось	По информации СМИ в Лазаревском районе муниципального образования городской округ город-курорт Сочи на участке автомобильной дороги местного значения в районе дома № 2 по ул. Ногинская села Харциз Второй в результате ливневых осадков произошло переувлажнение грунта склона с активизацией оползневых процессов, что привело к разрушению дорожного полотна. Затруднен проезд автомобилей, нарушены условия жизнедеятельности. Администрацией МО городской округ город-курорт Сочи в связи с активизацией оползневых процессов введен режим «чрезвычайная ситуация муниципального характера».		По информации СМИ ЧС муниципального характера №1794 от 16.06.2022

1	2	3	4	5	6	7	8	9	10	11	12	13	14	15	16
23.2022.0162	Южный	Краснодарский край	МО г. Сочи, Хостинский район, Новороссийское шоссе ПК 970	43,53191	39,82480	43,53191	39,82480	00.04.22	Н.с.	Оп	Атм.	Отмечалось	По информации СМИ в МО г. Сочи на Новороссийском шоссе активны оползневые процессы. Поврежден участок дороги в районе ПК0+970. По факту происшествия введен режим ЧС муниципального характера. Оползневые процессы на этом участке активизировались в результате обильных ливневых дождей		По информации СМИ ЧС муниципального характера №1060 от 13.04.2022
34.2022.0001	Южный	Волгоградская область	На левом берегу Волгоградского водохранилища, вдоль берегового уступа, напротив с. Рахинка Среднеахтубинского района	49.00911	44.91077	49.00911	44.91077	00.04.22	Не завершилась	Об	Атм., гидрол.	Не отмечалось	Обвальное проявление протяженностью 650 м, расположено на левом берегу Волгоградского водохранилища, вдоль берегового уступа, напротив южной части с. Рахинка Среднеахтубинского района. Комплекс пород осадочный (Q_{III} hv_1). Уступ высотой 3-5 м, сложен верхнечетвертичными коричневыми слоистыми глинами и суглинками, а нижняя его часть - коричневато-желтыми песками Вода омывает подножье уступа. Вдоль бровки встречаются трещины закола шириной до 0,1 м и протяженностью 1,5-4 м. Отступание берега на интервале составило 1.35 м. Активизация на площади 2600 м^2, объем 3510 м^3. Протяженность всего проявления составляет 2200 м. Активность проявления на время обследования - 20 %. Базис - основание берегового уступа водохранилища. Факторы активизации: атмосферные осадки, гидрологический. Край села расположен в 130-200 м от берега.		
34.2022.0002	Южный	Волгоградская область	Напротив южной части п. Приморск Быковского района	49.26186	45.01604	49.26186	45.01604	00.04.22	Не завершилась	Об	Атм., гидрол.	Не отмечалось	Обвальное проявление протяженностью 100 м, расположено на левом берегу Волгоградского водохранилища, вдоль берегового уступа, напротив южной части п. Приморск Быковского района. Комплекс пород осадочный (QIII hv1). Уступ высотой 8 м, сложен верхнечетвертичными коричневато-желтыми песками, в верхней части коричневыми суглинками. Вода омывает подножье уступа. Вдоль бровки встречаются трещины закола шириной до 0,1 м и протяженностью 1,5-4 м. Отступание берега на интервале составило 1.12 м. Активизация на площади 800 м^2, объем 896 м^3. Протяженность всего проявления составляет 1060 м. Активность проявления на время обследования - 13 %. Базис - основание берегового уступа водохранилища. Факторы активизации: атмосферные осадки, гидрологический. Край села расположен в 130-250 м от берега.		
34.2022.0003	Южный	Волгоградская область	Напротив с. Нижний Балыклей Быковского района, на левом берегу Волгоградского водохранилища	49.49658	45.13896	49.49658	45.13896	05.04.22	Не завершилась	Об	Атм., гидрол.	Не отмечалось	Обвальное проявление протяженностью 700 м, расположено вдоль берегового уступа на левом берегу Волгоградского водохранилища, напротив с. Нижний Балыклей. Уступ высотой 8 м, сложен верхнечетвертичными коричневыми глинами и суглинками. Под уступом вода омывает берег. Отступание берега на интервале составило 1,65 м. Активизация на площади 5600 м², объем 9240 м^3. Параметры активизации совпадают с параметрами проявления. Базис - основание берегового уступа водохранилища. Факторы активизации: атмосферные осадки, гидрологический. Отдельные жилые дома расположены в 20-30 м от берега.		

1	2	3	4	5	6	7	8	9	10	11	12	13	14	15	16
34.2022.0004	Южный	Волгоградская область	Р.ц. Быково Быковского района	47.67194	46.54624	47.67194	46.54624	00.04.22	Не заверши-лась	Об	Атм., гидрол.	Не отмечалось	Обвальное проявление протяженностью 3370 м, расположено вдоль берегового уступа на левом берегу Волгоградского водохранилища, напротив р.ц. Быково. Высота уступа повышается в северном направлении от 0-4 до 8-10 м. Сложен он желтовато-коричневыми песками перекрытыми коричневыми глинами и суглинками (0,5-1,5 м). Вдоль бровки уступа встречаются заколы в суглинках шириной до 0,1 м и глубиной раскрытия до 1,5 м. На большей части интервала вода омывает подножье уступа. Отступание берега на интервале составило 1.13 м. Активизация на площади 26960 м², объем 30465 м^3. Протяженность всего проявления составляет 4100 м. Активность проявления на время обследования - 82 %. Базис - основание берегового уступа водохранилища. Факторы активизации: атмосферные осадки, гидрологический. Край села расположен в 170-400 м от берега.		
34.2022.0005	Южный	Волгоградская область	В южной части с. Кислово Быковского района	49.88792	45.37107	49.88792	45.37107	00.04.22	Не заверши-лась	Об	Атм., гидрол.	Не отмечалось	Обвальное проявление протяженностью 500 м, расположено вдоль берегового уступа на левом берегу Волгоградского водохранилища, в южной части с. Кислово Быковского района. Уступ высотой 5-6 м сложен песками. Под уступом имеются следы свежих обвалов, но почти все они размыты водой. Отступание берега на интервале составило 0.14 м. Активизация на площади 2500 м², объем 350 м^3. Протяженность всего проявления составляет 600 м. Активность проявления на время обследования - 83 %. Базис - основание берегового уступа водохранилища. Факторы активизации: атмосферные осадки, гидрологический. Первая линия домов расположена в 70 м от берега.		
91.2022.0026	Южный	Республика Крым	Бахчисарайский район, с Песчаное	44.84431	33.59921	44.84431	33.59921	24.05.22	Развитие	Оп	Атм.	Не отмечалось	Проявление №91-1210-7-1 расположено: Южный федеральный округ, Республика Крым, Бахчисарайский район, с Песчаное. Площадь активной части составила 2%. Признаки и параметры активизации опасного ЭГП: свежий срыв по правому флангу оползня. Параметры проявления опасного ЭГП: длина – 15 м; ширина – 10 м; площадь – 150 м². Состав горных пород, затронутых проявлением: N_2, суглинки желтовато-бурые с редкими прослоями гравия и гальки известняка, кварца, песчаника. Факторы активизации опасного ЭГП: интенсивные или продолжительные атмосферные осадки.		
91.2022.0027	Южный	Республика Крым	Бахчисарайский район, с Песчаное, южная окраина	44.83944	33.60755	44.83944	33.60755	24.05.22	Развитие	Оп	Атм.	Не отмечалось	Проявление №91-1210-8-1 расположено: Южный федеральный округ, Республика Крым, Бахчисарайский район, с Песчаное, южная окраина. Площадь активной части составила 1%. Признаки и параметры активизации опасного ЭГП: свежий срыв в головной части оползня. Параметры проявления опасного ЭГП: длина – 20 м; ширина – 40 м; площадь – 800 м². Состав горных пород, затронутых проявлением: N_2, суглинки желтовато-бурые с редкими прослоями гравия и гальки известняка, кварца, песчаника. Факторы активизации опасного ЭГП: интенсивные или продолжительные атмосферные осадки.		
91.2022.0028	Южный	Республика Крым	Бахчисарайский район, с Песчаное, южная окраина	44.84045	33.61060	44.84045	33.61060	24.05.22	Развитие	Оп	Атм.	Не отмечалось	Проявление №91-1210-11-1 расположено: Южный федеральный округ, Республика Крым, Бахчисарайский район, с Песчаное, южная окраина. Площадь активной части составила 6%. Признаки и параметры активизации опасного ЭГП: трещины закола в языковой части оползня. Параметры проявления опасного ЭГП: длина – 35 м; ширина – 50 м; площадь – 1750 м². Состав горных пород, затронутых проявлением: N_2, суглинки желтовато-бурые с редкими прослоями гравия и гальки известняка, кварца, песчаника. Факторы активизации опасного ЭГП: интенсивные или продолжительные атмосферные осадки.		

1	2	3	4	5	6	7	8	9	10	11	12	13	14	15	16
91.2022.0031	Южный	Республика Крым	Бахчисарайский район, с Счастливое	44.58849	34.04706	44.58849	34.04706	13.04.22	Затухание	Оп	Атм., техн.	Не отмечалось	Проявление №91-1210-42-1 расположено: Южный федеральный округ, Республика Крым, Бахчисарайский район, с. Счастливое. Площадь активной части составила 2,8%. Признаки и параметры активизации опасного ЭГП: оплывание грунта, трещина отрыва в теле оползня. Параметры проявления опасного ЭГП: длина – 6,5 м; ширина – 14,0 м; площадь – 91 м². Состав горных пород, затронутых проявлением: N_1, неогеновые глинисто-известняковые брекчии. Факторы активизации опасного ЭГП: гидрометеорологический, техногенный.		
91.2022.0032	Южный	Республика Крым	Бахчисарайский район, между с. Соколиное и Большим Каньоном Крыма (в 3,0 км).	44,52550	33,98032	44,52550	33,98032	13.05.22	Развитие	Оп	Атм., техн	Отмечалось	Проявление №91-1210-57-1 расположено: Южный федеральный округ, Республика Крым, Бахчисарайский район, между с. Соколиное и Большим Каньоном Крыма (в 3,0 км). Площадь активной части составила 2%. Признаки и параметры активизации опасного ЭГП: просадка полотна дорожного. Параметры проявления опасного ЭГП: длина – 70,0 м; ширина – 4,0 м; площадь – 280 м². Состав горных пород, затронутых проявлением: N_1, неогеновые глинисто-известняковые брекчии. Факторы активизации опасного ЭГП: гидрометеорологический, техногенный. Характеристика воздействий опасного ЭГП на земли и хозяйственные объекты: деформации асфальтированного дорожного полотна на протяжении 70,0 м.		
91.2022.0033	Южный	Республика Крым	г. Симферополь	44.90196	34.13070	44.90196	34.13070	31.05.22	Развитие	Оп	Атм., гидрогеол.	Не отмечалось	Проявление №91-1210-64-1 расположено: Южный федеральный округ, Республика Крым, г. Симферополь, микрорайон Марьино. Площадь активной части составила 12%. Признаки и параметры активизации опасного ЭГП: свежее оползание грунта с головной части оползня. Параметры проявления опасного ЭГП: длина – 188,0 м; ширина – 70,0 м; площадь – 13130 м². Состав горных пород, затронутых проявлением: K_1a, Аптские глины темно-серые. Факторы активизации опасного ЭГП: гидрометеорологический, гидрогеологический.		
91.2022.0035	Южный	Республика Крым	г. о. Ялта	44.40813	33.97687	44.40813	33.97687	20.04.22	Развитие	Оп	Атм.	Не отмечалось	Проявление №91-1210-87-1 расположено: Южный федеральный округ, Республика Крым, г.о. Ялта, 26 км трассы Ялта-Севастополь между пгт. Оползневое и Кацивели. Площадь активной части составила 6%. Признаки и параметры активизации опасного ЭГП: многочисленные трещины растяжения на шоссе. Параметры проявления опасного ЭГП: длина – 51,4 м; ширина – 6,0 м; площадь – 308,4 м². Состав горных пород, затронутых проявлением: dpIII-IV и элювий Т3 – J1, щебенисто-суглинистые накопления. Факторы активизации опасного ЭГП: интенсивные или продолжительные атмосферные осадки.		
91.2022.0036	Южный	Республика Крым	г. о. Ялта	44.39958	33.98215	44.39958	33.98215	11.04.22	Развитие	Оп	Атм., техн, гидрол	Не отмечалось	Проявление №91-1210-89-1 расположено: Южный федеральный округ, Республика Крым, г г.о.Ялта, пгт. Кацивели. Площадь активной части составила 1%. Признаки и параметры активизации опасного ЭГП: оползание грунта на пляжную зону. Параметры проявления опасного ЭГП: длина – 21,0 м; ширина – 3,5 м; площадь – 73,5 м². Состав горных пород, затронутых проявлением: dpIII-IV и элювий Т3 – J1, щебенисто-суглинистые накопления, светло-серые и пестроцветные суглинки со щебнем и глыбами аргиллита и песчаника. Факторы активизации опасного ЭГП: интенсивные или продолжительные атмосферные осадки; техногенные утечки из водонесущих коммуникаций, абразия.		

1	2	3	4	5	6	7	8	9	10	11	12	13	14	15	16
91.2022.0037	Южный	Республика Крым	г. о. Ялта	44.39927	33.98177	44.39927	33.98177	11.04.22	Развитие	Об	Атм. Техн, гидрол	Не отмечалось	Проявление №91-1210-89-2 расположено: Южный федеральный округ, Республика Крым, г.о.Ялта, пгт. Кацивели. Площадь активной части составила 3%. Признаки и параметры активизации опасного ЭГП: Свежий обвал грунта, эрозия верхней части клифа. Параметры проявления опасного ЭГП: длина – 25,0 м; ширина – 12,0 м; площадь – 300 м². Состав горных пород, затронутых проявлением: dpIII-IV и элювий T3 – J1, Щебенисто-суглинистые накопления, светло-серые и пестроцветные суглинки со щебнем и глыбами аргиллита и песчаника. Факторы активизации опасного ЭГП: интенсивные или продолжительные атмосферные осадки; техногенные утечки из водонесущих коммуникаций, абразия, эрозия.		
91.2022.0038	Южный	Республика Крым	г. о. Ялта, г. Алупка	44.41802	34.01903	44.41802	34.01903	28.04.22	Развитие	Оп	Атм., гидрогеол, гидрол	Отмечалось	Проявление №91-1210-96-1 расположено: Южный федеральный округ, Республика Крым, г.о. Ялта, г. Алупка. Площадь активной части составила 3%. Признаки и параметры активизации опасного ЭГП: явно выраженные деформации оползневого, просадочного характера. Параметры проявления опасного ЭГП: длина – 50,0 м; ширина – 110,0 м; площадь – 5500 м². Состав горных пород, затронутых проявлением: делювиально пролювиальные верхнечетвертичные и современные накопления dpQ 3 -4, глыбово-щебенистый грунт известняков с красно бурым суглинистым заполнителем. Зона основных деформаций, расположенная в верхней части оползня сложена темно серым (аргиллитовым) суглинком с дресвой и щебнем реже глыбами известняка. Факторы активизации опасного ЭГП: замачивание суглинков за счет атмосферных осадков и выхода грунтовых вод на склоне; интенсивные или продолжительные атмосферные осадки, абразионный размыв основания склона. Характеристика воздействий опасного ЭГП на земли и хозяйственные объекты: деформации асфальтированного дорожного полотна на протяжении 30,0 м.		
91.2022.0039	Южный	Республика Крым	г. о. Алушта	44.73822	34.52943	44.73822	34.52943	27.04.22	Развитие	Оп	Атм. Гидрол	Не отмечалось	Проявление №91-1210-162-1 расположено: Южный федеральный округ, Республика Крым, г.о. Алушта, село Солнечногорское. Склон горы Сундурюаз. Площадь активной части составила 2%. Признаки и параметры активизации опасного ЭГП: образование трещин закола на бровки (клифа) в языковой части, просадка оползневых блоков, и смещение горных пород на пляжную полосу. Параметры проявления опасного ЭГП: длина – 670,0 м; ширина – 12,0 м; площадь – 8040 м². Состав горных пород, затронутых проявлением: dpIII-H, коричневато-бурые и красноцветные суглинки с дресвой и щебнем песчаника. Факторы активизации опасного ЭГП: интенсивные или продолжительные атмосферные осадки, абразионный размыв основания склона.		
91.2022.0040	Южный	Республика Крым	г. о. Феодосия	45.00523	35.39807	45.00523	35.39807	23.05.22	Развитие	Оп	Атм. Гидрол	Не отмечалось	Проявление №91-1210-173-1 расположено: Южный федеральный округ, Республика Крым, г.о. Феодосия, восточное побережье мыса Святого Ильи. Площадь активной части составила 15,3%. Признаки и параметры активизации опасного ЭГП: срывы, локальные оползни, вал наползания. Параметры проявления опасного ЭГП: длина – 290,0 м; ширина – 150,0 м; площадь – 37972 м². Состав горных пород, затронутых проявлением: делювиально-пролювиальные верхнечетвертичные и современные накопления dpQ3-4, пестроцветные глины с прослоями песчаника и мергелей. Факторы активизации опасного ЭГП: интенсивные или продолжительные атмосферные осадки; абразия.		

1	2	3	4	5	6	7	8	9	10	11	12	13	14	15	16
91.2022.0042	Южный	Республика Крым	г. Керчь	45.34750	36.58136	45.34750	36.58136	24.05.22	Развитие	Оп	Атм. Гидрол, гидрогеол	Не отмечалось	Проявление №91-1210-189-1 расположено: Южный федеральный округ, Республика Крым, г. Керчь, микрорайон Капканы, на улице Шмидта. Площадь активной части составила 15,5%. Признаки и параметры активизации опасного ЭГП: деформации в головной части склона. Параметры проявления опасного ЭГП: длина – 40,0 м; ширина – 51,0 м; площадь – 1611 м². Состав горных пород, затронутых проявлением: N1m-N1s, моэтические известняки, верхнесарматские трепеловидные известняки и темно-серые пластинчатые глины. Факторы активизации опасного ЭГП: интенсивные или продолжительные атмосферные осадки; абразия, замачивание склона за счёт естественного выхода грунтовых вод.		
91.2022.0043	Южный	Республика Крым	г. Керчь	45.34892	36.56443	45.34892	36.56443	24.05.22	Развитие	Оп	Атм. Гидрол, гидрогеол	Не отмечалось	Проявление №91-1210-190-1 расположено: Южный федеральный округ, Республика Крым, г. Керчь, микрорайон Капканы, на улице Шмидта. Площадь активной части составила 21,5%. Параметры проявления опасного ЭГП: длина – 65,0 м; ширина – 44,0 м; площадь – 3034 м². Состав горных пород, затронутых проявлением: N1m-N1s, известняки мэотиса и верхнего сармата, верхнесарматские темно-серые пластинчатые глины. Факторы активизации опасного ЭГП: интенсивные или продолжительные атмосферные осадки; абразия, замачивание суглинков за счёт естественного выхода грунтовых вод.		
91.2022.0044	Южный	Республика Крым	г. Керчь	45,37608	36,36073	45,37608	36,36073	17.05.22	Развитие	Оп	Атм. Гидрол, гидрогеол	Не отмечалось	Проявление №91-1210-196-1 расположено: Южный федеральный округ, Республика Крым, г. Керчь, микрорайон Жуковка, южнее улицы Подполковника Рудя. Площадь активной части составила 3%. Признаки и параметры активизации опасного ЭГП: наблюдается оползание грунта на пляжную полосу на протяжении 113 м. Параметры проявления опасного ЭГП: длина – 113,0 м; ширина – 4,0 м; площадь – 452 м². Состав горных пород, затронутых проявлением: N1m-N1s, мэотические известняки, верхне-сарматские трепеловидные известняки, верхнесарматские темно-серые пластинчатые глины. Факторы активизации опасного ЭГП: интенсивные или продолжительные атмосферные осадки; абразия, замачивание суглинков за счёт естественного выхода грунтовых вод.		
91.2022.0045	Южный	Республика Крым	г. Керчь	45,37531	36,62887	45,37531	36,62887	17.05.22	Развитие	Оп	Атм. Гидрол, гидрогеол	Не отмечалось	Проявление №91-1210-197-1 расположено: Южный федеральный округ, Республика Крым, г. Керчь, микрорайон Жуковка, восточнее улицы Тургенева. Площадь активной части составила 37%. Признаки и параметры активизации опасного ЭГП: свежие срывы, трещина бортового отпора, оползание грунта. Параметры проявления опасного ЭГП: длина – 222,0 м; ширина – 69,0 м; площадь – 15318 м². Состав горных пород, затронутых проявлением: N1m-N1s, мэотические известняки, верхне-сарматские известняки, верхнесарматские темно-серые пластинчатые глины. Факторы активизации опасного ЭГП: интенсивные или продолжительные атмосферные осадки; абразия, замачивание суглинков за счёт естественного выхода грунтовых вод.		

1	2	3	4	5	6	7	8	9	10	11	12	13	14	15	16
91.2022.0046	Южный	Республика Крым	г. Керчь	45.37705	36.63400	45.37705	36.63400	20.05.22	Развитие	Оп	Атм. Гидрол, гидрогеол	Не отмечалось	Проявление №91-1210-198-1 расположено: Южный федеральный округ, Республика Крым, г. Керчь, микрорайон Глейки, Подгорный переулок. Площадь активной части составила 2%. Признаки и параметры активизации опасного ЭГП: свежие срывы, трещина бортового отпора, оползание грунта. Параметры проявления опасного ЭГП: длина – 157,0 м; ширина – 3,5 м; площадь – 550 м². Состав горных пород, затронутых проявлением: N1m-N1s, мэотические известняки, верхнесарматские трепеловидные известняки, верхнесарматские темно-серые пластинчатые глины. Факторы активизации опасного ЭГП: интенсивные или продолжительные атмосферные осадки; абразия, замачивание суглинков за счёт естественного выхода грунтовых вод.		
67.2022.0002	Южный	Севастополь	г. Севастополь, Нахимовский район, между ул. Тенистая и подъездным и путями к Депо	44,59390	33,52961	44.59389	33.52960	00.10.21	00.00.22	Оп	Атм., техн	Не отмечалось	Отмечалась активизация оползня размерами 65 м по ширине и 40 м по оси. Основная причина возникновения оползня – избыточная нагрузка на склон, обусловленная складированием отвалов при производстве земляных работ. При обследовании во II квартале 2022 г. в средней части оползня были выявлены признаки активизации: сохраняется трещина растяжения, длиной до 7 м и шириной до 0,05 м, выше трещины в 5 м вверх по склону активный оползневой очаг длиной вдоль бровки 8 м и высотой срыва до 3-х м. По сравнению с обследованием в 1 квартале 2022 г., оползневой очаг увеличился вдвое. Активность опасного ЭГП до 10%. Ранее оползнем была разрушена часть гаражей, находящихся на склоне, деформирована подпорная стена. Под угрозой находятся подпорная стена в основании склона, принадлежащая ж/д Депо, ж/д пути и опора контактной сети № 65А.		
67.2022.0003	Южный	Севастополь	г. Севастополь, Балаклавский район, в конце улицы Богдана Хмельницкого и СТ «Керамик»	44,507777	33,6116666	44.50777	33.6116660	00.00.21	00.04.22	Оп	Атм., техн	Не отмечалось	В настоящее время оползень активен в местах, где его головная часть была пригружена строительным мусором и крупными глыбами известняка. На участке происходит осадка насыпных грунтов, многочисленные трещины растяжения длиной до 10 м и шириной 0,1-0,2 м. Развитие этих процессов в основном происходило под влиянием метеорологических и техногенных факторов (атмосферные осадки (кроме того, отмечается неисправность системы водотведения) и сброс строительных отходов).		
05.2022.0003	Северо-Кавказский	Республика Дагестан	Кизилюртовский район Миатлинский участок детальных наблюдения в 2км юго-западнее с. Миатли	43.056665	46.8220642	43.0566669	46.8220667	07.04.21	На 29.03.22 Не завершена	Оп	Сейсм., гидрол	Не отмечалось	Смещениями охвачены палеогеновые (эоценовые) отложения, представленные мергелями, известняками, глинами и четвертичные делювиальные суглинки с включением валунов. Параметры проявления: длина-900 м, ширина 8440 м, мощность оползневых масс 10 м, площадь 756000 м^2, объем-7560000м^3. Параметры активной части проявления: длина – 900 м, ширина 800 м, мощность оползневых масс 10м, площадь 720000 м^2, объем – 7200000 м^3, средняя величина смещения по реперам в 2022г - 0,066 м. Основные факторы активизации: сейсмическая активность и гидрологический (режим заполнения водохранилища).		
05.2022.0004	Северо-Кавказский	Республика Дагестан	Левашинский район автодорога "Махачкала-Буйнакск-Леваши-В.Гуниб" км 103+400, в 2,6км юго-западнее с.Кутиша	42.403820	47.2628658	42.4038216	47.2628682	12.04.22	12.04.22	Оп	Атм., техн.	Отмечалось	Смещениями охвачены отложения нижнемелового возраста, представленные аргиллитами и алевролитами. В результате активизации оползневого процесса было деформировано 70 м полотна автодороги с твердым покрытием. Параметры активной части проявления: длина – 15 м, ширина – 70 м, глубина захвата – 3 м, площадь – 1050 м^2, объем оползневых масс 3150 м^3. Основные факторы активизации: метеорологический (выпадение обильных атмосферных осадков) и техногенный (динамическая нагрузка от движения автотранспорта).		

1	2	3	4	5	6	7	8	9	10	11	12	13	14	15	16
05.2022.0005	Северо-Кавказский	Республика Дагестан	Левашинский район автодорога "Махачкала-Буйнакск-Леваши-В.Гуниб" км 104+600, в 3,1км юго-западнее с.Кутиша	42.405570	47.2526989	42.4055715	47.25270137	12.04.22	12.04.22	Оп	Атм., техн.	Отмечалось	Смещениями охвачены отложения нижнемелового возраста, представленные аргиллитами и алевролитами. В результате активизации оползневого процесса было деформировано 45 м полотна автодороги с твердым покрытием. Параметры активной части проявления: длина – 50 м, ширина – 45 м, глубина захвата – 4,5 м, площадь – 2250 м^2, объем – 10125 м^3. Основные факторы активизации: метеорологический (выпадение обильных атмосферных осадков) и техногенный (динамическая нагрузка от движения автотранспорта).		
05.2022.0006	Северо-Кавказский	Республика Дагестан	Казбековский район пст. Дылым	43.068953	46.6293551	43.0689544	46.629357551	20.04.22	20.04.22	Оп	Атм., техн.	Отмечалось	Оползневыми смещениями охвачены четвертичные аллювиально-делювиальные отложения, представленные гравийно-галечниковыми отложениями с суглинистым заполнителем. В результате активизации оползневого процесса был деформирован тротуар длиной 30 м. Параметры активной части проявления: длина – 12 м, ширина – 30 м, глубина захвата – 3 м, площадь – 360 м^2, объем – 1080 м^3. Основные факторы активизации: метеорологический (обильные атмосферные осадки) и техногенный.		
05.2022.0007	Северо-Кавказский	Республика Дагестан	ГО г. Махачкала Агачаульский участок детальных наблюдений, 2 км северо-западнее пос. Агачаул	42.940871	47.4297722	42.9408729	47.42977472	20.03.21	На 27.04.22 Не завершена	Оп	Техн., сейсм.	Не отмечалось	Смещениями охвачены эллювиально-делювиальные четвертичные отложения. Параметры проявления: длина оползня – 800 м, ширина - 500 м, глубина захвата – 11 м, площадь 400000 м^2, объем 4400000 м^3. Параметры активной части проявления: длина – 600 м, ширина – 400 м, глубина захвата – 11 м, площадь 240000 м^2, объем 2640000 м^3. Средняя величина смещения масс по реперам - 0,012 м. Основные факторы активизации: техногенный (динамические нагрузки от движения транспорта, подрезка склона) и сейсмическая активность		
05.2022.0008	Северо-Кавказский	Республика Дагестан	ГО г. Махачкала пос.Сепаратор ный ул.Газопроводная	42.960691	47.4164616	42.9606929	47.4164640	27.04.22	На 27.04.22 Не завершена	Оп	Техн., атм.,	Отмечалось	Оползневыми смещениями охвачены четвертичные эллювиально-делювиальные отложения, перекрывающие коренные отложения верхне-сарматского подъяруса неогена, представленные глинами с включениями дресвы и щебня. В результате активизации оползневого процесса отмечались деформации 2 домов, хозпостроек. Параметры активной части проявления: длина – 80 м, ширина -75 м, глубина захвата – 5 м, площадь 6000 м^2, объем – 30000 м^3. Основные факторы активизации: техногенный (подрезка склона) и метеорологический.		
05.2022.0009	Северо-Кавказский	Республика Дагестан	Гунибский район пст.Бацада	42.306035	46.9074176	42.3060370	46.907420007	25.05.22	25.05.22	Оп	Атм., техн.	Отмечалось	Оползневыми смещениями охвачены четвертичные делювиальные отложения, представленные глинисто-суглинистыми породами. Параметры активной части проявления: длина 4 м, ширина 3 м, мощность 1 м, площадь 12 м^2, объем 12 м^3. В результате активизации оползневого процесса отмечались деформирмации моста. Основные факторы активизации: метеорологический (выпадение обильных атмосферных осадков) и техногенный.		

1	2	3	4	5	6	7	8	9	10	11	12	13	14	15	16
05.2022.0010	Северо-Кавказский	Республика Дагестан	Гунибский район пст.Бацада	42.315369	46.9080006	42.3153708	46.9080030	25.05.22	25.05.22	Об	Атм., техн.	Отмечалось	Обвал произошел в нижнеюрских отложениях, представленных аргиллитами и глинами с прослоями песчаников и известняков. В результате активизации обвального процесса обвально-осыпными массами было перекрыто 3м полотна дороги без покрытия. Параметры активной части проявления: длина – 3 м, ширина - 2,5 м, мощность – 2 м, площадь - 7,5 м^2, объем – 15 м^3. Основные факторы активизации: метеорологический (выпадение обильных атмосферных осадков) и техногенный (подрезка склона).		
05.2022.0011	Северо-Кавказский	Республика Дагестан	Чародинский район автодорога "Цуриб-Арчиб" км 1+700 (подъезд от автодороги к с.Хурух), в 0,4км ЮЗ с.Магар	42.191927	46.8405002	42.1919290	46.8405026	08.05.22	08.05.22	Об	Атм., техн.	Отмечалось	Обвальный процесс произошел в нижнеюрских отложениях, представленых аргиллитами, алевролитами с прослоями песчаников. В результате активизации обвального процесса обвально-осыпными массами было перекрыто 3 м автодороги без твердого покрытия. Параметры активной части проявления: длина – 3 м, ширина – 5 м, мощность – 2 м, площадь – 15 м^2, объем – 30 м^3. Основные факторы активизации: метеорологический (обильные атмосферные осадки) и техногенный (подрезка склона).		
05.2022.0012	Северо-Кавказский	Республика Дагестан	Бежтинский участок Автодорога "Тлядаль-Бежта-Кидеро" , км 12, в 2,6км западнее с.Жамод	42.154500	46.0527096	42.1545018	46.0527120 7	10.05.22	10.05.22	Оп	Атм., техн.	Отмечалось	Оползневыми смещениями охвачены нижнеюрские отложения, представленные глинистыми сланцами с прослоями песчаников. В результате активизации оползневого процесса было деформировано 8 м полотна автодороги без твердого покрытия. Параметры активной части проявления: длина – 3 м, ширина – 8 м, глубина захвата – 3 м, площадь – 24 м^2, объем – 72 м^3. Основные факторы активизации: метеорологический (выпадение обильных атмосферных осадков) и техногенный (подрезка склона, динамическая нагрузка от движения автотранспорта).		
05.2022.0013	Северо-Кавказский	Республика Дагестан	Гунибский район автодорога "Гуниб-Кумух" км 17-18, в 1,3км юго-западнее с.Чох	42.31092	47.02179	42.310925	47.0217994	16.05.22	16.05.22	Об	Атм., техн.	Отмечалось	Обвальный процесс произошел в породах среднеюрского возраста, представленных глинистыми сланцами с прослоями песчаников. Обвально-осыпными массами было перекрыто 3 м автодороги с твердым покрытием. Параметры активной части проявления: длина – 2 м, ширина – 3 м, мощность обвально-осыпных масс до 1 м, площадь – 6 м^2, объем – 6 м^3. Основные факторы активизации: метеорологический (обильные атмосферные осадки) и техногенный (подрезка склона).		
05.2022.0014	Северо-Кавказский	Республика Дагестан	Цумадинский район в 0,5км юго-западнее с.Тинди	42.451619	46.133455	42.4516204	46.1334582 5	18.05.22	18.05.22	Об	Атм.	Отмечалось	Обвальный процесс произошел в породах нижнеюрского возраста, представленных глинистыми сланцами с прослоями песчаников. В результате активизации обвального процесса было деформировано 0,5 м межпоселкового газопровода. Параметры активной части проявления: длина – 1 м, ширина – 0,8 м, мощность – 0,5 м, площадь – 0,8 м^2, объем – 0,4 м^3. Основной фактор активизации - метеорологический (обильные атмосферные осадки).		

1	2	3	4	5	6	7	8	9	10	11	12	13	14	15	16
05.2022.0015	Северо-Кавказский	Республика Дагестан	Унцукульский район автодорога “Шамилькала-Временный поселок” км 11+700, в 2,1км юго-западнее с.Гимры	42.743149	46.8239555	42.7431510	46.823958012	19.05.22	19.05.22	Об	Атм., техн.	Отмечалось	Обвальный процесс произошел в породах нижнемелового возраста, представленных аргиллитами и глинами с прослоями песчаников, мергелей и известняков. Обвально-осыпными массами было перекрыто 70 м полотна автодороги с твердым покрытием. Параметры активной части проявления: длина 50 м, ширина 70 м, мощность 3 м, площадь 3500 м^2, объем – 10500 м^3. Основные факторы активизации: метеорологический (обильные атмосферные осадки) и техногенный (подрезка склона при строительстве автодороги).		
05.2022.0016	Северо-Кавказский	Республика Дагестан	Гунибский район автодорога “Гуниб-Кумух” км 18-19, в 2,1км юго-западнее с.Чох	42.306861	47.013806	42.306862	47.0138084	25.05.22	25.05.22	Оп	Атм., техн.	Отмечалось	Оползневыми смещениями охвачены породы нижнемелового возраста, представленные аргиллитами и глинами с прослоями песчаников, мергелей и известняков. В результате активизации оползневого процесса было деформировано 50 м полотна автодороги с твердым покрытием. Параметры активной части проявления: длина – 16 м, ширина – 50 м, мощность – 0,8 м, площадь – 800 м^2, объем – 640 м^3. Основные факторы активизации: метеорологический (обильные атмосферные осадки) и техногенный (подрезка склона при строительстве автодороги).		
05.2022.0017	Северо-Кавказский	Республика Дагестан	Гунибский район автодорога “Гуниб-Кумух” км 18-19, в 1,8 км юго-западнее 3 с.Чох	42.307806	47.017194	42.3078073	47.0171964	25.05.22	25.05.22	Оп	Атм., техн.	Отмечалось	Оползневыми смещениями охвачены породы нижнемелового возраста, представленные аргиллитами и глинами с прослоями песчаников, мергелей и известняков. Оползневыми подвижками было деформировано 45 м полотна автодороги с твердым покрытием. Параметры активной части проявления: длина – 35 м, ширина – 45 м, мощность оползневых масс – 0,7 м, площадь – 1575 м^2, объем – 1102 м^3. Основные факторы активизации: метеорологический (обильные атмосферные осадки) и техногенный (подрезка склона при строительстве автодороги).		
05.2022.0018	Северо-Кавказский	Республика Дагестан	Докузпаринский район автодорога “Магарамкент-Ахты-Рутул” км 56, в 2,6км западнее с.Усухчай	41.422415	47.8903586	41,422417	47,890361	26.05.22	26.05.22	Об	Атм., техн.	Отмечалось	Смещениями охвачены юрские отложения (аргиллиты, алевролиты) и четвертичные отложения (суглинки, с включениями валунов песчаников и известняков). Обвально-осыпными массами было перекрыто 50 м полотна автодороги с твердым покрытием. Параметры активной части проявления: длина – 30 м, ширина – 50 м, мощность 2 м, площадь 1500 м^2, объем – 3000 м^3. Основные факторы активизации: метеорологический (обильные атмосферные осадки) и техногенный (подрезка склона при реконструкции дороги).		
05.2022.0019	Северо-Кавказский	Республика Дагестан	Буйнакский район Чиркейский участок детальных наблюдений "1-й"массив в 10км северо-западнее с. Чиркей	42.983865	46.8854616	42,983866	46,885464006	25.05.21	На 03.05.22 Не завершена	Оп	Сейсм., гидрол	Не отмечалось	Оползневыми смещениями охвачены меловые (мергелели, песчаники, глины) и делювиальные четвертичные отложения (глины и суглинки). Параметры проявления: длина – 750 м, ширина – 300 м, высота – 2 м, площадь – 225000 м^2, объем – 450000 м^3. Параметры активной части проявления: длина – 200 м, ширина – 120 м, мощность оползневых масс – 2 м, площадь – 24000 м^2, объем – 48000 м^3. Средняя величина смещения оползневых масс по реперам – 0,025 м. Основные факторы активизации: сейсмический и гидрологический (режим заполнения водохранилища).	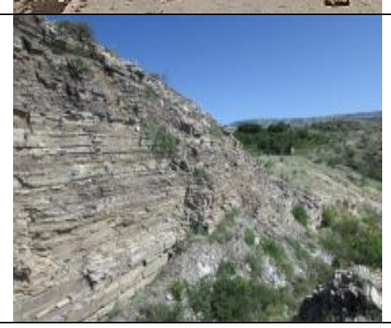	

1	2	3	4	5	6	7	8	9	10	11	12	13	14	15	16
05.2022.0020	Северо-Кавказский	Республика Дагестан	Буйнакский район Чиркейский участок детальных наблюдений "2-й" массив в 9,0км северо-западнее пст. Чиркей	42.99585	46.90415	42,99585	46,90415	22.05.21	На 04.05.22 Не завершена	Оп	Сейсм., гидрол	Не отмечалось	Оползневыми смещениями охвачены меловые (мергелели, песчаники, глины) и делювиальные четвертичные отложения (глины и суглинки). Параметры проявления: длина – 350 м, ширина – 400 м, мощность оползневых масс – 7 м, площадь – 140000 м^2, объем – 980000 м^3. Параметры активной части проявления: длина – 150 м, ширина – 120 м, мощность оползневых масс – 7 м, площадь – 18000 м^2, объем – 126000 м^3, средняя величина смещения масс по реперам – 0,039 м. Основные факторы активизации: сейсмический и гидрологический (режим заполнения водохранилища).		
05.2022.0021	Северо-Кавказский	Республика Дагестан	Буйнакский район Чиркейский участок детальных наблюдений "3-й" массив в 8,0км северо-западнее с.Чиркей	42.98738	46.911956	42,987383	46,911958	25.05.21	На 06.05.22 Не завершена	Оп	Сейсм., гидрол	Не отмечалось	Оползневыми смещениями охвачены меловые (мергелели, песчаники, глины) и делювиальные четвертичные отложения (глины и суглинки). Параметры проявления: длина – 250 м, ширина – 450 м, мощность оползневых масс – 2 м, площадь – 112500 м^2, объем – 225000 м^3. Параметры активной части проявления: длина – 100 м, ширина – 200 м, мощность оползневых масс – 2 м, площадь – 20000 м^2, объем – 40000 м^3. Средняя величина смещения оползневых масс по реперам – 0,022 м. Основные факторы активизации: сейсмический и гидрологический (режим заполнения водохранилища).		
05.2022.0022	Северо-Кавказский	Республика Дагестан	Тляратинский район автодорога “Анцух-Тлярата” км 1, в 0,6км юго-восточнее с.Анцух	42.18597	46.3421325	42,18597	46,342135	07.06.22	07.06.22	Об	Атм., техн.	Отмечалось	Смещениями были охвачены юрские отложения (аргиллиты, алевролиты) и склоновые четвертичные образования (суглинки с включениями валунов песчаника и известняка). Обвально-осыпными массами было перекрыто 60м полотна автодороги с твердым покрытием. Параметры активной части проявления: длина – 35 м, ширина – 30 м, высота – 2,5 м. площадь – 1050 м^2, объем обвально-осыпных масс – 2625 м^3. Основные факторы активизации: метеорологический (обильные атмосферные осадки) и техногенный (подрезка склона при реконструкции дороги).		
05.2022.0023	Северо-Кавказский	Республика Дагестан	Тляратинский район автодорога “Тлярата-Камилух” км 21, в 0,5км северо-западнее с.Тохота	42.02041	46.45936	42,02041	46,459363	07.06.22	07.06.22	Об	Атм., техн.	Отмечалось	Смещениями были охвачены юрские отложения (аргиллиты, алевролиты) и склоновые четвертичные образования (суглинки с включениями валунов песчаника и известняка). Обвально-осыпными массами было перекрыто 40 м полотна автодороги с твердым покрытием Параметры активной части проявления: длинна – 30 м, ширина – 45 м, высота – 1,5 м; площадь – 1350 м^2, объем – 2025 м^3. Основные факторы активизации: метеорологический (обильные атмосферные осадки) и техногенный (подрезка склона при строительстве дороги).		
05.2022.0024	Северо-Кавказский	Республика Дагестан	Ахтынский район автодорога “Куркал–Хнов” км 15, в 3,9км юго-западнее с.Смугул	41.362610	47.5940616	41,362612	47,594064	07.06.22	07.06.22	Об	Атм., техн.	Отмечалось	Смещениями были охвачены юрские отложения (аргиллиты, алевролиты) и склоновые четвертичные образования (суглинки с включениями валунов песчаника и известняка). Обвально-осыпными массами было перекрыто полотно атодороги. Основные факторы активизации: метеорологический (обильные атмосферные осадки) и техногенный (подрезка склона при строительстве дороги).		

1	2	3	4	5	6	7	8	9	10	11	12	13	14	15	16
05.2022.0025	Северо-Кавказский	Республика Дагестан	Ахтынский район автодорога “Курукал–Хнов к с.Фий” км 2- км 11, в 6,9км юго-западнее с.Смугул	41,35096	47,560822	41,351	47,559704	07.06.22	07.06.22	Об	Атм., техн.	Отмечалось	Смещениями были охвачены юрские отложения (аргиллиты, алевролиты) и склоновые четвертичные образования (суглинки с включениями валунов песчаника и известняка). Обвально-осыпными массами было перекрыто полотно автодороги Основные факторы активизации: метеорологический (обильные атмосферные осадки) и техногенный (подрезка склона при строительстве дороги).		
05.2022.0026	Северо-Кавказский	Республика Дагестан	Дахадаевский район автодорога местного значения “Шахбанамахи-Дуакар-Узралмахи” км 8, в 0,5км северо-восточнее с.Узралмахи	42.06061	47.454888	42,060568	47,453685	10.06.22	10.06.22	Об	Атм., техн.	Отмечалось	Смещениями были охвачены юрские отложения (аргиллиты, алевролиты) и склоновые четвертичные образования (суглинки с включениями валунов песчаника и известняка). Обвально-осыпными массами было перекрыто 42 м полотна автодороги с твердым покрытием. Параметры активной части проявления: длина – 20 м, ширина – 42 м, высота – 2 м, площадь – 840 м^2, объем овально-осыпных масс – 1680 м^3. Основные факторы активизации: метеорологический (обильные атмосферные осадки) и техногенный (подрезка склона при ремонте дороги).		
05.2022.0027	Северо-Кавказский	Республика Дагестан	Докузпаринский район автодорога “Магарамкент-Ахты-Рутул” км55, в 1,3км западнее с.Усухчай	41.42253	47.90269	41.422487	47.901517	17.06.22	17.06.22	Об	Атм., техн.	Отмечалось	Смещениями были охвачены юрские отложения (аргиллиты, алевролиты) и склоновые четвертичные образования (суглинки с включениями валунов песчаника и известняка). Обвально-осыпными массами было перекрыто 60 м полотна автодороги с твердым покрытием. Параметры активного проявления: длина – 30 м, ширина – 60 м, мощность обвально-осыпных масс – 2 м, площадь – 1800 м^2, объем обвально-осыпных масс – 3600 м^3. Основные факторы активизации: метеорологический (обильные атмосферные осадки) и техногенный (подрезка склона при ремонте дороги).		
05.2022.0028	Северо-Кавказский	Республика Дагестан	Тляратинский район автодорога “Анцух-Тлярата” км 2, в 1,0км юго-восточнее с.Анцух	42,18475	46,34777	42.18469	46.34655	19.06.22	19.06.22	Об	Атм., техн.	Отмечалось	Смещениями были охвачены юрские отложения (аргиллиты, алевролиты) и делювиальные четвертичные образования (суглинки). Обвально-осыпными массами было перекрыто 30 м полотна автодороги с твердым покрытием. Параметры проявления: длина – 50 м, ширина – 40 м, высота – 8 м, площадь – 200 м^2, объем обвально-осыпных масс – 1600 м^3. Основные факторы активизации: метеорологический (обильные атмосферные осадки) и техногенный (подрезка склона при ремонте дороги).		
05.2022.0029	Северо-Кавказский	Республика Дагестан	Гергебельский район автодорога республиканского значения “Грозный–Ботлих–Хунзах–Араканская площадка” км 217, в 4,3км юго-восточнее с.Могох	42,554749	46,968152	42,554709	46,966929	22.06.22	22.06.22	Об	Атм., техн.	Отмечалось	Обвал произошел в нижнемеловых отложениях, представленных мергелем, глинами, аргиллитами, алевролитами с прослоями песчаника и известняка. Обвально-осыпными массами было перекрыто 65 м полотна автодороги с твердым покрытием. Параметры проявления: длина – 40 м, ширина – 70 м, мощность обвально-осыпных масс – 1,5 м, площадь – 2800 м^2, объем – 4200 м^3. Основные факторы активизации: метеорологический (обильные атмосферные осадки) и техногенный (подрезка склона при ремонте дороги).		

1	2	3	4	5	6	7	8	9	10	11	12	13	14	15	16
05.2022.0030	Северо-Кавказский	Республика Дагестан	Тляратинский район автодорога “Хебда-Анцух” в 0,7км северо-восточнее от с.Хиндах	42.29080	46.405444	42.290807	46.4054464	00.05.22	23.06.22	Об	Атм., техн.	Отмечалось	Смещениями были охвачены юрские отложения (аргиллиты, алевролиты) и склоновые четвертичные образования (суглинки с включениями валунов песчаника и известняка). Обвально-осыпными массами было перекрыто 50 м автодороги с твердым покрытием. Параметры активной части проявления: длина – 20 м, ширина – 25 м, мощность обвально-осыпных масс – 1 м, площадь – 500 м^2, объем – 500 м^3. Основные факторы активизации: метеорологический (обильные атмосферные осадки) и техногенный (подрезка склона при строительстве автодороги).		
05.2022.0031	Северо-Кавказский	Республика Дагестан	Тляратинский район автодорога “Хебда-Анцух” км 45/90, в 2,9км СВ с.Анцух	42.21280	46.35388	42.212807	46.35389	00.05.22	23.06.22	Об	Атм., техн.	Отмечалось	Смещениями были охвачены юрские отложения (аргиллиты, алевролиты) и склоновые четвертичные образования (суглинки с включениями валунов песчаника и известняка). Обвально-осыпными массами было перекрыто 50 м полотна автодороги с твердым покрытием. Параметры активной части проявления: длина – 20 м, ширина – 50 м, мощность обвально-осыпных масс – 1 м, площадь – 1000 м^2, объем – 1000 м^3. Основные факторы активизации: метеорологический (обильные атмосферные осадки) и техногенный (подрезка склона при строительстве автодороги).		
05.2022.0032	Северо-Кавказский	Республика Дагестан	Гунибский район автодорога "Гуниб-Кумух" км 17, в 0,8км ЮЗ с.Чох	42.310924	47.021797	42.310925	47.0217994	23.06.22	23.06.22г	Об	Атм., техн.	Отмечалось	Обвальный процесс произошел в нижнеюрских отложениях, представленных аргиллитами, алевролитами с прослоями песчаников. Обвально-осыпными массами было перекрыто 3 м полотна автодороги с твердым покрытием. Параметры активной части проявления: длина – 3 м, ширина – 5 м, мощность обвально-осыпных масс – 2 м, площадь – 15 м^2, объем – 30 м^3. Основные факторы активизации: метеорологический (обильные атмосферные осадки) и техногенный (подрезка склона при строительстве автодороги).		
05.2022.0033	Северо-Кавказский	Республика Дагестан	Гунибский район автодорога местного значения "Подъезд от а/д Гуниб-Кумух к с. Обох " км 1, в 1,2км юго-восточнее с.Согратль	42.279067	47.0063	42.279068	47.0063024	23.06.22	23.06.22г	Об	Атм., техн.	Отмечалось	Обвальный процесс произошел в юрских отложениях, представленных аргиллитами, алевролитами с прослоями песчаников. Обвально-осыпными массами было перекрыто 23 м полотна автодороги без твердого покрытия. Параметры активной части: длина – 10 м, ширина – 30 м, мощность обвально-осыпных масс – 1 м, площадь – 300 м^2, объем – 300 м^3. Основные факторы активизации: метеорологический (обильные атмосферные осадки) и техногенный (подрезка склона при строительстве автодороги).		
05.2022.0034	Северо-Кавказский	Республика Дагестан	Гунибский район автодорога местного значения "Подъезд от а/д Гуниб-Кумух к с. Обох " км 4, в 1,4 км юго-западнее с.Обох	42,280194	47,021	42.28019	47.0210024	23.06.22	23.06.22г	Об	Атм., техн.	Отмечалось	Обвальный процесс произошел в юрских отложениях, представленных аргиллитами, алевролитами с прослоями песчаников. Обвально-осыпными массами было перекрыто 17 м полотна автодороги без твердого покрытия. Параметры активной части проявления: длина – 15 м, ширина – 25 м, мощность обвально-осыпных масс – 1,3 м, площадь – 375 м^2, объем – 488 м^3. Основные факторы активизации: метеорологический (обильные атмосферные осадки); геоморфологический (крутизна склона) и техногенный (подрезка склона при строительстве автодороги).		

1	2	3	4	5	6	7	8	9	10	11	12	13	14	15	16
05.2022.0035	Северо-Кавказский	Республика Дагестан	Рутульский район автодорога местного значения "Рутул-Лучек-Джиных" км 28, в 0,4км СЗ с.Миких	41,63919	47,163694	41.6391958	47.1636968	23.06.22	23.06.22г	Оп	Атм., техн.	Отмечалось	Оползневыми смещениями охвачены нижнеюрские отложения, представленные аргиллитами, алевролитами с прослоями песчаников. Оползневыми подвижками было деформировано 40м полотна автодороги без твердого покрытия. Параметры активной части проявления: длина – 30 м, ширина – 50 м, мощность оползневых масс – 1,5 м, площадь – 1500 м^2, объем оползневых масс – 2250 м^3. Основные факторы активизации: метеорологический (обильные атмосферные осадки) и техногенный (подрезка склона при строительстве автодороги).		
05.2022.0036	Северо-Кавказский	Республика Дагестан	Гумбетовский район автодорога "Хасавюрт-Тлох" км 75, в 1,6км ЮЗ с.Аргвани	42.799941	46,56683	42.799942	46.5668354	23.06.22	23.06.22г	Об	Атм., техн.	Отмечалось	Обвальный процесс произошел в нижнемеловых отложениях, представленных аргиллитами, глинами с прослоями, мергелей, известняков, песчаников. Обвально-осыпными массами было перекрыто 30 м полотна автодороги без твердого покрытия. Параметры активной части проявления: длина – 50 м, ширина – 65 м, мощность обвально-осыпных масс – 1 м, площадь – 3250 м^2, объем – 3250 м^3. Основные факторы активизации: метеорологический (обильные атмосферные осадки) и техногенный (подрезка склона при строительстве автодороги.)		
05.2022.0037	Северо-Кавказский	Республика Дагестан	Гумбетовский район автодорога "Хасавюрт-Тлох" км 81-км 82, в 0,7км восточнее с.Тлярата	42.794567	46.53775	42.794568	46.537761	23.06.22г	23.06.22г	Об	Атм., техн.	Отмечалось	Обвальный процесс произошел в нижнемеловых отложениях, представленных аргиллитами, глинами с прослоями мергелей, известняков песчаников. Обвально-осыпными массами было перекрыто 10 м полотна автодороги без твердого покрытия. Параметры активной части проявления: длина – 10 м, ширина – 15 м, мощность обвально-осыпных масс – 1 м, площадь – 150 м^2, объем 150 м^3. Основные факторы активизации: метеорологический (обильные атмосферные осадки) и техногенный (подрезка склона при строительстве автодороги).		
05.2022.0038	Северо-Кавказский	Республика Дагестан	Тляратинский район местная автодорога от "Тлярата-Камилух" до с. Кардиб км 11, в 0,7км юго-западнее с.Никар	42.069369	46.408559	42.0693703	46.4085614	23.06.22г	23.06.22г	Об	Атм., техн.	Отмечалось	Обвальный процесс произошел в нижнеюрских отложениях, представленных аргиллитами, алевролитами с прослоями песчаников. Обвально-осыпными массами было перекрыто 10 м полотна автодороги без твердого покрытия. Параметры активной части проявления: длина – 12 м, ширина – 15 м, мощность обвально-осыпных масс – 0,8 м, площадь – 180 м^2, объем – 144 м^3. Основные факторы активизации: метеорологический (обильные атмосферные осадки) и техногенный (подрезка склона при строительстве автодороги).		
05.2022.0039	Северо-Кавказский	Республика Дагестан	Гунибский район автодорога "Гунибское шоссе-Вентляшевский перевал" км 17, в 3,1км юго-восточнее с.Карадах	42.46142	46.90052	42.461422	46.900524	24.06.22	24.06.22	Об	Атм., техн.	Отмечалось	Обвальный процесс произошел в нижнемеловых отложениях, представленных аргиллитами, глинами с прослоями известняка. Обвально-осыпными массами было перекрыто 20м полотна автодороги без твердого покрытия. Параметры активной части проявления: длина – 10 м, ширина – 23 м, мощность обвально-осыпных масс – 2 м, площадь – 230 м^2, объем – 460 м^3. Основные факторы активизации: метеорологический (обильные атмосферные осадки); техногенный (подрезка склона при строительстве автодороги).		

1	2	3	4	5	6	7	8	9	10	11	12	13	14	15	16
05.2022.0040	Северо-Кавказский	Республика Дагестан	Гунибский район автодорога "Гуниб-Кумух " км 24, в 0,7км южнее с.Шангода	42.241400	47.001387	42.24140	47.0013894	24.06.22	24.06.22	Об	Атм., техн.	Отмечалось	Обвальный процесс произошел в нижнеюрских отложениях, представленных аргиллитами, алевролитами с прослоями известняков, мергелей, песчаников. Обвально-осыпными массами было перекрыто 7 м полотна автодороги без твердого покрытия. Параметры активной части проявления: длина – 7 м, ширина – 8 м, мощность – 2 м, площадь – 56 м^2, объем – 112 м^3. Основные факторы активизации: метеорологический (обильные атмосферные осадки); техногенный (подрезка склона при строительстве автодороги).		
06.2022.0001	Северо-Кавказский	Республика Ингушетия	г. Ст. Малгобек, в 1,1км к западу от уч. Им Шерипова	43.54662	44.57788	43.54662	44.57788	00.05.22	Не заверши-лась	Оп	Атм.	Отмечалось	Признаки активизации: смещения грунтов в головной части оползня. Параметры активной части проявления: длина – 25 м, ширина – 13 м, площадь – 325м^2, объем – 163 м^3, мощность оползневых масс 0,5 м. Комплексы и состав горных пород, затронутых проявлением: суглинки, глины, алевролиты Q_{IV} - N. Базис развития опасного ЭГП: тальвег ложбины. Факторы активизации опасного ЭГП: атмосферные осадки. Активизация оползня привела к деформации обочины дороги с покрытием на интервале 10 м.		
06.2022.0002	Северо-Кавказский	Республика Ингушетия	г. Старый Малгобек	43.546783	44.576232	43.54678	44.57623	00.05.22	Не заверши-лась	Оп	Атм.	Отмечалось	Признаки активизации: смещения грунтов в головной части оползня. Параметры активной части проявления: длина – 30 м, ширина – 25 м, площадь – 750 м^2, объем – 750 м^3, мощность оползневых масс – 1 м. Комплексы и состав горных пород, затронутых проявлением: суглинки, глины Q_{IV} - N. Базис развития опасного ЭГП: тальвег ложбины. Факторы активизации опасного ЭГП: атмосферные осадки. Активизация оползня привела к деформации обочины дороги с покрытием на интервале 30 м.		
07.2022.0001	Северо-Кавказский	Кабардино-Балкарская Республика	Эльбрусский муниципальный район, левый борт р. Баксан, в 2,8 км выше с. Бедык	43.496324	43.114394	43.49619	43.11426	10.04.22	17.05.22	Об	Атм.	Отмечалось	В левом борту р. Баксан, в ~ 2,8 км выше с. Бедык (Эльбрусский муниципальный район), 10.04.2022 г. на обрывистом южном склоне куэсты Скалистого хребта произошел обвал объемом порядка 700-800 м^3. Размеры обвального участка около 30×10 м, площадь – 300 м^2. Обвально-осыпными массами было частично перекрыто около 130 м автодороги А-158, повреждено защитное ограждение, также частично повреждена опора ВЛЭП 110Кв, расположенная выше автодороги. В обвальный процесс вовлечены верхне-среднеюрские образования ($J_{2–3}$) - известняки, доломиты. Наиболее крупные обломки (размерами до 4×2,5×3,5 м, общий объем до 200-250 м^3) переместились на нижнюю часть склона, на автодорогу А-158 и в русло р. Баксан, большая часть обвальных отложений дислоцирована выше по склону. Автодорога расчищена 10.04.2022г. Фактор активизации - метеорологический (атмосферные осадки, таяние снега, морозное выветривание).		

1	2	3	4	5	6	7	8	9	10	11	12	13	14	15	16
07.2022.0002	Северо-Кавказский	Кабардино-Балкарская Республика	Нальчикский городской округ, в 600 м к юго-западу от устья р. Белая	43.427225	43.557367	43.427233	43.557356	00.05.2019	Не заверши-лась	Оп	Атм. Гидрол. Гидрогеол.	Не отмечалось	В правом борту р. Белая (в 600 м к юго-западу от устья) отмечена активность на современном оползне, образовавшемся в мергелях и мергелистых глинах палеогена. Активная часть оползня имеет площадь – около 110×50 м, активность выявлена на языке оползня, в левом борту, и в верхней части, под стенкой отрыва. Отмечается подновление трещин, смещение горизонтальное до 1 м, вертикальная амплитуда достигает 1,5 м. Общий объем переместившихся масс порядка 5500 м^3. Базисом оползня является р. Белая. В оползневой процесс вовлечены верхнечетвертичные (делювиальные) и нижнепалеогеновые отложения. Состав горных пород, затронутых проявлением: суглинки с щебнем, мергели, мергелистые глины. Факторы активизации: метеорологический (атмосферные осадки); гидрогеологический (выходы подземных вод в основании террасы р. Белая); гидрологический (боковая эрозия).		
07.2022.0003	Северо-Кавказский	Кабардино-Балкарская Республика	Черекский муниципальный район, правый борт долины р.Черек Хуламский, в 5,8 км выше с. Бабугент	43,291161	43,488126	43,29103	43,487998	15.05.22	04.06.22	Об	Атм.	Отмечалось	В правом борту р. Черек Хуламский, в 5,8 км выше с. Бабугент, произошёл обвал скальных пород на участке размерами 10×5 м. Объём переместившихся масс около 50 м^3. В результате была частично завалена асфальтированная автодорога Бабугент-Карасу на протяжении 10 м. Размеры обломков до 1,5×1 м. В обвальный процесс вовлечены нижнемеловые образования (K_1) - известняки. Фактор активизации: метеорологический (атмосферные осадки).		
07.2022.0004	Северо-Кавказский	Кабардино-Балкарская Республика	Черекский муниципальный район, правый берег р.Черек Хуламский, в 2,3 км ниже с. Карасу	43,299524	43,446132	43,29939	43,446004	15.05.22	05.06.22	Оп	Атм.	Отмечалось	В правом борту р. Черек Хуламский, в 2,3 км ниже с. Карасу, отмечено образование оползня на склоне выше автодороги Бабугент-Карасу. Размеры оползневого участка 15×10 м, высота стенки отрыва до 1,5 м, склон залесен. Базисом оползня является дорожная полка автодороги Бабугент-Карасу. Объем переместившихся масс составил порядка 150 м^3, было частично завалено 15 м асфальтированной автодороги. Фактор активизации - атмосферные осадки. В оползневой процесс вовлечены делювиальные верхнечетвертичные отложения (dQ_{IV}). Состав горных пород, затронутых проявлением: грунт, щебень известняков.		
07.2022.0005	Северо-Кавказский	Кабардино-Балкарская Республика	Черекский муниципальный район, левый борт долины р.Хеу , в 2 км к западу от с. Герпегеж	43,372506	43,627129	43,372514	43,627118	00.00.1990	Не заверши-лась	Оп	Атм. Техн.	Отмечалось	Проявление активности отмечено на оползне «Дорожный», размерами 600×100 м, площадью 60000 м^2, мощностью 6 м. В верхней части оползня, в районе стенки отрыва зафиксирована подвижка на участке размерами около 20×10 м. Смещение по вертикали около 0,5 м, по горизонтали до 1 м. Объем переместившихся масс около 100 м^3. На протяжении около 200 м на полотне автодороги В.Аул-Хасанья-Герпегеж-Кашхатау отмечалась существенная деформация асфальта в виде поперечных валов и открытых трещин. На контакте с левой плоскостью скольжения оползневых масс – асфальт деформирован до разрушения (около 15 м на двух участках). Вертикальное смещение по трещинам до 30 см, раскрытие 5-15 см. Размеры активного участка 200×40 м. Комплексы горных пород, затронутые проявлением: образования современных и древних оползней (суглинок с щебнем), палеоцен-олигоценовые отложения (глины, мергели). Факторы активизации: атмосферные осадки; техногенный (автодорога проложена по оползневому склону; динамические нагрузки от движения автотранспорта; дорожные работы).		

1	2	3	4	5	6	7	8	9	10	11	12	13	14	15	16
07.2022.0006	Северо-Кавказский	Кабардино-Балкарская Республика	Черекский муниципальный район, правый борт долины р. Черек Балкарский, в 1,5 км к северо-востоку от с. Верхняя Балкария	43.161004	43.4839074	43.161013	43.483896	00.08.2017	Не заверши-лась	Оп	Атм. Техн. Гидрогеол. Гидрол.	Отмечалось	На участке «Верхняя Балкария» оползневая активность выявлена на южном фланге, в 1,5 км ниже с. Верхняя Балкария. На оползневом блоке (базисом которого является р. Черек Балкарский) размерами 210×130 м, площадью 27000 м^2, мощностью до 15 м, отмечалось подновление трещины отрыва вдоль обочины автодороги Урвань - Уштулу, и левой боковой трещины оползневого блока на нижнем откосе дороги (следится ниже дороги на протяжении до 100 м). В правом борту оползня ниже автодороги отмечалось смещение и подновление трещин отрыва. Площадь активного участка порядка 8 тыс. м^2, объем оползневых масс 4 тыс. м^3. Вертикальное и горизонтальное смещение до 0,5 м в центре, в левом и правом бортах оползня. В правом борту и в центре активного участка, на нижнем откосе автодороги, продолжается деформация опор газопровода и трубы газопровода среднего давления на интервале 100 м. Автодорога Урвань - Уштулу деформирована на интервале 60 м (грунтовый участок). В оползневой процесс вовлечены четвертичные и современные оползневые отложения (суглинки, глины с щебнем и глыбами известняков и песчаников). Факторы активизации: метеорологический ; техногенный (подрезка склона, движение автотранспорта, обводнение склона из-за нарушения естественного стока грунтовых вод); гидрогеологический, гидрологический (боковая эрозия р. Черек Балкарский).		
07.2022.0007	Северо-Кавказский	Кабардино-Балкарская Республика	Эльбрусский муниципальный район, правый борт р. Герхожансу, в 2,6 км выше г. Тырныауз.	43.371835	42.937899	43.371843	42.937888	00.07.2016	Не заверши-лась	Оп	Сейсм. Атм. Гидрогеол. Гидрол.	Не отмечалось	На оползне Бузулган (размерами до 1050×650 м, площадью 249000 м^2, мощностью до 30-60 м, объемом до 11205000 м^3) была выявлена низкая активность, локализованная на правом борту оползневого массива выше бровки (площадь – ю порядка 8 тыс. м^2), на левом борту оползня также на узком участке вдоль бровки длиной до 350 м (всего около 7 тыс. м^2), и на теле оползня, на останце старого рельефа ближе к левому борту, площадью около 5 тыс. м^2. Всего площадь активных участков на оползне Бузулган на весну-лето 2022 г. составляет 20 тыс. м^2. Явного прироста площади активизации относительно 2021 г. нет. Смещения вертикальные и горизонтальные по старым (прошлогодним и ранее) трещинам от 0,5 до 1 м, а в правом борту оползня смещения от 2 до 4 м. По состоянию на 22.06.2022 активизация не завершена. В оползневой процесс вовлечены современные и верхнечетвертичные оползневые и делювиальные отложения, образования эльмезтюбинской и кызылкольской свит девона, верхнепротерозойские породы. Состав горных пород, затронутых проявлением: суглинки с глыбами и щебнем, туфы, туффиты, глинистые сланцы, кремни, лавы основного состава, мусковитовые, хлорит-мусковитовые кристаллические сланцы. Факторы активизации: сейсмический; метеорологический (таяние снега, атмосферные осадки); гидрогеологический (выходы подземных вод на теле оползня); гидрологический (боковая эрозия).		
09.2022.0001	Северо-Кавказский	Карачаево-Черкесская Республика	Карачаевский район, участок автодороги Кисловодск - Карачаевск, 76 км+410 м	43.851818	42.329619	43.851819	42.329621	00.00.22	Не завершен	Об-Ос	Атм.	Не отмечалось	Обвальный процесс на склоне верхового откоса автодороги Кисловодск-Карачаевск (в 120 м от полотна дороги). В смещения вовлечены нижнеюрские песчаники. Признаки активности: вывал обломков и глыб на участке шириной 44 м, длиной по склону 105 м. Мощность обвально-осыпных масс до 2 м. Площадь вывала 6090 м². Ориентировочный объем 1000 м³. Базис развития проявления - нижняя часть склона. Основной фактор активизации опасного ЭГП: метеорологический.		

1	2	3	4	5	6	7	8	9	10	11	12	13	14	15	16
09.2022.0002	Северо-Кавказский	Карачаево-Черкесская Республика	Усть-Джегутинский район, правый борт р. Кубань, участок автодороги Черкесск - Домбай	43.95889	41.906619	43.958897	41.906621	00.00.22	Не завершен	Оп	Техн., атм.	Не отмечалось	В верховом откосе автодороги Черкесск - Домбай (Красногорский участок) отмечалась активизация на южном фланге оползневого проявления. Признаки активности: образование трещины закола с шириной раскрытия до 35 см и видимой глубиной до 0,6 м. Площадь активной части 324 м². Вдоль трещины происходит высачивание грунтовых вод с образованием мочажины. Параметры активной части: ширина – 28 м, длина – -115 м, мощность до 7 м. Площадь – 324 м². Отложения представлены оползневыми суглинками (dpQIV) с включением обломков песчаников и известняков. Основные факторы активизации опасного ЭГП: техногенный (подрезка склона при реконструкции дороги) и метеорологический;		
09.2022.0003	Северо-Кавказский	Карачаево-Черкесская Республика	Усть-Джегутинский район, правый борт р. Кубань, участок автодороги Черкесск - Домбай	43.960026	41.906611	43.960027	41.906613	00.00.2019	Не завершен	Оп	Атм. Техн.,	Не отмечалось	Признаки активности: образование трещины закола на бровке террасированного верхового откоса протяженностью около 200 м (прирост 30 м относительно 2021 г), с шириной раскрытия от 3 до 40 см и видимой глубиной от 0,6 (южная часть) до 1,6 м (северная часть). Трещина закола проходит на удалении 25 м (южная часть) до 38 м (северная часть) от бровки склона верхового откоса автодороги Черкесск -Домбай. Площадь активной части 7192 м² (прирост 422 м² относительно 2021 г). Основные факторы активизации опасного ЭГП: техногенный (подрезка склона при реконструкции дороги) и метеорологический. В случае усиления активизации в зоне воздействия оползневого процесса окажется участок автодороги Черкесск – Домбай.		
09.2022.0004	Северо-Кавказский	Карачаево-Черкесская Республика	Прикубанский район, восточнее свх. Горный	44.228889	42.219492	44.22889	42.219494	00.00.2017	Не завершен	Пт	Атм., гидрогеол	Отмечалось	Отмечалась активизации подтопления земель сельхозназначения западнее дамбы Черкесского водохраналища. Признаки активизации: наличие грунтовых вод в дренажных канавах, уровни грунтовых вод от 0,3 м до 1,5 м Площадь активной части процесса подтопления 146000 м². Основные факторы активизации: метеорологический, гидрогеологический.		
09.2022.0005	Северо-Кавказский	Карачаево-Черкесская Республика	Зеленчукский район, ст. Исправная	44.060902	41.597373	44.060903	41.597375	00.00.2017	Не завершен	Пт	Атм., гидрогеол	Отмечалось	Отмечалась активизация процесса подтопления в ст. Исправная. Признаки активизации: в подножии высокой террасы реки Большой Зеленчук наблюдалось высачивание грунтовых вод с образованием в отдельных местах обширных мочажин. Воздействию процесса подтопления подвержено 22468 м² (0,02 км²) земель частного сектора. Основные факторы активизации: метеорологический, гидрогеологический.		
09.2022.0006	Северо-Кавказский	Карачаево-Черкесская Республика	Зеленчукский район, п. Маруха	43.750027	41.621848	43.750028	41.62185	00.00.2017	Не завершен	Пт	Атм., гидрогеол	Отмечалось	Отмечалась активизация процесса подтопления на юго-западной окраине п. Маруха. Признаки активизации: высачивание грунтовых вод в небольших понижениях и дренажных канавках с расходом от 0,05 до 0,2 л/с с образованием в отдельных местах обширных мочажин. Площадь активизации 283190 м² с уровнями грунтовых вод от 0,2 м до 0,7 м. Основные факторы активизации: метеорологический, гидрогеологический.		

1	2	3	4	5	6	7	8	9	10	11	12	13	14	15	16
09.2022.0007	Северо-Кавказский	Карачаево-Черкесская Республика	Зеленчукский район, п. Маруха	43.771654	41.63946	43.771655	41.639462	00.00.2017	Не завершен	Пт	Атм., гидрогеол	Отмечалось	Отмечалась активизации процесса подтопления на северо-восточной окраине п. Маруха. Признаки активизации: высачивание грунтовых вод в небольших понижениях и дренажных канавках с расходом от 0,05 до 0,2 л/с с образованием в отдельных местах обширных мочажин. Площадь активизации 368687 м², уровни грунтовых вод от 0,2 м до 1,0 м. Основные факторы активизации: метеорологический, гидрогеологический.		
09.2022.0008	Северо-Кавказский	Карачаево-Черкесская Республика	Зеленчукский район, ст. Сторожевая	43.882311	41.443379	43.882312	41.443381	00.00.2017	Не завершен	Пт	Атм., гидрогеол	Отмечалось	Отмечалась активизации процесса подтопления на западной окраине ст. Сторожевая. Признаки активизации: высачивание грунтовых вод в подножии склона высокой надпойменной террасы реки Бижгон, с образованием мочажин и водотоков (с расходом до 0,5 л/с), а также в дренажных канавах. Площадь активизации 18136 м², уровни грунтовых вод от 0,2 м до 1,0 м. Основные факторы активизации: метеорологический, гидрогеологический.		
09.2022.0009	Северо-Кавказский	Карачаево-Черкесская Республика	Карачаевский район, п. Новая Теберда	43.675746	41.898631	43.675747	41.898633	00.00.2017	Не завершен	Пт	Атм., гидрогеол	Отмечалось	Отмечалась активизации процесса подтопления на северо-западной окраине п. Новая Теберд. Признаки активизации: высачивание грунтовых вод в подножии склона правого борта р. Теберда с развитием процесса подтопления с замачиванием фундаментов жилых домов и полуподвальных помещений на участке площадью 1869 м² (0,0019 км²), уровни грунтовых вод от 0,2 м до 1,0 м. Основные факторы активизации: метеорологический, гидрогеологический.		
09.2022.0010	Северо-Кавказский	Карачаево-Черкесская Республика	Зеленчукский район, участок а/д Сторожевая - Преградная, 14,3 км	43.919973	41.300995	43.919974	41.300997	00.00.2018	Не завершен	Оп	Атм. Техн.	Отмечалось	Оползневыми подвижками охвачен низовой откос дороги на интервале 10 м с захватом до 0,5 м ширины полотна автодороги. Признаки активности: оползание грунтов в головной части оползня, формирование трещин закола. Параметры активной части проявления: ширина – 10 м, длина – - 3,5 м, площадь – 35 м², мощность оползневых масс 0,5 м, объем 15 м³. Оползнем деформировано 0,5 м полотна автодороги на интервале 10 м. В смещения вовлечены делювиальные суглинки голоцена (с обломками мергелей и песчаников) и техногенные грунты (гравийно-галечный материал отсыпки). Основные факторы активизации опасного ЭГП: техногенный (динамическое воздействие от движения большегрузного транспорта); метеорологический.		
09.2022.0011	Северо-Кавказский	Карачаево-Черкесская Республика	Абазинский район, юго-восточная окраина а. Псыж, ул. Куюмова, 69, 71	44.226435	42.02426	44.226436	42.024262	00.00.2018	Не завершен	Оп	Геол., атм.	Отмечалось	Отмечалась активизация оползневого процесса в языковой части оползня. Признаки активности: смещение оползневых масс. Параметры активной части: ширина – - 3 м, длина – - 4,5 м, мощность оползневых масс 0,5 м, объем - 4 м³, стенка срыва высотой 0,6 м. Площадь активной части 14 м². Оползневыми массами была частично перекрыта проезжая часть улицы Куюмова на интервале 4 м. Оползневыми смещениями охвачены аллювиальные суглинки и галечники голоцена с суглинистым заполнителем. Базис развития проявления - проезжая часть улицы. Основной фактор активизации опасного ЭГП: метеорологический.		

1	2	3	4	5	6	7	8	9	10	11	12	13	14	15	16
09.2022.0012	Северо-Кавказский	Карачаево-Черкесская Республика	Ногайский район, юго-западная окраина п. Эркен-Шахар, ул. Пионерская, 35	44.36856	41.95944	44.368561	41.959442	00.00.2017	Не завершен	Пт	Атм., гидрогеол	Отмечалось	Отмечалась активизация процесса подтопления на юго-западной окраине п. Эркен-Шахар. Признаки активности: выходы грунтовых вод в подножии склона высокой надпойменной террасы р. Кубань с расходом до 0,1 л/с, с образованием мочажин в пониженных участках рельефа и замачиванием фундаментов домов и подвальных помещений. Площадь активизации 3400 м², уровни грунтовых вод от 0,2 м до 1,0 м. Основные факторы активизации: метеорологический, гидрогеологический.		
09.2022.0013	Северо-Кавказский	Карачаево-Черкесская Республика	Адыге-Хабльский район, юго-восточнее п. Спарта	44.398196	41.801084	44.398197	41.801086	00.00.22	Не завершен	Оп	Атм.	Не отмечалось	Отмечалось образование оползня юго-восточнее п. Спарта. Признаки активности: смещение оползневых масс. Парамеры проявления: ширина – 40 м, длина – 95 м, площадь – 3750 м². Мощность оползневых масс 2 м, объем 7500 м^3. Смещениями охвачены склоновые суглинки голоцена и глинистые сланцы с прослоями песчаников майкопской серии палеоген-неогенового возраста. Основной фактор активизации опасного ЭГП - метеорологический.		
15.2022.0001	Северо-Кавказский	Республика Северная Осетия-Алания	Моздокский район, автодорога Зилга - Моздок, км 22,3	43.402423	44.501901	43.402423	44.501901	00.03.22	На 08.04.22 не завершилась	Оп	Атм. Техн	Не отмечались	Оползень Батакоюртский III находится в стадии развития. Базисом развития является нижняя часть склона. Параметры активной части проявления: длина – 100 м, ширина – 120 м, площадь – 12 тыс.м^2, мощность оползневых масс около 10 м. Признаки активности: растрескивание склона, свежие деформации, сильное обводнение (разжижение) грунтов и их сползание (стекание) на дорожную полку. Процесс развивается в песчано-глинистых, слабо литифицированных породах неогена (N_1m) и современных оползневых отложениях (dpQ$_{IV}$). Факторы активизации – избыточное обводнение склона за счёт атмосферных осадков и техногенного нарушения естественного стока грунтовых вод.		
15.2022.0002	Северо-Кавказский	Республика Северная Осетия-Алания	Моздокский район, автодорога Зилга – Моздок (км 22,8).	43.403557	44.496211	43.403557	44.496211	00.03.22	На 08.04.22г не завершилась	Оп	Атм. Гидрогеол.	Отмечалось	Оползень Батакоюртский IV развивается в низовом откосе дороги, захватывая отложения миоцена (N_1^2t), представленные глинами, мергелями, известковистыми песчаниками и современными оползневыми отложениями, имеющими глинистый состав. Склон сильно обводнён, разгрузка грунтовых вод идёт прямо в районе дороги, грунт разжижен, отседает ступенями ниже дороги захватывая насыпной контрбанкет. Отмечено заболачивание, бугры выпирания, вывал деревьев. Параметры активной части: длина – 200 м, ширина – 165 м, площадь – 33 тыс. м^2. Оползень находится в стадии развития. Базис оползания - балка ниже дороги. Факторы активизации: атмосферные осадки, снеготаяние, нарушение естественного стока грунтовых вод. При активизации разрушен водосбросный лоток и деформирована дорожная полка на интервале 15 м. Противооползневых сооружений нет.		

1	2	3	4	5	6	7	8	9	10	11	12	13	14	15	16
15.2022.0003	Северо-Кавказский	Республика Северная Осетия-Алания	Моздокский район, автодорога Зилга - Моздок, км 23,1	43.406048	44.494937	43.406048	44.494937	00.03.22	На 08.04.22г не завершилась	Оп	Техн. Атм.	Не отмечалось	Оползень Батакоюртский V развивается в низовом откосе дороги, сложенном глинисто-щебнистыми грунтами с обломками коренных осадочных пород (N_1^2t). Процесс находится в стадии развития. Склон сильно обводнён грунтовыми водами. Отмечено ступенчатое отседание грунтов по трещинам, высота головной стенки 6-10 м. Наблюдается заболачивание грунтов, их разжижение, вывалы деревьев и приращение площади на левом фланге. Параметры активной части: длина – 150 м, ширина – 150 м, мощность 5-10 м. Факторы активности: техногенный (подрезка склона с нарушением естественного стока грунтовых вод) и метеорологический. Из защитных сооружений отсыпан контрбанкет, а полотно дороги находится под угрозой деформаций.		
15.2022.0004	Северо-Кавказский	Республика Северная Осетия-Алания	Моздокский район, автодорога Зилга – Моздок (км 24,2)	43.411434	44.485476	43.411434	44.485476	00.03.22	На 08.04.22г не завершилась	Оп	Техн.	Отмечалось	Оползень Батакоюртский VI находится в низовом откосе автодороге Зилга – Моздок (км 24,2). Головная стенка, высотой до 3 м проходит по внешнему краю дорожной полки. Процессом охвачены: современные оползневые отложения (dpQ_{IV}) и породы среднего миоцена (N_1^2t) представленные суглинками и глинами с прослоями слаболитифицированных мергелей, песчаников и конгломератов. Склон обводнён грунтовыми водами. Проявление современное находится в стадии развития. Признаки активизации: растрескивание и ступенчатое отседание блоков. Параметры активной части: длина – 50м, ширина – 50м, площадь – 2500 м^2. При активизации деформирован край асфальтового покрытия на интервале 20 м. Защитных сооружений нет. Основной фактор активизации: техногенный (подрезка склона при реконструкции дороги).		
15.2022.0005	Северо-Кавказский	Республика Северная Осетия-Алания	Моздокский район, автодорога Зилга - Моздок (км 25,2)	43.420187	44.481744	43.420187	44.481744	00.03.22	На 08.04.22г не завершилась	Оп	Техн. Атм.	Отмечалось	Оползень Батакоюртский VII - проявление современное, находится в стадии развития. Признаки активизации: растрескивание склона с формированием ступеней отседания. Головная стенка срыва захватывает нижнюю часть дорожной полки и достигает высоты 3 м, склон ниже её обводнён. Общая площадь активной части около 3 тыс. м^2 (длина – 50 м, ширина – 60 м, мощность до 5 м). В процесс вовлечены современные оползневые отложения (dpQ_{IV}), представленные суглинками с щебнем и коренные слаболитифицированные породы (глины, мергели, песчаники, конгломераты). Основные факторы активизации: техногенный (подрезка склона с нарушением стока грунтовых вод) и метеорологический (сильные осадки). Оползневыми подвижками деформировано полотно дороги на интервале 60 м. Сооружения инженерной защиты отсутствуют, водопропуск не работает.		
15.2022.0006	Северо-Кавказский	Республика Северная Осетия-Алания	Моздокский район, автодорога Зилга - Моздок (км 25,4)	43.422590	44.481680	43.422590	44.481680	00.03.22	На 08.04.22г не завершилась	Оп	Техн. Атм. Гидрогеол.	Не отмечалось	Оползень Батакоюртский VIII - проявление современное, находится в стадии развития. Головная стенка высотой 5 м находится в 3 м от внешнего края дороги. Поверхность склона деформирована (бугры, впадины) и обводнена на площади около 15 тыс. м^2 (длина – 150 м, ширина – 100 м). Грунты разжижены, отмечается разгрузка грунтовых вод. Базис развития оползня – тальвег балки ниже дороги. Основные факторы активизации: техногенный (подрезка склона), метеорологичекий и гидрогеологический. Процессом затронуты старые оползневые отложения (глинистые грунты с щебнем и обломками осадочных пород dpQ_{IV}) и подстилающие породы – глины верхнего миоцена с прослоями мергелей, песчаников. Сооружений инженерной защиты нет, есть угроза деформаций дорожного полотна.		

1	2	3	4	5	6	7	8	9	10	11	12	13	14	15	16
15.2022.0007	Северо-Кавказский	Республика Северная Осетия-Алания	Ирафский район, автодорога Чикола-Мацута пк 283,5 (км 28)	43.004909	43.788445	43.00491	43.788447	00.04.22	На 11.04.22г не завершилась	Оп	Техн., атм.	Отмечалось	Оползень Низовой расположен на правом берегу р.Урух в 0,8 км к юго-западу от с.Н.Задалеск. Проявление современное, находится в стадии развития. Признаки активизации: растрескивание склона, отседание оползневых блоков, деформация дорожной полки и металлического ограждения. Параметры активной части проявления: длина – 130 м, ширина – 150 м, площадь – 19,5 тыс. м^2, мощность до 10 м. Факторы активизации: техногенный (подрезка склона) и метеорологический (осадки и весеннее снеготаяние). Оползнем деформирована дорожная полка на интервале 150 м и металлическое ограждение. Сооружения инженерной защиты отсутствуют, водоотведение не работает. Проводится периодическая расчистка дорожной полки и засыпка трещин рыхлым грунтом.		
15.2022.0008	Северо-Кавказский	Республика Северная Осетия-Алания	Ирафский район, автодорога Чикола-Мацута пк 302 (км 30)	42.989661	43.782286	42.98966	43.782288	00.04.22	На 11.04.22г не завершилась	Оп	Техн., атм.	Не отмечалось	Северный Нарский оползень находится на правом берегу р.Урух в 0,8 км к северу от с. Мацута. Оползень современный, находится в стадии развития. Базис развития ЭГП: полка автодороги Чикола - Мацута. Параметры активной части проявления: длина – 150 м, ширина – 100 м, мощность оползневых масс до 10 м, площадь – 15 тыс.м^2, объём около 150 тыс.м^3. В процесс вовлечены старые оползневые отложения (dpQ$_{IV}$), представленные щебнисто-глинистыми грунтами с обломками карбонатных и терригенных осадочных пород. Основные факторы активизации: техногенный (многократная подрезка склона дорожными выемками) и атмосферный. Противооползневых сооружений нет. При уселении активности создаётся угроза перекрытия оползневыми массами автодороги Чикола - Мацута.		
15.2022.0009	Северо-Кавказский	Республика Северная Осетия-Алания	Ирафский район, автодорога Чикола-Мацута пк 308 (км 30,6)	42.985024	43.779308	42.985025	43.779308	00.04.22	На 11.04.22г не завершилась	Оп	Атм. Техн.	Не отмечалось	Южный блок Нижне-Нарского оползня находится на слиянии р.р.Урух и Айгамуга, где расположено с.Мацута. Проявление современное, находится в стадии развития. Базис оползания - нижняя часть склона. Параметры активной части проявления: длина – 50м, ширина – 100м, мощность до 10м, площадь – 5 тыс. м^2, объём около 50 тыс. м^3. Оползень активизируется ежегодно в весенний период, при снеготаянии, и при сильных летних осадках. В смещения вовлечены древнеоползневые (dpQ$_{III-IV}$) и современные делювиально-пролювиальные грунты (d-pQ$_{IV}$), представленные щебнисто-глинистым материалом с обломками карбонатных и терригенных осадочных пород. Основные факторы активизации: техногенный и атмосферный. Признаки активизации: растрескивание склона, смещение отдельных блоков при обводнении, осыпание и оползание рыхлого материала на дорогу. Сооружений инженерной защиты нет, водоотведение с участка недостаточно.		
15.2022.0010	Северо-Кавказский	Республика Северная Осетия-Алания	Ирафский район, автодорога Чикола-Мацута пк 304 (км 30,4)	42.987509	43.781372	42.987509	43.781374	00.04.22	На 11.04.22г не завершилась	Оп	Техн., атм.	Отмечалось	Оползень Нижне-Нарский (Северный блок) находится на автодороге Чикола – Мацута (пк 304). Базис развития оползня – дорожная полка. Параметры активной части проявления: длина – 70 м, ширина – 50 м, мощность 2-3 м, площадь – 3,5 тыс.м^2. Крутизна оползневого склона до 65°. Признаки активизации: свежие оплывины, отсадка отдельных блоков, оползание обломочного материала на дорожную полку. Смещениями охвачены древнеоползневые отложения (dpQ$_{III-IV}$) и современные делювиально-пролювиальные грунты (d-pQ$_{IV}$), представленные щебнисто-глинистым материалом с обломками карбонатных и терригенных осадочных пород. Основной фактор активизации техногенный (подрезка рыхлого склона дорожной выемкой с нарушением естественного стока грунтовых вод). При активизации произошло перекрытие дороги оползневыми массами на интервале около 40 м. Сооружений защиты нет.		

1	2	3	4	5	6	7	8	9	10	11	12	13	14	15	16
15.2022.0011	Северо-Кавказский	Республика Северная Осетия-Алания	Ирафский район, а/д Чикола-Мацута пк 289 (км 28,9)	43.000518	43.787369	43.000518	43.787369	00.04.22	На 11.04.22г Не заверши-лась	Оп	Атм.	Не отмечалось	Оползень Лесной (левый фланг) расположен на правом берегу р. Урух, в 1км к югу от с.Н.Задалеск, в низовом откосе автодороги Чикола-Мацута. Оползень современный, находится в стадии развития. Параметры активного блока: длина – 80 м, ширина – 50 м, мощность до 6 м, площадь – 4 тыс. м^2. Базис развития - пойма р. Урух. Проявлением затронуты старые оползневые отложения (dpQ$_{IV}$), представленные щебнисто-глинистыми грунтами с обломками карбонатных пород. Признаки активизации процесса: отсадка крупных блоков грунта, террасирование склона, оползание разжиженных грунтов во фронтальной части. Основной фактор активизации – атмосферные осадки. Головная стенка оползня захватывает внешний край дорожной полки. Сооружений инженерной защиты нет. При усилении активности оползня создаётся угроза деформации автодороги Чикола-Мацута.		
15.2022.0012	Северо-Кавказский	Республика Северная Осетия-Алания	Ирафский район, левый берег р.Урух, в 2 км к северу от с.Мацута напротив пк 290 автодорога Чикола-Мацута	43.001198	43.783497	43.001198	43.783497	00.04.22	На 13.05.22г Не заверши-лась	Оп	Гидрол., атм.	Не отмечалось	Оползень Донифарсский расположен на левом берегу р. Урух в 2 км к северу от с. Мацута. Базисом развития является пойма р. Урух. Проявление является современным, находится в стадии развития. Параметры активной части проявления: длина – 550 м, ширина – 500 м, площадь – 275 тыс. м^2, мощность до 50 м. Участки активизации фрагментарно распространены на всём теле оползня (на флангах, в головной части и фронтальном уступе). Признаки активности: растрескивание поверхности, формирование бугров и провалов, отсадка крупных блоков, образование оползней-потоков. Оползневые массы обводнены. Фронтальный уступ размывается рекой Урух. Оползневым процессом затронуты старые оползневые отложения (dpQ$_{IV}$), представленные щебнисто-глинистыми грунтами с обломками, глыбами и блоками глинистых сланцев, песчаников и алевролитов нижней юры (J$_1$). Основные факторы активизации: гидрологический (боковая эрозия рекой Урух фронтальной части оползня) и атмосферные осадки. Сооружений противооползневой защиты нет. При экстремальных осадках существует угроза перекрытия р. Урух оползневыми массами, с образованием подпрудного озера, опасного для расположенных ниже объектов.		
15.2022.0013	Северо-Кавказский	Республика Северная Осетия-Алания	Ирафский район, автодорога Мацута-Дунта пк 45 (км4,5)	42.954447	43.801870	42.954447	43.801870	00.04.22	На 11.04.22г Не заверши-лась	Оп	Гидрол., атм., техн.	Не отмечалось	Оползень Калнахтинский находится на правом берегу р. Сонгутидон, напротив с. Вакац. Оползень находится в стадии интенсивного развития с активностью более 100%, т.е. с приращением активной части. Проявление современное, параметры активной части: длина – 200м, ширина – 130м, площадь – 26 тыс. м^2, мощность до 10м. Признаки активности: центральная часть оползня продолжает проседать и смещаться вниз; тело оползня интенсивно растрескано, разбито на разновысотные блоки; на левом фланге отмечено приращение оползневой площади; на фронтальном уступе, который размывается р. Сонгутидон, идёт обрушение обломков и блоков прямо в русло. Оползневой процесс развивается в старых оползневых отложениях (dpQ$_{IV}$), представленных существенно глинистыми грунтами с щебнем и обломками известняков. Основные факторы активизации – гидрологический (размыв фронтового уступа рекой, которая была оттеснена к правому берегу техногенной отсыпкой), техногенный и атмосферные осадки. Необходимо отвести русло к левому берегу.		

1	2	3	4	5	6	7	8	9	10	11	12	13	14	15	16
15.2022.0014	Северо-Кавказский	Республика Северная Осетия-Алания	Ирафский район, в 2 км к юго-востоку от с.Фаснал автодорога Мацута-Дунта, км 9,3	42.923723	43.833270	42.923723	43.833270	00.04.22	На 11.04.22г Не завершилась	Об-Ос	Техн.	Отмечалось	Обвально-осыпной участок Галиатский Южный расположен в верховом откосе автодороги Мацута-Дунта, севернее моста через р. Галиат-дон, в 2км к юго-востоку от с. Фаснал. Проявление современное, находится в стадии развития. Параметры активной части: длина – 30 м, ширина – 250 м, площадь – 7,5 тыс. м^2, объём 2 тыс. м^3, средняя мощность 0,3 м. Процесс развивается в лейкократовых гранитах палеозоя (γPZ_2) и лавовых альбитофирах (J_1sd). Крутизна склона - 80º, максимальный размер обломков до 1 м. Дорога перекрывалась обломочным материалом на интервале 40 м. Сооружений инженерной защиты нет, производится периодическая расчистка полотна дороги дорожной техникой. Основной фактор активизации – техногенный (подрезка склона дорожной выемкой).		
15.2022.0015	Северо-Кавказский	Республика Северная Осетия-Алания	Ирафский район, в 1,7 км к юго-востоку от с.Фаснал автодорога Мацута-Дунта, км 9	42.925150	43.830295	42.925150	43.830295	00.04.22	На 11.04.22г не завершилась	Об-Ос	Атм., техн.	Отмечалось	Обвально-осыпной участок Северный Галиатский расположен рядом с мостом через р. Сонгутидон, на автодороге Мацута-Дунта (пк 90). Проявление находится в стадии развития. Базис развития - полка автодороги Мацута – Дунта. Параметры активной части: длина – 40 м, ширина – 150 м, площадь – 6 тыс.м^2. Процесс развивается в лейкократовых гранитах палеозоя (γPZ_2) и лавовых альбитофирах (J_1sd). Факторы активизации: метеорологический (интенсивное снеготаяние, осадки); техногенный (подрезка склона дорожной выемкой). Защитных сооружений нет, проводится периодическая расчистка полотна дороги дорожной техникой. В 2022г. дорога была перекрыта обвально-осыпными массами на интервале 50 м.		
15.2022.0016	Северо-Кавказский	Республика Северная Осетия-Алания	Алагирский район, автодорога В.Фиагдон - Даргавс, км 0,5	42.845762	44.317787	42.845762	44.317787	00.04.22	На 18.04.22г не завершилась	Оп	Атм. Техн.	Не отмечалось	Оползень Карьерный I находится на правом берегу р. Фиагдон в 0,3км к северо-востоку от пос. В.Фиагдон и расположен в верховом откосе автодороги В.Фиагдон - Даргавс (км 0,5). Базис развития – полка автодороги. Признаки активизации: развитие трещинных деформаций и отседание крупных оползневых блоков. Параметры активной части проявления: длина – 150 м, ширина – 100 м, мощность до 10 м, площадь – 15 тыс.м^2, объём 150 тыс. м^3. Смещениями охвачены старые оползневые и делювиальные отложения голоцена (dpQ_{IV}, dQ_{IV}) (щебнисто-глинистые грунты). Проявление находится в стадии развития. Противооползневых сооружений нет. Факторы активизации: метеорологический; техногенный (подрезка склона дорожной выемкой).		
15.2022.0017	Северо-Кавказский	Республика Северная Осетия-Алания	Алагирский район, автодорога В.Фиагдон - Даргавс, км 2,4	42.839546	44.332406	42.839546	44.332406	00.04.22	На 18.04.22г не завершилась	Оп	Атм.	Не отмечалось	Оползень Верхне-Дзуарикауский расположении на левом берегу р. Хаником, пойма которой является его базисом. Головная часть оползня подходит к автодороге В.Фиагдон - Даргавс (км 2,4). Оползень находится в стадии затухания. Признаки активизации: в верхней части оползня отмечается деформация склона с образованием трещин, ступеней отседания, оплывин. Тело оползня обводнено, местами заболочено. Параметры активной части проявления: длина – 250 м, ширина – 50 м, мощность около 15 м. Оползневым процессом затронуты древнеоползневые отложения (dpQ_{III-IV}) и современные делювиально-пролювиальные отложения (p,dQ_{IV}) представленные щебнисто-глинистыми грунтами с обломками осадочных пород. Фактор активизации: метеорологический. Противооползневых сооружений нет. Сохраняется угроза деформации автодороги В.Фиагдон – Даргавс.		

1	2	3	4	5	6	7	8	9	10	11	12	13	14	15	16
15.2022.0018	Северо-Кавказский	Республика Северная Осетия-Алания	Алагирский район, автодорога в с.Гор.Дзуарикау, от трассы Дзуарикау-В.Фиагдон 1й км	42.848815	44.322274	42.848815	44.322274	00.04.22	На 18.04.22г не завершилась	Оп	Атм.	Не отмечалось	Оползень Дзуарикауский Нижний находится в нижней части левобережного склона р.Хаником, в 2 км к северо-востоку от с.В.Фиагдон. Возраст современный, стадия – развитие. Базис развития: пойма р. Хаником. Признаки активности: интенсивное развитие трещинных деформаций, как продольных, так и оперяющих, на фронтальном уступе оползание грунта и каменного материала. Параметры активной части проявления: длина – 80 м, суммарная ширина – 170 м, мощность до 10 м. Процесс развивается в древних и современных оползневых отложениях (dpQ_{III-IV}). Фактор активизации: метеорологический. Защитных сооружений нет. Сохраняется угроза разрушения автодороги в с. Горн.Дзуарикау.		
15.2022.0019	Северо-Кавказский	Республика Северная Осетия-Алания	Ирафский район, с.Ахсарисар	43.131941	43.814420	43.131941	43.814420	00.04.22	На 26.04.22г не завершилась	Оп	Атм.	Не отмечалось	Оползень Ахсарисарский Новый расположен на правом берегу р. Урух, на южной окраине с. Ахсарисар, захватывая уступ III надпойменной террасы. Проявление современное, на стадии развития. Признаки активизации: растрескивание склона, смещение блоков, вывалы деревьев, приращение площади активизации. Параметры активной части: длина – 80 м, ширина – 350 м, мощность до 10 м, площадь – 28 тыс.м^2. На фронтальной части разжижение грунтов. Оползневым процессом затронуты слаболитифицированные породы верхнего палеогена (глины) и аллювиальные отложения (aQ_{III-IV}) (обводненные валунно-галечные грунты). Фактор активизации: метеорологический. Противооползневых сооружений нет. В зоне риска находятся жилые дома на южной окраине с. Ахсарисар		
15.2022.0020	Северо-Кавказский	Республика Северная Осетия-Алания	Ирафский район, автодорога Чикола-Мацута пк 207 (р.Талашка)	43.061515	43.812984	43.061515	43.812984	00.04.22	На 26.04.22г не завершилась	Об-Ос	Атм, техн.	Отмечалось	Обвально-осыпной участок Талашкинский расположен в верховом откосе автодороги Чикола-Мацута к северу от моста через р. Талашка (км 21). Проявление современное, находится в стадии развития. Параметры активной части: длина – 25 м, ширина – 300 м, площадь – 7,5 тыс.м^2. Признаки активизации: обрушение и скатывания скальных обломков. Стенка осыпного уступа расположена непосредственно над дорогой, высота её достигает 50м. Процесс развивается в древнем аллювии (aQ_{III}), представленном валунно-галечными отложениями (магматические и осадочные породы) с размерами валунов до 0,8 м. Сооружений инженерной защиты нет. Факторы активизации: метеорологический; техногенный (подрезка склона дорожной выемкой). Обвально-осыпными массами было перекрыто полотно автодороги на интервале 500 м.		
15.2022.0021	Северо-Кавказский	Республика Северная Осетия-Алания	Ирафский район, автодорога Чикола-Мацута пк 211	43.054448	43.809767	43.054448	43.809767	00.04.22	На 26.04.22г не завершилась	Оп	Атм., техн.	Отмечалось	Оползень Тоннельный расположен в низовом откосе автодороги Чикола-Мацута в 100м к югу от автодорожного тоннеля. Возраст проявления современный, оно находится в стадии развития с активностью 100%. Базис развития: пойма р. Урух. Признаки активизации: свежие трещинные деформации, террасирование склона ступенями отседания высотой 0,5-0,7м. Центральная часть оползня обводнена: есть выходы грунтовых вод. Параметры активной части проявления: длина – 70 м, ширина – 50 м, мощностью до 10 м, площадь – 3,5 тыс. м^2. Смещениями охвачены голоценовые коллювиальные и техногенные (насыпные) грунты (clQ_{IV},tQ_{IV}). Отмечались деформации полотна автодороги с твердым покрытием на интервале 50 м и деформации газопроводной трубы (не работающей). Защитных сооружений нет. Факторы активизации: метеорологический и техногенный.		

1	2	3	4	5	6	7	8	9	10	11	12	13	14	15	16
15.2022.0022	Северо-Кавказский	Республика Северная Осетия-Алания	Ирафский район, автодорога Чикола-Мацута пк 249	43.030514	43.807398	43.030514	43.807398	00.04.22	На 26.04.22г не завершилась	Об-Ос	Атм. Техн.	Отмечалось	Обвально-осыпной участок «Св.Георгий» расположен в верховом откосе автодороги Чикола - Мацута, в 2[x] км к северу от с. Мацута. Признаки активности: осыпание каменного материала на северном и южном флангах участка, заполнение обломочным материалом застеночных пазух подпорной стенки. Параметры активной части: общая площадь – 1,5 тыс.м^2, объём до 300м^3. Проявлением затронуты древнеаллювиальные отложения (aQ_{III}), представленные валунно-галечными грунтами различного состава (магматические и осадочные породы). Факторы активизации: атмосферные осадки, интенсивное снеготаяние: техногенная подрезка склона. В результате активизации обвально-осыпных процессов отмечалась деформация защитной металлической стенки, перекрытие дороги осыпным материалом на интервале около 50 м.		
15.2022.0023	Северо-Кавказский	Республика Северная Осетия-Алания	Ирафский район, автодорога Чикола-Мацута пк 241,5 (км 24)	43.051204	43.810520	43.051204	43.810520	00.04.22	На 26.04.22г не завершилась	Об-Ос	Атм., техн.	Отмечалось	Обвально-осыпной участок "Обзорный″ расположен в верховом откосе автодороги Чикола – Мацута (км 24). Базис развития - дорожная полка. Признаки активизации: осыпание каменного материала на полотно автодороги. Стенка осыпного уступа расположена прямо над дорожной полкой, крутизна её 60-80°. Параметры активной части проявления: длина – 15 м, ширина – 150 м, площадь – 2250 м^2. Проявлением затронуты аллювиальные отложения плейстоцена (aQ_{III}), представленные крупнообломочными валунами и галькой магматических и осадочных пород. Проявление современное, находится в стадии развития. Факторы активизации: метеорологический (атмосферные осадки), техногенный (подрезка крутого склона). Обвально-осыпными массами было частично перекрыто полотно автодороги с твердым покрытием на интервале 150 м.		
15.2022.0024	Северо-Кавказский	Республика Северная Осетия-Алания	Алагирский район, в 1,5 км к западу от с.Н.Унал	42.853015	44.129862	42.853015	44.129862	00.04.22	На 27.04.22г не завершилась	Оп	Атм. Гидрол.	Не отмечалось	Луарский оползень расположен на правом берегу р. Ардон, в 1,5 км выше с.Н.Унал. Оползень современный, находится в стадии развития и активизируется ежегодно в весенне-летний период. Признаки активизации: обновление старых и формирование новых трещин закола, ступеней отседания. Параметры активной части проявления: площадь – активизации 0,11 км^2, средняя мощность оползневых масс около 25 м, объём – до 2 млн.м^3. Смещениями охвачены: оползневые отложения голоцена (dpQ_{IV}), представленные суглинками с обломками туфов и песчаников нижней юры (J^1_1). Базисом развития оползня является пойма р. Ардон. Факторы активизации: метеорологический (продолжительные осадки, интенсивное снеготаяние); гидрологический (размыв фронтальной части оползня рекой Ардон). Из сооружений инженерной защиты следует назвать обходной тоннель, через который будет проходить р. Ардон, в случае, если она будет перекрыта оползнем.		

1	2	3	4	5	6	7	8	9	10	11	12	13	14	15	16
15.2022.0025	Северо-Кавказский	Республика Северная Осетия-Алания	Алагирский район, в 2 км к западу от пос. Бурон	42.793404	43.992397	42.793404	43.992397	00.04.22	На 27.04.22г не завершилась	Оп	Атм. Гидрол.	Не отмечалось	Нижне-Цейский оползень расположен на левом берегу р. Цейдон и пересекает автодорогу Бурон - Цей на км 1. Проявление современное, находится в стадии развития. Базисом развития является пойма р. Цейдон. Параметры активной части: площадь – 5,9 тыс.м^2, объём - около 50 тыс.м^3. Активизации носит фрагментарный (блоковый) характер и распространяется на левом фланге, в головной части, на фронтальном уступе, где отмечается разгрузка грунтовых вод, обводнение склона, размыв основания уступа. Признаками активизации являются обновление трещин закола, вывалы камней и блоков грунта, появление "пьяного "леса. В оползневой процесс вовлечены современные и древнеоползневые накопления (dpQ_{III-IV}), сложенные обломками, глыбами и блоками кристаллических сланцев и порфиритов с щебнисто-глинистым заполнителем. Факторы активизации: метеорологический (продолжительные осадки, интенсивное снеготаяние); гидрологический (размыв фронтальной части оползня рекой Цейдон) Негативного воздействия на объекты не было, но угроза деформации и разрушения автодороги сохраняется, сооружений инженерной защиты нет.		
15.2022.0026	Северо-Кавказский	Республика Северная Осетия-Алания	Ирафский район, автодорога Чикола-Мацута пк 298	42.990306	43.788250	42.990306	43.788250	00.05.22	На 13.05.22г не завершилась	Оп	Атм., гидрол.	Не отмечалось	Мацутинский оползень, расположенный на правом берегу р. Урух, в 1км ниже (севернее) с. Мацута, является одним из наиболее крупных и активных оползней в РСО-Алания. Проявление современное, находится в стадии развития. Базисом развития является пойма р. Урух. В центральной части оползня наблюдается высокая обводнённость. Признаки активизации: деформации и смещения блоков по фронту и на флангах оползневого массива с образованием трещин, западин, бугров и пр. Трещинные деформации примыкают непосредственно к дорожной полке. Параметры активной части оползня: площадь – 90 тыс. м^2, объём до 2 млн.м^3 (суммарное). Смещениями охвачены как современные (голоцен), так и древне-оползневые (плейстоцен) отложения, представленные щебнисто-глинистыми грунтами с обломками, глыбами и блоками осадочных пород (dpQ_{III-IV}). Поражения хозобъектов нет, однако сохраняется угроза деформации дороги и ЛЭП из-за сильной обводнённости оползня, в связи с отсутствием дренажа и плохой организации поверхностного стока.		
15.2022.0027	Северо-Кавказский	Республика Северная Осетия-Алания	Дигорский район, левый берег р.Дур-Дур в 4 км к юго-западу от с.Дур-Дур	43.088911	43.928811	43.088911	43.928811	00.05.22	На 18.05.22г не завершилась	Оп	Атм., гидрол., гидрогеол.	Не отмечалось	Дур-Дурский Левобережный оползень расположен на левом берегу р. Дур-Дур, в 4 км выше одноимённого села, в пределах Лесистого хребта. Оползень активизируется ежегодно в теплый (в основном в весенний) период, после снеготаяния и интенсивных осадков. Основную роль здесь оказывает избыточное обводнение грунтов неглубоко залегающими грунтовыми водами. Базисом развития является пойма р. Дур-Дур. Оползень современный, находится в стадии затухания. Признаками активизации являются: формирование новых трещин, отсадка блоков обводнённых грунтов вместе с деревьями. Параметры активной части: длина – 70 м, ширина – 400 м, площадь – активной части 28 тыс. м^2. Сильная обводнённость отмечается в центральной части оползня. Процессом затронуты современные оползневые отложения (dpQ_{IV}). Противооползневых сооружений нет. При прорыве возможной подпруды, вызванной смыканием фронтальных частей встречных оползней, в зоне поражения окажутся: участок грунтовой дороги, пойменный лес и, непосредственно, с. Дур-Дур.		

1	2	3	4	5	6	7	8	9	10	11	12	13	14	15	16
15.2022.0028	Северо-Кавказский	Республика Северная Осетия-Алания	Дигорский район, левый берег р.Дур-Дур в 4 км к юго-западу от с.Дур-Дур	43.087977	43.990610	43.087977	43.990610	00.05.22	На 18.05.22г не завершилась	Оп	Атм., гидрогеол, гидрол.	Не отмечалось	Дур-Дурский Правобережный оползень активизируется вместе с Левобережным, т.к. условия их развития аналогичны. Проявление современное, находящееся в стадии развития. Признаки активизации: отсадка крупных блоков грунта, вывал деревьев, "пьяный" лес, растрескивание поверхности и ступенчатый рельеф, свежие оползни-потоки. Параметры активной части: длина – 250 м, ширина – 400 м, мощность до 10 м площадь – 100 тыс. м^2, объем до 1 млн. м^3. Всё тело оползня сильно обводнено, грунт местами разжижен, есть мочажина, болота, небольшие озёра. Факторы активизации: гидрогеологический (переувлажнение склона грунтовыми водами), гидрологический (активный размыв фронта оползня во время паводков); метеорологический (обильные осадки, вызывающие паводок). Никаких противооползневых сооружений нет, мероприятия по защите склона не проводилось. При прорыве возможной подпруды, вызванной смыканием фронтальных частей встречных оползней, в зоне поражения окажутся: участок грунтовой дороги, пойменный лес и с. Дур-Дур.		
15.2022.0029	Северо-Кавказский	Республика Северная Осетия-Алания	Затеречный МО, в 0,4км к северу от с. Н.Ларс, Военно-грузинская дорога, пк 197	42,804723	44,640979	42,804723	44,640979	00.05.22	На 27.05.22г не завершилась	Об-Ос	Атм.	Не отмечалось	Обвально-осыпной участок Нижне-Ларский расположен в верховом откосе Военно-Грузинской автодороги на пк 197. Проявление современное, находится в стадии развития. Базисом осыпания является дорожная полка. Признаки активизации: скопление осыпного материала на внутреннем краю дорожной полки и скатывание отдельных камней. Параметры активной части: длина – 20 м, ширина – 150 м, площадь – 3 тыс. м^2. Процессом затронуты тектонически нарушенные, трещиноватые песчано-глинистые породы (аргиллиты с прослоями песчаников и алевролитов юрского возраста (J_{1-2})). Фактор активизации: метеорологический (осадки, снеготаяние). Сооружений инженерной защиты нет, периодически производится уборка дороги скрепером.		
15.2022.0030	Северо-Кавказский	Республика Северная Осетия-Алания	Затеречный МО, в 0,7км к югу от с. Чми, Военно-грузинская дорога, пк 157	42,839084	44,636657	42,839084	44,636657	00.05.22	На 27.05.22г не завершилась	Об-Ос	Атм.	Не отмечалось	Обвально-осыпной участок Суаргомский *I* находится в верховом откосе Военно-Грузинской автодороги на пк 157, проявление современное, находится в стадии развития. Базис осыпания – дорожная полка. Признаки активизации: скопление обломочного материала на нагорном крае дорожной полки, формирование осыпных конусов по лоткам. Параметры активной части: длина – 20 м, ширина – 200 м, площадь – 4 тыс. м^2. В процесс вовлечены породы чёрно-сланцевой толщи, представленные аргиллитами с прослоями песчаника и алевролита (J_{1-2}). Падение пород крутое субвертикальное, в верхней части отмечены нависающие блоки (пластины), которые могут обрушиться на дорогу при сильном обводнении осадками. Основной фактор активизации – метеорологический (снеготаяние, интенсивные осадки). Защитных сооружений нет, требуется периодический осмотр, оборка склона с принудительным обрушением неустойчивых обломков и глыб.		
15.2022.0031	Северо-Кавказский	Республика Северная Осетия-Алания	Алагирский район, Архонское ущелье в 2 км от устья р.Ардон	42,841283	44,105775	42,841283	44,105775	00.06.22	На 08.06.22г не завершилась	Оп	Атм.	Не отмечалось	Обвально-осыпной участок Архонский IV находится на правом берегу р. Архон, км 2 от устья. Проявление современное, находится в стадии развития. Базис развития – дорожная полка автодороги в с. Архон (Н=1120 м). Признаки активности: свежие осыпные конусы и шлейф. Параметры активной части: площадь – – 2,5 тыс. м^2, объём до 1 тыс. м^3. В процесс вовлечены граниты белореченского комплекса (γPZ_2), сильно трещиноватые. Осыпь сдвигает реку Архон к левому берегу, создавая угрозу размыва дороги в с. Архон. Факторы активизации: метеорологический (интенсивные осадки, снеготаяние). Защитных сооружений нет, мероприятий по укреплению склона не проводилось.		

1	2	3	4	5	6	7	8	9	10	11	12	13	14	15	16
15.2022.0032	Северо-Кавказский	Республика Северная Осетия-Алания	Алагирский район, левый берег р.Баддон в 1км от устья	42,839482	44,047852	42,839482	44,047852	00.06.22	На 08.06.22г не завершилась	Об-Ос	Техн.	Отмечалось	Бадский обвально-осыпной участок расположен на левом берегу р. Баддон, в 1км от устья. Параметры активной части: длина – 10 м, ширина – 150 м, площадь – 1500 м^2, объём до 1,5 тыс. м^3. В процесс вовлечены современные коллювиальные отложения (cQ$_{IV}$), представленные обломками вулканогенных пород. Базис развития – дорожная полка автодороги в с.В.Бад. Фактор активизации: техногенный (глубокая подрезка неустойчивого крутого склона). В результате активизации обвально-осыпного процесса было перекрыто обломочным материалом полотно автодороги на интервале 150м. Имеется подпорная стенка из габионов, но застеночное пространство уже полностью засыпано.		
15.2022.0033	Северо-Кавказский	Республика Северная Осетия-Алания	Алагирский район, правый берег р.Сулардон, в 0,5 км к "С" от пос.Мизур	42.857730	44.074219	42.857730	44.074219	00.06.22	На 09.06.22г не завершилась	Об-Ос	Атм.	Не отмечалось	Обвально-осыпной участок Сулартинский правобережный находится в 0,5 км к северу от пос. Мизур. Проявление современное, находится в стадии развития. Базис развития – пойма р. Сулардон. Признаки активизации: свежие осыпанные накопления, обрушение бровки головного уступа. Параметры активной части: длина – 30 м, ширина – 100 м, площадь – 3тыс. м^2, объём до 1 тыс. м^3. Процесс развивается в старых оползневых отложениях (dpQ$_{IV}$), представленных обломками и щебнем карбонатных пород. Фактор активизации: метеорологический (интенсивные осадки, снеготаяние). При дальнейшем развитии процесса существует угроза перекрытия р. Сулардон и селевого выброса на ТрансКАМ. Сооружений инженерной защиты нет.		
15.2022.0034	Северо-Кавказский	Республика Северная Осетия-Алания	Алагирский район, левый берег р.Андорраг, в 0,5 км к северо-востоку от пос.Мизур	42.859677	44.086432	42.859677	44.086432	00.06.22	На 09.06.22г не завершилась	Оп	Атм.	Не отмечалось	Верхне-Мизурский оползень расположен по левом борту р. Андорраг в 0,5 км от устья. Проявление является современным, находится в стадии развития. Базис оползания – пойма р. Андорраг. Признаки активизации: свежие смещения оползневых блоков, формирование валов выпирания и др.). Параметры активной части: длина – 200 м, ширина – 100 м, мощность до 15 м, площадь – 20 тыс. м^2, объём до 700 тыс. м^3. Процесс развивается в известняках верхней юры (J$_2$), оползневые массы представлены щебнистыми грунтами с глыбами и обломками известняков. Фактор активизации: метеорологический (интенсивные осадки и снеготаяние). Существует угроза перекрытия оползневыми массами ручья Андорраг и селевого выброса на ТрансКАМ. Сооружений инженерной защиты нет.		
15.2022.0035	Северо-Кавказский	Республика Северная Осетия-Алания	Алагирский район, транскам, пк 383	42.837646	44.027298	42.837647	44.027300	00.06.22	На 10.06.22г не завершилась	Об-Ос	Атм. Техн.	Отмечалось	Усть-Садонский обвально-осыпной участок расположен в 0,5 км к северу от с.Нузал. Проявление современное, находится в стадии развития. Базис развития: дорожная полка ТрансКАМа. Признаки активизации: осыпание средне-крупнообломочного материала по трём осыпным кулуарам на внутренний край дорожной полки ТрансКАМа, выкат отдельных камней на дорогу. Параметры активной части: длина – 50 м, ширина – 200 м, площадь – 10 тыс. м^2. Процессом охвачены современные коллювиальные отложения (cQ$_{IV}$), представленные обломками гранитов и щебнем метаморфизованных глинистых сланцев. Факторы активизации: метеорологический (интенсивные осадки); техногенный (подрезка склона). Обвально-осыпными массами было перекрыто полотно ТрансКАМа на интервале около 200м. Защитных сооружений нет.		

1	2	3	4	5	6	7	8	9	10	11	12	13	14	15	16
15.2022.0036	Северо-Кавказский	Республика Северная Осетия-Алания	Алагирский район, транскам ПК 490	42.862920	44.144737	42.862920	44.144737	00.06.22	На 12.06.22г не завершилась	Об-Ос	Атм. Техн.	Отмечалось	Унальский обвально-осыпной участок находится в 0,2 км к западу от с.Н.Унал. Проявление современное, находится в стадии развития, активность 100% (вялотекущая). Базис развития – дорожная полка ТрансКАМа. Признаки активности: осыпание по многочисленным лоткам средне- и мелкообломочного материала. Параметры активной части: длина – 10м, ширина – 350м, площадь – 3,5 тыс. м^2. Процессом затронуты глинистые сланцы с прослоями песчаников и алевролитов нижней юры (J_1gl). Факторы активизации: метеорологический (интенсивные осадки, снеготаяние); техногенный (подрезка склона). Обвально-осыпными массами было частично перекрыто полотно дороги на интервале 350м. Есть противообвальная бетонная защитная стенка, но она прикрывает только часть осыпного участка.		
20.2022.0001	Северо-Кавказский	Чеченская Республика	Шатойский район, с.Пионерское в 0,55 км южнее на автодороге с.Пионерское-с.Чишки	43,02737	45,71331	43,02737	45,71331	00.05.22	Не заверши-лась	Оп	Атм.	Не отмечалось	Низкая активность оползня в верховом откосе автодороги с. Пионерское-с. Чишки. Признаки активизации: обрушение стенки уступа оползня, оползание грунта. Параметры активной части: длина – 40 м, ширина – 4 м, площадь – 160 м^2, объем 160 м^3, мощность 1 м. Комплексы и состав горных пород, затронутых проявлением: суглинки, глины, алевролиты, гравийно-галечник с глинистым заполнителем (dQ_{III}-N). Базис развития опасного ЭГП: основание склона. Фактор активизации: атмосферные осадки.		
20.2022.0002	Северо-Кавказский	Чеченская Республика	Шатойский район, с.Пионерское в 0,57 км южнее на автодороге с.Пионерское-с.Чишки	43.02728	45.71387	43.02729	45.71387	00.05.22	Не заверши-лась	Оп	Атм.	Не отмечалось	Активизация оползня в верховом откосе автодороги с. Пионерское-с. Чишки. Признаки активизации: обрушение стенки уступа оползня, оползание грунта. Параметры активной части: длина – 30 м, ширина – 7 м, площадь – 210 м^2, объем 210 м^3, мощность 1 м. Комплексы и состав горных пород, затронутых проявлением: суглинки, глины, алевролиты, гравийно-галечник с глнистым заполнителем (dQ_{III} - N). Базис развития опасного ЭГП: основание склона. Фактор активизации: атмосферные осадки.		
20.2022.0003	Северо-Кавказский	Чеченская Республика	Шатойский район,проселочная дорога в 2,1км на юг от с.Грушкорт	42,83887	45,67342	42,83887	45,67342	00.05.22	Не заверши-лась	Оп	Атм.	Отмечалось	Активизация оползня в верховом откосе проселочной автодороги. Признаки активизации: смещение грунта, обрушение стенки уступа оползня. Параметры активной части: длина – 5 м, ширина – 4 м, площадь – 20 м^2, объем 20 м^3, мощность 1 м. Комплексы и состав горных пород, затронутых проявлением: суглинки, глины (Q- K_2m). Базис развития опасного ЭГП: полка дороги. Факторы активизации: атмосферные осадки. Оползневыми массами было частично перекрыто полотно дороги без покрытия шириной 1 м, длиной 4 м.		

1	2	3	4	5	6	7	8	9	10	11	12	13	14	15	16
20.2022.0004	Северо-Кавказский	Чеченская Республика	Шатойский район, с. Асланбек Шерипово	42,84061	45,76014	42,84061	45,76014	00.05.22	Не заверши-лась	Оп	Атм.	Не отмечалось	Активизация оползня в низовом откосе автодороги в с. Асланбек Шерипово. Признаки активизации: формирование трещин закола в низовом откосе дороги, оползание грунта. Параметры активной части: длина – 2 м, ширина – 15 м, площадь – 30 м^2, объем 10 м^3, мощность 0,5 м. Комплексы и состав горных пород, затронутых проявлением: суглинки, глины (P_3- N_1m). Базис развития опасного ЭГП: тальвег ложбины. Фактор активизации: атмосферные осадки. Существует угроза деформации полотна дороги.		
20.2022.0005	Северо-Кавказский	Чеченская Республика	Шатойский район, с. Асланбек Шерипово	42,83793	45,75761	42,83793	45,75761	00.05.21	Не заверши-лась	Оп	Атм.	Не отмечалось	Активизация оползня в верховом откосе автодороги в с. Асланбек Шерипово. Признаки активизации: смещение оползневых масс. Параметры активной части: длина – 24 м, ширина – 15 м, площадь – 360 м^2, объем 360 м^3, мощность 1 м. Комплексы и состав горных пород, затронутых проявлением: суглинки, глины (P_3- N_1m). Базис развития опасного ЭГП: пойма реки. Факторы активизации: атмосферные осадки.		
20.2022.0006	Северо-Кавказский	Чеченская Республика	Веденский район,автодорога с. Хажи-Эвла–с.Марзой – Мохк (км 2,20).	43.06272	46.07927	43.06272	46.07927	00.05.22	Не заверши-лась	Оп	Атм.	Не отмечалось	Активизация оползня в верховом откосе автодороги с. Хажи-Эвла–с.Марзой – Мохк. Признаки активизации: обрушение стенки уступа оползня, смещение оползневых масс. Параметры активной части: длина – 10 м, ширина – 10 м, площадь – 100 м^2. Комплексы и состав горных пород, затронутых проявлением: конгломераты на глинистом цементе (N). Базис развития опасного ЭГП: полка дороги. Факторы активизации: атмосферные осадки.		
20.2022.0007	Северо-Кавказский	Чеченская Республика	Веденский район, с.Марзой – Мохк	43,08316	46,09948	43,08316	46,09948	00.05.22	Не заверши-лась	Оп	Атм.	Не отмечалось	Признаки активизации: смещение грунта в головной части оползня. Параметры активной части: длина – 6м, ширина – 4м, площадь – 24 м^2, объем 24 м^3, мощность 1 м. Комплексы и состав горных пород, затронутых проявлением: суглинки, глины (Q_3- N). Базис развития опасного ЭГП: основание склона. Факторы активизации опасного ЭГП: атмосферные осадки. Существует угроза домостроению.		
20.2022.0008	Северо-Кавказский	Чеченская Республика	Веденский район, автодорога с. Марзой – Мохк- с.Хажи-Эвла (км 0,7)	43,07621	46,09066	43,07621	46,09066	00.05.22	Не заверши-лась	Оп	Атм.	Не отмечалось	Активизация оползня в верховом откосе автодороги с. Марзой – Мохк- с.Хажи-Эвла. Признаки активизации: оползание грунта, формирование трещин закола на теле оползня. Параметры активной части: длина – 35 м, ширина – 20 м, площадь – 700 м^2, объем 350 м^3, мощность 0,5 м. Комплексы и состав горных пород, затронутых проявлением: суглинки, глины (Q_3- N). Базис развития опасного ЭГП: полка дороги. Факторы активизации: атмосферные осадки.		

1	2	3	4	5	6	7	8	9	10	11	12	13	14	15	16
20.2022.0009	Северо-Кавказский	Чеченская Республика	Веденский район, участок автодороги с. Марзой-Мохк–с. Хажи- Эвла в 1.8 км от южной окраины с. Марзой-Мохк	43.06914	46.08215	43.06914	46.08215	00.05.22	Не заверши-лась	Оп	Атм.	Не отмечалось	Активизация оползня в низовом откосе автодороги с. Марзой –Мохк- с. Хажи-Эвла. Признаки активизации: отрыв стенки уступа, трещины закола на теле оползня, образование валов выпирания. Параметры активной части: длина – 30 м, ширина – - 15 м, площадь – 450 м^2, объем 675 м^3, мощность 1,5 м. Комплексы и состав горных пород, затронутых проявлением: суглинки, глины (Q_3- N). Базис развития опасного ЭГП: подножье склона. Факторы активизации: атмосферные осадки.		
20.2022.0010	Северо-Кавказский	Чеченская Республика	Веденский район, участок автодороги с. Марзой-Мохк –с. Хажи- Эвла в 1,04км от южной окраины с. Марзой-Мохк	43.07407	46.08802	43.07407	46.08802	00.05.22	Не заверши-лась	Оп	Атм.	Не отмечалось	Активизация оползня в верховом откосе автодороги с. Марзой –Мохк- с. Хажи-Эвла. Признаки активизации: обрушение стенки уступа, трещины закола на теле оползня. Параметры активной части: длина – 45 м, ширина – 40 м, площадь – 1800 м^2, объем 1800 м^3, мощность 1 м. Комплексы и состав горных пород, затронутых проявлением: суглинки, глины (Q_3- N). Базис развития опасного ЭГП: тальвег лощины. Факторы активизации: атмосферные осадки.		
20.2022.0011	Северо-Кавказский	Чеченская Республика	Веденский район, автодорога в с.Хажи-Эвла	43,07621	46,09066	43,07621	46,09066	00.05.22	Не заверши-лась	Оп	Атм.	Не отмечалось	Активизация оползня в верховом откосе автодороги. Признаки активизации: смещение грунтов в головной части оползня. Параметры активной части: длина – 5 м, ширина – 2 м, площадь – 10 м^2, объем 10 м^3, мощность 1 м. Комплексы и состав горных пород, затронутых проявлением: суглинки, глины, алевролиты (Q_{IV} - N). Базис развития опасного ЭГП: полка дороги. Факторы активизации: атмосферные осадки.		
20.2022.0012	Северо-Кавказский	Чеченская Республика	Веденский район, автодорога в с. Хажи-Эвла (возле мачты связи) 1.08 км.	43,04197	46,08061	43,04197	46,08061	00.05.22	Не заверши-лась	Оп	Атм.	Не отмечалось	Активизация оползня в низовом откосе автодороги. Признаки активизации: обрушение стенки уступа, образование валов выпирания. Параметры активной части: длина – 20 м, ширина – 4 м, площадь – 80 м^2, объем 120 м^3, мощность 1,5 м. Комплексы и состав горных пород, затронутых проявлением: суглинки, глины, с включением гравия (Q_{IV} - N).Базис развития опасного ЭГП: тальвег ложбины. Факторы активизации: атмосферные осадки.		
20.2022.0013	Северо-Кавказский	Чеченская Республика	Веденский район, автодорога с.Хажи-Эвла -с. Агишбатой (км 1,51).	43.04427	46.08552	43.04427	46.08552	00.05.22	Не заверши-лась	Оп	Атм.	Отмечалось	Активизация оползня в низовом откосе автодороги с. Хажи-Эвла – с. Агишбатой. Признаки активизации: формирование трещин закола, ступеней отседания в головной части оползня. Параметры активной части: длина – 20 м, ширина – 80 м, площадь – 1600 м^2, объем 2400 м^3, мощность 1,5 м. Комплексы и состав горных пород, затронутых проявлением: суглинки, глины (Q_{IV} - N). Базис развития опасного ЭГП: тальвег ложбины. Факторы активизации опасного ЭГП: атмосферные осадки. Активизация оползня привела к деформации полотна дороги с покрытием на интервале 40 м, шириной 4 м.		

1	2	3	4	5	6	7	8	9	10	11	12	13	14	15	16
20.2022.0014	Северо-Кавказский	Чеченская Республика	Веденский район, автодорога автодорога с.Хажи-Эвла - с.Гуни - (км1,58)	43,04373	46,08713	43,04373	46,08713	00.05.22	Не заверши-лась	Оп	Атм.	Отмечалось	Активизация оползня в низовом откосе автодороги с. Хажи-Эвла – с. Гуни. Признаки активизации: обрушение стенки уступа, трещины закола на теле оползня. Параметры активной части: длина – 100 м, ширина – 35 м, площадь – 3500 м², объем 7000 м^3, мощность 2 м. Активность опасного ЭГП на момент обследования 70%. Комплексы и состав горных пород, затронутых проявлением: суглинки, глины, алевролиты (Q_{IV} - N). Базис развития опасного ЭГП: тальвег ложбины. Факторы активизации: атмосферные осадки. Оползнем деформировано полотно дороги с покрытием на интервале 20 м, шириной 1 м, и участка дороги без покрытия длиной 10 м.		
20.2022.0015	Северо-Кавказский	Чеченская Республика	Веденский район, автодорога с.Хажи-Эвла - с.Агишбатой , (км 1,16)	43.03811	46.09438	43.03812	46.09439	00.05.22	Не заверши-лась	Оп	Атм.	Отмечалось	Активизация оползня в низовом откосе автодороги с.Хажи-Эвла - с.Агишбатой. Признаки активизации: формирование трещин закола, смещение грунтов в головной части оползня. Параметры активной части: длина – 40 м, ширина – 50 м, площадь – 2000 м^2, объем 3000 м^3, мощность 1,5 м. Комплексы и состав горных пород, затронутых проявлением: суглинки, глины, алевролиты (Q_{IV} - N). Базис развития опасного ЭГП: тальвег ложбины. Факторы активизации опасного ЭГП: атмосферные осадки. Активизация оползня привела к деформации обочины дороги без покрытия на интервале 10 м.		
20.2022.0016	Северо-Кавказский	Чеченская Республика	Веденский район, автодорога с. Агишбатой – с. Эрсеной (км 2,56).	42,99671	46,12658	42,99671	46,12658	00.05.22	Не заверши-лась	Оп	Атм.	Не отмечалось	Активизация оползня в низовом откосе автодороги с. Агишбатой – с. Эрсеной. Признаки активизации: обрушение формирование ступеней отседания в головной части оползня, смещение грунтов. Параметры активной части: длина – 70 м, ширина – 40 м, площадь – 2800 м^2, объем 4200 м^3, мощность 1,5 м. Комплексы и состав горных пород, затронутых проявлением: суглинки, глины, алевролиты (Q_{IV} - N). Базис развития опасного ЭГП: тальвег ложбины. Факторы активизации: атмосферные осадки.		
20.2022.0017	Северо-Кавказский	Чеченская Республика	Веденский район, автодорога с. Агишбатой – с. Эрсеной (км 3,65).	42.99712	46.13883	42.99712	46.13883	00.05.22	Не заверши-лась	Оп	Атм.	Отмечалось	Активизация оползня в низовом откосе автодороги с. Агишбатой – с. Эрсеной Признаки активизации: обрушение стенки уступа, трещины закола на теле оползня. Параметры активной части: длина – 20 м, ширина – 20 м, площадь – 400 м^2, объем 400 м^3, мощность 1 м. Комплексы и состав горных пород, затронутых проявлением: суглинки, глины (Q_{IV} - N). Базис развития опасного ЭГП: тальвег ложбины. Факторы активизации: атмосферные осадки. Активизация оползня привела к деформации полотна дороги без покрытия на интервале 10 м, шириной 1,5 м.		

1	2	3	4	5	6	7	8	9	10	11	12	13	14	15	16
20.2022.0018	Северо-Кавказский	Чеченская Республика	Веденский район,автодорога с. Агишбатой – с. Дышне-Ведено 4,43 км.	42,97399	46,12297	42,97399	46,12297	00.05.22	Не заверши-лась	Оп	Атм.	Не отмечалось	Активизация оползня в низовом откосе автодороги с. Агишбатой – с. Дышне-Ведено. Признаки активизации: смещение грунтов в головной части оползня с формированием стенки срыва, трещины закола на теле оползня. Параметры активной части: длина – 25 м, ширина – 15 м, площадь – 375 м^2, объем 375 м^3, мощность 1 м. Комплексы и состав горных пород, затронутых проявлением: суглинки, глины, алевролиты (Q_{IV} - N). Базис развития опасного ЭГП: тальвег ложбины. Факторы активизации: атмосферные осадки.		
20.2022.0019	Северо-Кавказский	Чеченская Республика	Веденский район, автодорога с. Агишбатой – с. Дышне-Ведено (км 4,78).	42,97149	46,12563	42,97149	46,12563	00.05.22	Не заверши-лась	Оп	Атм.	Отмечалось	Активизация оползня в низовом откосе автодороги с. Агишбатой – с. Дышне-Ведено (км 4,78). Признаки активизации: обрушение стенки уступа оползня. Параметры активной части: длина – 90 м, ширина – 20 м, площадь – 1800 м^2, объем 3600 м^3, мощность 2 м. Комплексы и состав горных пород, затронутых проявлением: суглинки, глины, алевролиты (Q_{IV} - N). Базис развития опасного ЭГП: тальвег ложбины. Факторы активизации: атмосферные осадки. Активизация оползня привела к деформации обочины дороги на интервале 10 м.		
20.2022.0020	Северо-Кавказский	Чеченская Республика	Веденский район,автодорога с. Октябрьское – с. Ца-Ведено (км 5,51).	43,02074	46,04563	43,02074	46,04563	00.05.22	Не заверши-лась	Оп	Атм.	Отмечалось	Активизация оползня в низовом откосе автодороги с. Октябрьское – с. Ца-Ведено. Признаки активизации: смещение грунтов в головной части оползня с формированием стенки срыва. Параметры активной части: длина – 10 м, ширина – 18м, площадь – 180 м^2, объем 180 м^3, мощность 1м. Активность опасного ЭГП на момент обследования 100%. Комплексы и состав горных пород, затронутых проявлением: суглинки, глины (Q_{IV} - N). Базис развития опасного ЭГП: пойма реки. Факторы активизации: атмосферные осадки. Активизация оползня привела к деформации обочины дороги с покрытием на интервале 5м.		
20.2022.0021	Северо-Кавказский	Чеченская Республика	Веденский район,автодорога с. Ведено - с. Дарго, (км 1,4)	42,94967	46,14953	42,94967	46,14953	00.06.22	Не заверши-лась	Оп	Атм.	Отмечалось	Активизация оползня в низовом откосе автодороги с. Ведено - с. Дарго (км 1,4). Признаки активизации: смещение грунтов в головной части оползня, образование трещин закола на теле оползня. Параметры активной части: длина – 20 м, ширина – 50 м, площадь – 1000 м^2, объем 2000 м^3, мощность 2 м. Комплексы и состав горных пород, затронутых проявлением: глины неогена. Базис развития опасного ЭГП: тальвег ложбины. Факторы активизации: атмосферные осадки. Активизация оползня привела к деформации обочины дороги без покрытия на интервале 10 м, шириной 1 м.		

1	2	3	4	5	6	7	8	9	10	11	12	13	14	15	16
20.2022.0022	Северо-Кавказский	Чеченская Республика	Веденский район,автодорога с. Ведено - с. Дарго, (км 1,6)	42.94918	46.15313	42.94918	46.15313	00.06.22	Не заверши-лась	Оп	Атм.	Отмечалось	Активизация оползня в низовом откосе автодороги с. Ведено - с. Дарго (км 1,6). Признаки активизации: обрушение стенки уступа, трещина закола на теле оползня. Параметры активной части: длина – 60 м, ширина – 50 м, площадь – 3000 м^2, объем 6000 м^3, мощность 2 м. Комплексы и состав горных пород, затронутых проявлением: глины неогена. Базис развития опасного ЭГП: тальвег ложбины. Факторы активизации: атмосферные осадки. Оползнем деформирована обочина дороги без покрытия на интервале 4м шириной 1м.		
20.2022.0023	Северо-Кавказский	Чеченская Республика	Веденский район,автодорога с. Ведено - с. Дарго, (км 1,59)	42,94886	46,15274	42,94886	46,15274	00.06.22	Не заверши-лась	Оп	Атм.	Отмечалось	Активизация оползня в верховом откосе автодороги с. Ведено - с. Дарго. Признаки активизации: смещение грунтов в головной части оползня, трещины закола на теле оползня. Параметры активной части: длина – 20 м, ширина – 30 м, площадь – 600 м^2, объем 900 м^3, мощность 1,5 м. Активность опасного ЭГП на момент обследования 100%. Комплексы и состав горных пород, затронутых проявлением: глины неогена. Базис развития опасного ЭГП: полка дороги. Факторы активизации опасного ЭГП: атмосферные осадки. Оползневыми массами было перекрыто полотно без покрытия на интервале 20 м.		
20.2022.0024	Северо-Кавказский	Чеченская Республика	Веденский район, автодорога с. Ведено - с. Дарго, (км 2,7)	42,94500	46,16532	42,94500	46,16532	00.06.22	Не заверши-лась	Оп	Атм.	Отмечалось	Активизация оползня в низовом откосе автодороги с. Ведено - с. Дарго (км 2,7). Признаки активизации: смещение грунта с формированием стенки срыва, трещина закола на теле оползня. Параметры активной части: длина – 30 м, ширина – 20 м, площадь – 600 м^2, объем 900 м^3, мощность 1,5 м. Активность опасного ЭГП на момент обследования 100%. Комплексы и состав горных пород, затронутых проявлением: глины неогена. Базис развития опасного ЭГП: тальвег ложбины. Факторы активизации: атмосферные осадки. Активизация оползня привела к деформации обочины дороги без покрытия на интервале 12 м.	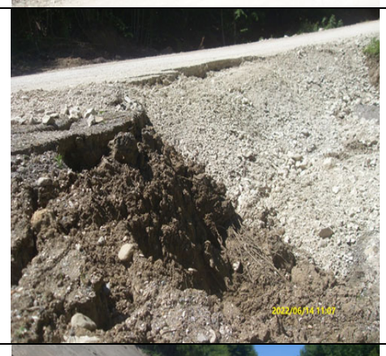	
20.2022.0025	Северо-Кавказский	Чеченская Республика	Веденский район,автодорога с.Ведено - с.Дарго - 3,2км	42.94435	46.17172	42.94435	46.17172	00.06.22	Не заверши-лась	Оп	Атм.	Отмечалось	Активизация оползня в низовом откосе автодороги с. Ведено - с. Дарго (км 3,2). Признаки активизации: смещение грунта в головной части оползня с формированием стенки срыва, трещины закола на теле оползня. Параметры активной части: длина – 60 м, ширина – 45 м, площадь – 2700 м^2, объем 5400 м^3, мощность 2м. Комплексы и состав горных пород, затронутых проявлением: глины, алевролиты неогена. Базис развития опасного ЭГП: тальвег ложбины. Факторы активизации опасного ЭГП: атмосферные осадки. Активизация оползня привела к деформации обочины дороги без покрытия на участке длиной 10 м.		

1	2	3	4	5	6	7	8	9	10	11	12	13	14	15	16
20.2022.0026	Северо-Кавказский	Чеченская Республика	Веденский район,автодорога с.Ведено - с.Дарго - 3,3км	42,94520	46,17279	42,94520	46,17279	00.06.22	Не заверши-лась	Оп	Атм.	Не отмечалось	Активизация оползня в низовом откосе автодороги с. Ведено - с. Дарго (км 3,3). Признаки активизации: обрушение стенки уступа оползня, трещины закола на теле оползня. Параметры активной части: длина – 60 м, ширина – 45м, площадь – 2700 м^2, объем 5400 м^3, мощность 2 м.. Комплексы и состав горных пород, затронутых пнеогена. Базис развития опасного ЭГП: тальвег ложбины. Факторы активизации: атмосферные осадки.		
20.2022.0027	Северо-Кавказский	Чеченская Республика	Веденский район, автодорога с.Ведено - с.Дарго (км 4,3)	42,94362	46,18561	42,94362	46,18561	00.06.22	Не заверши-лась	Оп	Атм.	Не отмечалось	Активизация оползня в верховом откосе автодороги с. Ведено - с. Дарго (км 4,3). Признаки активизации: смещение грунтов в головной части оползня. Параметры активной части: длина – 35м, ширина – 20 м, площадь – 700 м^2, объем 1400 м^3, мощность 2 м. Активность опасного ЭГП на момент обследования 100%. Комплексы и состав горных пород, затронутых проявлением: глины и алевролиты неогена. Базис развития опасного ЭГП: полка дороги. Факторы активизации: атмосферные осадки.		
20.2022.0028	Северо-Кавказский	Чеченская Республика	Веденский район, автодорога с.Ведено - с.Дарго, (км 6,0)	42,93408	46,20299	42,93408	46,20299	00.06.22	Не заверши-лась	Оп	Атм.	Не отмечалось	Активизация оползня в низовом откосе автодороги с. Ведено - с. Дарго (км 6,0). Признаки активизации: обрушение стенки уступа, трещина закола на теле оползня. Параметры активной части: длина – 40 м, ширина – 35м, площадь – 1400 м^2, объем 2800 м^3, мощность 2 м. Комплексы и состав горных пород, затронутых проявлением: глины, алевролиты неогена. Базис развития опасного ЭГП: тальвег ложбины. Факторы активизации: атмосферные осадки.		
20.2022.0029	Северо-Кавказский	Чеченская Республика	Веденский район, автодорога с.Ведено - с.Дарго, (км 8)	42,93156	46,22747	42,93156	46,22747	00.06.22	Не заверши-лась	Оп	Атм.	Не отмечалось	Активизация оползня в верховом откосе автодороги с. Ведено - с. Дарго (км 8,0). Признаки активизации: обрушение стенки уступа оползня, трещины закола на теле оползня. Параметры активной части: длина – 14 м, ширина – 6м, площадь – 84м^2, объем 84м^3, мощность 1 м. Комплексы и состав горных пород, затронутых проявлением: техногенные грунты (гравийно-галечниковая отсыпка дорожного полотна), глины неогена.Базис развития опасного ЭГП: тальвег ложбины. Факторы активизации: атмосферные осадки.		
20.2022.0030	Северо-Кавказский	Чеченская Республика	Веденский район, автодорога с.Ведено-с.Белгатой, в 2,54 км к югу от с. Белгатой	42,96301	46,20233	42,96301	46,20233	00.06.22	Не заверши-лась	Оп	Атм.	Отмечалось	Активизация оползня в низовом откосе автодороги с.Ведено-с.Белгатой. Признаки активизации: обрушение стенки уступа. Параметры активной части: длина – 10 м, ширина – 26м, площадь – 260 м^2, объем 260 м^3, мощность 1 м. Комплексы и состав горных пород, затронутых проявлением: суглинки, глины, алевролиты Q_{IV} - N. Базис развития опасного ЭГП: тальвег ложбины. Факторы активизации: атмосферные осадки. Активизация оползня привела к разрушению полотна дороги без покрытия на интервале 10 м.		

1	2	3	4	5	6	7	8	9	10	11	12	13	14	15	16
20.2022.0031	Северо-Кавказский	Чеченская Республика	Веденский район, автодорога с.Ведено-с.Белгатой, в 1,67 км к западу от с. Белгатой	42,97596	46,20321	42,97596	46,20321	00.06.22	Не заверши-лась	Оп	Атм. ,техн.	Отмечалось	Активизация оползня в низовом откосе автодороги с.Ведено-с. Белгатой. Признаки активизации: смещение грунтов с формированием стенки срыва. Параметры активной части: длина – 10 м, ширина – 30 м, площадь – 300 м^2, объем 300 м^3, мощность 1 м. Активность опасного ЭГП на момент обследования 100%. Комплексы и состав горных пород, затронутых проявлением: с углинки, глины, алевролиты (Q_{IV} - N). Базис развития опасного ЭГП: тальвег ложбины. Факторы активизации: атмосферные осадки. Активизация оползня привела к разрушению полотна дороги без покрытия на интервале 8 м.		
20.2022.0032	Северо-Кавказский	Чеченская Республика	Веденский район, автодорога с.Ведено-с.Белгатой в 1,44 км к западу от с. Белгатой	42,98266	46,20562	42,98266	46,20562	00.06.22	Не заверши-лась	Оп	Атм.	Отмечалось	Активизация оползня в низовом откосе автодороги с.Ведено-с.Белгатой. Признаки активизации: смещение грунтов с формированием стенки срыва. Параметры активной части: длина – 10 м, ширина – 20 м, площадь – 200 м^2, объем 200 м^3, мощность 1 м. Комплексы и состав горных пород, затронутых проявлением: суглинки, глины, алевролиты (Q_{IV} - N). Базис развития опасного ЭГП: тальвег ложбины. Факторы активизации: атмосферные осадки. Активизация оползня привела к разрушению полотна дороги без покрытия на интервале 15м.		
20.2022.0033	Северо-Кавказский	Чеченская Республика	Веденский район, автодорога с.Ведено-с.Белгатой в 1,46 км к западу от с. Белгатой	42,98162	46,20497	42,98162	46,20497	00.06.22	Не заверши-лась	Оп	Атм.	Отмечалось	Активизация оползня в низовом откосе автодороги с.Ведено-с.Белгатой. Признаки активизации: обрушение стенки уступа, трещины закола на теле оползня. Параметры активной части: длина – 40 м, ширина – 21 м, площадь – 840 м^2, объем 2520 м^3, мощность 3м. Комплексы и состав горных пород, затронутых проявлением: суглинки, глины, алевролиты (Q_{IV} - N). Базис развития опасного ЭГП: тальвег ложбины. Факторы активизации: атмосферные осадки. Активизация оползня привела к деформации полотна дороги без покрытия на интервале 20 м.		
26.2022.01	Северо-Кавказский	Ставропольский край	Ленинский р-н г. Ставрополя, левый склон р. Мамайка	45.03279	42.04448	45.03279	42.04448	00.03.22	По состоянию на 18.04.22 Не заверши-лась	Оп	Атм, гидрогеол , техн.	Не отмечалось	Признаки активности: смещения грунтов на левом склоне р. Мамайка. Активность оползня низкая Параметры проявления: длина – 60 м, ширина – 90 м, площадь – 5000 м^2. Параметры активной части проявления: длина – 15м, ширина – 30 м, площадь – 450 м^2. Смещениями охвачены известковистые породы мамайского горизонта (выветрелые известняки, известковистые песчаники, глины, мергели); глины синдесмиевой свиты ($N^1_3S_2m$; $N^1_3S_1sd$). Базис развития опасного ЭГП: средняя часть склона долины р. Мамайки. Факторы активизации опасного ЭГП: атмосферные осадки; гидрогеологический (увлажнение склоновых отложений грунтовыми водами); техногенный (утечки из водопровода).		

1	2	3	4	5	6	7	8	9	10	11	12	13	14	15	16
26.2022.02	Северо-Кавказский	Ставропольский край	Ленинский р-н г. Ставрополя, левый склон р. Мамайка	45,03095	42,03765	45,03095	42,03765	00.03.22	00.04.22	Оп	Атм, гидрогеол, техн.	Не отмечалось	Признаки активности: смещения грунтов средней интенсивности в головной и языковой части оползня (Оп. №205) на левом склоне р. Мамайка. Параметры проявления: длина – 250 м, ширина – 400 м, площадь – 81200 м^2. Параметры активной части проявления: уч. 1: длина – 20 м, ширина – 10 м, площадь – 200 м^2; уч. 2: длина – 10 м, ширина – 25м, площадь – 250 м^2. Смещениями охвачены техногенные грунты, известковистые породы мамайского горизонта (выветрелые известняки, известковистые песчаники, глины, мергели); глины синдесмиевой свиты (Q_4t; $N^1_3S_2m$; $N^1_3S_1sd$). Базис развития опасного ЭГП: нижняя часть склона долины р. Мамайки. Факторы активизации: атмосферные осадки; гидрогеологический (увлажнение склоновых отложений грунтовыми водами); техногенный (пригрузка головы оползня насыпными грунтами).		
26.2022.03	Северо-Кавказский	Ставропольский край	Ленинский р-н г. Ставрополя, левый склон р. Мамайка	45,02768	42,026746	45,02768	42,026746	00.03.22	По состоянию на 18.04.22 Не заверши-лась	Оп	Атм, гидрогеол, техн, гидрол.	Не отмечалось	Признаки активности: вторичные смещения грунтов на локальном участке в левом борту и в языковой части оползня (Оп. №390). Параметры проявления: длина – 300-400 м, ширина – 800 м, площадь – 200900 м^2. Параметры активной части проявления: длина – 35м, ширина – 150 м, площадь – 5250 м^2. Смещениями охвачены техногенные грунты, известковистые породы мамайского горизонта (выветрелые известняки, известковистые песчаники, глины, мергели); глины синдесмиевой свиты (Q_4t; $N^1_3S_2m$; $N^1_3S_1sd$). Базис развития опасного ЭГП: русло р. Мамайки. Факторы активизации: атмосферные осадки; гидрогеологический (увлажнение склоновых отложений грунтовыми водами); техногенный (пригрузка головы оползня насыпными грунтами); гидрологический (боковая эрозия р. Мамайки). Существует угроза деформаций 4-х жилых домов под языком оплзня у правого борта.		
26.2022.04	Северо-Кавказский	Ставропольский край	Ленинский р-н г. Ставрополя, левый склон р. Мамайка	45,0213	41,99346	45,0213	41,99346	00.03.22	По состоянию на 18.04.22 Не заверши-лась	Оп	Атм, гидрогеол, техн.	Не отмечалось	Признаки активности: смещения оползневых масс высокой интенсивности в языковой части левой половины оползня на левом склоне р. Мамайка (Оп. №101). Параметры проявления: длина – 90 м, ширина – 260 м, площадь – 19160 м^2. Параметры активной части проявления: длина – 10 м, ширина – 50 м, площадь – 500 м^2. Смещениями охвачены глины синдесмиевой свиты (N^1_3S1sd). Базис развития опасного ЭГП: пологая часть левого склона долины р. Мамайки. Факторы активизации: атмосферные осадки; гидрогеологический (увлажнение склоновых отложений грунтовыми водами); техногенный (сброс бытового мусора и постоянный сброс сточных вод на головную часть оползня). Существует угроза деформаций жилых домов ул. Полевой.		
26.2022.05	Северо-Кавказский	Ставропольский край	Ленинский р-н г. Ставрополя, левый склон р. Мамайка	45,02125	42,02025	45,02125	42,02025	00.03.22	По состоянию на 19.04.22 Не заверши-лась	Оп	Атм, гидрогеол, гидрол.	Не отмечалось	Признаки активности: смещения оползневых масс на локальном участке в языковой части оползня (Оп. №178). Параметры проявления: длина – 350 м, ширина – 600 м, площадь – 79500 м^2. Параметры активной части проявления: длина – 20 м, ширина – 50 м, площадь – 1000 м^2. Смещениями охвачены известковистые породы мамайского горизонта (выветрелые известняки, известковистые песчаники, глины, мергели), глины синдесмиевой свиты ($N^1_3S_2m$; $N^1_3S_1sd$). Базис развития опасного ЭГП: русло р. Мамайки. Факторы активизации: атмосферные осадки; гидрогеологический (увлажнение склоновых отложений грунтовыми водами); гидрогеологический (боковая речная эрозия водотока р. Мамайка).		

1	2	3	4	5	6	7	8	9	10	11	12	13	14	15	16
26.2022.06	Северо-Кавказский	Ставропольский край	Ленинский р-н г. Ставрополя, левый склон р. Мамайка	45,0204	42,00885	45,0204	42,00885	00.03.22	По состоянию на 19.04.22 Не заверши-лась	Оп	Атм, гидрогеол, гидрол.	Не отмечалось	Признаки активности: смещения оползневых масс высокой интенсивности в языке оползня (Оп. №108). Параметры проявления: длина – 230 м, ширина – 320 м, площадь – 46000 м^2. Параметры активной части: длина – 30 м, ширина – 40 м, площадь – 1200 м^2. Смещениями охвачены известковистые породы мамайского горизонта (выветрелые известняки, известковистые песчаники, глины, мергели), глины синдесмиевой свиты ($N^1_3S_2m$; $N^1_3S_1sd$). Базис развития опасного ЭГП: русло р. Мамайки. Факторы активизации: атмосферные осадки; гидрогеологический (увлажнение склоновых отложений грунтовыми водами); гидрогеологический (боковая речная эрозия водотока р. Мамайка).		
26.2022.07	Северо-Кавказский	Ставропольский край	Ленинский р-н г. Ставрополя, левый склон р. Мамайка	45,02695	41,9963	45,02695	41,9963	00.03.22	По состоянию на 21.04.22 Не заверши-лась	Оп	Атм, гидрогеол, техн.	Не отмечалось	Признаки активности: смещения оползневых масс средней интенсивности (Оп. №117) в результате подрезки и планировки склона по адресу - проезд Беломорский №14. Параметры проявления ОЭГП: длина – 230 м, ширина – 750 м, площадь – 95780 м^2. Параметры активной части: длина – 15м, ширина – 30 м, площадь – 450 м^2. Смещениями охвачены четвертичные делювиальные суглинки, пески супеси, суглинки и глины верхней части ясеновской свиты (dQ_4; $N^1_3S_2js$). Базис развития опасного ЭГП: левый склон р. Мамайки. Факторы активизации: атмосферные осадки; гидрогеологический (увлажнение склоновых отложений грунтовыми водами); техногенный (подрезка склона при строительстве). Существует угроза домам 18 и 24 по проезду Львовскому.		
26.2022.08	Северо-Кавказский	Ставропольский край	Ленинский р-н г. Ставрополя, левый склон р. Мамайка	45,01719	41,96779	45,01719	41,96779	00.03.22	По состоянию на 21.04.22 Не заверши-лась	Оп	Атм, гидрогеол, техн, гидрол.	Не отмечалось	Признаки активности: смещения грунтов на двух локальных участках в нижней части оползня (трещины растяжения) 2-го порядка в языке оползня (Оп. №79). Параметры проявления ОЭГП: длина – 420 м, ширина – 1030 м, площадь – 292400 м^2. Параметры активной части: уч. 1: длина – 10 м, ширина – 30 м, площадь – 300 м^2; уч. 2: длина – 30 м, ширина – 30 м, площадь – 900 м^2. Смещениями охвачены пески супеси, суглинки и глины ясеновской свиты, глины криптомактровой свиты ($N^1_3S_2js$, $N^1_3S_2cr$). Базис развития опасного ЭГП: русло р. Мамайки. Факторы активизации: атмосферные осадки; гидрогеологический (увлажнение склоновых отложений грунтовыми водами); гидрологический (боковая эрозия водотока Мамайки); техногенный (пригрузка отдельных участков оползня мусором и насыпными грунтами). Существует угроза деформаций кладбища у левого борта оползня.		
26.2022.09	Северо-Кавказский	Ставропольский край	Октябрьский р-н г. Ставрополя, правый склон р. Ташла	45,05248	41,96842	45,05248	41,96842	00.03.22	00.04.22	Оп	Атм, гидрогеол, гидрол.	Не отмечалось	Признаки активности: смещения грунтов на локальном участке оползня (№20) на излучине р. Ташлы. Параметры проявления ОЭГП: длина – 130 м, ширина – 400 м, площадь – 32340 м^2. Параметры активной части: длина – 20 м, ширина – 40 м, площадь – 800 м^2. Смещениями охвачены делювиально-пролювиальные четвертичные суглинки; отложения криптомактровых слоев среднего сармата: глины с редкими прослоями мергелей (dpQ4t). Базис развития опасного ЭГП: долина р.Ташлы. Факторы активизации: атмосферные осадки, гидрологический (боковая эрозия р. Ташлы); гидрогеологический (увлажнение оползневых отложений грунтовыми водами).		

1	2	3	4	5	6	7	8	9	10	11	12	13	14	15	16
26.2022.10	Северо-Кавказский	Ставропольский край	Октябрьский р-н г. Ставрополя, правый склон р. Ташла	45,05315	41,96659	45,05315	41,96659	00.03.22	00.04.22	Оп	Атм, гидрогеол, гидрол.	Не отмечалось	Признаки активности: смещения оползневых масс на локальном участке в языковой части левой половины оползня (Оп. №21). Параметры проявления опасного ЭГП: длина – 130 м, ширина – 420 м, площадь – 36000 м^2. Параметры активной части: длина – 5 м, ширина – 5 м, площадь – 25 м^2. Смещениями охвачены делювиально-пролювиальные четвертичные суглинки; отложения криптомактровых слоев среднего сармата: глины с редкими прослоями мергелей. Базис развития опасного ЭГП: пойма р.Ташлы. Факторы активизации: атмосферные осадки; гидрологический (боковая эрозия р.Ташлы); гидрогеологический (увлажнение оползневых отложений грунтовыми водами). Под угрозой разрушения подсобные строения частного жилого сектора.		
26.2022.11	Северо-Кавказский	Ставропольский край	Октябрьский р-н г. Ставрополя правый склон р. Ташла	45,06106	42,0303	45,06106	42,0303	00.03.22	00.04.22	Оп	Атм, гидрогеол, техн.	Не отмечалось	Признаки активности: смещения грунтов в верхней части зоны транзита оползневых масс, в отсыпке грунтом и строительным мусором. Параметры проявления ОЭГП: длина – 170 м, ширина – 1400 м, площадь – 124950 м^2. Параметры активной части: длина – 40 м, ширина – 70 м, площадь – 2800 м^2. Смещениями охвачены глины синдесмиевой свиты ($N^1_3S_1sd$). Базис развития опасного ЭГП: донная часть долины ручья Полковничий яр. Факторы активизации опасного ЭГП: 1. Атмосферные осадки; 2. техногенный; 3. гидрогеологический (увлажнение оползневых отложений грунтовыми водами). Существует угроза для жилых домов, расположенных в языковой части оползня.		
26.2022.12	Северо-Кавказский	Ставропольский край	Октябрьский р-н г. Ставрополя правый склон р. Ташла	45,05796	41,98241	45,05796	41,98241	00.03.22	00.05.22	Оп	Атм, гидрогеол, техн, гидрол.	Не отмечалось	Признаки активности: смещения оползневых масс в нижней части зоны транзита оползня (Оп. №31). Смещения не высокой интенсивности по типу сдвига. Параметры проявления ОЭГП: длина – 40 м, ширина – 150 м, площадь – 3910 м^2. Параметры активной части: длина – 30 м, ширина – 10 м, площадь – 300 м^2. Смещениями охвачены верхнемиоценовые отложения криптомактровых слоёв среднего сармата-глины с маломощными прослоями мергелей, насыпные грунты (Q_4t; $N^1_3S_2cr$). Базис развития опасного ЭГП: донная часть ручья Труновского оврага. Факторы активизации: атмосферные осадки; гидрологический (боковая эрозия водотока); техногенный.		
26.2022.13	Северо-Кавказский	Ставропольский край	Октябрьский р-н г. Ставрополя, правый склон р. Ташла	45,06121	41,98918	45,06121	41,98918	00.03.22	По состоянию на 12.05.22 Не заверши-лась	Оп	Атм, гидрогеол, техн, гидрол.	Не отмечалось	Признаки активности: смещения оползневых масс средней интенсивности у правого борта оползня (Оп. №35). Параметры проявления ОЭГП: длина – - 350 м, ширина – - 700 м, площадь – - 33000 м^2. Параметры активной части: длина – - 150 м, ширина – - 100 м, площадь – - 15000 м^2. Смещениями охвачены насыпные грунты, глины криптомактровой свиты (Q_4t; $N^1_3S_2cr$). Базис развития опасного ЭГП: русло р. Ташлы. Факторы активизации опасного ЭГП: 1. Атмосферные осадки; 2. Боковая эрозия водотока; 3. Пригрузка тела оползня насыпными грунтами; 4.Увлажнение отложений грунтовыми водами.	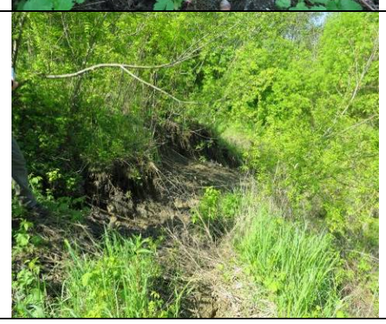	

1	2	3	4	5	6	7	8	9	10	11	12	13	14	15	16
26.2022.14	Северо-Кавказский	Ставропольский край	Октябрьский р-н г. Ставрополя, правый склон р. Ташла	45,06397	41,99909	45,06397	41,99909	00.03.21	По состоянию на 12.05.22 Не заверши-лась	Оп	Атм, гидрогеол, техн, гидрол.	Отмечалось	Признаки активности: смещения оползневых масс на двух участках высокой интенсивности: 1 участок в левой половине оползня размерами 300х180 м.; 2 участок в языке и нижней части зоны транзита размерами 40х200 м. Параметры проявления ОЭГП: длина – 390 м, ширина – 1580 м, площадь – 401160 м^2. Параметры активной части: 2 участка активизации общей площадь – ю 62000 м^2. Смещениями охвачены техногенные грунты, глины криптомактровой свиты среднего сармата (Q_4t; $N^1_3S_2cr$). Базис развития опасного ЭГП: русло р. Ташлы. Факторы активизации опасного ЭГП: 1. Атмосферные осадки; 2. Увлажнение отложений грунтовыми водами; 3. Речная боковая эрозия; 4. Массивная пригрузка головной части насыпными грунтами. В результате активизации оползня отмечалась деформация газопровода 20 м, деформация ЛЭП 170 м, частичное разрушение нескольких гаражей. В головной части у левого борта 2 ряда подпорных стенок типа свайного ростверка («новая» и «старая»), служат для защиты ж/д путей.		
26.2022.15	Северо-Кавказский	Ставропольский край	Октябрьский р-н г. Ставрополя, склоны р. Заводской овраг, правый склон р. Ташла	45,06929	42,0235	45,06929	42,0235	00.03.22	По состоянию на 13.05.22 Не заверши-лась	Оп	Атм, гидрогеол, техн, гидрол.	Отмечалось	Признаки активности: смещения грунтов на 6-ти участках (Оп. №129) различной интенсивности. Параметры проявления ОЭГП: длина – 400 м, ширина – 2800 м, площадь – 824000 м^2. Площадь – активной части 6 участков активизации 67050 м^2. Смещениями охвачены глины криптомактровой свиты, на локальных участках техногенные грунты, известковистые породы мамайского горизонта, глины синдесмиевой свиты (Q_4t; $N^1_3S_2cr$, $N^1_3S_2m$, $N^1_3S_1sd$. Базис развития опасного ЭГП: русло р. Заводской овраг и русло р. Ташлы. Факторы активизации: атмосферные осадки; техногенный (пригрузка оползня насыпными грунтами и мусором); увлажнение оползневых отложений грунтовыми водами; гидрологический (боковая эрозия). В зоне воздействия оползневого процесса земли лесного фонда на площади 42400 м^2.		
26.2022.16	Северо-Кавказский	Ставропольский край	Октябрьский р-н г. Ставрополя, правый склон р. Ташла	45,07102	42,02191	45,07102	42,02191	00.03.22	00.05.22	Оп	Атм, гидрол.	Не отмечалось	Признаки активности: смещения оползневых масс (Оп. №3447). Параметры проявления ОЭГП: длина – 25м, Ширина – 60 м, площадь – 1200 м^2. Параметры активной части: длина – 20 м, ширина – 30 м, площадь – 600 м^2. Смещениями охвачены глины криптомактровой свиты, техногенные грунты, известковистые породы мамайского горизонта, глины синдесмиевой свиты (Q_4t; $N^1_3S_2cr$, $N^1_3S_2m$, $N^1_3S_1sd$). Базис развития опасного ЭГП: пойма р.Ташлы. Факторы активизации: 1. Атмосферные осадки; 2. Боковая эрозия водотока; 3. Антропогенные факторы.	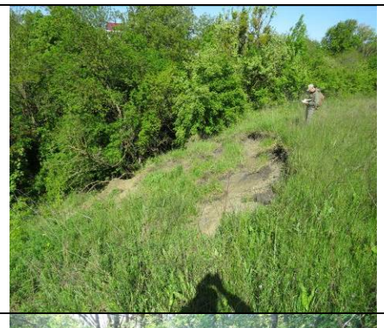	
26.2022.17	Северо-Кавказский	Ставропольский край	Село Верхняя Татарка Шпаковского района	44,96655	41,94015	44,96655	41,94015	00.03.22	00.05.22	Оп	Атм, гидрогеол, гидрол.	Не отмечалось	Признаки активности: смещения грунтов в языковой части оползня (Оп. №1360). Параметры проявления ОЭГП: длина – 300 м, ширина – 800 м, площадь – 192300 м^2. Параметры активной части: длина – 10 м, ширина – 30 м, площадь – 300 м$^{2;}$. Смещениями охвачены насыпные грунты, делювиально- пролювиальные четвертичные суглинки; глины криптомактровой свиты (dpQ_4 ; $N^1_3S_2cr$). Базис развития опасного ЭГП: русло правого притока р. Татарки. Факторы активизации опасного ЭГП: 1. Атмосферные осадки; 2. Увлажнение оползневых отложений грунтовыми водами; 3. Боковая эрозия водотока.		

1	2	3	4	5	6	7	8	9	10	11	12	13	14	15	16
26.2022.18	Северо-Кавказский	Ставропольский край	Село Верхняя Татарка Шпаковского района	44,96645	41,94066	44,96645	41,94066	00.03.22	00.05.22	Оп	Атм, гидрогеол, гидрол.	Не отмечалось	Признаки активности: смещения оползневых масс в языковой части оползня (Оп. №2216) Параметры проявления ОЭГП: длина – 100 м, ширина – 300 м, площадь – 31060 м^2. Параметры активной части: длина – 10 м, ширина – 10 м, площадь – 100 м^2. Смещениями охвачены насыпные грунты, делювиально- пролювиальные четвертичные суглинки; глины криптомактровой свиты (dpQ_4 ; $N^1_3S_2cr$). Базис развития опасного ЭГП: Русло правого притока р. Татарки. Факторы активизации опасного ЭГП: 1. Атмосферные осадки; 2. Увлажнение оползневых отложений грунтовыми водами; 3. Боковая эрозия водотока.		
26.2022.19	Северо-Кавказский	Ставропольский край	Октябрьский р-н г. Ставрополя, правый склона долины р. Третья речка	45,08328	41,95973	45,08328	41,95973	00.03.22	00.05.22	Оп	Атм, гидрогеол, техн.	Не отмечалось	Признаки активности: смещения грунтов в головной части оползня, а также в левом и правом бортах (Оп. №3483). Параметры проявления ОЭГП: длина – 150 м, ширина – 200 м, площадь – 20000 м^2. Общая площадь – активной части 300 м^2. Смещениями охвачены делювиально-пролювиальные четвертичные суглинки; отложения криптомактровых слоев среднего сармата: глины с редкими прослоями мергелей (dpQ_4t; $N^1_3S_2cr$). Базис развития опасного ЭГП: пологая часть правого склона долины р. Третья речка. Факторы активизации опасного ЭГП: 1. Атмосферные осадки; 2. Увлажнение оползневых отложений грунтовыми водами; 3. Антропогенные факторы (пригрузка склона строениями, возможные утечки из водонесущих коммуникаций, пригрузка головы оползня насыпными грунтами).		
26.2022.20	Северо-Кавказский	Ставропольский край	Октябрьский р-н г. Ставрополя, правый склон долины р. Третья речка	45,08557	41,97791	45,08557	41,97791	00.03.22	00.05.22	Оп	Атм, гидрогеол, техн.	Не отмечалось	Признаки активности: смещения грунтов в головной и верхней части зоны транзита оползневых масс (Оп. №1928). Параметры проявления ОЭГП: длина – 30 м, ширина – 90 м, площадь – 2700 м^2. Параметры активной части: длина – 25м, ширина – 60 м, площадь – 1500 м^2. Смещениями охвачены делювиально-пролювиальные четвертичные суглинки; отложения криптомактровых слоев среднего сармата: глины с редкими прослоями мергелей (dpQ_4t; $N^1_3S_2cr$). Базис развития опасного ЭГП: пологая часть правого склона долины р. Третья речка. Факторы активизации опасного ЭГП: 1. Атмосферные осадки; 2. Увлажнение оползневых отложений грунтовыми водами; 3. Антропогенные факторы (пригрузка головы оползня насыпными грунтами).		
26.2022.21	Северо-Кавказский	Ставропольский край	Административно относится к г. Ставрополю	45,02913	42,03423	45,02913	42,03423	00.03.22	00.05.22	Оп	Атм, гидрогеол.	Не отмечалось	Признаки активности: смещения грунтов в головной части оползня (Оп. №1792). Параметры проявления ОЭГП: длина – 430 м, ширина – 700 м, площадь – 174600 м^2. Параметры активной части: длина – 50 м, ширина – 100 м, площадь – 4700 м^2. Смещениями охвачены Делювиально- пролювиальные четвертичные суглинки, глины синдесмиевой свиты; глины конкского горизонта .(dpQ_4; $N^1_3S_1sd$; N^1_2kn).: Базис развития опасного ЭГП: донная часть крупного оврага. Факторы активизации опасного ЭГП: 1. Атмосферные осадки; 2. Увлажнение оползневых отложений грунтовыми водами.		

1	2	3	4	5	6	7	8	9	10	11	12	13	14	15	16
26.2022.22	Северо-Кавказский	Ставропольский край	Изобильненский городской округ, ст. Новотроицкая	45,37502	41,54139	45,37502	41,54139	27.06.22	По состоянию на 27.06.22 Не заверши-лась	Оп	Атм, гидрол.	Отмечалось	Признаки активности: смещения оползневых масс, формирование трещин закола в головной части оползня (Оп. № 3448). Параметры проявления ОЭГП: длина – 17м, ширина – 37м, площадь – 500 м^2. Параметры активной части: длина – 15м, ширина – 15м, площадь – 200 м^2. Смещениями охвачены Делювиально- пролювиальные четвертичные суглинки; аллювиальные: пески, гравий суглинки, слоистые глины (dpQ4; aQ). Базис развития: русло р. Егорлык. Факторы активизации опасного ЭГП: 1. Атмосферные осадки; 2. Речная боковая эрозия. В результате активизации оползня отмечались деформации участка домовладения, прилегающего к левобережью р.Егорлык (по ул. Егорлыкская 47 ст. Новотроицкая), существует угроза разрушения частного дома.		
26.2022.23	Северо-Кавказский	Ставропольский край	Город-курорт Кисловодск, верховья реки Белой, в 2,0 км юго-восточнее п. Белореченский	43.890831	42.777351	43.8908324	42.7773534	00.00.2017	00.06.22	Оп	Техн., атм.,	Не отмечалось	Признаки активности: смещения грунтов низкой степени активности в головной части оползневого массива в правом борту р. Белая. Параметры активной части проявления: длина – 32 м, ширина – 18 м, средняя мощность оползневых масс 1,5 м, площадь – активной части 551 м^2, объем 826м^3. Смещениями охвачены голоценовые делювиальные суглинки с обломками известняков, техногенные грунты (глины, суглинки, строительный мусор). Базис развития оползня: пойма р.Белая. Основные факторы активизации: техногенный (пригрузка склона насыпными грунтами) и атмосферный.		
26.2022.24	Северо-Кавказский	Ставропольский край	Город-курорт Кисловодск, верховья реки Белой, в 2,2 км юго-восточнее п. Белореченский	43.886898	42.779067	43.8868994	42.7790694	00.03.22	00.06.22	Оп	Техн, геол, атм.	Не отмечалось	Признаки активности: смещения грунтов, формирование стенки отрыва оползня. Формирование вновь образованного оползня II порядка в верховом откосе строящейся автодороги п. Белореченский - Верхний спортивный комплекс. Параметры активной части проявления: длина – 62 м, ширина – 22 м, мощность оползневых масс до 2м, площадь – 1739 м^2, объем смещенных масс 3478 м^3. Смещениями охвачены делювиально-пролювиальные суглинки голоцена, деляпсивные образования (суглинки, глины с обломками известняков). Базис развития - нижняя часть склона. Основные факторы активизации: техногенный (подрезка склона при строительстве дороги), геологический (смещениями охвачены неустойчивые грунты - глины, суглинки), атмосферный.		
26.2022.25	Северо-Кавказский	Ставропольский край	Город-курорт Кисловодск, верховья реки Белой, в 2,03 км юго-восточнее п. Белореченский	43.888850	42.776256	43.8888514	42.7762584	00.03.22	На 02.06.22 не завершена	Оп	Техн, геол, атм	Не отмечалось	Активизация оползня II порядка в низовом откосе строящейся автодороги п. Белореченский - Верхний спортивный комплекс. Признаки активности: смещения оползневых масс, формирование ступеней отседания, трещин закола и растяжения. Параметры активной части проявления: длина – 541 м, ширина – 64 м, мощность оползневых масс 3 м, площадь – активной части 38094 м^2, объем смещенных масс 114282 м^3. Базис развития: нижняя часть склона. Основные факторы активизации: техногенный (подрезка склона при строительстве дороги, пригрузка оползневого склона насыпными грунтами), геологический (смещениями охвачены неустойчивые грунты - древнеоползневые и склоновые образования глины, суглинки с обломками известняков), атмосферный.		

1	2	3	4	5	6	7	8	9	10	11	12	13	14	15	16
26.2022.26	Северо-Кавказский	Ставропольский край	Город-курорт Кисловодск, верховья реки Белой, в 1,8 км юго-восточнее п. Белореченский	43.891734	42.775439	43.8917354	42.7754414	00.03.2014	00.06.22	Оп	Техн, атм,	Не отмечалось	Наблюдалась низкая активность оползня в левом борту р. Белая. Признаки активности: смещения грунтов, формирование трещин закола. Параметры активной части проявления: длина – 27 м, ширина – 10 м, средняя мощность оползневых масс 2,0 м, площадь – активной части 260 м^2, объем 520 м^3. Смещениями охвачены техногенные грунты (суглинки, обломки известняков, строительный мусор) и делювиальные суглинки голоцена. Базис развития: пойма реки Белой. Основные факторы активизации: техногенный (пригрузка склона насыпными грунтами); атмосферный.		
26.2022.27	Северо-Кавказский	Ставропольский край	Город-курорт Кисловодск, верховья реки Белой, автодорога от п. Белореченский к верхнему спортивному комплексу (км 2,08)	43.896763	42.782828	43.8967644	42.7828304	00.03.22	00.06.22	Оп	Техн, геол, атм	Отмечалось	Активизация нижней части оползневого массива в верховом откосе автодороги п. Белореченский - Верхний спортивный комплекс. Признаки активности: смещения грунтов с формированием ступеней отседания, трещин растяжения. Параметры активной части проявления: длина – 44 м, ширина – 20 м, средняя мощность оползневых масс 2,0 м, площадь – активной части 767 м^2, объем смещенных масс 1534 м^3. Базис развития - пойма реки Белой. Смещениями охвачены делювиально-коллювиальные суглинки голоцена с обломками известняков, деляпсивные образования (суглинки, глины с обломками известняков). Оползневыми массами было частично перекрыто полотно автодороги с покрытием на интервале 20 м. Основные факторы активизации: техногенный (подрезка склона при реконструкции дороги), геологический (смещениями охвачены деляпсивные и склоновые образования), атмосферный.		
26.2022.28	Северо-Кавказский	Ставропольский край	Город-курорт Кисловодск, верховья реки Белой, автодорога от п. Белореченский к верхнему спортивному комплексу (км 2,2)	43.896693	42.784196	43.8966944	42.7841984	00.03.22	00.06.22	Оп	Техн, геол, атм	Отмечалось	Активизация нижней части оползневого массива в верховом откосе автодороги п. Белореченский - Верхний спортивный комплекс. Признаки активности: смещения грунтов, формирование трещин закола, растяжения. Параметры активной части проявления: длина – 55 м, ширина – 50 м, средняя мощность оползневых масс 2,5 м, площадь – активной части 2146 м^2, объем смещенных масс 5365 м^3. Базис развития - пойма реки Белой. Смещениями охвачены делювиально-коллювиальные суглинки голоцена с обломками известняков, деляпсивные образования (суглинки, глины с обломками известняков). Оползневыми массами было частично перекрыто полотно автодороги с покрытием на интервале 50 м. Основные факторы активизации: техногенный (подрезка склона при реконструкции дороги), геологический (смещениями охвачены деляпсивные и склоновые образования), атмосферный.		
26.2022.29	Северо-Кавказский	Ставропольский край	Город-курорт Кисловодск, верховья реки Белой, автодорога от п. Белореченский к верхнему спортивному комплексу (км 2,34)	43.896506	42.785683	43.8965074	42.7856854	00.03.22	00.06.22	Оп	Техн, геол, атм	Отмечалось	Активизация оползневого массива в верховом откосе автодороги п. Белореченский - Верхний спортивный комплекс. Признаки активности: смещения оползневых масс, образование трещин закола и растяжения. Параметры активной части проявления: длина – 88 м, ширина – 110 м, средняя мощность оползневых масс 3,0 м, площадь – активной части 6807 м^2, объем смещенных масс 20421 м^3. Базис развития -пойма реки Белой. Смещениями охвачены делювиально-коллювиальные суглинки голоцена с обломками известняков, деляпсивные образования (суглинки, глины с обломками известняков). Оползневыми массами было частично перекрыто полотно автодороги с покрытием на интервале 30 м. Основные факторы активизации: техногенный (подрезка склона при реконструкции дороги, пригрузка головной части оползня насыпными грунтами), геологический (смещениями охвачены деляпсивные и склоновые образования), атмосферный.		

1	2	3	4	5	6	7	8	9	10	11	12	13	14	15	16
26.2022.30	Северо-Кавказский	Ставропольский край	Город-курорт Кисловодск, верховья реки Белой, автодорога от п. Белореченский к верхнему спортивному комплексу (км 2,4)	43.896105	42.786527	43.8961064	42.7865294	00.03.22	00.06.22	Оп	Техн, геол, атм	Отмечалось	Активизация нижней части оползневого массива в верховом откосе автодороги п. Белореченский - Верхний спортивный комплекс. Признаки активности: смещения оползневых масс, образование трещин закола и растяжения. Параметры активной части проявления: длина – 77 м, ширина – 30 м, средняя мощность оползневых масс 2,0 м, площадь – активной части 2052 м^2, объем смещенных масс 4104 м^3. Базис развития -пойма реки Белой. Смещениями охвачены делювиально-пролювиальные суглинки голоцена, деляпсивные образования (суглинки, глины с обломками известняков). Оползневыми массами было частично перекрыто полотно автодороги с покрытием на интервале 20 м. Основные факторы активизации: техногенный (подрезка склона при реконструкции дороги), геологический (смещениями охвачены деляпсивные и склоновые образования), атмосферный.		
26.2022.31	Северо-Кавказский	Ставропольский край	Город-курорт Кисловодск, верховья реки Белой, в 2,26 км юго-восточнее п. Белореченский	43.894990	42.787213	43.8949914	42.7872154	00.03.22	00.06.22	Оп	Техн, геол, атм	Не отмечалось	Активизация оползневого процесса в верховом откосе дороги Белореченский - Верхний спортивный комплекс. Признаки активности: смещения оползневых масс, образование трещин закола, отседание блоков. Параметры активной части проявления: длина – 60 м, ширина – 80 м, средняя мощность оползневых масс 4,0 м, площадь – активной части 4461 м^2, объем смещенных масс 17844 м^3. Базис развития - пойма реки Белой. Смещениями охвачены техногенные грунты (суглинки, глины, чернозем с обломками известнякови с включениями строительного мусора) и делювиально-пролювиальные суглинки голоцена, деляпсивные образования (суглинки, глины с обломками известняков,). Основные факторы активизации: техногенный (пригрузка оползневого склона насыпными грунтами), геологический, атмосферный.		
26.2022.32	Северо-Кавказский	Ставропольский край	Город-курорт Кисловодск, верховья реки Белой, в 2,21 км юго-восточнее п. Белореченский	43.889398	42.777998	43.8893994	42.7780004	00.03.22	00.06.22	Оп	Техн, атм	Не отмечалось	Активизация оползневого процесса в низовом откосе дороги Белореченский - Верхний спортивный комплекс. Признаки активности: смещения оползневых масс, образование трещин закола. Параметры активной части проявления: длина – 10 м, ширина – 82 м, средняя мощность оползневых масс 3,0 м, площадь – активной части 863 м^2, объем смещенных масс 2589 м^3. Базис развития - пойма реки Белой. Смещениями охвачены техногенные грунты (суглинки, глины, чернозем с обломками известнякови с включениями строительного мусора) и делювиально-пролювиальные суглинки голоцена, деляпсивные образования (суглинки, глины с обломками известняков). Основные факторы активизации: техногенный (пригрузка оползневого склона насыпными грунтами), атмосферный.		
26.2022.33	Северо-Кавказский	Ставропольский край	Город-курорт Кисловодск, верховья реки Белой, автодорога от п. Белореченский к верхнему спортивному комплексу (км 4,3)	43.887932	42.772775	43.8879334	42.7727774	00.03.22	00.06.22	Оп	Техн, , атм	Не отмечалось	Активизация оползневого процесса в верховом откосе дороги Белореченский - Верхний спортивный комплекс. Признаки активности: смещения оползневых масс, образование трещин закола, отседание блоков. Параметры активной части проявления: длина – 10 м, ширина – 30 м, средняя мощность оползневых масс 1,0 м, площадь – активной части 260 м^2, объем смещенных масс 260 м^3. Базис развития - нижняя часть склона. Смещениями охвачены делювиальные суглинки голоцена, деляпсивные образования (суглинки, глины с обломками известняков). Основные факторы активизации: техногенный (подрезка склона при реконструкции дороги), атмосферный.		

1	2	3	4	5	6	7	8	9	10	11	12	13	14	15	16
26.2022.34	Северо-Кавказский	Ставропольский край	Город-курорт Кисловодск, верховья реки Белой, автодорога от п. Белореченский к верхнему спортивному комплексу (км 5,25)	43.889555	42.768779	43.8895564	42.7687814	00.03.22	00.06.22	Оп	Техн, атм	Не отмечалось	Активизация оползневого процесса в верховом откосе дороги Белореченский - Верхний спортивный комплекс. Признаки активности: смещения оползневых масс, образование трещин закола. Параметры активной части проявления: длина – 10 м, ширина – 40 м, средняя мощность оползневых масс 2,0 м, площадь – активной части 375 м^2, объем смещенных масс 750 м^3. Базис развития - нижняя часть склона. Смещениями охвачены делювиальные суглинки голоцена, деляпсивные образования (суглинки, глины с обломками известняков). Основные факторы активизации: техногенный (подрезка склона при реконструкции дороги) и атмосферный.		
26.2022.35	Северо-Кавказский	Ставропольский край	Город-курорт Кисловодск, верховья реки Белой, автодорога от п. Белореченский к верхнему спортивному комплексу (км 5,17)	43.889636	42.769874	43.8896374	42.7698764	00.03.22	00.06.22	Оп	Техн, атм	Не отмечалось	Активизация оползневого процесса в верховом откосе дороги Белореченский - Верхний спортивный комплекс. Признаки активности: смещения оползневых масс, образование трещин закола, растяжения Параметры активной части проявления: длина – 17 м, ширина – 25 м, средняя мощность оползневых масс 2,0 м, площадь – активной части 305 м^2, объем смещенных масс 610 м^3. Базис развития - нижняя часть склона. Смещениями охвачены деляпсивные образования (суглинки, глины с обломками известняков) глины альбского яруса нижнего мела. Основные факторы активизации: техногенный (подрезка склона при реконструкции дороги) и атмосферный.		
26.2022.36	Северо-Кавказский	Ставропольский край	Город-курорт Кисловодск, верховья реки Белой, в 1,5 км юго-восточнее п. Белореченский	43.899678	42.780251	43.8996794	42.7802534	00.03.22	00.06.22	Оп	Техн, атм	Не отмечалось	Активизация оползневого процесса в верховьях правого склона реки Белая. Признаки активности: смещения оползневых масс, образование трещин закола, отседание оползневых блоков. Параметры активной части проявления: длина – 30 м, ширина – 120 м, средняя мощность оползневых масс 3,0 м, площадь – активной части 3413 м^2, объем смещенных масс 10239м^3. Базис развития - нижняя часть склона. Смещениями охвачены техногенные грунты (строительный мусор, суглинки с обломками известняков, чернозем), склоновые делювиально-коллювиальные отложения голоцена (суглинки с обломками известняков). Основные факторы активизации: техногенный (пригрузка склона насыпными грунтами), атмосферный.		
26.2022.37	Северо-Кавказский	Ставропольский край	г. Пятигорск (пос. Свобода), ул. Сергеева	44.021431	43.070929	44.0214324	43.0709314	00.03.22	На 02.06.22 не завершена	Оп	Техн, геол, атм	Отмечалось	Активизация оползневого процесса по ул. Сергеева, в районе Покровской церкви. Признаки активизации опасного ЭГП: формирование трещин закола на полотне дороги в 3-10 южнее стенки срыва оползня (протяженность 12 м, ширина – развития трещин 0,5 м, площадь – активной части 6 м^2), деформация забора Покровской церкви. Формирование трещин закола на асфальтовом покрытии автостоянки в 45 м южнее стенки срыва, протяженность трещин до 30 м, ширина – развития трещин - 0,5 м, раскрытие 1-4 см, отседание северного блока вниз по склону до 5-7 см, площадь – активной части 15м^2. Длина – зарождающегося оползневого блока 40 м, ширина – 30 м. Смещениями охвачены техногенные грунты (отсыпка автодороги); делювиально-пролювиальные отложения голоцена; глины, мергели палеогена. Базис развития ЭГП - нижняя часть склона. Основные факторы активизации: техногенный (хозяйственная деятельность, динамическое воздействие от движения транспорта); геологический; атмосферный. В зоне воздействия оползневого процесса находится автодорога с покрытием по ул. Сергеева на интервале 12 м, забор Покровской церкви, автостоянка на интервале 30 м, шириной до 0,5 м. Существует угроза жилым домам №71А, №73. по ул. Сергеева, строениям Покровской церкви.		

1	2	3	4	5	6	7	8	9	10	11	12	13	14	15	16
26.2022.38	Северо-Кавказский	Ставропольский край	Предгорный район, в 2,4 км юго-западнее п. Им. Чкалова, правый борт балки Бурун	44.086312	42.678372	44.0863134	42.6783744	00.03.22	00.06.22	Оп	Атм, геол.	Не отмечалось	Низкая активность оползневого процесса в головной части оползня. Признаки и параметры активизации опасного ЭГП: формирование трещин закола в головной части оползня, отседание мелких блоков со стенки срыва на 5-ти локальных участках, шириной до 5 м, длиной до 6м, средняя мощность 3м. Площадь – активной части 150 м^2, объем 450 м^3. Базис развития ЭГП - пойма балки Бурун. Смещениями охвачены: делювиальные суглинки голоцена, красно-бурые супеси, суглинки эоплейстоцена, темно-серые глины с прослоями алевролитов нижнего палеогена (карапагинская свита). Основные факторы активизации: атмосферные осадки; геологический (основным деформирующимся горизонтом являются глины нижнего палеогена).		
26.2022.39	Северо-Кавказский	Ставропольский край	Предгорный район, автодорога Ессентуки-Боргустанская (км 16,2)	44.063194	42.614528	44.0631954	42.6145304	00.03.22	На 09.06.22 не завершена	Оп	Техн,, геол., атм,	Отмечалось	Низкая активность оползневого процесса в пределах автодороги Ессентуки - Боргустанская (км 16,2). Признаки активности: полотно дороги на интервале 40 м разбито трещинами растяжения протяженностью 3-5м с раскрытием трещин до 3 см и отседанием блоков вниз по склону на 0,05-0,1м. Площадь – активной части 120 м^2, ширина – 40 м, длина – 3м, мощность до 0,5м. В низовом откосе дороги наблюдается обводненность оползневых масс. Смещениями охвачены техногенные грунты (гравийно-галечная отсыпка дороги), делювиальные суглинки голоцена, глины майкопской серии палеоген-неогенового возраста. Базис развития ЭГП - нижняя часть склона. Основные факторы активизации: техногенный (динамическое воздействие от движения большегрузного транспорта); геологический (основным деформирующимся горизонтом являются глины майкопской серии палеоген-неогенового возраста); атмосферные осадки. В зоне воздействия оползневого процесса находится полотно автодороги с покрытием на интервале 40 м.		
02.2022.0002	Приволжский	Республика Башкортостан	г. Уфа, крутой правобережный слон р.Белой, вдоль железной дороги Уфа-Челябинск	54,78219	56,02231	54,78219	56,02231	15.04.22	12.05.22	Эо	Атм. Техн.	Не отмечалось	На участке створа № 1 Уфимского косогора, расположенном на территории парковой зоны г. Уфы и граничащего с ЖК «Зеленый берег» (ул.Блюхера), при весеннем обследовании на верхнем эрозионном уступе длиной 32 м отмечалась активизация процесса овражной эрозии. Общая длина оврага составляет 0,8 км, с развитием на нем 4-х эрозионных уступов до глубины залегания коренных пород (2,5-8,0 м). Ширина оврага при вершине 6,20 м, глубина 2,0 м. Процесс овражной эрозии находится в стадии развития. Факторы активизации - метеорологический (атмосферные осадки, интенсивное снеготаяние) и техногенный (направленный сброс сточных вод в овраги). Состав пород, затронутых проявлением - глины, мергели нижнепермского периода.		

1	2	3	4	5	6	7	8	9	10	11	12	13	14	15	16
02.2022.0003	Приволжский	Республика Башкортостан	г. Уфа, крутой правобережный слон р.Белой, вдоль железной дороги Уфа-Челябинск	54,78254	56,02205	54,78254	56,02205	15.04.22	12.05.22	Эо	Атм. Техн.	Не отмечалось	На участке створа № 1 Уфимского косогора, расположенном на территории парковой зоны г. Уфы и граничащего с ЖК «Зеленый берег» (ул.Блюхера) отмечалась активизация процесса овражной эрозии. Общая длина оврага составляет 0,8 км, с развитием на нем 4–х эрозионных уступов до глубины залегания коренных пород (2,5-8,0 м). Состав пород, затронутых проявлением - глины, мергели нижнепермского периода. В весенний период наблюдений в средней части оврага длиной не менее 250 м, прирост вершины составил 1,8 м. Признаки активизации: обрушение грунта длиной в 5 м, увеличение ширины при вершине на 1,6 м. По левому борту имеются свежие трещины отрыва. По склону оврага повсеместное осыпание грунта. Отмечается активизация донной эрозии тальвега основного оврага. Факторы активизации - метеорологический (атмосферные осадки, интенсивное снеготаяние) и техногенный (направленный сброс сточных вод в овраги).		
02.2022.0004	Приволжский	Республика Башкортостан	г. Уфа, Октябрьский и Орджоникидзевский район ГО г. Уфы	54,76027	55,98311	54,76027	55,98311	15.04.22	11.05.22	КС	Атм..	Не отмечалось	В г. Уфа на территории Октябрьского и Орджоникидзевского районов отмечалась активизация карстово-суффозионного процесса. В геологическом строении принимают участие гипсы кунгурского и терригенно-карбонатные отложения уфимского ярусов нижней перми, пролювиально-делювиальные отложения четвертичной системы. Активные карстово-суффозионные воронки имеют следующие морфометрические показатели: диаметр от 1,5 до 15,70 м и глубиной от 0,3 до 7 м. Активность выражается в увеличении размеров воронок, осыпании и сползании бортов, в промывании поноров, образовании трещин отпора. Отмечена визуальная просадка участка между воронками 4/13 и 4/13/1. Из 13 проявлений активны 6 воронок. Породы, затронутые процессом - известняки, суглинки. Карстово-суффозионный процесс в стадии развития. Фактор активизации - метеорологический (атмосферные осадки, интенсивное снеготаяние).		
02.2022.0005	Приволжский	Республика Башкортостан	г. Уфа, Октябрьский и Орджоникидзевский район ГО г. Уфы	54,78500	56,02167	54,78500	56,02167	15.04.22	12.05.22	КС	Атм. Гидролог.	Не отмечалось	В г. Уфа на территории Октябрьского и Орджоникидзевского районов ГО г. Уфы в парке им. М. Гафури отмечалась активизация карстово-суффозионного процесса. Параметры воронки – диаметр – 40 м в верхней части, 15-20 м в нижней части, глубина – 8 м. По результатам весеннего наблюдения отмечается практически полное разрушение скальных пород и грунта в активной зоне воронки, в верхней части западного склона сползание рыхлых отложений вместе с растительным покровом. На дне воронки отмечен ручей дебитом - 4 л/с, диаметр активной части 4,5 м. Фактором активизации являются атмосферные осадки и поверхностный сток родника. Состав пород, затронутых активизацией - гипсы, суглинки соликамской свиты (P1sk).		
02.2022.0006	Приволжский	Республика Башкортостан	г. Уфа, Октябрьский и Орджоникидзевский район ГО г. Уфы	54,78630	56,01761	54,78630	56,01761	15.04.22	12.05.22	КС	Атм.	Не отмечалось	В г. Уфа на территории Октябрьского и Орджоникидзевского районов ГО г. Уфы отмечалась активизация карстово-суффозионного процесса в тальвеге оврага. Размеры проявления 4,35×4,50 м, глубина 1,80 м. В весенний период активизировался понор размерами 1,5×0,50 м, глубиной 3,20 м, по правому склону отмечалось увеличение понора 1,70×0,75 м, глубиной 1,7 м. Активность выразилась в увеличении параметров за счет осыпания пород. Фактором активизации являются атмосферные осадки. Состав горных пород – гипсы кунгурского яруса нижней перми (P1k).		

1	2	3	4	5	6	7	8	9	10	11	12	13	14	15	16
02.2022.0007	Приволжский	Республика Башкортостан	г. Уфа, Октябрьский и Орджоникидзевский район ГО г. Уфы	54,78604	56,01804	54,78604	56,01804	15.04.22	12.05.22	КС	Атм. Техн.	Не отмечалось	В г. Уфа на территории Октябрьского и Орджоникидзевского районов ГО г. Уфы отмечалась активизация карстово-суффозионного процесса в тальвеге оврага. Параметры воронки 4,40×3,10 м. В весенний период активность выражалась в осыпании рыхлых пород и углублении понора. Фактором активизации являются атмосферные осадки и интенсивное снеготаяние. Состав пород, затронутых проявлением - четвертичные пролювиально-делювиальные отложения (pdQ).		
02.2022.008	Приволжский	Республика Башкортостан	г. Уфа, Октябрьский и Орджоникидзевский район ГО г. Уфы	54,78516	56,01937	54,78516	56,01937	15.04.22	12.05.22	КС	Атм. Техн.	Не отмечалось	В г. Уфа на территории Октябрьского и Орджоникидзевского районов ГО г. Уфы отмечалась активизация карстово-суффозионного процесса в средней части оврага. По результатам весеннего обследования выявлены свежие обрушения известковых глыб по бортам, визуальное увеличение внутренней части. Увеличение параметров воронки происходит и за счет роста двух эрозионных уступов по бортам воронки Параметры проявления - длина 7,84 м, ширина - 3,60 м, глубина – 4,2 м. Проявлением обнажены гипсы, известняки нижнепермских отложений (P1k), четвертичные пролювиально-делювиальные отложения (pdQ). Фактором активизации являются атмосферные осадки, а также поверхностные (сточные) воды.		
02.2022.0009	Приволжский	Республика Башкортостан	Бакалинский район, 0,620 км С д. Пенькозавод	55,10074	53,69820	55,10074	53,69820	15.04.22	14.06.22	Эо	Атм. Гидролог.	Не отмечалось	В Бакалинском районе в 0,62 км от д. Пенькозавод по левому береговому склону старицы р.Сюнь отмечалась активизация процесса овражной эрозии. На момент обследования процесс находится в стадии развития. Отмечалось увеличение оврага при вершине на 4 м, шириной – 7,30 м, глубиной – 1,58 м. Продолжается осыпание по левому борту. Параметры проявления овражной эрозии: длина – 112,5 м, ширина – 11,10 м. Состав горных пород, затронутых проявлением - супеси, пески аллювиальных четвертичных отложений (aQ). Факторы активизации: атмосферные осадки, интенсивное снеготаяние. Основное негативное воздействие - вывод сельскохозяйственных земель из использования. В потенциальной опасности опора ЛЭП и автодорога Туймазы-Бакалы.		
02.2022.0010	Приволжский	Республика Башкортостан	Бакалинский район, 0,620 км С д. Пенькозавод	55,09828	53,69709	55,09828	53,69709	15.04.22	14.06.22	Эо	Атм. Гидролог.	Не отмечалось	В Бакалинском районе в 0,62 км от д. Пенькозавод по левому береговому склону старицы р.Сюнь отмечалась активизация процесса овражной эрозии. Овраг находится в стадии развития. Активизация процесса проявляется в виде разрушения левого борта оврага, а также увеличение двух промоин при вершине. Параметры оврага: длина – 93,59 м, ширина –16,89 м, глубина – 4,40 м. Факторы активизации: атмосферные осадки, интенсивное снеготаяние. Состав горных пород, затронутых проявлением - пески и супеси аллювиальных четвертичных отложений (aQ). Основное негативное воздействие - вывод сельскохозяйственных земель из использования.		

1	2	3	4	5	6	7	8	9	10	11	12	13	14	15	16
12.2022.0001	Приволжский	Республика Марий Эл	Волжский район, между населенным и пунктами Петьял и Бол. Сосновка	56,10328	48,67788	56,10328	48,67788	00.05.22	Не заверши-лась	Эо	Атм	Не отмечалось	В Волжском районе в пределах пункта наблюдения Сотнурско-Чодраяльский у репера № 4 (между дд Петьял и Бол. Сосновка) с мая 2022 г. отмечена активизация процесса овражной эрозии. На момент обследования 30.05.2022 г. расстояние до вершины оврага 31,1 м (в сентябре 2021 г. 31,4 м), рост оврага составил 0.3 м. Вершина оврага в виде цирка размером 4×4 м, глубиной 4.5 м, стенки отвесные. Признаки активизации – свежие осыпи грунта, свежие трещины закола) Фактор активизации – климатический (поверхностный сток и переувлажнение грунтов инфильтрационными водами). Литологический состав пород представлен четвертичными суглинками и пермскими глинами с прослойками известняка. Пострадавших и разрушения в ходе активизации овражной эрозии нет.		
12.2022.0002	Приволжский	Республика Марий Эл	Моркинский район, 0.2 км юго-западнее д. Ишли-Пичуш	56,39752	49,38592	56,39752	49,38592	00.05.22	Не заверши-лась	Эо	Атм	Не отмечалось	В Моркинском районе в пределах пункта наблюдения Варангужский у репера № 9 (0,2 км на юго-запад от д. Ишли-Пичуш) с мая 2022 г. отмечалась активизация процесса овражной эрозии. На момент обследования 30.05.2022 г. расстояние до вершины оврага 14,8 м (в сентябре 2021 г. 15,05 м), рост оврага составил 0,25 м. Признаки активизации - свежие отколовшиеся блоки грунта в вершине и по бортам оврага В зоне воздействия опора ЛЭП. Фактор активизации – климатический (поверхностный сток и переувлажнение грунтов инфильтрационными водами). Литологический состав пород представлен четвертичными суглинками. Сохраняется угроза дальнейшего обрушения борта оврага в сторону опоры ЛЭП. Пострадавших и разрушения в ходе активизации овражной эрозии нет.		
12.2022.0003	Приволжский	Республика Марий Эл	Моркинский район, 0.6 км восточнее д. Пертылга	56,36656	49,33723	56,36656	49,33723	00.05.22	Не заверши-лась	Эо	Атм	Не отмечалось	В Моркинском районе в пределах пункта наблюдения Варангужский у репера № 13 (0,6 км восточнее д. Пертылга) с мая 2022 г. отмечалась активизация процесса овражной эрозии. В потенциальной зоне воздействия находится опора ЛЭП. Длина оврага 80 м, ширина 35 м, глубина оврага в районе опоры ЛЭП 6-7 м. Признаки активизации - сползшие блоки грунта, а также свежие осыпи. На момент обследования 30.05.2022 г. борт оврага находился в 6,75 м от опоры ЛЭП (в сентябре 2021 г. – в 6,8 м). Фактор активизации – климатический (поверхностный сток и переувлажнение грунтов инфильтрационными водами). Возраст и состав пород, затронутых проявлением: суглинки (Q_{IV}), глины коричневые (P_2ur_1). Сохраняется угроза дальнейшего обрушения борта оврага в сторону опоры ЛЭП. Пострадавших и разрушения в ходе активизации эрозии овражной нет.		
12.2022.0004	Приволжский	Республика Марий Эл	Моркинский район, 0.2 км северо-восточнее д. Макаркино	56,36507	49,30594	56,36507	49,30594	00.05.22	Не заверши-лась	Эо	Атм	Не отмечалось	В Моркинском районе в пределах пункта наблюдения Макаркинский у репера № 22 (0,2 км северо-восточнее д. Макаркино) с мая 2022 г. отмечалась активизация процесса овражной эрозии. На момент обследования 30.05.2022 г. расстояние до борта оврага составляло 29,7 м (в сентябре 2022 г. 29,9 м), рост оврага составил 0,2 м. Длина оврага 100 м, ширина 1.2-8.0 м, глубина оврага в районе опоры ЛЭП 0,8 м. Признаки активизации - сползшие блоки грунта, а также свежие осыпи. В зоне воздействия опора ЛЭП и грунтовая дорога. Фактор активизации – климатический (поверхностный сток и переувлажнение грунтов инфильтрационными водами). Литологический состав пород представлен четвертичными суглинками. Сохраняется угроза дальнейшего обрушения борта оврага в сторону опоры ЛЭП. Пострадавших и разрушения в ходе активизации эрозии овражной нет.		

1	2	3	4	5	6	7	8	9	10	11	12	13	14	15	16
13.2022.0001	Приволжский	Республика Мордовия	Старошайговский район, в 720 м севернее с. Надеждинка	54,46069	44,64506	54,46069	44,64506	00.04.22.	00.05.22	Оп	Гидрогеол, атм.	Не отмечалось	В Старошайговском районе, в 720 м севернее с. Надеждинка отмечалась активизация оползневого процесса. Оползневой процесс в стадии развития. Базис развития - тальвег оврага. Длина активного участка - 12 м, ширина - 0,8 м, площадь участка - 9,6 м², мощность оползневого тела – до 7,0 м. Литологический состав пород представлен суглинками, супесями среднечетвертично-современных эллювиально-делювиальных отложений. На момент обследования 2022 г существует угроза смещения опоры ЛЭП, расстояние от опоры до стенки главного уступа - 2,95 м. По сравнению с 2021 г. оползень продвинулся на 0,95 м в сторону столба ЛЭП. Фактор активизации – гидрогеологический и атмосферный		
13.2022.0002	Приволжский	Республика Мордовия	Ардатовский район, г. Ардатов, ул. Матросова	54,85489	46,23781	54,85489	46,23781	23.04.22	00.05.22	Оп	Техн. Атм	Отмечалось	В Ардатовском районе в г. Ардатов по ул. Матросова, отмечалась активизация оползневого процесса. Оползневой процесс в стадии развития. Базис развития - тальвег оврага. Длина активного участка – 21 м ширина – 5 м, площадь участка – 105 м², мощность оползневого тела до 2,0 м. Литологический состав пород представлен суглинками песчанистыми среднечетвертичных аллювиально-делювиальных отложений. На момент обследования 2022 г существует угроза смещения опоры газопровода, расстояние от опоры до стенки главного уступа – 1,0 м. Поврежден участок грунтовой дороги. По сравнению с 2021 г. оползень на активном участке продвинулся на 5,0 м в сторону опоры газопровода. Фактор активизации – техногенный, атмосферный.		
16.2022.0001	Приволжский	Республика Татарстан	Чистопольский район, г. Чистополь, ул. Маринина, 53-51	55,360717	50,636602	55,360718	50,636605	16.05.22	Не заверши-лась	Оп	Гидрогеол.	Отмечалось	В Чистопольском районе в г. Чистополь, ул. Маринина, 53-51 зафиксирована активизация оползневого процесса. Отмечалось смещение грунта и сход оползня из-за разгрузки подземных вод в основании оползня на борту оврага, образованного правым притоком р. Берняжка. Оползневой процесс выражен в виде ступеней отрыва и их проседания. Дом 53 развалился на три части, кромка уступа оползня зашла в хозпристройку. Отмечаются новые трещины по стенам и фундаменту, на земной поверхности у домов 51 и 51а выше оползня. Размеры оползневого массива: высота уступа до 6-8 м, ширина по фронту – 60 м, длина уступа перпендикулярно фронту оползня – 18-20 м. Площадь оползня 1200 м², объем породы смещенной оползнем – 9600 м³. Основной фактор активизации – гидрогеологический (разгрузка подземных вод в основании склона, разжижение и вынос песчано-глинистых грунтов в овраг с последующим проседанием выше залегающих грунтов под своей тяжестью). Пострадавших при сходе оползня нет.		
16.2022.0002	Приволжский	Республика Татарстан	Камско-Устьинский район, пгт. Камское Устье, ул. Кооперативная, северный конец набережной	55,206913	49,277796	55,206914	49,277799	18.05.22	Не заверши-лась	Оп	Гидрогеол.	Отмечалось	В Камско-Устьинском районе, на территории пгт. Камское Устье (ул. Кооперативная, северный конец набережной) отмечалась активизация оползневого процесса. Оползень скольжения длинной – 30 м, шириной – 40 м и мощностью до 2,5 м. Площадь оползня - 1200 м², объем - 3000 м³. Основной фактор активизации – гидрогеологический (выход подземных вод в тело оползня). В результате активизации ополневого процесса просихоит перекрытие грунтом асфальтированной прогулочной дороги. Далее, к центру набережной по откосу наблюдаются еще 4 локальные оплывины грунта размером до 3×5 м, проседание верха откоса на высоту до 1,5 м вдоль ул. Кооперативная. Пострадавших при сходе оползня нет.		

1	2	3	4	5	6	7	8	9	10	11	12	13	14	15	16
16.2022.0003	Приволжский	Республика Татарстан	Камско-Устьинский район, пгт. Камское Устье, ул. Кооперативная, южный конец набережной	55,204767	49,280678	55,204768	49,280671	18.05.22	Не заверши-лась	Оп	Гидрогеол.	Отмечалось	В южной части обустроенной набережной р. Волга в пгт. Камское Устье отмечалась активизация оползневого процесса. Размеры оползня: длина – 50 м, ширина по фронту – 30 м, мощность 6-8 м. Площадь оползня - 1500 м², объем - 12000 м³. Фактор активизации – гидрогеологический (выход подземных вод в тело оползня). Оползень упирается в построенную железобетонную стенку, которая под тяжестью тела оползня выгибается в сторону водохранилища. Оползень на этом месте сошел повторно, первый раз в мае 2018 г. Кромка отрыва оползня продвинулась вверх по откосу на 3,5 м. В результате активизации ополневого процесса просихоит перекрытие прогулочной асфальтированная дороги, повреждено ограждение и шпунты в основании набережной. Пострадавших при сходе оползня нет.		
16.2022.0004	Приволжский	Республика Татарстан	Камско-Устьинский район, пгт. Камское Устье, дубовые лесопосадки, северный конец поселка	55,214382	49,266428	55,214383	49,266431	18.05.22	Не заверши-лась	Оп	Гидрогеол, гидрол.	Не отмечалось	На северной окраине пгт. Камское Устье отмечалась активизация оползневого процесса. Наиболее активно оползневой процесс развивается в средней и нижней части волжского склона. Размер оползня: ширина – 110 м, длина – 70-75 м, высота уступов от 2 до 3 м, мощность – 6-8 м. Площадь оползня - 8250 м², объем - 66000 м³. Ширина фронта оползня по флангам увеличилась на 20-30 м. Грунты представлены песчано-глинистыми неогеновыми отложениями. Факторы активизации: гидрогеологический (выход подземных вод в средней части тела оползня) и гидрологический (волноприбойная деятельность водохранилища). Пострадавших при сходе оползня нет.		
16.2022.0005	Приволжский	Республика Татарстан	Тетюшский район, г. Тетюши, 3 створ на волжском склоне	54,953614	48,845325	54,953615	48,845328	20.05.22	Не заверши-лась	Оп	Гидрогеол, атм.	Отмечалось	Зафиксирована активизация оползневого процесса в Тетюшском районе г. Тетюши на 3 створе волжского склона. Линия отрыва оползня продвинулась по склону вверх слева по фронту до 5-6 м, справа по фронту до 30-50 м. Размеры оползневой зоны составляют: длинна – 100 м, ширина до 500 м. Площадь оползневой зоны 30000 м², объем около 1500000 м³ Перепад высот от кромки отрыва оползня до уреза воды водохранилища составляет до 50-60 м. Грунты представлены песчано-глинистыми породами неогеновых отложений. Основной фактор активизации – гидрогеологический (разгрузка подземных вод на уровне двух водоносных горизонтов крутого склона берега р. Волга) и метеорологический (атмосферные осадки). Увлажнение глинистых пород в разрезе и разжижение песчано-глинистых грунтов вызвало образование и сход оползня скольжения. В основании оползня сильная заболоченность. Пострадавших при сходе оползня нет. Разрушена дорога на грузовую пристань, сама пристань переведена в другое место.		
16.2022.0006	Приволжский	Республика Татарстан	Верхнеуслонский район, д. Кызыл-Байрак, у мечети	55,511953	49,03205	55,51195	49,032052	17.05.22	Не заверши-лась	Оп	Гидрогеол. Атм., техн.	Не отмечалось	Зафиксирована активизация оползневого процесса у мечети в д. Кызыл-Байрак. Размеры оползня: длина – 10 м, ширина по фронту – 150 м, мощность 6-8 м. Площадь оползня - 1500 м², объем - 12000 м³. Основные факторы активизации: гидрологический (выход подземных вод в тело оползня, насыщением песчано-глинистых масс), гидрологический (абразионное разрушение прибрежной полосы), а также метеорлогический (атмосферные осадки). Кромка отрыва оползня продвинулась вверх по откосу на 1.5 - 2.0 м. Грунты песчано-глинистые неоген-четвертичного возраста. Дальнейшее продвижение кромки оползня несет угрозу разрушения мечети. Пострадавших при сходе оползня нет.	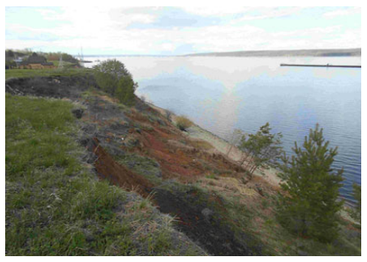	

1	2	3	4	5	6	7	8	9	10	11	12	13	14	15	16
16.2022.0007	Приволжский	Республика Татарстан	Советский район, г. Казань, п. Кульсеитово, ул. Зеркальная	55,90613	49,2079	55,90613	49,207901	14.05.22	Не заверши-лась	Оп	Гидрогеол. Гидролог.	Отмечалось	В Советском райое г. Казань в п. Кульсеитово, ул. Зеркальная отмечалась активизация оползневого процесса. Размеры оползня: длинна – 10 м, ширина по фронту до 250 м, мощность – 8 м. Площадь оползня 2500 м², объем до 20000 м³. Литологичкский состав горных пород: песчано-глинистые неоген-четвертичные отложениями. В результате активизации оползня разрушается поселковая грунтовая дорога. Основные факторы активизации: гидрогеологический (разгрузка подземных вод в основании уступа оползня) и гидрологический (береговая эрозия). Пострадавших при сходе оползня нет.		
16.2022.0008	Приволжский	Республика Татарстан	Дрожжановский район, д. Шланга, ул. Школьная-Фрунзе	54,808944	47,39249	54,80895	47,392491	22.05.22	Не заверши-лась	Оп	Гидрогеол. Гидролог.	Отмечалось	Вдоль ул. Школьная и ул. Фрунзе в д. Шланга отмечалась активизация оползневого процесса. На ул. Школьная выявлены 4 новых локальных оползня скольжения размером 10-20 м в длину, до 75 м в ширину по фронту, мощностью до 5 м. Площадь 4-х оползней до 6000 м², объем до 30000 м³. На ул. Фрунзе зафиксирована активизация оползеня проседания. Длина оползня –100 м, ширина по фронту – 50 м, площадь 5000м², мощность 5-6 м, объем 30000 м³. Основные факторы активизации – гидрогеологический (разгрузка подземных вод в основании уступа оползня) и гидрологический (подмыв нижней части тела оползня речным стоком). В результате активизации оползневого процесса разрушается сельская дорога и придомовой земельный участок дома №19. Пострадавших при сходе оползня нет.		
18.2022.0001	Приволжский	Удмуртская Республика	Каракулинский район, д. Сухарево	56,09611	54,07917	56,09611	54,07917	00.04.22	Не заверши-лась	Оп	Атм.	Не отмечалось	В Каракулинском районе д. Сухарево отмечалась активизация оползневого процесса. Обнаружено развитие новых трещин сдвига в 7,0-8,0 м от бровки стенки отрыва, на теле оползня развитие многочисленных молодых оползней течения. Мощность оползня до 10 м. Параметры проявления: длина – 35 м, ширина – 54 м, площадь - 1900 м². Мощность 4-5 м, Объем – 9000 м³. Состав горных пород: склоновые средне-верхнечетвертичные делювиально-солифлюкционные отложения перигляциальной формации, представленные коричневыми лессовидными суглинками, пористыми, слабокарбонатными, разбитыми вертикальными трещинами на столбчатые отдельности. Основной фактор активизации – метеорологический (атмосферные осадки). Базис развития: поверхность нижней древней оползневой ступени.		
18.2022.0002	Приволжский	Удмуртская Республика	Каракулинский район, с. Чеганда	55,94583	53,53750	55,94583	53,53750	00.04.22	Не заверши-лась	Оп	Атм.	Не отмечалось	В Каракулинском районе с. Чеганда отмечалась активизация оползневого процесса. Сформировано оползневое тело с блоками дернового слоя, в стенке отрыва обнажение коренных пород. Параметры проявления: длина – 10 м, ширина – 19 м, площадь - 190 м². Мощность 0,7-1 м, Объем – 200 м³. Состав горных пород: красновато-коричневые глины с прослоями алевролитов. Базис развития: урез Нижнекамского водохранилища.		
18.2022.0003	Приволжский	Удмуртская Республика	Завьяловский район, с. Гольяны	56,76813	53,74797	56,76813	53,74797	00.04.22	Не заверши-лась	Оп	Атм.	Не отмечалось	В Завьяловском районе с. Гольяны во время весеннего снеготаяния 2022 г. отмечалась активизация оползневого процесса. Параметры проявления: длина – 8,5 м, ширина – 6 м, площадь – 50 м². Мощность – 2,0 м, объем – 100 м³. Состав горных пород: склоновые средне-верхнечетвертичные делювиально-солифлюкционные отложения перигляциальной формации, представленные коричневыми лессовидными суглинками, пористыми, слабокарбонатными, разбитыми вертикальными трещинами на столбчатые отдельности. Базис развития: р. Кама.		

1	2	3	4	5	6	7	8	9	10	11	12	13	14	15	16
18.2022.0004	Приволжский	Удмуртская Республика	Увинский район, с. Нылга	56,75075	52,36152	56,75075	52,36152	00.04.22	00.05.22	Оп	Атм.	Не отмечалось	В Увинском районе с. Нылга во время весеннего снеготаяния 2022 г отмечалась активизация оползневого процесса. В супесчаном грунте на бровке берегового уступа образована оползневая трещина закола протяженностью 8,3 м. Южнее на береговом уступе на отрезке 82 м формируются оползни течения объемом 5-10 м^3, образующие единый шлейф. Состав горных пород: аллювиальные нижнеголоценовые серые супеси и суглинки видимой мощностью до 2,5 м. Параметры проявления: длина 82,0 м, ширина 2 м, площадь - 160 м². Мощность 1,5 м, Объем – 230 м³. Базис развития: урез р. Нылга.		
18.2022.0005	Приволжский	Удмуртская Республика	г. Сарапул	56,49431	53,81294	56,49431	53,81294	00.04.22	00.05.22	Эо	Техн.	Не отмечалось	В г. Сарапул мкр. Старцева Гора отмечалась активизация процесса овражной эрозии. В вершине оврага развивается осыпь, на бортах поверхностные оплывины, на правом склоне оврага, также в его вершинной части, оползень вязкопластического течения объемом около 120 м³. Параметры проявления: длина – 156,0 м, ширина – 10-13 м, мощность – 5-6 м. Состав горных пород: красновато-коричневые глины и алевролиты с прослоями серых песчаников уржумского яруса и верхнеказанского подъяруса. Вершина оврага находится в 25,4 м от ограды водоочистных сооружений. Базис развития опасного ЭГП: урез р.Кама.		
21.2022.0001	Приволжский	Чувашская Республика	г. Чебоксары северо-западная часть, ул. Семена Ислюкова	56,15338	47,17005	56,15338	47,17005	00.04. 22	Не заверши-лась	Оп	Гидрогеол техн	Отмечалось	Зафиксирована активизация оползневого процесса в северо-западной части г. Чебоксары на бровке склона Чебоксарского водохранилища. На момент обследования отмечалось разрушение забора и территории участка многоквартирного 3-х этажного жилого дома. Площадь оползня – 1080 м². Породы четвертичных и вятских отложений представлены песками, суглинками, глинами и песчаниками с прослоями известняков. Факторы активизации – гидрогеологический и техногенный.		
21.2022.0002	Приволжский	Чувашская Республика	С. Порецкое верхняя часть склона р. Сура, ул. Комсомольская	55,19254	46,33941	55,19254	46,33941	00.04. 22	Не заверши-лась	Оп	Атм.	Отмечалось	Отмечалась активизация оползневого процесса на восточной окраине с. Порецкое. Оползень объемом 11700 м² вплотную подступает к жилым домам №№ 93, 95, 97, 100, 102 по ул. Комсомольская, на момент обследования отмечалось разрушение приусадебных участков и деформация легких строений. Факторы активизации – атмосферные осадки. Породы представлены меловыми и юрскими отложениями состоящих из глин темно-серых с прослоями алевритов и мергелей. Базис развития: урез р. Сура.		

1	2	3	4	5	6	7	8	9	10	11	12	13	14	15	16
59.2021.0001	Приволжский	Пермский край	г. Березники, территория над затопленным рудником БКПРУ-1, пересечение улиц Березниковской, Тельмана и М.Горького	59,40009	56,77383	59,40009	56,77382	00.04.22	Не заверши-лась	От	Техн.	Отмечалось	В г. Березники, на территории над затопленными горными выработками рудника БКПРУ-1, активизация процесса оседания и обрушения земной поверхности над горными выработками отмечалась на пересечении улиц Березниковской, Тельмана и М. Горького (пункт наблюдения «Промплощадка БСШУ»). На юго-востоке от провала №3 (автодорожное кольцо и гаражный кооператив «Кардан»), процесс оседания земной поверхности продолжает развиваться с небольшим уменьшением скорости. В II квартале 2022 г. скорость оседания составила 38-90 мм/мес (в 1-м квартале 2022 г. было 9-101 мм/мес). Максимальные оседания земной поверхности (по данным последних измерений 3.02.2022 г.) в районе ГК «Кардан» достигли 12,6 м. Фактор активизации – техногенный (нарушение водозащитной толщи рудника при ведении горных работ). Возраст и состав горных пород, затронутых проявлением – пески, глины четвертичных отложений (aQ); глины, песчаники, алевролиты шешминского горизонта (P_1ss); известняки, доломиты, мергели, аргиллиты терригенно-карбонатной толщи (P_1sl_2); мергели, глины, гипсы, каменная соль соляно-мергельной толщи (P_1sl_1). Абсолютная отметка базиса развития процесса (-161,7 м) – отметка подошвы нижнего промышленного пласта «Красный-2».		
59.2021.0002	Приволжский	Пермский край	г. Соликамск, территория над рудником СКРУ-2, СНТ "Ключики"	59,59379	56,81041	59,59379	56,81040	00.04.22	Не заверши-лась	От	Техн,. Сейсм.	Отмечалось	В г. Соликамск, территория над рудником СКРУ-2, СНТ "Ключики" отмечалась активизация процесса оседания и обрушения земной поверхности над горными выработками. По результатам аэрофотосъёмки, выполненной 27.05.2022 г., размеры провала составили 219,3×174,2 м, глубина – 0,1 м. Абсолютная отметка зеркала провала – 198,6 м. Факторы активизации: техногенный (нарушение водозащитной толщи рудника при ведении горных работ), сейсмическая активность (за II квартал 2022 г. в окрестностях провала зафиксировано 27 сейсмособытий с энергией 9-454 Дж в коренных и рыхлых породах). Возраст и состав горных пород, затронутых проявлением: пески, глины четвертичных отложений (aQ); глины, алевролиты, аргиллиты, песчаники шешминского горизонта (P_1ss); глины, известняки, мергели терригенно-карбонатной толщи (P_1sl_2), мергели, глины, гипсы, каменная соль соляно-мергельной толщи (P_1sl_1). Абсолютная отметка базиса развития процесса (-152,4 м) - отметка подошвы нижнего промышленного пласта «Красный-2».		
52.2022.0001	Приволжский	Нижегородская область	г. Нижний Новгород, Нижегородский район, набережная Федоровского, напротив д.6	56,32654	43,98762	56,32654	43,98762	13.05.22	13.05.22	Оп	Техн., атм.	Отмечалось	В Нижегородском районе г. Нижний Новгород на набережной Федоровского, напротив д. 6 отмечалась активизация оползневого процесса. Оползень образовался на левом борту Почтового съезда после ливневого дождя, смещение грунта наблюдалось по всему борту до основания. Размеры оползня: длина – 50 м, ширина – до 4 м, мощность смещённых пород – до 1,5 м. Возраст и состав горных пород: суглинки верхне-среднечетвертичного возраста pr(QII-III). Основные факторы активизации: метеорологический (обильные атмосферные осадки) и техногенный (нарушение функционирования водоотводящих коммуникаций). В результате активизации оползневого процесса отмечалась деформация участка спланированного склона.		

1	2	3	4	5	6	7	8	9	10	11	12	13	14	15	16
52.2022.0002	Приволжский	Нижегородская область	г. Нижний Новгород, Нижегородский район, на участке д.68 по ул. Новая деревня	56,30811	44,08796	56,30811	44,08796	14.05.22	17.05.22	Оп	Техн., атм.	От мечалось	Активизация оползневого процесса отмечалась в Нижегородском районе г. Нижний Новгород на участке д. 68 по ул. Новая деревня. Размеры оползневого массива: ширина – 45 м, длина – 150 м, максимальная мощность смещенных пород – 8 м. Возраст и состав горных пород: суглинки верхне-среднечетвертичного возраста pr(QII-III). Основные факторы активизации: природные факторы – метеорологический (обильные атмосферные осадки) и техногенный (пригрузка прибровочной части привозным грунтом, отсутствие водоотводящих коммуникаций). Воздействию оползневого процесса подверглись земельные участки частных домовладений.		
56.2022.0001	Приволжский	Оренбургская область	В 1,5 км западнее с.Буланово Октябрьского района	52.44616	55.13966	52.446161	55.13966	25.04.22	Не заверши-лась	Эо	Атм.,	Не отмечалось	В 1,5 км западнее с. Буланово Октябрьского района отмечалась активизация процесса овражной эрозии. В результате инструментальных замеров ширина оврага у верховья составила – 0,2 м, в самой широкой части – 4,5 м. Борта крутые, обрывистые. Состав горных пород, затронутых проявлением – суглинок буро-коричневый. Овраг находится в стадии развития. Протяженность оврага – 0,95 км. За 2022 г. рост вершины оврага составил 0,2 м. Укрепительные мероприятия не производились. Активизация происходит преимущественно в весенний период. Основные факторы активизации: интенсивное таяние снега в период половодья и атмосферные осадки. Развитие эрозионного процесса приводит к сокращению земель сельскохозяйственного назначения.		
56.2022.0002	Приволжский	Оренбургская область	В 1,5 км севернее р.ц.Тюльган Тюльганского района	52.36188	56.12666	52.361881	56.126662	25.04.22	Не заверши-лась	Эо	Атм.,	Не отмечалось	На правобережье реки Тюльган, в 1,5 км севернее р.ц. Тюльган отмечалась активизация процесса овражной эрозии. Протяженность наблюдаемого оврага составляет около 0,92 км. Ширина у вершины – 0,7 м, по протяженности всего оврага варьирует в пределах 0,7-7,7 м, в среднем – 2,0 м. Глубина оврага изменяется от 1,0 до 3,0 м, в среднем составляет 1,2 м. За 2022 г. рост вершины оврага составил 0,65 м. Состав горных пород, затронутых проявлением – суглинок буро-коричневый с прослоями глины коричневой. На момент обследования укрепительных мероприятий не производилось. Процесс овражной эрозии находится в стадии развития. Активизация происходит, преимущественно, в паводковый период. Основные факторы активизации – атмосферные осадки, интенсивное таяние снега в весенний период. Развитие эрозионного процесса приводит к сокращению земель сельскохозяйственного назначения.		
56.2022.0003	Приволжский	Оренбургская область	В 1,5 км юго-восточнее с.Спасское Саракташского района	52.00919	56.51169	52.009191	56.511692	25.04.22	Не заверши-лась	Эо	Атм.,	Не отмечалось	На левом склоне долины реки Дубовка, в 2,0 км западнее церкви в с. Спасское отмечалась активизация процесса овражной эрозии. Протяженность наблюдаемого оврага составляет 0,185 км. Ширина варьирует в пределах от 0,5 до 7,8 м. В 2022 г. рост вершины оврага составил 0,3 м. Состав горных пород, затронутых проявлением – суглинок буро-коричневый с прослоями глины красновато-коричневой. Процесс овражной эрозии находится в стадии развития. На момент обследования укрепительных мероприятий не производилось. Активизация происходит, преимущественно, в паводковый период. Основные факторы активизации – атмосферные осадки, интенсивное таяние снега в весенний период. Развитие эрозионного процесса приводит к сокращению земель сельскохозяйственного назначения.		

1	2	3	4	5	6	7	8	9	10	11	12	13	14	15	16
56.2022.0004	Приволжский	Оренбургская область	В 1,5 км западнее с.Черный Отрог Саракташского района	51.88401	55.96120	51.884013	55.961202	25.04.22	Не завершилась	Эо	Атм., таяние снежного покрова	Не отмечалось	В 1,5 км западнее с. Черный Отрог отмечалась активизация процесса овражной эрозии. На момент обследования ширина оврага изменяется от 5,0 до 30,0 м, глубина – от 1,5 до 8,0 м. Западный борт крутой, обрывистый, восточный – более пологий, задернован. Протяженность оврага 2,5 км. В составе пород преобладает суглинок и глина. Активизация происходит, преимущественно, в весенний период. Основные факторы активизации – интенсивное таяние снега в период половодья и атмосферные осадки. Овраг расположен в непосредственной близости от предприятия ООО «Оренбив», пересекает автодорогу Оренбург-Саракташ и железнодорожыне пути, несет потенциальную угрозу. В качестве противоэрозионной защиты, на территории между оврагом и предприятием ООО «Оренбив» высажены деревья, сооружен водоотводной канал. Автодорога и железнодорожный путь имеют водопропускные каналы.		
58.2022.0001	Приволжский	Пензенская область	ЮВ окраина г. Сердобска, уч. "Сердобск"	52.448639	44.202972	52.448641	44.202973	00.03.22	Не завершилась	Эо	Атм.	Отмечалось	В г. Сердобск, на левом берегу ручья Нечайка, на участке автомобильной дороги из г. Сердобска в с. Пригородное отмечалась активизация процесса овражной эрозии в весенний паводковый период. Процесс находится в стадии развития. Базис процесса овражной эрозии – р. Нечайка. Длина проявления – 6 м, ширина – 1,5 м, площадь – 9 м², глубина размыва – 0,4 м. Проявлением затронуты верхнечетвертичные отложения. Основной фактор активизации – атмосферные осадки.		
58.2022.0002	Приволжский	Пензенская область	ЮВ окраина г. Сердобска, уч. "М. Набережная-Овраг Южный"	52.455308	44.235364	52.455310	44.235365	00.03.22	Не завершилась	Оп	Атм.	Не отмечалось	На юго-восточной окраине г. Сердобск отмечалась активизация оползневого процесса. На момент обследования отмечались обрушения бровки и сползания блоков грунта по склону. Процесс находится в стадии развития. Базисом является тальвег оврага. Длина проявления – 7 м, ширина – 16 м, площадь – 112 м², мощность – 0,5 м. Проявлением затронуты современные верхнечетвертичные аллювиальные отложения, представленные суглинками и супесями. В основном, активизация происходит в период весеннего снеготаяния и в период ливневых дождей. Основной фактор активизации – атмосферные осадки. Объектов, подвергшихся воздействию – не отмечено.		
58.2022.0003	Приволжский	Пензенская область	ЮВ окраина г. Сердобска, уч. "М. Набережная-Овраг Южный"	52.455237	44.233957	52.455239	44.233958	00.03.22	Не завершилась	Оп	Атм.	Не отмечалось	На юго-восточной окраине г. Сердобск отмечалась активизация оползневого процесса. На момент обследования отмечались обрушения бровки, сползание блоков грунта по склону, трещины на бровке. Процесс находится в стадии развития. Базисом является тальвег оврага. Длина проявления – 4,5 м, ширина – 9 м, площадь – 40,5 м², мощность – 0,5 м. Проявлением затронуты современные верхнечетвертичные аллювиальные отложения, представленные суглинками и супесями. В основном активизация происходит в период весеннего снеготаяния и в период ливневых дождей. Основной фактор активизации – атмосферные осадки. Объектов, подвергшихся воздействию – не отмечено.		
58.2022.0004	Приволжский	Пензенская область	ЮВ окраина г. Сердобска, уч. "М. Набережная-Овраг Южный"	52.455242	44.233336	52.455244	44.233337	00.03.22	Не завершилась	Оп	Атм.	Не отмечалось	На юго-восточной окраине г. Сердобск отмечалась активизация оползневого процесса. На момент обследования отмечались обрушения бровки, сползание разжиженного грунта по склону до тальвега оврага. Оползень образовался в период весеннего снеготаяния. Процесс находится в стадии развития. Длина проявления – 15 м, ширина – 6 м, площадь – 90 м², мощность – 1,0 м. Проявлением затронуты современные верхнечетвертичные аллювиальные отложения, представленные суглинками и супесями. Основной фактор активизации – атмосферные осадки. Объектов, подвергшихся воздействию – не отмечено.		

1	2	3	4	5	6	7	8	9	10	11	12	13	14	15	16
58.2022.0005	Приволжский	Пензенская область	ЮВ окраина г. Сердобска, уч. "М. Набережная-Овраг Южный"	52.454972	44.233042	52.454974	44.233043	00.03.22	Не заверши-лась	Оп	Атм.	Не отмечалось	На юго-восточной окраине г. Сердобск отмечалась активизация оползневого процесса. На момент обследования отмечались обрушения бровки, смещение обвалившейся массы по склону до тальвега оврага. Процесс находится в стадии развития. Длина проявления – 15 м, ширина – 14 м, площадь – 210 м², мощность – 0,5 м. Проявлением затронуты современные верхнечетвертичные аллювиальные отложения, представленные суглинками и супесями. Основной фактор активизации – атмосферные осадки. Объектов, подвергшихся воздействию – не отмечено..		
58.2022.0006	Приволжский	Пензенская область	ЮВ окраина г. Сердобска, уч. "М. Набережная-Овраг Южный"	52.454928	44.232964	52.454930	44.232965	00.03.22	Не заверши-лась	Оп	Атм.	Не отмечалось	На юго-восточной окраине г. Сердобск отмечалась активизация оползневого процесса. На момент обследования отмечались обрушения бровки, сползание разжиженного грунта по склону до тальвега оврага. Оползень образовался в период весеннего снеготаяния. Процесс находится в стадии развития. Длина проявления – 5 м, ширина – 9 м, площадь – 27 м², мощность – 0,4 м. Проявлением затронуты современные верхнечетвертичные аллювиальные отложения, представленные суглинками и супесями. Основной фактор активизации – атмосферные осадки. Объектов, подвергшихся воздействию – не отмечено.		
58.2022.0007	Приволжский	Пензенская область	ЮВ окраина г. Сердобска, уч. "М. Набережная-Овраг Южный"	52.454380	44.231114	52.454382	44.231115	00.03.22	Не заверши-лась	Оп	Атм.	Не отмечалось	На юго-восточной окраине г. Сердобск отмечалась активизация оползневого процесса. На момент обследования отмечались обрушения бровки, сползания блоков грунта и разжиженной массы по склону. На бровке формируется новый блок отрыва, трещина раскрытия 0,3 м. Процесс находится в стадии развития. Базисом является тальвег оврага. Длина проявления – 8 м, ширина – 6 м, площадь – 48 м², мощность – 0,5 м. Проявлением затронуты современные верхнечетвертичные аллювиальные отложения, представленные суглинками и супесями. В основном, активизация происходит в период весеннего снеготаяния и в период ливневых дождей. Основной фактор активизации – атмосферные осадки. Объектов, подвергшихся воздействию – не отмечено.		
58.2022.0008	Приволжский	Пензенская область	ЮВ окраина г. Сердобска, уч. "М. Набережная-Овраг Южный"	52.453611	44.224506	52.453613	44.224507	00.03.22	Не заверши-лась	Оп	Атм.	Не отмечалось	На юго-восточной окраине г. Сердобск отмечалась активизация оползневого процесса. На момент обследования отмечались смещения блоков и разжиженной массы вниз по склону. Процесс находится в стадии развития. Длина проявления – 5 м, ширина – 3 м, площадь – 15 м², мощность – 0,5 м. Проявлением затронуты современные верхнечетвертичные аллювиальные отложения, представленные суглинками и супесями. В основном активизация происходит в период весеннего снеготаяния и в период ливневых дождей. Основной фактор активизации – атмосферные осадки. Объектов, подвергшихся воздействию – не отмечено.		
58.2022.0009	Приволжский	Пензенская область	ЮВ окраина г. Сердобска, уч. "М. Набережная-Овраг Южный"	52.453611	44.224506	52.453613	44.224507	00.03.22	Не заверши-лась	Оп	Атм.	Не отмечалось	В г. Сердобск, в верхней части склона долины р. Сердобы, в районе ул. Малой Набережной отмечалась активизация оползневого процесса. Параметры оползня: ширина – 7 м, длина – 12 м, площадь – 84 м², мощность – 0,5 м. Оползень развивается в аллювиальных отложениях верхнего отдела мела сеноманского яруса. Аллювиальные отложения представленны суглинками и песками. В основном, активизация происходит в период весеннего снеготаяния и в период ливневых дождей. Основной фактор активизации – атмосферные осадки. Объектов, подвергшихся воздействию – не отмечено.		

1	2	3	4	5	6	7	8	9	10	11	12	13	14	15	16
58.2022.0010	Приволжский	Пензенская область	ЮВ окраина г. Сердобска, уч. "М. Набережная-Овраг Южный"	52.453317	44.221072	52.453319	44.221073	00.03.22	Не заверши-лась	Оп	Атм.	Не отмечалось	В г. Сердобск, в верхней части правого склона долины р. Сердобы, в районе ул. Набережная, около садового участка дома №101, отмечалась активизация оползневого процесса. На момент обследования отмечались смещения рыхлых глинистых пород. На бровке оползня отмечается трещина отседания, раскрытием до 0,1 м. Базисом служит подножье второго уступа склона. Процесс находится в стадии развития. Морфометрические показатели: длина – 4 м, ширина – 2,5 м, площадь – 10 м², мощность – 0,2 м. Проявлением затронуты современные верхнечетвертичные аллювиальные отложения, представленные суглинками и супесями, верхнего отдела мела сеноманского яруса. Основной фактор активизации – атмосферные осадки. Объектов, подвергшихся воздействию – не отмечено.		
58.2022.0011	Приволжский	Пензенская область	ЮВ окраина г. Сердобска, уч. "М. Набережная-Овраг Южный"	52.453175	44.220872	52.453177	44.220873	00.03.22	Не заверши-лась	Оп	Атм.	Не отмечалось	В г. Сердобск, в верхней части правого склона долины р. Сердобы, в районе ул. Набережная, за домом №101, отмечалась активизация оползневого процесса. На момент обследования отмечались смещения рыхлых глинистых пород. Процесс находится в стадии развития. Длина проявления – 5 м, ширина – 8 м, площадь – 40 м², мощность – 0,2 м. Проявлением затронуты современные верхнечетвертичные аллювиальные отложения, представленные суглинками и супесями, верхнего отдела мела сеноманского яруса. Основной фактор активизации – атмосферные осадки. Объектов, подвергшихся воздействию – не отмечено.		
58.2022.0012	Приволжский	Пензенская область	Нижнеломовский район, ЮЗ окраина с. В. Ломов, уч. "В. Ломов"	53.461942	43.541453	53.461944	43.541454	00.03.22	Не заверши-лась	Оп	Атм.	Не отмечалось	В с. В. Ломов, на левом крутом склоне долины р. Ломовка в районе ул. Калинина, отмечалась активизация оползневого процесса. Процесс находится в стадии затухания. Морфометрические показатели: ширина – 6 м, длина – 3 м, мощность – 0,5 м, площадь – 18 м². В геологическом строении принимают участия аллювиальные отложения второй надпойменной террасы, представленные песками, суглинками, алевритами. Основной фактор активизации – атмосферные осадки. Объектов, подвергшихся воздействию – не отмечено.		
58.2022.0013	Приволжский	Пензенская область	Нижнеломовский район, ЮЗ окраина с. В. Ломов, уч. "В. Ломов "	53.462133	43.541193	53.462135	43.541194	00.03.22	Не заверши-лась	Оп	Атм.	Не отмечалось	В с. В. Ломов, на левом крутом склоне долины р. Ломовка в районе ул. Калинина, отмечалась активизация оползневого процесса. На момент обследования отмечались трещины отседания на склоне. Процесс находится в стадии затухания. Морфометрические показатели: длинна – 6 м, ширина – 4 м, ширина раскрытия – 0,3 м. В геологическом строении принимают участия аллювиальные отложения второй надпойменной террасы, представленные песками, суглинками, алевритами. Основной фактор активизации – атмосферные осадки. Объектов, подвергшихся воздействию – не отмечено.		
63.2022.0001	Приволжский	Самарская область	Сызранский район, г. Сызрань пункт наблюдения «ул. Декабристов»	53.17071	48.51251	53.17071	48.51251	00.00.2007	Не заверши-лась	Оп	Атм., техн.	Отмечалось	В г. Сызрани на ул. Декабристов отмечалась активизация оползневого процесса. Оползень расположен на уступе III-ей надпойменной террасы р. Волга. Длина оползня по оси скольжения – 50 м, ширина по склону – 130 м, площадь – 3500 м², мощность от 1,0 до 1,5 м, объём – 3500 м³. Возраст и литологический состав горных пород: среднечетвертичные суглинки мощностью от 5,0 до 9,0 м, в нижней части пески с включением гальки мощностью до 1,5 м, подстилаемые юрскими глинами мощностью более 30,0 м. При визуальном осмотре домов и надворных построек, отмечалось ухудшение их состояния. Наибольшим деформациям подверглись дома №№144, 150 и 154. В доме №154 отмечено образование новых секущих трещин, разрушена крыша, здание накренилось. Отмечалось образование трещин сброса одна выше дома №154, другая восточнее дома №164. Отмечена деформация 2-х опор ЛЭП (0,1 км.). Факторами активизации процесса являются: атмосферные осадки, а также техногенный фактор (утечки из водонесущих коммуникаций, динамические нагрузки от автотранспорта).		

1	2	3	4	5	6	7	8	9	10	11	12	13	14	15	16
63.2022.0002	Приволжский	Самарская область	Сызранский район, г. Сызрань пункт наблюдения «п. Новокашпирский»	53.02090	48.45200	53.02090	48.45200	00.04.22	Не заверши-лась	Оп	Атм. Гидрол.	Отмечалось	В Сызранском районе, г. Сызрань на правом, высоком берегу Саратовского водохранилища отмечалась активизация оползневого процесса. Возраст и литологический состав: отложения волжского яруса юры и слабые, песчано-глинистые отложения нижнего мела, перекрытые четвертичными отложениями современного возраста. Длина оползня по оси смещения – 130 м, ширина – 75 м, площадь – 18000 м², объём – 27000 м³. Базисом оползня служит урез Саратовского водохранилища. В результате оползневых смещений разрушена грунтовая автодорога – 0,1 км и ЛЭП – 0,05 км. Факторы активизации: метеорологические (атмосферные осадки) и гидрологические (абразионная деятельность Саратовского водохранилища)		
63.2021.0003	Приволжский	Самарская область	Волжский район, г. Самара, пункт наблюдения «Самарский Склон»	53.17244	50.17388	53.17244	50.17388	00.04.22	Не заверши-лась	КС	Атм., гидрогеол. Техн.	Отмечалось	На южной окраине г. Самара, на правобережном склоне р. Самара отмечалась активизация карстово-суффозионного процесса. В геоморфологическом отношении участок расположен на коренном склоне долины р. Самары. Особенности геологического строения участка заключаются в практически полном выклинивании аллювиальных отложений и выходе на поверхность (или близком залегании) карбонатно-сульфатных пород казанского яруса верхней перми, что обуславливает возникновение и развитие карстово-суффозионных процессов. Кровля карстующихся сульфатно-карбонатных пород залегает от 1,0 до 9,0 м. В весенний период 2022 г отмечалась активизация провала рядом с восточным фасадом 1-го подъезда дома №9 по ул. Структурная. Провал овальной формы. Морфометрические показатели: длина – 7,5 м, ширина – 4,5 м, мощность – 4,0 м. Здание покрыто сетью сквозных трещин, отмечена деформация оконных и дверных проёмов. Основные факторы активизации: метеорологический (атмосферные осадки), гидрогеологический и техногенный.		
64.2022.0001	Приволжский	Саратовская область	г. Саратов, Волжский район, 9-й Тополиный проезд	51,56824	46,10836	51,56824	46,10836	00.04.22	21.04.22	Оп	Атм., техн.	Отмечалось	В г. Саратов на территории Волжского района, 9-й Тополиный проезд отмечалась активизация оползневого процесса. Базис развития процесса – ниже уреза Волгоградского водохранилища. Литологический состав пород представлен глинами, алевритистыми глинами, песчаниками. На момент обследования отмечалось отступание вертикальной стенки срыва. Высота стенки срыва – 15 м, ширина оползня – 100 м, длина – 5 м. Произошло полное разрушения двух построек легкого типа. Факторы активизации: атмосферные осадки; интенсивное снеготаяние; разгрузка грунтовых вод.		
64.2022.0002	Приволжский	Саратовская область	г. Саратов, СНТ Журавушка, СНТ Дубки	51,59583	46,14463	51,59583	46,14463	24.04.22	25.04.22	Оп	Атм.,	Отмечалось	В г. Саратов на территории СНТ Журавушка и СНТ Дубки отмечалась активизация оползневого процесса. Активизация произошла в весенний процессоопасный сезон. Литологический состав пород: супеси, пески, глины. На момент обследования отмечались просадкаи полотна дороги по старой стенке срыва. Морфометрические показатели: ширина – 189 м, длина – 20 м, вертикальное смещение - 0,2-0,3 м. Факторы активизации: атмосферные осадки; интенсивное снеготаяние.		
64.2022.0003	Приволжский	Саратовская область	г. Вольск между ул. Красноармейская и Комсомольская	52,03122	47,38064	42,73006	38,07948	00.04.22	25.04.22	Оп	Атм., гидрогеол	Отмечалось	Во II квартале 2022 г. отмечалась активизация оползневого процесса на ул. Красноармейская в г. Вольске. Базис развития оползневого процесса – урез Волгоградского водохранилища. Литологический состав пород представлен суглинками, песками, суглинками серого цвета, мелом, мергелем, черными и зеленовато-серыми плотными глинами. Морфометрические показатели: длина до 30 м, ширина – 238 м, с образованием сомкнутых трещин с вертикальным смещением по плоскости до 0,5 м. В результате активизации отмечалось частичное разрушение дороги на улице Красноармейской. Факторы активизации: атмосферные осадки; интенсивное снеготаяние; разгрузка грунтовых вод.		

1	2	3	4	5	6	7	8	9	10	11	12	13	14	15	16
73.2022.0001	Приволжский	Ульяновская область	г. Ульяновск, с. Арское, ул. Мира	54,30476	48,10539	54,30476	48,10539	20.04.22	Не заверши-лась	Оп	Гидрогеол	Отмечалось	В с. Арское г. Ульяновска на склоне долины р. Сельдь 20 апреля 2022 г отмечалась активизация оползневого процесса. Морфометрические показатели: длина – 150 м, ширина – 700 м, площадь оползневого участка составляет примерно 84000 м^2, мощность смещенных пород до 3-10 м. Литологический состав пород, затронутых проявлением – суглинки, пески, супеси (*dI III-IV)*. Оползень находится в стадии развития. Основные факторы активизации: гидрогеологический (перенасыщение грунтов подземными водами, застои и выходы которых отмечаются на всей протяженности подножья склона) и атмосферные осадки. В результате активизации процесса отмечалось разрушение полотна асфальтированной. Введен режим повышенной готовности. Статус ЧС не введен. Жертв и пострадавших нет.		
45.2022.3	Уральский	Курганская область	Шадрин-ский район, с. Верхняя Полевая, СНТ Туманово	56,06246	63,60246	56,06246	63,60246	00.04.22	Не завершилась	Эо	Техн., атм.	Отмечалось	В Шадринском районе, с. Верхняя Полевая на территории СНТ Туманово отмечалась активизация процесса овражной эрозии. Овраг расположен на правом берегу р. Исеть. Длина оврага 630 м, ширина 40-70 м, глубина до 12 м, борта крутые, незадернованные. Отвершек № 1: длина 300 м, ширина 20-50 м. Отвершек № 2: длина 250 м, ширина 10-30 м. По результатам обследований выявлено развитие эрозионной бровки; свежие срывы и оползания грунта вдоль бортов склона, изменение расстояния от бровки до грунтовых марок; изменение линейных размеров проявлений. Комплекс горных пород: четвертичные аллювиальные отложения (aQ_{IV}): галечники, пески, супеси, суглинки, глины. Базис развития: р. Исеть. Факторы активизации ЭГП: атмосферные осадки, интенсивное снеготаяние. Развитие процесса овражной эрозии привело к сокращению земель сельскохозяйственного назначения площадью 100 м². Ширина оврага увеличилась на 1,3 м. Расстояние от грунтовой марки № 10 до бровки оврага уменьшилось на 0,87 м. В 2022 г. утеряна грунтовая марка № 9 из-за роста бровки оврага. Расстояние от марки до бровки составляло 1,10 м. Расстояние от грунтовой марки № 8 до бровки уменьшилось на 0,2 м. Т.н. К48-5. Расстояние от грунтовой марки № 7 до бровки уменьшилось на 0,32 м. В среднем расстояние от марок до бровки изменилось на 0,62 м.		
66.2022.12	Уральский	Свердловская область	Дер. Монастырка, ГО Каменск-Уральский	56,37402	62,01398	56,37402	62,01398	00.04.22	Не заверши-лась	Оп	Атм.	Не отмечалось	Оползень расположен на южном берегу Волковского водохранилища рядом с дер. Монастырка на расстоянии 50 м от автодорги. Начало развития процесса оползнеобразования зафиксировано в 1993 г. и продолжается в настоящее время. Стадия развития: затухание. Базис развития: Волковское водохранилище. Состав горных пород: суглинки с дресвой и щебнем (N-Q). Факторы активизации: атмосферные осадки. Тело оползня разбито на многочисленные блоки, разделенные уступами и валами выпирания. В 2020 г. для наблюдения за динамикой движения установлены 11 реперов. В 2022 г. отмечалось увеличение и разрушение вала выпирания между реперами № 6 и 2, визуально зафиксирована активизация оползания рядом с репером № 9, наблюдаются новые разрывы на оползневом теле. В результате пожара часть лесного массива сгорела, ослаблена удерживающая сила корневой системы. Между промоиной и южной стенкой срыва активизировалось оползание борта, смещение бровки на 0,2 м и заложение новой трещины. Расстояние от стенки срыва до автодороги не изменилось, угрозы автодороге не отмечается.		

1	2	3	4	5	6	7	8	9	10	11	12	13	14	15	16
66.2022.13	Уральский	Свердлов-ская область	Красноу-фимский район, с. Новое Село	56.87052	57.53030	56.87052	57.53030	00.04.22	Не завершилась	КС	Атм.	Отмечалось	В с. Новое Село Красноуфимского района зафиксирована активизация карстово-суффозионного процесса. Отмечались свежие срывы на бортах воронок, изменение линейных размеров, наличие открытых поноров. Воронка с двумя понорами. Наблюдается рост размеров, глубины воронки и поноров с 2021 г. Размеры воронки (м): 26,4×29,2 (в 2021 г. – 25,2×29,2), глубина 7,3 (в 2021 г. – 7,0). Площадь 605 м^2 (за год увеличилась на 27,5 м^2), объем 1472,5 м^3. Понор 1: размер в плане 5,3×6,3 м (в 2021 г. – 5,0 м по длинной оси). Понор 2: диаметр 3,0 м (2021 г. – 2,0 м), глубина увеличилась на 0,3 м. Активность процесса в 2022 г. высокая. Стадия развития: развитие. Базис развития: р. Иргина. Факторы активизации: атмосферные осадки, интенсивное снеготаяние. Горные породы: четвертичные суглинки, глины, мергель, доломит, известняк (Q_{IV}, P_1ir).	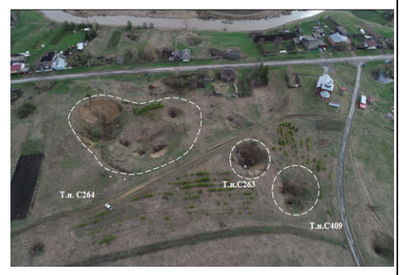	
66.2022.14	Уральский	Свердлов-ская область	Красноу-фимский район, с. Новое Село	56.87234	57.53098	56.87234	57.53098	00.04.22	Не завершилась	КС	Атм.	Отмечалось	В с. Новое Село Красноуфимского района зафиксирована активизация карстово-суффозионного процесса. Отмечались свежие срывы на бортах воронок, изменение линейных размеров. Две слившиеся воронки, южная - глубокая в форме конуса – на дне снег и вода, северная - плоская, в форме блюдца, размеры (м): длина – 34,0 м (в 2021 г. – 33,6 м), ширина – 20,0 м. Площадь 533,8 м^2 (за год увеличилась на 138,2 м^2). Размеры в плане южной воронки 15×12,9 м (в 2021 г. диаметр – 11,2 м), глубина – 3,0 м до снега. Борта крутые, воронка на дне затоплена. Северная воронка диаметром – 20,4 м (в 2021 г. – 20,0 м), глубиной 2,2 м, задернована. Отмечается увеличение размеров воронки. Активность процесса высокая. Стадия развития: развитие. Базис развития: р. Иргина. Факторы активизации: атмосферные осадки, интенсивное снеготаяние. Горные породы: четвертичные суглинки, глины, мергель, доломит, известняк (Q_{IV}, P_1ir).		
66.2022.15	Уральский	Свердлов-ская область	Красноу-фимский район. С. Новое Село	56.87017	57.53011	56.87017	57.53011	00.04.22	Не завершилась	КС	Атм.	Отмечалось	В с. Новое Село Красноуфимского района зафиксирована активизация карстово-суффозионного процесса. Отмечались свежие срывы на бортах воронок, изменение линейных размеров. Воронка с отчетливой бровкой, борта крутые незадернованные, осыпаются. Плановые размеры 29,0×30,2 м (в 2021 г. диаметр – 29,4 м), глубина – 12,3 м. Площадь – 687,5 м^2 (за год увеличилась на 9,5 м^2), объем – 2818,75 м^3. На западном борту обнажаются мергели. Южный борт завален мусором. Активность процесса высокая. Стадия развития: развитие. Базис развития: р. Иргина. Факторы активизации: атмосферные осадки, интенсивное снеготаяние. Горные породы: четвертичные суглинки, глины, мергель, доломит, известняк (Q_{IV}, P_1ir).		

1	2	3	4	5	6	7	8	9	10	11	12	13	14	15	16
66.2022.16	Уральский	Свердлов-ская область	Красноу-фимский район. С. Новое Село	56.86892	57.53040	56.86892	57.53040	00.04.22	Не завершилась	КС	Атм.	Отмечалось	В с. Новое Село Красноуфимского района зафиксирована активизация карстово-суффозионного процесса. Отмечались свежие срывы на бортах воронок, изменение линейных размеров. Карстовая котловина, неправильной овальной формы. Размеры (м): 115×55 (2021 г. – 114×54), макс. глубина – 15 м, в 2022 г. увеличение длины и ширины на 1 м. Площадь – 4965 м^2 (за год увеличилась на 132,5 м^2), объем 24825,6 м^3. На северном борту 2 области срыва. Размеры первой 20×16,3 м (в 2021 г. – 15,7×14,5 м), длина второй увеличилась с 8,2 до 15 м. Активность процесса высокая. Стадия развития: развитие. Базис развития: р. Иргина. Факторы активизации: атмосферные осадки, интенсивное снеготаяние. Горные породы: четвертичные суглинки, глины, мергель, доломит, известняк (Q_{IV}, P_1ir).		
74.2022.1	Уральский	Челябин-ская область	г. Аша, автодорога на ГЛК Аджигардак	54,97156	57,31028	54,97156	57,31028	00.04.22	Не завершилась	Оп	Техн., атм.	Отмечалось	Зафиксирована активизация оползневого процесса на автодороге на ГЛК Аджигардак. Факторы активизации оползневого процесса: техногенный - подрезка склона автодорогой, метеорологические – (выпадение осадков выше нормы). Отмечается рост ширины оползня с 71,0 м (в 2021 г.) до 95,2 м (в 2022 г). Общая длина оползня не изменилась и составила 44,6 м. Марка М-1А сместилась вниз к полотну автодороги на 1,75 м (расстояние до асфальта 12,95 м, в 2021 г. 14,7 м). Кювет завален текучим грунтом и затрудняет сток воды. Наблюдается деформация (выпучивание) асфальтового покрытия на протяжении 50 м.		
74.2022.2	Уральский	Челябин-ская область	г. Аша, ул. Набереж ная, дома №№ 67, 69, 71, 73, 75, 77, 81, 28	54.97570	57.29378	54.97570	57.29378	00.04.22	Не завершилась	Оп	Техн., атм.	Отмечалось	В г. Аша по ул. Набережная (дома №№ 67, 69, 71, 73, 75, 77, 81, 28) отмечалась активизация оползневого процесса. Протяженность оползневого участка вдоль улицы Набережная 130 м. Факторы активизации оползневого процесса: техногенный – пригрузка (подсыпка) автодороги, метеорологические – осадков выпало выше нормы. Общая высота оползневого уступа около 7 м. Выполнена отсыпка оползневого склона для увеличения ширины проезжей части. В районе домов № 65 и 67 зафиксированы активные трещины оползания в насыпном грунте. Ширина трещин около 2 см, глубина до 10 см, протяженность 18,5 м. Незначительные изменения расстояний ширины проезжей части и отсыпанной территории до 1,0 м, объясняются работой автодорожных служб. Активность оползневого процесса средняя - 25%.		
04.2022.0001	Сибирский	Республика Алтай	Майминский район, с. Майма	52,01142	85,91671	52,01142	85,91670	00.05.22	Не заверши-лась	Оп	Атм., гидрогеол.	Не отмечалось	В с. Майма Майминского района (пункт наблюдений Майминский оползень) в мае 2022 г. отмечена активизация оползневого процесса на оползне 2 порядка № 1-1. Фиксировалось расширение трещин сдвига по границам оползня № 1-1. Состав горных пород, затронутых проявлением: глины и суглинки. Основные факторы активизации: гидрометеорологический, гидрогеологический.		
04.2022.0002	Сибирский	Республика Алтай	Майминский район, с. Майма	52,01025	85,91302	52,01025	85,91300	00.05.22	Не заверши-лась	Оп	Атм., гидрогеол.	Не отмечалось	В с. Майма Майминского района (пункт наблюдений Майминский оползень) в мае 2022 г. отмечена активизация оползневого процесса на оползне 2 порядка № 1-2. Фиксировалось расширение трещин сдвига по границам оползня № 1-2. Состав горных пород, затронутых проявлением: глины и суглинки. Основные факторы активизации: гидрометеорологический, гидрогеологический.		

1	2	3	4	5	6	7	8	9	10	11	12	13	14	15	16
04.2022.0003	Сибирский	Республика Алтай	Майминский район, в 3,5 км северо-восточнее с. Майма	52,03488	85,98008	52,03488	85,98007	00.05.22	Не заверши-лась	Оп	Атм., гидрогеол.	Отмечалось	В 3,5 км северо-восточнее с. Майма, на склоне Стамового хребта (пункт наблюдений Горно-Алтайский) с мая 2022 г. отмечена активизация оползневого процесса на оползне № 32. Зафиксировано увеличение площади на 130 м^2, оползень развивается вверх по склону; снижение площади наибольшего озерка с 281 м^2 до 206 м^2; мочажинно-озерковое заболачивание в языке. Негативное воздействие заключается в частичном разрушении земель сельскохозяйственного назначения на площади 0,00013 км². Литологический состав: суглинки и глины, в подошве уступов с щебнем и мелкими глыбами. Основные факторы активизации - количество зимних и весенних осадков (100 % и 64 %), пластовые выходы грунтовых вод в подошве надоползневого уступа.		
04.2022.0004	Сибирский	Республика Алтай	Майминский район, с. Кызыл-Озек, ул. Советская, 2	51,90818	85,99253	51,90819	85,99251	00.05.22	Не заверши-лась	Оп	Атм., гидрол.	Не отмечалось	В с. Кызыл-Озек Майминского района (пункт наблюдений Горно-Алтайский) с мая 2022 г. отмечена активизация оползневого процесса на оползне № 31. Зафиксировано увеличение площади на 32 м² по фронту, наличие трещин растяжения выше надоползневого уступа, оплывины в языке. В зоне возможного воздействия: ограждения, хозпостройки усадьбы по ул. Советская, 2; уч. а/дороги Горно-Алтайск - Кызыл-Озек (10-12 м от бровки уступа). Литологический состав: мелкий галечниковый материал с супесчаным заполнителем до 50 %. Основные факторы активизации: количество зимних осадков (100 %), гидрологический режим р. Майма (излучина реки, подмыв берега).		
04.2022.0005	Сибирский	Республика Алтай	г. Горно-Алтайск, ул. Гагарина, 45	51,97218	85,98072	51,97218	85,98071	00.05.22	Не заверши-лась	Оп	Атм., гидрогеол.	Не отмечалось	В г. Горно-Алтайск (пункт наблюдений Горно-Алтайский) с мая 2022 г. отмечена активизация оползневого процесса на оползне № 19. Вертикальный надоползневый уступ высотой до 1,5-2,3 м. В опасной близости от надоползневого уступа расположены усадьбы по ул. Гагарина, № 43/2 и № 47 (3-4,93 м), столбы ЛЭП (2,05 м), дорога к усадьбам (1-3 м). Литологический состав: суглинки и глины покровного комплекса. Основные факторы активизации: зимние осадки (100 % от нормы) и наличие пластового выхода грунтовых вод в подошве уступа и теле оползня.		
04.2022.0006	Сибирский	Республика Алтай	г. Горно-Алтайск, ул. Черноплодная, 10	51,95025	85,90928	51,95026	85,90927	00.05.22	Не заверши-лась	Оп	Атм., гидрогеол.	Отмечалось	В г. Горно-Алтайск (пункт наблюдений Горно-Алтайский) с мая 2022 г. отмечена активизация оползневого процесса на оползне № 28. Зафиксированы мелкие смещения склона, фиксируемые трещинами и смещениями блоков в подпорной стенке, в фундаменте и отмостках дома. Негативное воздействие: частичное разрушение подпорной стенки, отмосток и фундамента жилого дома по ул. Черноплодная, 10. Литологический состав: суглинки и глины покровного комплекса. Основные факторы активизации: зимние осадки (100 % от нормы), линзы грунтовых вод.		
04.2022.0007	Сибирский	Республика Алтай	Майминский район, в 1,2 км СЗ с. Подгорное	52,03900	85,86398	52,03900	85,86397	00.05.22	Не заверши-лась	Оп	Атм.	Не отмечалось	В 1,2 км СЗ с. Подгорное (пункт наблюдений Горно-Алтайский) с мая 2022 г. отмечается активизация оползневого процесса на древнем оползне № 34. Зафиксировано расширение дугообразных трещин растяжения и уступов в присклоновой западине глубиной до 1,2 м. Литологический состав: суглинки и глины покровного комплекса. Основной фактор активизации: зимние осадки (100 % от нормы).	–	

1	2	3	4	5	6	7	8	9	10	11	12	13	14	15	16
04.2022.0008	Сибирский	Республика Алтай	Майминский район, уч. А/дороги Горно-Алтайск - Кызыл-Озек, 0,125 км	51,91160	85,99222	51,91161	85,99221	00.05.22	Не заверши-лась	Оп	Атм., гидрол., техн.	Отмечалось	На участке. а/дороги Горно-Алтайск - Кызыл-Озек, в 0,125 км от г. Горно-Алтайск (пункт наблюдений Горно-Алтайский) с мая 2022 г. наблюдается активизация оползневого процесса на оползне № 35. Зафиксировано развитие серии трещин растяжения и уступов на дорожном полотне выше надоползневого уступа. Негативное воздействие заключается в частичном разрушении дорожного полотна на отрезке 25 м. Литологический состав склонового комплекса: глины и суглинки с включениями щебня до 20 %. Основной фактора активизации – зимние осадки (100 %), гидрологический режим р. Майма, эксплуатация дороги.		
04.2022.00009	Сибирский	Республика Алтай	Майминский район, в 3,7 км В с. Майма	52,02570	85,98021	52,02570	85,98020	00.05.22	Не заверши-лась	Оп	Атм., гидрогеол.	Отмечалось	В 3,7 км В с. Майма, на склоне Стамового хребта (пункт наблюдений Горно-Алтайский) с мая 2022 г. отмечена активизация оползневого процесса на оползне № 36. Зафиксировано увеличение площади оползня на 864 м^2, высота уступа – 6-9 м, присклоновая западина разбита трещинами глубиной 1,0-1,5 м на блоки. Негативное воздействие: частичное разрушение земель сельскохозяйственного назначения на площади прироста оползня 0,000864 км². Литологический состав: суглинки и глины покровного комплекса. Основные факторы активизации: количество зимних осадков (100 %), маломощные горизонты грунтовых вод в подошве рыхлого комплекса осадков.		
04.2022.0010	Сибирский	Республика Алтай	Майминский район, с. Алферово, ул. Центральная, № 1, 1А, 1Б	51,97175	85,99167	51,97175	85,99166	00.05.22	Не заверши-лась	Оп	Атм., гидрогеол.	Не отмечалось	В с. Алферово, на ул. Центральная, № 1, 1А, 1Б (пункт наблюдений Горно-Алтайский) с мая 2022 г. отмечена активизация оползневого процесса в языке древнего оползня № 37. На языке оползня трещины и уступы глубиной 0,3-0,5 м. В подошвах искусственно вскрытых уступов малодебитные родники и пластовые выходы грунтовых вод. В зоне потенциального воздействия 3 жилых дома и хозпостройки. Литологический состав: суглинки и глины покровного комплекса. Основные факторы активизации: количество зимних осадков (100 %), пластовые выходы грунтовых вод в уступах языка.		
04.2022.0011	Сибирский	Республика Алтай	Майминский район, в 3,7 км В с. Майма	52,04193	85,97944	52,04193	85,97943	00.05.22	Не заверши-лась	Оп	Атм.	Не отмечалось	В 3,7 км В с. Майма (пункт наблюдений Горно-Алтайский) с мая 2022 г. наблюдается активизация оползневого процесса, образовался структурный оползень № 38. Зафиксировано образование надоползневого уступа высотой до 1,5 м по дугообразным трещинам растяжения. Литологический состав: суглинки и глины покровного комплекса. Фактор активизации: зимние осадки (100 % от нормы).		
04.2022.0012	Сибирский	Республика Алтай	Онгудайский район, уч. А/дороги Р-256, 686 км	50,57370	86,53483	50,57370	86,53482	09.05.22	09.05.22	Об	Атм.	Отмечалось	На участке, а/дороги Р-256, 686 км 9 мая 2022 г. произошел обвал на автодорогу, обвальный конус размером 20×7×1,5 м. Негативное воздействие заключается в перекрытии обвальными глыбами участка а/дороги протяженностью 20 м. Литологический состав: глыбы известняков размером 0,1-1 м и более. Основной фактор активизации: температурный режим в мае (превышения на +4°, перепады от +4° до +33°).		

1	2	3	4	5	6	7	8	9	10	11	12	13	14	15	16
17.2022.0001	Сибирский	Республика Тыва	Кызылский район, уч. А/дороги Кызыл – Баян-Кол, 22-25 км, в 13,5 км ЮЗ с. Ээрбек	51,57258	94,05132	51,57258	94,05133	00.05.22	00.06.22	Об-Ос	Атм.	Отмечалось	На участке, а/дороги Кызыл – Баян-Кол, 22-25 км в Кызылском районе, в 13,5 км ЮЗ с. Ээрбек (пункт наблюдений Ээрбекский) в мае – июне 2022 г. после продолжительных дождей наблюдалась активизация обвально-осыпного процесса по правобережью р. Енисей. Осыпь подвижная, не закреплена растительностью. Участок а/дороги находится у подножия склона, который подрезан. Верхняя часть склона скалистая, обрывистая, нижняя – осыпная. Общая ширина осыпи 2494 м, длина в среднем 54 м. Наиболее активно процесс проявляется на 3-х участках суммарной шириной 1393 м. Литологический состав: выветрелые трещиноватые песчаники (J1-3). Основной фактор активизации – атмосферные осадки. Зафиксированы скатывания обломочного материала на обочину дороги на участке длиной 166 м, размеры обломков от 0,1-0,2 до 0,3-1,2 м.		
17.2022.0002	Сибирский	Республика Тыва	Чеди-Хольский район, с. Элегест	51,36526	93,96857	51,36526	93,96858	00.05.22	Не заверши-лась	ГР	Атм.	Не отмечалось	В с. Элегест Чеди-Хольского района (пункт наблюдений Элегестинский) отмечена активизация гравитационного процесса вдоль уступа 2 надпойменной террасы р. Элегест. Высота уступа 3,5-5 м, длина уступа 0,104 км, продвижение кромки уступа составило 0,5 м. Отмечаются блоки отпора размером 0,7×0,5×0,8 м. Литологический состав: пески, супеси с прослоями галечно-гравийного материала. Фактор активизации: продолжительные осадки. Негативное воздействие отсутствует.		
17.2022.0003	Сибирский	Республика Тыва	Чеди-Хольский район, уч. А/дороги Элегест – Усть-Элегест, 4 км	51,38408	94,00242	51,38408	94,00243	00.05.22	Не заверши-лась	Эо	Атм.	Не отмечалось	В 4 км СВ с. Элегест Чеди-Хольского района (пункт наблюдений Элегестинский) вдоль участка а/дороги Элегест – Усть-Элегест, 4 км отмечена активизация овражной эрозии (овраг № 1). Длина оврага 432 м, ширина 27 м, глубина 4,5 м. Зафиксированы свежие обрушения грунта, блоки и трещины отпора, козырьки шириной до 0,7 м, останцы размером до 0,8×0,33×0,37 м, прирост вершины отвершка оврага составил 0,2 м. Литологический состав: пески, супеси с прослоями галечно-гравийного материала. Фактор активизации – продолжительные осадки. Негативное воздействие отсутствует.		
17.2022.0004	Сибирский	Республика Тыва	Кызылский район, уч. А/дороги Кызыл – Баян-Кол, 18 км, в 1,57 км СВ с. Ээрбек	51,66348	94,22608	51,66348	94,22607	00.05.22	Не заверши-лась	Эо	Атм.	Отмечалось	На участке а/дороги Кызыл – Баян-Кол, 18 км, в 1,57 км СВ с. Ээрбек Кызылского района зафиксирована активизация процесса овражной эрозии. Длина оврага составляет 19,5 м, ширина до 10 м, глубина до 3 м. Литологический состав: пески, супеси с прослоями галечно-гравийного материала. Фактор активизации: метеорологический. Разрушена обочина, а/дороги протяженностью около 1,2 м, началось разрушение асфальтового покрытия.		
22.2022.0001	Сибирский	Алтайский край	г. Барнаул, Центральный район, СНТ «Энергетик». Первый оползневой район	53,26592	83,75189	53,26592	83,75188	00.04.22	00.05.22	Оп	Атм., гидрол.	Не отмечалось	В г. Барнаул, Центральный район, в СНТ «Энергетик» (пункт наблюдений Барнаульский) с апреля 2022 г. отмечена активизация оползневого процесса. Оползень в стадии развития, базисом служит левый береговой склон долины р. Оби. Длина оползня 3 м, ширина 80 м, площадь 240 м², объём 30 м³. Затронуты супеси, суглинки полигенетических отложений краснодубровской свиты, pq Q_{I-II} kd на глубину 0,13 м. Предыдущий сход был в 2021 г., оползень приурочен к оголённому, крутому (75°) склону р. Оби. Факторы активизации: интенсивное таяние снега и подмыв основания склона водами реки. Сооружения инженерной защиты отсутствуют.		

1	2	3	4	5	6	7	8	9	10	11	12	13	14	15	16
22.2022.0002	Сибирский	Алтайский край	г. Барнаул, Октябрьский район, ул. Фабричная, 2-О. Второй оползневой район	53,35911	83,79997	53,35911	83,79996	00.04.22	00.05.22	Оп	Атм., гидрогеол, техн.	Не отмечалось	В г. Барнаул, Октябрьский район, ул. Фабричная, 2-О (пункт наблюдений Барнаульский) с апреля 2022 г. отмечена активизация оползневого процесса. Оползень в стадии развития, базисом служит левый береговой склон долины р. Оби. Длина оползня 10 м, ширина 43 м, площадь 430 м², объём 200 м³, грунтовые массы сползли к подошве склона. Затронуты супеси, суглинки полигенетических отложений краснодубровской свиты, pq Q_{I-II} kd на глубину 0,47 м. Предыдущий сход был в 2021 г., оползень приурочен к оголённому, крутому (70°) склону. Факторы активизации: интенсивное таяние снега, суффозионная деятельность подземных вод и пригрузка склона техногенными грунтами. Сооружения инженерной защиты отсутствуют.		
22.2022.0003	Сибирский	Алтайский край	г. Барнаул, Ленинский район, пр. Калинина, 122. Третий оползневой район	53,39646	83,74657	53,39646	83,74656	00.04.22	00.05.22	Оп	Атм., техн.	Не отмечалось	В г. Барнаул, Ленинский район, пр. Калинина, 122 (пункт наблюдений Барнаульский) с апреля 2022 г. отмечена активизация оползневого процесса. Оползень в стадии развития, базисом служит левый береговой склон долины р. Оби. Длина оползня 12 м, ширина 22 м, площадь 264 м², объём 200 м³, грунтовые массы сползли к подошве склона. Затронуты супеси, суглинки полигенетических отложений краснодубровской свиты, pq Q_{I-II} kd на глубину 0,76 м. До 2022 г. здесь сходы оползней не фиксировались, оползень приурочен к оголённому, крутому (75°) склону. Факторы активизации: интенсивное снеготаяние и пригрузка склона техногенными грунтами. Сооружения инженерной защиты отсутствуют.		
22.2022.0004	Сибирский	Алтайский край	г. Барнаул, Ленинский район, ул. Квартал 953а, 481а. Четвёртый оползневой район	53,39728	83,72861	53,39728	83,72860	00.04.22	00.05.22	Оп	Гидрогеол.	Не отмечалось	В г. Барнаул, Ленинский район, ул. Квартал 953а, 481а (пункт наблюдений Барнаульский) с апреля 2022 г. отмечена активизация оползневого процесса. Оползень в стадии развития, базисом служит левый береговой склон долины р. Оби. Длина оползня 7 м, ширина 20 м, площадь 140 м², объём 30 м³, грунтовые массы сползли к подошве склона. Затронуты супеси, суглинки полигенетических отложений краснодубровской свиты, pq Q_{I-II} kd на глубину 0,21 м. Предыдущий сход был в 2021 г., оползень приурочен к оголённому, крутому (85°) склону. Фактор активизации: суффозионная деятельность подземных вод. Сооружения инженерной защиты отсутствуют. Противооползневые мероприятия не требуются.		
22.2022.0005	Сибирский	Алтайский край	г. Барнаул, Ленинский район, ул. Квартал, 953а, 380. Четвёртый оползневой район	53,39740	83,71967	53,39740	83,71966	00.04.22	00.05.22	Оп	Атм., гидрогеол.	Не отмечалось	В г. Барнаул, Ленинский район, ул. Квартал 953а, 380 (пункт наблюдений Барнаульский) с апреля 2022 г. отмечена активизация оползневого процесса. Оползень в стадии развития, базисом служит левый береговой склон долины р. Оби. Длина оползня 35 м, ширина 24 м, площадь 840 м², объём 100 м³, грунтовые массы сползли к подошве склона. Затронуты супеси, суглинки полигенетических отложений краснодубровской свиты, pq Q_{I-II} kd на глубину 0,12 м. Предыдущий сход был в 2021 г., оползень приурочен к оголённому, крутому (85°) склону. Факторы активизации: интенсивное таяние снега и суффозионная деятельность подземных вод. Сооружения инженерной защиты отсутствуют. В настоящее время противооползневые мероприятия не требуются.		

1	2	3	4	5	6	7	8	9	10	11	12	13	14	15	16
22.2022.0006	Сибирский	Алтайский край	г. Барнаул, Ленинский район, ул. Квартал, 953а, 19. Четвёртый оползневой район	53,39740	83,71697	53,39740	83,71696	00.04.22	00.05.22	Оп	Атм.	Не отмечалось	В г. Барнаул, Ленинский район, ул. Квартал 953а, 19 (пункт наблюдений Барнаульский) с апреля 2022 г. отмечена активизация оползневого процесса. Оползень в стадии развития, базисом служит левый береговой склон долины р. Оби. Длина оползня 11 м, ширина 29 м, площадь 319 м², объём 50 м³, грунтовые массы сползли к подошве склона. Затронуты супеси, суглинки полигенетических отложений краснодубровской свиты, pq Q_{I-II} kd на глубину 0,17 м. Предыдущий сход был в 2020 г., оползень приурочен к оголённому, крутому (85°) склону. Фактор активизации: интенсивное таяние снега. Сооружения инженерной защиты отсутствуют. Противооползневые мероприятия не требуются.		
22.2022.0007	Сибирский	Алтайский край	г. Барнаул, Ленинский район, 9-й Заводской проезд, 40, «Оползневой цирк ЗТУ». Четвёртый оползневой район	53,39821	83,69839	53,39821	83,69838	00.04.22	00.05.22	Оп	Атм.	Не отмечалось	В г. Барнаул, Ленинский район, 9-й Заводской проезд, 40 (пункт наблюдений Барнаульский) с апреля 2022 г. отмечена активизация оползневого процесса. Оползень в стадии развития, базисом служит левый береговой склон долины р. Оби. Длина оползня 5 м, ширина 30 м, площадь 150 м², объём 30 м³, грунты сползли к подошве склона. Затронуты супеси, суглинки полигенетических отложений краснодубровской свиты, pq Q_{I-II} kd на глубину 0,2 м. Предыдущий сход был в 2021 г., оползень приурочен к оголённому, крутому (75°) склону. Фактор активизации: интенсивное снеготаяние. Сооружения инженерной защиты отсутствуют. Противооползневые мероприятия не требуются.		
22.2022.0008	Сибирский	Алтайский край	Тальменский район, СВ окраина пгт. Тальмен ка	53,83167	83,58556	53,83167	83,58555	00.04.22	Не заверши-лась	Эо	Атм.	Отмечалось	В окрестностях пгт. Тальменка Тальменского района (пункт наблюдений Тальменский) с апреля 2022 г. в овраге № 2 отмечена активизация овражной эрозии. Процесс в стадии развития, базисом служит склон высокой надпойменной террасы долины р. Чумыш. Длина оврага 69 м, ширина 27 м, глубина 3,5 м, площадь 1139 м². Отмечен размыв вершинной части, боковых склонов и отвершков оврага, прирост оврага составил 1,7 м. Эрозия овражная развивается в отложениях четвёртой и пятой надпойменной террасы древней долины р. Оби, 5 Q_{II-III}, представленных суглинками. Фактор активизации: интенсивное снеготаяние. Разрушены сельхозугодия площадью 0,000014 км². Сооружения инженерной защиты отсутствуют.		
22.2022.0009	Сибирский	Алтайский край	Тальменский район, СВ окраина пгт. Тальмен ка	53,83173	83,59331	53,83173	83,59330	00.04.22	Не заверши-лась	Эо	Атм.	Отмечалось	В окрестностях пгт. Тальменка Тальменского района (пункт наблюдений Тальменский) с апреля 2022 г. в овраге № 3 отмечена активизация овражной эрозии. Процесс в стадии развития, базисом служит склон высокой надпойменной террасы долины р. Чумыш. Длина оврага 130,2 м, ширина 32,7 м, глубина 12 м, площадь 3842 м². Отмечен размыв вершинной части, боковых склонов и отвершков оврага, прирост оврага составил 1,2 м. Эрозия овражная развивается в отложениях четвёртой и пятой надпойменной террасы древней долины р. Оби, 5 Q_{II-III}, представленных суглинками. Фактор активизации: интенсивное снеготаяние. Разрушены сельхозугодия площадью 0,000013 км². Сооружения инженерной защиты отсутствуют, требуются противоовражные мероприятия.		

1	2	3	4	5	6	7	8	9	10	11	12	13	14	15	16
22.2022.0010	Сибирский	Алтайский край	Тальменский район, СВ окраина пгт. Тальменка	53,83528	83,61500	53,83528	83,61499	00.04.22	Не заверши-лась	Эо	Атм.	Отмечалось	В окрестностях пгт. Тальменка Тальменского района (пункт наблюдений Тальменский) с апреля 2022 г. в овраге № 6 отмечена активизация овражной эрозии. Процесс в стадии развития, базисом служит склон высокой надпойменной террасы долины р. Чумыш. Длина оврага 85,5 м, ширина 14,7 м, глубина 5 м, площадь 1011 м². Отмечен размыв вершинной части и боковых склонов оврага, прирост оврага составил 2,3 м. Эрозия овражная развивается в отложениях четвёртой и пятой надпойменной террасы древней долины р. Оби, 5 Q_{II-III}, представленных суглинками. Фактор активизации: интенсивное снеготаяние. Разрушены сельхозугодия площадью 0,000011 км². Сооружения инженерной защиты отсутствуют, требуются противоовражные мероприятия.		
22.2022.0011	Сибирский	Алтайский край	Тальменский район, в 0,8 км ЮЗ с. Анисимово	53,99976	83,60816	53,99976	83,60815	00.04.22	Не заверши-лась	Эо	Атм.	Отмечалось	В 0,8 км ЮЗ с. Анисимово Тальменского района (пункт наблюдений Анисимовский) с апреля 2022 г. в овраге № 1 отмечена активизация овражной эрозии. Процесс в стадии развития, базисом служит надпойменная терраса долины р. Боровлянка. Длина оврага 563,7 м, ширина 6,8 м, глубина 8 м, площадь 3811 м². Отмечен размыв вершинной части, боковых склонов и отвершков оврага, прирост оврага составил 3,4 м. Эрозия овражная развивается в отложениях четвёртой и пятой надпойменной террасы древней долины р. Оби, 5 Q_{II-III}, представленных суглинками. Фактор активизации: интенсивное снеготаяние. Разрушены сельхозугодия площадью 0,000018 км². Сооружения инженерной защиты отсутствуют.		
22.2022.0012	Сибирский	Алтайский край	Тальменский район, в 0,92 км ЮЗ с. Анисимово	53,99810	83,60698	53,99810	83,60697	00.04.22	Не заверши-лась	Эо	Атм.	Отмечалось	В 0,92 км ЮЗ с. Анисимово Тальменского района (пункт наблюдений Анисимовский) с апреля 2022 г. в овраге № 2 отмечена активизация овражной эрозии. Процесс в стадии развития, базисом служит надпойменная терраса долины р. Боровлянка. Длина оврага 588,6 м, ширина 7 м, глубина 9 м, площадь 4105 м². Отмечен размыв вершинной части, боковых склонов и отвершков оврага, прирост оврага составил 3,6 м. Эрозия овражная развивается в отложениях четвёртой и пятой надпойменной террасы древней долины р. Оби, 5 Q_{II-III}, представленных суглинками. Фактор активизации: интенсивное снеготаяние. Разрушены сельхозугодия площадью 0,000021 км². Сооружения инженерной защиты отсутствуют.		
22.2022.0013	Сибирский	Алтайский край	Тальменский район, в 1,2 км ЮЗ с. Анисимово	53,99936	83,60115	53,99936	83,60114	00.04.22	Не заверши-лась	Эо	Атм.	Отмечалось	В 1,2 км ЮЗ с. Анисимово Тальменского района (пункт наблюдений Анисимовский) с апреля 2022 г. в овраге № 3 отмечена активизация овражной эрозии. Процесс в стадии развития, базисом служит надпойменная терраса долины р. Боровлянка. Длина оврага 303,2 м, ширина 5 м, глубина 7 м, площадь 1509 м². Отмечен размыв вершинной части, боковых склонов и отвершков оврага, прирост оврага составил 3,2 м. Эрозия овражная развивается в отложениях четвёртой и пятой надпойменной террасы древней долины р. Оби, 5 Q_{II-III}, представленных суглинками. Фактор активизации: интенсивное снеготаяние. Разрушены сельхозугодия площадью 0,000017 км². Сооружения инженерной защиты отсутствуют.		

1	2	3	4	5	6	7	8	9	10	11	12	13	14	15	16
22.2022.0014	Сибирский	Алтайский край	Тальменский район, в 1,4 км С с. Митюшево	53,93518	83,78977	53,93518	83,78976	00.04.22	Не заверши-лась	Эо	Атм.	Отмечалось	В 1,4 км С с. Митюшево Тальменского района (пункт наблюдений Митюшевский) с апреля 2022 г. в овраге № 1 отмечена активизация овражной эрозии. Процесс в стадии развития, базисом служит высокая надпойменная терраса долины р. Чумыш. Длина оврага 114,5 м, ширина 19 м, глубина 8 м, площадь 2125 м^2. Отмечен размыв вершинной части и боковых склонов оврага. Прирост оврага составил 2,1 м. Эрозия овражная развивается в отложениях четвёртой и пятой надпойменной террасы древней долины р. Оби, 5 Q_{II-III}, представленных суглинками. Фактор активизации: интенсивное снеготаяние. Разрушены сельхозугодия площадью 0,000011 км^2. Сооружения инженерной защиты отсутствуют.		
22.2022.0015	Сибирский	Алтайский край	Тальменский район, в 1,8 км СВ с. Митюшево	53,93917	83,81019	53,93917	83,81018	00.04.22	Не заверши-лась	Эо	Атм.	Отмечалось	В 1,8 км СВ с. Митюшево Тальменского района (пункт наблюдений Митюшевский) с апреля 2022 г. в овраге № 2 отмечена активизация овражной эрозии. Процесс в стадии развития, базисом служит высокая надпойменная терраса долины р. Чумыш. Длина оврага 101,4 м, ширина 6 м, глубина 6,5 м, площадь 607 м². Отмечен размыв вершинной части, боковых склонов и отвершков оврага. Прирост оврага составил 1,4 м. Эрозия овражная развивается в отложениях четвёртой и пятой надпойменной террасы древней долины р. Оби, 5 Q_{II-III}, представленных суглинками. Фактор активизации: интенсивное снеготаяние. Разрушены сельхозугодия площадью 0,000009 км². Сооружения инженерной защиты отсутствуют.		
22.2022.0016	Сибирский	Алтайский край	Тальменский район, в 1,8 км СВ с. Митюшево	53,93900	83,81037	53,93900	83,81036	00.04.22	Не заверши-лась	Эо	Атм.	Отмечалось	В 1,8 км СВ с. Митюшево Тальменского района (пункт наблюдений Митюшевский) с апреля 2022 г. в овраге № 3 отмечена активизация овражной эрозии. Процесс в стадии развития, базисом служит высокая надпойменная терраса долины р. Чумыш. Длина оврага 51,2 м, ширина 5 м, глубина 7 м, площадь 257 м². Отмечен размыв вершинной части, боковых склонов и отвершков оврага. Прирост оврага составил 1,2 м. Эрозия овражная развивается в отложениях четвёртой и пятой надпойменной террасы древней долины р. Оби, 5 Q_{II-III}, представленных суглинками. Фактор активизации: интенсивное снеготаяние. Разрушены сельхозугодия площадью 0,000008 км². Сооружения инженерной защиты отсутствуют.		
22.2022.0017	Сибирский	Алтайский край	Тальменский район, в 1,3 км С с. Новотроицк	53,91665	83,74043	53,91665	83,74042	00.04.22	Не заверши-лась	Эо	Атм.,	Не отмечалось	В 1,3 км С с. Новотроицк Тальменского района (пункт наблюдений Новотроицкий-2) с апреля 2022 г. в овраге № 1 отмечена активизация эрозии овражной. Процесс в стадии развития, базисом служит высокая надпойменная терраса долины р. Чумыш. Длина оврага 730 м, ширина 11 м, глубина 7 м, площадь 8030 м². Отмечен размыв вершинной части, боковых склонов и отвершков оврага. Эрозия овражная развивается в отложениях четвёртой и пятой надпойменной террасы древней долины р. Оби, 5 Q_{II-III}, представленных суглинками. Фактор активизации: интенсивное снеготаяние. Сооружения инженерной защиты отсутствуют.		
22.2022.0018	Сибирский	Алтайский край	Тальменский район, в 0,97 км СЗ с. Новотроицк	53,90505	83,71162	53,90505	83,71161	00.04.22	Не заверши-лась	Эо	Атм.,	Не отмечалось	В 0,97 км СЗ с. Новотроицк Тальменского района (пункт наблюдений Новотроицкий-2) с апреля 2022 г. в овраге № 2 отмечена активизация овражной эрозии. Процесс в стадии развития, базисом служит высокая надпойменная терраса долины р. Чумыш. Длина оврага 480 м, ширина 11 м, глубина 7 м, площадь 3971 м². Отмечен размыв вершинной части, боковых склонов и отвершков оврага. Эрозия овражная развивается в отложениях четвёртой и пятой надпойменной террасы древней долины р. Оби, 5 Q_{II-III}, представленных суглинками. Фактор активизации: интенсивное снеготаяние. Сооружения инженерной защиты отсутствуют.		

1	2	3	4	5	6	7	8	9	10	11	12	13	14	15	16
22.2022.0019	Сибирский	Алтайский край	Тальменский район, в 0,92 км СЗ с. Новотроицк	53,90454	83,71313	53,90454	83,71312	00.04.22	Не заверши-лась	Эо	Атм.,	Не отмечалось	В 0,92 км СЗ с. Новотроицк Тальменского района (пункт наблюдений Новотроицкий-2) с апреля 2022 г. в овраге № 3 отмечена активизация овражной эрозии. Процесс в стадии развития, базисом служит высокая надпойменная терраса долины р. Чумыш. Длина оврага 147 м, ширина 7 м, глубина 7 м, площадь 1029 м². Отмечен размыв вершинной части, боковых склонов и отвершков оврага. Эрозия овражная развивается в отложениях четвёртой и пятой надпойменной террасы древней долины р. Оби, 5 Q_{II-III}, представленных суглинками. Фактор активизации: интенсивное снеготаяние. Сооружения инженерной защиты отсутствуют.		
22.2022.0020	Сибирский	Алтайский край	Тальменский район, 0,92 км СЗ с. Новотроицк	53,90069	83,71855	53,90069	83,71854	00.04.22	Не заверши-лась	Эо	Атм.,	Не отмечалось	В окрестностях с. Новотроицк Тальменского района (пункт наблюдений Новотроицкий-2) с апреля 2022 г. в овраге № 4 отмечена активизация овражной эрозии. Процесс в стадии развития, базисом служит склон высокой надпойменной террасы долины р. Чумыш. Длина оврага 380 м, ширина 17 м, глубина 7 м, площадь 6460 м². Отмечен размыв боковых склонов оврага ближе к его вершинной части. Эрозия овражная развивается в отложениях четвёртой и пятой надпойменной террасы древней долины р. Оби, 5 Q_{II-III}, представленных суглинками. Фактор активизации: интенсивное снеготаяние. Сооружения инженерной защиты отсутствуют.		
22.2022.0021	Сибирский	Алтайский край	Косихинский район, северная окраина с. Романово	53,25990	84,36533	53,25990	84,36532	00.04.22	Не заверши-лась	Эо	Атм.	Отмечалось	В окрестностях с. Романово Косихинского района (пункт наблюдений Романовский) с апреля 2022 г. в овраге № 1 отмечена активизация овражной эрозии. Процесс в стадии развития, базисом служит надпойменная терраса долины р. Бобровка. Длина оврага 316,2 м, ширина 34 м, глубина 4,5 м, площадь 811 м². Отмечен размыв вершинной части, боковых склонов и отвершков оврага. Прирост оврага составил 3,7 м. Эрозия овражная развивается в отложениях четвёртой надпойменной террасы древней долины р. Оби, 4 Q_{II-III}, представленных суглинками. Фактор активизации: интенсивное снеготаяние. Разрушены сельхозугодия площадью 0,000024 км². Сооружения инженерной защиты отсутствуют.		
22.2022.0022	Сибирский	Алтайский край	Косихинский район, северная окраина с. Романово	53,25787	84,36908	53,25787	84,36907	00.04.22	Не заверши-лась	Эо	Атм.	Отмечалось	В окрестностях с. Романово Косихинского района (пункт наблюдений Романовский) с апреля 2022 г. в овраге № 2 отмечена активизация эрозии овражной. Процесс в стадии развития, базисом служит надпойменная терраса долины р. Бобровка. Длина оврага 300,3 м, ширина 30 м, глубина 20 м, площадь 9017 м². Отмечен размыв вершинной части, боковых склонов и отвершков оврага. Прирост оврага составил 0,3 м. Эрозия овражная развивается в отложениях четвёртой надпойменной террасы древней долины р. Оби, 4 Q_{II-III}, представленных суглинками. Фактор активизации: интенсивное снеготаяние. Разрушены сельхозугодия площадью 0,000008 км². Сооружения инженерной защиты отсутствуют.		
22.2022.0023	Сибирский	Алтайский край	Косихинский район, в 1,3 км СЗ с. Романово	53,26155	84,34271	53,26155	84,34270	00.04.22	Не заверши-лась	Эо	Атм.	Отмечалось	В 1,3 км СЗ с. Романово Косихинского района (пункт наблюдений Романовский) с апреля 2022 г. в овраге № 3 отмечена активизация овражной эрозии. Процесс в стадии развития, базисом служит надпойменная терраса долины р. Бобровка. Длина оврага 297,2 м, ширина 13 м, глубина 7 м, площадь 3824 м². Отмечен размыв вершинной части, боковых склонов и отвершков оврага. Прирост оврага составил 4,2 м. Эрозия овражная развивается в отложениях четвёртой надпойменной террасы древней долины р. Оби, 4 Q_{II-III}, представленных суглинками. Фактор активизации: интенсивное снеготаяние. Разрушены сельхозугодия площадью 0,000027 км². Сооружения инженерной защиты отсутствуют.		

1	2	3	4	5	6	7	8	9	10	11	12	13	14	15	16
22.2022.0024	Сибирский	Алтайский край	Косихинский район, СВ окраина с. Полковниково	53,22355	84,63918	53,22355	84,63917	00.04.22	Не заверши-лась	Эо	Атм.	Отмечалось	На СВ окраине с. Полковниково Косихинского района (пункт наблюдений Полковниковский) с апреля 2022 г. в овраге № 1 отмечена активизация овражной эрозии. Процесс в стадии развития, базисом служит надпойменная терраса древней долины р. Бобровка. Длина оврага 203,6 м, ширина 9,3 м, глубина 9 м, площадь 1851 м^2. Отмечен размыв вершинной части и боковых склонов оврага. Прирост оврага составил 4,1 м. Эрозия овражная развивается в отложениях четвёртой надпойменной террасы древней долины р. Оби, 4 Q_{II-III}, представленных суглинками. Фактор активизации: интенсивное снеготаяние. Разрушены сельхозугодия площадью 0,000023 км^2. Сооружения инженерной защиты отсутствуют.		
22.2022.0025	Сибирский	Алтайский край	Косихинский район, в 0,9 км СВ с. Полковниково	53,22748	84,64407	53,22748	84,64406	00.04.22	Не заверши-лась	Эо	Атм.	Отмечалось	В 0,9 км СВ с. Полковниково Косихинского района (пункт наблюдений Полковниковский) с апреля 2022 г. в овраге № 2 отмечена активизация овражной эрозии. Процесс в стадии развития, базисом служит надпойменная терраса древней долины р. Бобровка. Длина оврага 172,3 м, ширина 13 м, глубина 6 м, площадь 2219 м^2. Отмечен размыв вершинной части, боковых склонов и отвершков оврага. Прирост оврага составил 2,3 м. Эрозия овражная развивается в отложениях четвёртой надпойменной террасы древней долины р. Оби, 4 Q_{II-III}, представленных суглинками. Фактор активизации: интенсивное снеготаяние. Разрушены сельхозугодия площадью 0,000018 км^2. Сооружения инженерной защиты отсутствуют.		
22.2022.0026	Сибирский	Алтайский край	Косихинский район, в 1,3 км СВ с. Полковниково	53,22956	84,64442	53,22956	84,64441	00.04.22	Не заверши-лась	Эо	Атм.	Отмечалось	В 1,3 км СВ с. Полковниково Косихинского района (пункт наблюдений Полковниковский) с апреля 2022 г. в овраге № 3 отмечена активизация овражной эрозии. Процесс в стадии развития, базисом служит надпойменная терраса древней долины р. Бобровка. Длина оврага 326,4 м, ширина 17 м, глубина 9 м, площадь 5549 м^2. Отмечен размыв вершинной части, боковых склонов и отвершков оврага. Прирост оврага составил 0,4 м. Эрозия овражная развивается в отложениях четвёртой надпойменной террасы древней долины р. Оби, 4 Q_{II-III}, представленных суглинками. Фактор активизации: интенсивное снеготаяние. Разрушены сельхозугодия площадью 0,000011 км^2. Сооружения инженерной защиты отсутствуют.		
22.2022.0027	Сибирский	Алтайский край	Шелаболихинский район, З окраина с. Новообинцево	53,41892	82,68366	53,41892	82,68365	00.04.22	Не заверши-лась	Эо	Атм.	Отмечалось	В окрестностях с. Новообинцево Шелаболихинского района (пункт наблюдений Новообинцевский) с апреля 2022 г. в овраге № 1 отмечена активизация овражной эрозии. Процесс в стадии развития, базисом служит левый береговой склон долины р. Чесноковка. Длина оврага 1123,5 м, ширина 13 м, глубина 9 м, площадь 14572 м^2. Отмечен размыв вершинной части, боковых склонов и отвершков оврага. Прирост оврага составил 3,5 м. Эрозия овражная развивается в полигенетических отложениях краснодубровской свиты, pq Q_{I-II} kd, представленных суглинками. Фактор активизации: интенсивное снеготаяние. Разрушены сельхозугодия площадью 0,000027 км^2. Сооружения инженерной защиты отсутствуют.		

1	2	3	4	5	6	7	8	9	10	11	12	13	14	15	16
22.2022.0028	Сибирский	Алтайский край	Шелаболихинский район, З окраина с. Новообинцево	53,41189	82,67725	53,41189	82,67724	00.04.22	Не заверши-лась	Эо	Атм.	Отмечалось	В окрестностях с. Новообинцево Шелаболихинского района (пункт наблюдений Новообинцевский) с апреля 2022 г. в овраге № 2 отмечена активизация эрозии овражной. Процесс в стадии развития, базисом служит левый береговой склон долины р. Чесноковка. Длина оврага 1483,2 м, ширина 15 м, глубина 9 м, площадь 16399 м^2. Отмечен размыв вершинной части, боковых склонов и отвершков оврага. Прирост оврага составил 3,2 м. Эрозия овражная развивается в полигенетических отложениях краснодубровской свиты, pq Q_{I-II} kd, представленных суглинками. Фактор активизации: интенсивное снеготаяние. Разрушены сельхозугодия площадью 0,000032 км^2. Сооружения инженерной защиты отсутствуют.		
22.2022. 0029	Сибирский	Алтайский край	Шелаболихинский район, в 6,5 км ЮЗ с. Новообинцево	53,38686	82,59732	53,38686	82,59731	00.04.22	Не заверши-лась	Эо	Атм.	Не отмечалось	В 6,5 км ЮЗ с. Новообинцево Шелаболихинского района (пункт наблюдений Новообинцевский) с апреля 2022 г. в овраге № 3 отмечена активизация овражной эрозии. Процесс в стадии развития, базисом служит правый береговой склон долины р. Шелаболиха. Длина оврага 732 м, ширина 13 м, глубина 4 м, площадь 9516 м^2. Отмечен размыв вершинной части, боковых склонов и отвершков оврага. Эрозия овражная развивается в полигенетических отложениях краснодубровской свиты, pq Q_{I-II} kd, представленных суглинками. Фактор активизации: интенсивное снеготаяние. Сооружения инженерной защиты отсутствуют.		
22.2022. 0030	Сибирский	Алтайский край	Шелаболихинский район, в 6,4 км ЮЗ с. Новообинцево	53,38946	82,59572	53,38946	82,59571	00.04.22	Не заверши-лась	Эо	Атм.	Не отмечалось	В 6,4 км ЮЗ с. Новообинцево Шелаболихинского района (пункт наблюдений Новообинцевский) с апреля 2022 г. в овраге № 4 отмечена активизация овражной эрозии. Процесс в стадии затухания, базисом служит правый береговой склон долины р. Шелаболиха. Длина оврага 534 м, ширина 8 м, глубина 7 м, площадь 4272 м^2. Отмечен размыв вершинной части, боковых склонов оврага ближе к его устьевой части. Эрозия овражная развивается в полигенетических отложениях краснодубровской свиты, pq Q_{I-II} kd, представленных суглинками. Фактор активизации: интенсивное снеготаяние. Сооружения инженерной защиты отсутствуют.		
22.2022.0031	Сибирский	Алтайский край	Усть-Пристанский район, в 2,6 км Ю с. Белово	52,59484	83,62357	52,59484	83,62356	00.04.22	Не заверши-лась	Эо	Атм.	Не отмечалось	В 2,6 км Ю с. Белово Усть-Пристанского района с апреля 2022 г. отмечена активизация овражной эрозии. Процесс в стадии развития, базисом служит поверхность Приобского плато. Длина оврага 1700 м, ширина 21 м, глубина 9 м, площадь 35700 м^2. Отмечен размыв вершинной части, боковых склонов и отвершков оврага. Эрозия овражная развивается в полигенетических отложениях краснодубровской свиты, pq Q_{I-II} kd, представленных суглинками. Фактор активизации: интенсивное снеготаяние. Сооружения инженерной защиты отсутствуют.		
22.2022.0032	Сибирский	Алтайский край	Усть-Пристанский район, в 2,2 км Ю с. Белово	52,59897	83,63000	52,59897	83,62999	00.04.22	Не заверши-лась	Эо	Атм.	Не отмечалось	В 2,2 км Ю с. Белово Усть-Пристанского района с апреля 2022 г. отмечена активизация овражной эрозии. Процесс в стадии развития, базисом служит поверхность Приобского плато. Длина оврага 430 м, ширина 15 м, глубина 11 м, площадь 6450 м^2. Отмечен размыв вершинной части, боковых склонов и отвершков оврага. Эрозия овражная развивается в полигенетических отложениях краснодубровской свиты, pq Q_{I-II} kd, представленных суглинками. Фактор активизации: интенсивное снеготаяние. Сооружения инженерной защиты отсутствуют.		

1	2	3	4	5	6	7	8	9	10	11	12	13	14	15	16
22.2022.0033	Сибирский	Алтайский край	Усть-Пристанский район, в 1,7 км С с. Белово	52,64366	83,62710	52,64366	83,62709	00.04.22	Не заверши-лась	Эо	Атм.	Не отмечалось	В 1,7 км С с. Белово Усть-Пристанского района с апреля 2022 г. отмечена активизация эрозии овражной. Процесс в стадии развития, базисом служит поверхность Приобского плато. Длина оврага 1295 м, ширина 19 м, глубина 8 м, площадь 24605 м^2. Отмечен размыв вершинной части, боковых склонов и отвершков оврага. Эрозия овражная развивается в полигенетических отложениях краснодубровской свиты, pq Q_{I-II} kd, представленных суглинками. Фактор активизации: интенсивное снеготаяние. Сооружения инженерной защиты отсутствуют.		
24.2022.0003	Сибирский	Красноярский край	Боготольский район, г. Боготол	56,21711	89,52775	56,21778	89,52743	00.04.22	Не заверши-лась	Пт	Атм.	Отмечалось	В г. Боготол Боготольского района (пункт наблюдения г. Боготол) активизация процесса подтопления началась в апреле 2022 г. Подтопление погребов и подвалов зафиксировано по ул. 1-я Зарельсовая, Бобровая (УГВ 0,7-1,2 м), ул. Кондукторская, 9 Мая, Комсомольская (УГВ 0,2-0 м), ул. Школьная, Полевая (УГВ 0,8-1,8 м). Ориентировочная площадь подтопления составляла около 1 км^2. На момент обследования (07.06.2022 г.) активность процесса снизилась и подтопленными оставались подвалы и подполья в юго-восточной части города (ул. Комсомольская и 9 Мая -УГВ 0,2-0 м). На площади подтопления развиты четвертичные глинистые мелкозернистые пески, глины, мощностью 15-20 м. Фактор активизации: метеорологический (таяние снега).		
24.2022.0004	Сибирский	Красноярский край	Бирилюсский район, с. Новобири люссы	56,95015	90,68612	56,95085	90,68583	00.04.22	15.04.22	Пт	Гидрогеол., атм.	Отмечалось	В с. Новобирилюссы Бирилюсского района в первой половине апреля отмечалась аткивизация процесса подтопления, выраженая в подтоплении подвалов и подполий в северной и северо-восточной части села (ул. Майская, Северная, Лесная, Кооперативная). УГВ достигали 1,5-1,8 м. Ориентировочная площадь подтопления не превышала 0,65 км^2. На площади подтопления развиты нерасчлененные верхнечетвертичные-современные аллювиальные отложения низких террас (пески, галечники, прослои и линзы глин и суглинков) с установившимися уровнями подземных вод 0,3-0,5 м. Факторы активизации: гидрогеологический (высокие УГВ и наличие линз водоупорных отложений), метеорологический (таяние снега).		
24.2022.0005	Сибирский	Красноярский край	Бирилюсский район, южная окраина с. Новобири люссы	56,93270	90,66384	56,93340	90,66355	00.04.22	00.06.22	Эо	Атм.	Не отмечалось	На южной окраине с. Новобирилюссы Бирилюсского района, в береговом уступе р. Чулым (высотой 3,5-4,5 м) отмечалась активизация процесса овражной эрозии. Протяженность около 10 м, глубина от 0,7 м в вершине, до 1,5 м в устьевой части. Овраг имеет V-образный поперечный профиль и извилистое русло. Базис эрозии р. Чулым. Вершина оврага направлена к проселочной дороге в районе д. 21 по ул. Советская, расстояние до ограждения приусадебного участка 7-8 м. Овраг развивается в нерасчлененных верхнечетвертичных-современных аллювиальных отложениях низких террас (пески, галечники, прослои и линзы глин и суглинков. Фактор активизации: метеорологический (таяние снега, ливневые дожди).		
38.2022.0001	Сибирский	Иркутская область	Черемховский район, г. Черемхово	53,14783	103,06531	53,14778	103,06526	00.05.22	Не заверши-лась	Пт	Атм.	Отмечалось	В г. Черемхово Черемховского района (пункт наблюдений Черемхово) с мая 2022 г. отмечалась активизация процесса подтопления на территории жилой застройки по ул. Павлова и Графитная. Дебит родника составил 2,5 л/с, что на уровне прошлого года. Затруднение стока и переувлажнение прилегающей территории фиксировалось по ул. Павлова, 22 и Графитная, 20. Литологический состав пород представлен суглинками, глинами. Фактор активизации: выпадение большого количества (относительно нормы) атмосферных осадков при значениях температуры воздуха около нормы. Площадь территории подтопления в 2022 г. составила 0,00475 км^2.		

1	2	3	4	5	6	7	8	9	10	11	12	13	14	15	16
38.2022.0002	Сибирский	Иркутская область	Тулунский район, г. Тулун	54,56800	100,58320	54,56800	100,58319	00.05.22	Не заверши-лась	Пт	Атм.	Отмечалось	В г. Тулун (пункт наблюдений Тулун) с мая 2022 г. отмечалась активизация процесса подтопления на территории жилой застройки по ул. Чернышевского и Калинина. В зоне подтопления оказались 2 дома по ул. Чернышевского, 1 дом по ул. Калинина. Литологический состав пород представлен суглинками, глинами. Фактор активизации: выпадение большого количества (относительно нормы) атмосферных осадков при значениях температуры воздуха около нормы. Площадь территории подтопления в 2022 г. составила 0,0036 км^2.		
38.2022.0003	Сибирский	Иркутская область	г. Иркутск, предместье Радищева	52,30415	104,31613	52,30415	104,31613	00.05.22	Не заверши-лась	Пт	Атм., гидрогеол.	Отмечалось	В предместье Радищева г. Иркутска, на территории жилой застройки по улицам: Ивана Кочубея, Кирпичная, Огородная, Фрунзе отмечалась активизация процесса подтопления. В зоне подтопления оказалось 10 жилых домов, из них 1 дом деформирован. Факторы активизации: метеорологический (выпадение интенсивных атмосферных осадков при значениях температуры воздуха около нормы), гидрогеологический (уровень подземных вод залегает на глубине 0,72 м). Площадь территории подтопления составила 0,023 км^2.		
38.2022.0004	Сибирский	Иркутская область	Осинский район, в 0,265 км ЮВ п. Бильчир	53,55614	103,72075	53,55614	103,72074	00.05.22	Не заверши-лась	Эо	Атм.	Не отмечалось	В 0,265 км юго-восточнее п. Бильчир Осинского района (пункт наблюдений Бильчир-2) с мая 2022 г. отмечалась активизация овражной эрозии. Овраг № 2 имеет длину 70,2 м, ширину 8,2 м и глубину 3 м. Прирост вершины оврага составил 0,2 м, ширина увеличилась на 0,2 м. Литологический состав пород представлен суглинками и супесями. Фактор активизации: метеорологический (выпадение большого количества (относительно нормы) атмосферных осадков при значениях температуры воздуха около нормы).		
38.2022.0005	Сибирский	Иркутская область	Осинский район, в 0,29 км ЮВ п. Бильчир	53,55589	103,72081	53,55589	103,72079	00.05.22	Не заверши-лась	Эо	Атм.	Не отмечалось	В 0,29 км юго-восточнее п. Бильчир Осинского района (пункт наблюдений Бильчир-2) с мая 2022 г. отмечалась активизация овражной эрозии. Овраг № 3 имеет длину 55,7 м, ширину 2,3 м и глубину 1 м. Прирост вершины оврага составил 0,1 м, ширина увеличилась на 0,3 м. Литологический состав пород представлен суглинками и супесями. Фактор активизации: метеорологический (выпадение большого количества (относительно нормы) атмосферных осадков при значениях температуры воздуха около нормы).		
38.2022.0006	Сибирский	Иркутская область	Осинский район, в 0,615 км СВ п. Бильчир	53,56559	103,73386	53,56559	103,73385	00.05.22	Не заверши-лась	Эо	Атм.	Не отмечалось	В 0,615 км северо-восточнее п. Бильчир Осинского района (пункт наблюдений Бильчир-2) с мая 2022 г. отмечалась активизация овражной эрозии. Овраг № 5 имеет уточненную длину 520 м, ширину 3 м и глубину 1,6 м. Прирост вершины оврага составил 0,1 м, ширина и глубина увеличились на 0,1 м. Литологический состав пород представлен суглинками и супесями. Фактор активизации: метеорологический (выпадение большого количества (относительно нормы) атмосферных осадков при значениях температуры воздуха около нормы).		
38.2022.0007	Сибирский	Иркутская область	Нукутский район, в 0,17 км С с. Нукуты	53,72685	102,79876	53,72685	102,79875	00.05.22	Не заверши-лась	Эо	Атм.	Отмечалось	В 0,17 км севернее с. Нукуты Нукутского района (пункт наблюдений Нукуты) на сельскохозяйственных землях в мае 2022 г. отмечалась активизация овражной эрозии. Овраг № 1 имеет длину 40,4 м, ширину 3-5,2 м и глубину 1,8-2,2 м. Длина увеличилась на 0,2 м, глубина осталась без изменения. Литологический состав пород представлен суглинками лессовидными. Фактор активизации: метеорологический (выпадение большого количества (относительно нормы) атмосферных осадков при значениях температуры воздуха около нормы. Площадь с/х земель, выведенных из оборота, составила 0,000002 км^2.		

1	2	3	4	5	6	7	8	9	10	11	12	13	14	15	16
38.2022.0008	Сибирский	Иркутская область	Нукутский район, в 0,22 км С с. Нукуты	53,72629	102,79527	53,72629	102,79526	00.05.22	Не заверши-лась	Эо	Атм.	Отмечалось	В 0,22 км севернее с. Нукуты Нукутского района (пункт наблюдений Нукуты) на сельскохозяйственных землях в мае 2022 г. отмечалась активизация овражной эрозии. Овраг № 2 характеризуется длиной 80,2 м, шириной 3-5,1 м и глубину 0,3-3,1 м. Длина оврага увеличилась в среднем на 0,2 м, глубина – на 0,1 м. Литологический состав пород представлен суглинками лессовидными. Фактор активизации: метеорологический (выпадение большого количества (относительно нормы) атмосферных осадков при значениях температуры воздуха около нормы). Площадь с/х земель, выведенных из оборота, составила 0,000001 км^2.		
38.2022.009	Сибирский	Иркутская область	Нукутский район, в 0,5 км СЗ с. Нукуты	53,72489	102,78833	53,72489	102,78832	00.05.22	Не заверши-лась	Эо	Атм.	Отмечалось	В 0,5 км северо-западнее с. Нукуты Нукутского района (пункт наблюдений Нукуты) на сельскохозяйственных землях в мае 2022 г. отмечалась активизация овражной эрозии. Овраг № 3 имеет длину 60,2 м, ширину 0,3-6,7 м и глубину 1-3,4 м. Длина оврага увеличилась на 0,1 м. Литологический состав пород представлен суглинками лессовидными. Фактор активизации: метеорологический (выпадение большого количества (относительно нормы) атмосферных осадков при значениях температуры воздуха около нормы). Площадь с/х земель, выведенных из оборота, составила 0,000001 км^2.		
38.2022.0010	Сибирский	Иркутская область	Нукутский район, с. Закулей	53,68913	103,02844	53,68913	103,02843	00.05.22	Не заверши-лась	Эо	Атм.	Не отмечалось	В с. Закулей Нукутского района (пункт наблюдений Закулей) в мае 2022 г. отмечалась активизация овражной эрозии. Овраг №3 имеет длину 130,7 м, ширину 2-3,25 м и глубину 1-2,6 м. Увеличение произошло по длине и составило 0,2 м. Литологический состав пород представлен суглинками лессовидными. Фактор активизации: метеорологический (выпадение большого количества (относительно нормы) атмосферных осадков при значениях температуры воздуха около нормы).		
38.2022.0011	Сибирский	Иркутская область	Нукутский район, ЮВ окраина с. Закулей	53,68869	103,02707	53,68869	103,02706	00.05.22	Не заверши-лась	Эо	Атм.	Не отмечалось	На юго-восточной окраине с. Закулей Нукутского района (пункт наблюдений Закулей) в мае 2022 г. отмечалась активизация овражной эрозии. Овраг №4 имеет длину 110,3 м, ширину 2-3,8 м и глубину 1-2,7 м. Глубина увеличилась на 0,1 м, длина на 0,3 м. Литологический состав пород представлен суглинками лессовидными. Фактор активизации: метеорологический (выпадение большого количества (относительно нормы) атмосферных осадков при значениях температуры воздуха около нормы).		
38.2022.0012	Сибирский	Иркутская область	Нукутский район, ЮЗ окраина с. Закулей	53,68793	103,02089	53,68793	103,02088	00.05.22	Не заверши-лась	Эо	Атм.	Не отмечалось	На юго-западной окраине с. Закулей Нукутского района (пункт наблюдений Закулей) в мае 2022 г. отмечалась активизация овражной эрозии. Овраг №5 имеет длину 915 м, ширину 5-8,2 м и глубину 0,5-1,4 м. Длина и глубина остались без изменения, ширина увеличилась на 0,15 м. Литологический состав пород представлен суглинками лессовидными. Фактор активизации: метеорологический (выпадение большого количества (относительно нормы) атмосферных осадков при значениях температуры воздуха около нормы).		
38.2022.0013	Сибирский	Иркутская область	Нукутский район, ЮЗ окраина с. Закулей	53,68644	103,02074	53,68644	103,02073	00.05.22	Не заверши-лась	Эо	Атм.	Не отмечалось	На юго-западной окраине с. Закулей Нукутского района (пункт наблюдений Закулей) в мае 2022 г. отмечалась активизация овражной эрозии. Овраг №6 имеет длину 110,5 м, ширину 1,5-2,6 м и глубину 0,5-1 м. Длина оврага увеличилась на 0,4 м, ширина – на 0,1 м. Литологический состав пород представлен суглинками лессовидными. Фактор активизации: метеорологический (выпадение большого количества (относительно нормы) атмосферных осадков при значениях температуры воздуха около нормы).		

1	2	3	4	5	6	7	8	9	10	11	12	13	14	15	16
38.2022.0014	Сибирский	Иркутская область	Нукутский район, ЮЗ окраина с. Закулей	53,68502	103,02114	53,68502	103,02113	00.05.22	Не заверши-лась	Эо	Атм.	Не отмечалось	На юго-западной окраине с. Закулей Нукутского района (пункт наблюдений Закулей) в мае 2022 г. отмечалась активизация овражной эрозии. Овраг №7 имеет размеры: длина 801 м, ширина 1,5-2,4 м и глубина 1-1,6 м. Изменения произошли по длине на 0,1 м, по ширине на 0,2 м Литологический состав пород представлен суглинками лессовидными. Фактор активизации процесса – метеорологический (выпадение большого количества (относительно нормы) атмосферных осадков при значениях температуры воздуха около нормы).		
38.2022.0015	Сибирский	Иркутская область	Нукутский район, ЮЗ окраина с. Закулей	53,68563	103,01355	53,68563	103,01354	00.05.22	Не заверши-лась	Эо	Атм.	Отмечалось	На юго-западной окраине с. Закулей Нукутского района (пункт наблюдений Закулей) на сельскохозяйственных землях в мае 2022 г. отмечалась активизация овражной эрозии. Овраг №8 имеет длину 120,1 м, ширину 10,1-16,2 м и глубину 2-3 м. Его длина увеличилась на 0,1 м. Литологический состав пород представлен суглинками лессовидными. Фактор активизации: метеорологический (выпадение большого количества (относительно нормы) атмосферных осадков при значениях температуры воздуха около нормы). Площадь с/х земель, выведенных из оборота, составила 0,0000016 км^2.		
38.2022.0016	Сибирский	Иркутская область	Нукутский район, СЗ окраина с. Закулей	53,68783	103,00833	53,68783	103,00832	00.05.22	Не заверши-лась	Эо	Атм.	Отмечалось	На северо-западной окраине с. Закулей Нукутского района (пункт наблюдений Закулей) на сельскохозяйственных землях в мае 2022 г. отмечалась активизация овражной эрозии. Овраг №9 имеет длину 591 м, ширину 2-3,5 м и глубину 1-1,6 м. Вершина оврага продвинулась на 0,5 м, ширина увеличилась на 0,2 м, глубина – на 0,1 м. Литологический состав пород представлен суглинками лессовидными. Факторы активизации: выпадение большого количества (относительно нормы) атмосферных осадков при значениях температуры воздуха около нормы; - интенсивный поверхностный сток периоды ливней и весеннего снеготаяния. Площадь с/х земель, выведенных из оборота, составила 0,000112 км^2.		
38.2022.0017	Сибирский	Иркутская область	Нукутский район, СЗ окраина с. Закулей	53,69008	103,01176	53,69008	103,01175	00.05.22	Не заверши-лась	Эо	Атм.	Отмечалось	На северо-западной окраине с. Закулей Нукутского района (пункт наблюдений Закулей) на сельскохозяйственных землях в мае 2022 г. отмечалась активизация овражной эрозии. Овраг №10 имеет размеры: длина 301,3 м, ширина 2-3,3 м и глубина 0,3-1 м. Изменения произошли по ширине, она увеличилась на 0,2 м. Литологический состав пород представлен суглинками лессовидными. Фактор активизации: метеорологический (выпадение большого количества (относительно нормы) атмосферных осадков при значениях температуры воздуха около нормы). Площадь с/х земель, выведенных из оборота, составила 0,000060 км^2.		
38.2022.0018	Сибирский	Иркутская область	Нукутский район, СЗ окраина с. Закулей	53,69176	103,01515	53,69176	103,01514	00.05.22	Не заверши-лась	Эо	Атм.	Отмечалось	На северо-западной окраине с. Закулей Нукутского района (пункт наблюдений Закулей) на сельскохозяйственных землях в мае 2022 г. отмечалась активизация овражной эрозии. Овраг №11 имеет размеры: длина 800 м, ширина 3-5,4 м и глубина 1-1,9 м. По глубине и ширине он увеличился на 0,1 м. Литологический состав пород представлен суглинками лессовидными. Фактор активизации: метеорологический (выпадение большого количества (относительно нормы) атмосферных осадков при значениях температуры воздуха около нормы). Площадь с/х земель, выведенных из оборота, составила 0,00008 км^2.		

1	2	3	4	5	6	7	8	9	10	11	12	13	14	15	16
38.2022.0019	Сибирский	Иркутская область	Осинский район, в 0,08 км СЗ п. Жданово	53,54598	103,69439	53,54598	103,69439	00.05.22	Не заверши-лась	ГР	Атм.	Не отмечалось	Вблизи п. Жданово Осинского района (пункт наблюдений Жданово) на побережье залива Оса Братского водохранилища с мая 2022 г. отмечалась активизация комплекса гравитационных процессов. На коренном склоне высотой до 20 м на протяжении 140 м фиксируется проявление процессов. У подножья склона фиксируется обвально-осыпной материал, в верхней и средней частях склон пронизан трещинами, отмечаются блоки отсевших пород. Средняя ширина обвалившегося грунта составила 0,5 м. Литологический состав пород представлен суглинками и супесями. Фактор активизации: метеорологический (выпадение большого количества (относительно нормы) атмосферных осадков при значениях температуры воздуха около нормы.		
38.2022.0020	Сибирский	Иркутская область	Осинский район, в 0,06 км З п. Жданово	53,54531	103,69452	53,54531	103,69452	00.05.22	Не заверши-лась	Эо	Атм.	Не отмечалось	В 0,06 км западнее п. Жданово Осинского района (пункт наблюдений Жданово) на побережье залива Оса Братского водохранилища с мая 2022 г. отмечалась активизация овражной эрозии. Овраг № 1 имеет длину 10 м, ширину 4-11,5 м и глубину 1,5-7 м. Ширина увеличилась на 0,5 м, по глубине и длине изменений не зафиксировано. Литологический состав пород представлен суглинками и супесями. Фактор активизации: метеорологический (выпадение большого количества (относительно нормы) атмосферных осадков при значениях температуры воздуха около нормы.		
38.2022.0021	Сибирский	Иркутская область	Осинский район, в 0,06 км З п. Жданово	53,54744	103,69395	53,54744	103,69395	00.05.22	Не заверши-лась	Эо	Атм.	Не отмечалось	В 0,06 км западнее п. Жданово Осинского района (пункт наблюдений Жданово) с мая 2022 г. отмечалась активизация процесса овражной эрозии. Овраг № 2 имеет длину 13,5 м, ширину 9,5-14 м и глубину 2,5-2,5 м. Длина и ширина увеличились на 0,5 м, глубина, за счет обрушения стенок, уменьшилась на 0,5-1 м. Литологический состав пород представлен суглинками и супесями. Фактор активизации: метеорологический (выпадение большого количества (относительно нормы) атмосферных осадков при значениях температуры воздуха около нормы).		
38.2022.0022	Сибирский	Иркутская область	Осинский район, в 0,1 км З п. Жданово	53,54600	103,69409	53,54600	103,69409	00.05.22	Не заверши-лась	Эо	Атм.	Не отмечалось	В 0,1 км западнее п. Жданово Осинского района (пункт наблюдений Жданово) с мая 2022 г. отмечалась активизация овражной эрозии. Овраг № 3 имеет длину 16 м, ширину 11-12,3 м и глубину 7,5-8 м. Овраг развивается по ширине и глубине, они увеличились на 0,3 и 0,5 м соответственно. Литологический состав пород представлен суглинками и супесями. Фактор активизации: метеорологический (выпадение большого количества (относительно нормы) атмосферных осадков при значениях температуры воздуха около нормы).		
38.2022.0023	Сибирский	Иркутская область	Осинский район, в 0,145 км З п. Жданово	53,54544	103,69497	53,54544	103,69497	00.05.22	Не заверши-лась	Эо	Атм.	Не отмечалось	В 0,145 км западнее п. Жданово Осинского района (пункт наблюдений Жданово) с мая 2022 г. отмечалась активизация овражной эрозии. Овраг № 5 имеет длину 21,5 м, ширину 4,2-19 м и глубину 2-9,5 м. Ширина и глубина увеличились в среднем на 0,5 м. Литологический состав пород представлен суглинками и супесями. Фактор активизации: метеорологический (выпадение большого количества (относительно нормы) атмосферных осадков при значениях температуры воздуха около нормы).		
38.2022.0024	Сибирский	Иркутская область	Осинский район, в 0,53 км СЗ п. Жданово	53,55264	103,69643	53,55264	103,69643	00.05.22	Не заверши-лась	Эо	Атм.	Не отмечалось	В 0,53 км северо-западнее п. Жданово Осинского района (пункт наблюдений Жданово) с мая 2022 г. отмечалась активизация овражной эрозии. Овраг № 10 имеет длину 32,2 м, ширину 4,5-27 м и глубину 6 м. Длина оврага увеличилась на 0,2 м. Литологический состав пород представлен суглинками и супесями. Фактор активизации: метеорологический (выпадение большого количества (относительно нормы) атмосферных осадков при значениях температуры воздуха около нормы).		

1	2	3	4	5	6	7	8	9	10	11	12	13	14	15	16
38.2022.0025	Сибирский	Иркутская область	Осинский район, в 0,67 км СЗ п. Жданово	53,55406	103,69719	53,55406	103,69719	00.05.22	Не заверши-лась	Эо	Атм.	Не отмечалось	В 0,67 км северо-западнее п. Жданово Осинского района (пункт наблюдений Жданово) с мая 2022 г. отмечалась активизация овражной эрозии. Овраг № 11 имеет длину 25 м, ширину 5,5-10,2 м и глубину 6,1 м. Ширина оврага увеличилась на 0,2 м, глубина - на 0,1 м. Литологический состав пород представлен суглинками и супесями. Фактор активизации: метеорологический (выпадение большого количества (относительно нормы) атмосферных осадков при значениях температуры воздуха около нормы).		
38.2022.0026	Сибирский	Иркутская область	Осинский район, в 0,76 км СЗ п. Жданово	53,55490	103,69722	53,55490	103,69722	00.05.22	Не заверши-лась	Эо	Атм.	Не отмечалось	В 0,76 км северо-западнее п. Жданово Осинского района (пункт наблюдений Жданово) с мая 2022 г. отмечалась активизация овражной эрозии. Овраг № 12 имеет длину 21,5 м, ширину 5-12 м и глубину 5-10 м. Длина оврага увеличилась на 0,5 м, глубина – на 1 м. Литологический состав пород представлен суглинками и супесями. Фактор активизации: метеорологический (выпадение большого количества (относительно нормы) атмосферных осадков при значениях температуры воздуха около нормы).		
42.2022.0001	Сибирский	Кемеровская область-Кузбасс	Яйский район, пгт. Яя	56,21275	86,42256	56,21275	86,42255	00.04.22	00.05.22	Пт	Гидрогеол., атм.	Отмечалось	В пгт. Яя Яйского района (пункт наблюдений пгт. Яя) отмечена активизация процессов подтопления с апреля 2022 г. Площадь подтопления составляет 0,04 км^2. Процесс подтопления развит в верхнечетвертичных – современных отложениях. Возраст проявления ЭГП современный. Факторы активизации: гидрогеологический (неглубокое залегание УГВ), метеорологический (атмосферные осадки, интенсивное снеготаяние). Негативному воздействию подвержены здание центральной больницы по ул. Авиационная, 32 и дома по пер. Дружбы. В подвальном помещении центральной больницы оборудован насос, вода откачивается и сбрасывается ниже по потоку.		
42.2022.0002	Сибирский	Кемеровская область-Кузбасс	Яшкинский район, в 0,25 км СВ с. Поломошное	55,75335	84,97773	55,75334	84,97773	00.04.22	Не заверши-лась	Эо	Атм.	Не отмечалось	В 0,25 км СВ с. Поломошное Яшкинского района с апреля 2022 г. отмечена активизация процессов овражной эрозии. Овраг развивается в левом борту засыпанного в 2018 г. оврага. Длина оврага около 20 м, ширина 3 м. Наблюдаются свежие обрушения, трещины отрыва, происходит углубление оврага. Базис развития - р. Тальменка, процесс овражной эрозии развит в верхнечетвертичных отложениях. Факторы активизации: метеорологический (интенсивное снеготаяние). Негативное воздействие отсутствует.		
42.2022.0003	Сибирский	Кемеровская область-Кузбасс	Гурьевский район, с. Новопестерёво	54,43994	85,74497	54,43995	85,74496	00.04.22	Не заверши-лась	ГР	Атм., гидрол.	Не отмечалось	В с. Новопестерево Гурьевского района (пункт наблюдений Новопестеревский) с апреля 2022 г. отмечалась активизация гравитационного процесса. Процесс в стадии развития. Базис развития - р. Ур. Морфологические показатели: длина уступа 130 м, высота уступа 6-8 м. Разрушаются верхнечетвертичные отложения. Возраст проявления ЭГП современный. Максимальная величина разрушения уступа составила 1,4 м, при среднем значении 0,61 м. Факторы активизации: метеорологический (атмосферные осадки, интенсивное снеготаяние), гидрологический. Негативное воздействие отсутствует.		
42.2022.0004	Сибирский	Кемеровская область-Кузбасс	г. Белово	54,40284	86,30025	54,40285	86,30024	00.04.22	Не заверши-лась	Пт	Гидрогеол., атм.	Отмечалось	В г. Белово (пункт наблюдений г. Белово) отмечена активизация процесса подтопления с апреля 2022 г. Процесс в стадии развития. Процесс подтопления развит в верхнечетвертичных отложениях. Возраст проявления ЭГП современный. Факторы активизации: гидрогеологический (близкое залегание УГВ к поверхности), метеорологический (атмосферные осадки, интенсивное снеготаяние). Подтопление зафиксировано в мкр. Совхозный на ул. Щербакова и ул. Космодемьянской, площадь подтопления составила 0,31 км^2.		

1	2	3	4	5	6	7	8	9	10	11	12	13	14	15	16
42.2022.0005	Сибирский	Кемеровская область-Кузбасс	Новокузнецкий район, с. Боровково	53,79301	87,49998	53,79302	87,49997	00.04.22	Не заверши-лась	ГР	Атм., гидрол.	Отмечалось	В с. Боровково Новокузнецкого района (пункт наблюдений Боровковский) с апреля 2022 г. отмечалась активизация гравитационного процесса. Процесс в стадии развития. Базис развития - р. Томь. Морфологические показатели: длина уступа 470 м, высота уступа 3-4 м. Разрушению подвержены верхнечетвертичные отложения. Возраст проявления ЭГП современный. Факторы активизации: метеорологический (атмосферные осадки, интенсивное снеготаяние), гидрологический. Максимальная величина разрушения уступа составила 2,8 м при среднем значении 1,24 м. Разрушаются приусадебные участки по ул. Береговая, 5, Школьная, 1, 3. Разрушается дом по ул. Школьная, 2.		
42.2022.0006	Сибирский	Кемеровская область-Кузбасс	Крапивинский район, пгт. Крапивинский	55,01319	86,81275	55,01320	86,81274	00.04.22	Не заверши-лась	ГР	Атм., гидрол.	Отмечалось	В пгт. Крапивинский Крапивинского района (пункт наблюдений Крапивинский) с апреля 2022 г. отмечалась активизация компелкса гравитационных процессов. Процесс в стадии развития. Базис развития - р. Томь. Морфологические показатели: длина уступа 1790 м, высота уступа 20-22 м. Разрушению подвержены верхнечетвертичные отложения. Возраст проявления ЭГП современный. Факторы активизации: метеорологический (атмосферные осадки, интенсивное снеготаяние), гидрологический. Наиболее активно процессы развиваются на 3 х участках. Максимальная величина обрушения уступа составила 2,1 м, при среднем значении 0,37 м. В зоне воздействия находятся огороды по ул. Совхозная, 40, 42. Защитные сооружения отсутствуют.		
42.2022.0007	Сибирский	Кемеровская область-Кузбасс	Крапивинский район, с. Борисово	54,81387	86,55063	54,81387	86,55062	00.04.22	Не заверши-лась	Пт	Гидрогеол., атм.	Отмечалось	В с. Борисово Крапивинского района (пункт наблюдений с. Борисово) отмечена активизация процесса подтопления с апреля 2022 г. Процесс в стадии развития. Процесс подтопления развит в верхнечетвертичных Возраст проявления ЭГП современный. Факторы активизации: гидрогеологический (близкое залегание УГВ к поверхности), метеорологический (атмосферные осадки, интенсивное снеготаяние). В период активного снеготаяния появляется вода в погребах и подпольях жилых строений на ул. ул. Молодежная и ул. Перспективная. Дренажные канавы, сооруженные вдоль ул. Молодежная и ул. Перспективная заполнены водой, захламлены мусором, в результате чего сток затруднён. Площадь подтопления составила 0,2 км^2.		
54.2022.0001	Сибирский	Новосибирская область	Татарский район, г. Татарск	55,22215	75,98335	55,22215	75,98334	11.03.22	Не заверши-лась	Пт	Атм., гидрогеол., техн.	Отмечалось	В г. Татарске Татарского района (пункт наблюдений Татарский) активизация процесса подтопления отмечена с 11.03.2022 г. На преобладающей территории уровни залегали на глубине до 0,6 м (λ=0,73). Подтоплены объекты жилой застройки и промышленного производства на площади 17,3 км^2. Литологический состав представлен илистыми суглинками ($saQ_{III}+N_2cn$) мощностью 2,4-7 м, сплошным чехлом покрывающими водоупорный горизонт павлодарских глин. Факторы активизации процесса – метеорологический (потепление с 27 марта, кратковременное - 6-7 марта, недостаточное промерзание почвы – глубина его меньше нормы на 40 см, количество зимних осадков 91 % нормы), гидрогеологический (распространение слабо фильтрующих и низко дренирующих грунтов чановской свиты, способных ухудшать свои фильтрационные свойства под воздействием строительства и эксплуатации зданий и сооружений, близкое залегание павлодарского водоупора), техногенный (насыпи автодорог, Транс-Сибирской ж. д. магистрали, засыпка естественных водоёмов, служивших местом сбора поверхностных вод с окружающей территории; отсутствие вертикальной планировки..		

1	2	3	4	5	6	7	8	9	10	11	12	13	14	15	16
54.2022.0002	Сибирский	Новосибирская область	Барабинский район, г. Барабинск	55,34908	78,34945	55,34908	78,34944	26.03.22	Не заверши-лась	Пт	Атм., гидрогеол., техн.	Отмечалось	В г. Барабинске Барабинского района (пункт наблюдений Барабинский) активизация подтопления зафиксирована с 26.03.2022 г. На преобладающей территории уровни залегали на глубине до 1 м (λ=0,5). Отмечается подтопление территории площадью 18,1 км^2. Литологический состав представлен в кровле средними, реже лёгкими суглинками мощностью от 4,3 до 10 м при средней 6,4 м (saQ_{III}); ниже илистыми средними суглинками мощностью от 2,1 до 6,8 м при средней 3,7 м ($Q_{I-II}fd$); с глубины 7,6-13,8 м (средняя 10,1 м) плотные глины убинской свиты ($Q_{EI}ub$). Факторы активизации – метеорологический (резкое потепление с 25-27 марта, недостаточное промерзание почвы – глубина его меньше нормы на 40 см, количество зимних осадков 94 % нормы), гидрогеологический (наличие слабо фильтрующих и низко дренирующих грунтов федосовской свиты, способных ухудшать свои фильтрационные свойства под воздействием строительства и эксплуатации зданий и сооружений, близкое залегание глинистого водоупора убинской свиты), техногенный (насыпи автодорог, засыпка естественных водоёмов, служивших местом сбора поверхностных вод с окружающей территории; отсутствие вертикальной планировки.		
54.2022.0003	Сибирский	Новосибирская область	г. Бердск	54,75183	83,07066	54,75183	83,07065	29.03.22	Не заверши-лась	Пт	Атм., гидрогеол., техн.	Отмечалось	В г. Бердске (пункт наблюдений Бердский) активизация подтопления зафиксирована с 29.03.2022 г. На преобладающей территории уровни залегали на глубине до 1 м (λ=0,9). Подтоплена территория площадью 0,294 км^2, расположенная в пределах улиц Искитимская, Рабочая, Павлова, Рогачева, Октябрьская, Водосточная, Красноармейская, Гагарина, Урицкого, Мира. Литологический состав до глубины 2-5 м представлен лессовидными супесями с линзами и прослоями суглинков (saQ_{III}); ниже лессовидными слабопроницаемыми суглинками и супесями ($saQ_{I-II}kd$) мощностью до 20-25 м, в толще которых прослеживаются почвенные горизонты мощностью до 0,5-1,5 м, обладающие повышенной водопрочностью. Осушение ведётся с помощью дренажной системы; сооружены 5 колодцев, из которых пробурено по 5-10 горизонтальных скважин длиной по 80 м, расположенных веером. Откачка воды ведётся из колодцев с дебитами от 3 до 8 м^3/час. Факторы активизации – метеорологический (потепление с 27 марта, недостаточное промерзание почвы - глубина его меньше нормы на 57 см, количество зимних осадков 112 % нормы), гидрогеологический (наличие водоупорных погребённых почв в толще краснодубровкой свиты), техногенный (утечки из водонесущих коммуникаций, засыпка оврагов при строительстве, планировке и асфальтировании).		

1	2	3	4	5	6	7	8	9	10	11	12	13	14	15	16
54.2022.0004	Сибирский	Новосибирская область	Мошковский район, пгт. Мошково	55,30784	83,61243	55,30784	83,61242	31.03.22	Не заверши-лась	Пт	Атм., гидрогеол., техн.	Отмечалось	В пгт. Мошково Мошковского района (пункт наблюдений Мошковский) активизация подтопления отмечается с 31.03.2022 г. На преобладающей территории уровни залегали на глубине до 0,5 м (λ=0,85). Подтоплены объекты жилой застройки и промышленного производства на территории площадью 1,31 км^2, практически охватывающей весь центр посёлка. Наиболее напряженные участки находятся в пределах улиц Трудовая, Народная, Советская, Мичурина, Комсомольская. Литологический состав представлен лёгкими и средними лёссовидными суглинками с прослоями и линзами супесей и тонкозернистых песков суммарной мощностью 38-49 м ($saQ_{III}+saQ_{I-II}kd$); маломощные горизонты погребённых почв (до 0,5-1,0 м), сложенные тяжёлыми суглинками и глинами разделяют эту толщу на 6 ритмопачек и служат локальными водоупорами. Факторы активизации – метеорологический (резкое потепление с 31 марта, недостаточное промерзание почвы - глубина его меньше нормы на 91 см, количество зимних осадков 103 % нормы); гидрогеологический (наличие погребённых почв в толще краснодубровской свиты, служащих локальными водоупорами, низкие фильтрационные свойства суглинков), техногенный (полив огородов, планировочные работы при строительстве, утечки из водонесущих коммуникаций, засыпка оврагов).		
54.2022.0005	Сибирский	Новосибирская область	Чулымский район, г. Чулым	55,09199	80,96416	55,09199	80,96415	31.03.22	Не заверши-лась	Пт	Атм., гидрогеол., техн.	Отмечалось	В г. Чулыме Чулымского района (пункт наблюдений Чулымский) активизация подтопления отмечается с 31.03.2022 г. На преобладающей территории уровни залегали на глубине до 0,5 м (λ=0,83). Подтоплены объекты жилой застройки и промышленного производства на площади 12,9 км^2. Наиболее напряжённая ситуация по-прежнему отмечается в центральной части города и на территории вдоль железной дороги по обе стороны. Литологический состав представлен илистыми суглинками с весьма слабыми фильтрационными свойствами мощностью 37-39 м, с линзами или пачками тонко-мелкозернистых песков мощностью 2,2-6,8 м, приуроченных к средней и нижней частям разреза ($laQ_{I-II}fd$). Факторы активизации процесса – метеорологический (резкое потепление с 31 марта, недостаточное промерзание почвы - глубина его меньше нормы на 93 см, количество зимних осадков в пределах нормы, запасы воды в снежном покрове в бассейне р. Чулым 116 % нормы), гидрогеологический (весьма слабые фильтрационные свойства суглинков федосовской свиты, близкое залегание глинистого водоупора), техногенный (утечки из водонесущих коммуникаций, засыпка оврагов при строительстве, планировки). Редкая сеть водосточных канав частично обеспечивает водоотвод с территории города в р. Чулым.		
54.2022.0006	Сибирский	Новосибирская область	Баганский район, с. Баган	54,09711	77,67093	54,09711	77,67092	31.03.22	Не заверши-лась	Пт	Атм., гидрогеол., техн.	Отмечалось	В с. Баган Баганского района (пункт наблюдений Баганский) с 31.03.2022 г. отмечалась активизация процесса подтопления. На преобладающей территории уровни залегали на глубине до 1 м (λ=0,4). Подтоплены объекты жилой застройки на площади 4,65 км^2. Литологический состав представлен до глубины в среднем 1,1 м суглинками от лёгких до тяжёлых ($Q_{II-III}kr$), ниже глинистыми песками средней мощностью 2,9 м. Факторы активизации процесса – метеорологический (резкое потепление с 27 марта, недостаточное промерзание почвы - глубина его промерзания ниже нормы на 15 см, количество зимних осадков - в пределах нормы), гидрогеологический (весьма слабые фильтрационные свойства суглинков карасукской свиты, близкое залегание глинистого водоупора павлодарской свиты), техногенный (утечки из водонесущих коммуникаций; засыпка оврагов при строительстве и планировке). Уровни воды в магистральных каналах находятся на тех же отметках, что и уровни грунтовых вод.		

1	2	3	4	5	6	7	8	9	10	11	12	13	14	15	16
54.2022.0007	Сибирский	Новосибирская область	г. Новосибирск	55,04861	82,93167	55,04861	82,93166	28.03.22	Не заверши-лась	Пт	Атм., гидрогеол., техн.	Отмечалось	В г. Новосибирске (пункт наблюдений Новосибирский) с 28.03.2022 г. отмечалась активизация процесса подтопления. На преобладающей территории уровни залегают на глубине 1-3 м (λ=0,85). Подтоплена значительная часть Дзержинского, Калининского, Кировского районов, жилмассивы Гусинобродский, Волочаевский, Кропоткинский, Линейный, Восточный, Плехановский Затулинский, Северо-Чемской, Паласса и др. на площади 47,6 км^2. Литологический состав представлен на левобережье аллювиальными суглинками с редкими не выдержанными прослоями песка и супеси (aQ_{IV}, a^1Q_{III} - a^3Q_{III}), на правобережье - плотными суглинками ($Q_{I-II}kd$). Факторы активизации процесса – метеорологический (резкое потепление с 20 марта, недостаточное промерзание почвы - на 28 февраля глубина её промерзания была ниже нормы на 75 см, количество зимних осадков 139 % нормы), гидрогеологический (широкое распространение слабофильтрующих лёссовых грунтов и лессовидных суглинков, способных ухудшать свои фильтрационные свойства под воздействием строительства и эксплуатации), техногенный (утечки из городских водонесущих коммуникаций, строительство подпорных стенок и набережных, перекрывающих выход грунтовых вод в естественные речные потоки; зарегулированность русел естественных дрен речек Каменка, Ельцовка-1 и др.).		
54.2022.0008	Сибирский	Новосибирская область	Коченёвский район, пгт. Коченёво	55,02067	82,20586	55,02067	82,20585	31.03.22	Не заверши-лась	Пт	Атм., гидрогеол., техн.	Отмечалось	В пгт. Коченёво Коченёвского района (пункт наблюдений Коченевский) с 31.03.2022 г. отмечалась активизация процесса подтопления. На преобладающей территории уровни залегали на глубине до 1-1,5 м (λ=0,86). Наиболее подтоплена западная (улицы Садовая, Фабричная, Трудовая, Аргунова, Толстого) и восточной (воинская часть, нефтебаза) части посёлка. Общая площадь подтопления – 9,123 км^2. Литологический состав представлен илистыми суглинками и глинами с невыдержанными прослоями супесей и тонко-мелкозернистых глинистых песков общей мощностью 15-35 м (saQ_{III}+ $saQ_{I-II}kd$). Факторы активизации – метеорологический (резкое потепление с 31 марта, недостаточное промерзание почвы - глубина его ниже нормы на 93 см, количество зимних осадков -108 % нормы); гидрогеологический (слабо фильтрующие и низко дренирующие грунты краснодубровской свиты, способные ухудшать свои фильтрационные свойства под воздействием строительства и эксплуатации зданий и сооружений), техногенный (насыпи существующих автодорог и под Транс-Сибирскую железнодорожную магистраль, проложенные поперёк естественного уклона к р. Камышинка, препятствуют поверхностному стоку талых и дождевых вод; засыпка естественных водоёмов, служивших местом сбора поверхностных вод с окружающей территории; отсутствие вертикальной планировки при строительстве посёлка, а также отсутствие систем дренажа и ливневой канализации).		

1	2	3	4	5	6	7	8	9	10	11	12	13	14	15	16
54.2022.009	Сибирский	Новосибирская область	Искитимский район, с. Лебедевка	54,66833	83,23149	54,66833	83,23148	31.03.22	Не заверши-лась	Пт	Атм., гидрогеол., техн.	Отмечалось	В с. Лебедевка Искитимского района (пункт наблюдений Лебедевский) с 31.03.2022 г. отмечалась активизация процесса подтопления. Уровни залегали на преобладающих глубинах 1-2 м, локально - 0,5-1 м (λ=0,5). По скважинам по улицам Мира и Ленина, расположенными рядом с дренами, глубина уровня составляла 1,73-2,23 м. Подтоплена территория площадью 0,174 км^2, примыкающая к ул. Ленина, Мира, Логовая, Спортивная, Строителей и Солнечная. Литологический состав представлен сверху пылеватыми лёссовидными суглинками от средних до тяжёлых, подстилаемыми с глубины 2,2-3,0 м горизонтом погребенной почвы, состоящим из переслаивающихся тугопластичных тяжелых суглинков и глин и являющимся водоупорным слоем мощностью до 2,5 м ($saQ_{III}+saQ_{I-II}kd$). Факторы активизации – метеорологический (резкое потепление с 31 марта, недостаточное промерзание почвы - глубина его промерзания ниже нормы на 58 см, количество зимних осадков -112 % нормы); гидрогеологический (слабо фильтрующие и низко дренирующие грунты краснодубровской свиты, подстилаемые с глубины 2,2-3,0 м горизонтом погребенной почвы, являющимся водоупором), техногенный (полив приусадебных участков, сброс бытовых вод, утечки из водопроводной сети; отсутствие вертикальной планировки села). С 2016 г. осушение ведётся с помощью дренажной системы; по огородам и улицам Мира, Ленина, Солнечная проложены 4 параллельных дрены на глубине 5-5,5 м. Отведение дренажных вод самотёком производится в р. Петушиха по полиэтиленовым трубопроводам с дебитами 0,99-1,62 м^3/час.		
54.2022.0010	Сибирский	Новосибирская область	Чистоозёрный район, пгт. Чистоозёрное	54,70735	76,58548	54,70735	76,58547	11.03.22	Не заверши-лась	Пт	Атм., гидрогеол., техн.	Отмечалось	В пгт. Чистоозёрное Чистоозёрного района (пункт наблюдений Чистоозёрненский) с 11.03.2022 г. отмечалась активизация процесса подтопления. На преобладающей территории уровни залегали на глубине 0,5-1,5 (λ=0,78). Подтоплены объекты жилой застройки на площади 3,03 км^2. Литологический состав представлен в кровле средними, реже лёгкими суглинками средней мощностью 2,1 м (saQ_{III}); ниже глинистыми тонкозернистыми песками средней мощностью 5,2 м (N_2cn). Факторы активизации - метеорологический (потепление с 27 марта, кратковременное - 6-7 марта, недостаточное промерзание почвы - глубина его ниже нормы на 4 см, высота снежного покрова -около нормы); гидрогеологический (весьма слабые фильтрационные свойства верхнечетвертичных субаэральных суглинков и глинистых песков чановской свиты, близкое залегание глинистого водоупора павлодарской свиты), техногенный (насыпи существующих автодорог, препятствующие поверхностному стоку талых и дождевых вод; утечка воды из водонесущих коммуникаций, канализационных ям; поливные воды зелёных насаждений и приусадебных участков).		

1	2	3	4	5	6	7	8	9	10	11	12	13	14	15	16
54.2022.0011	Сибирский	Новосибирская область	Купинский район, г. Купино	54,37912	77,31135	54,37912	77,31134	31.03.22	Не заверши-лась	Пт	Атм., гидрогеол., техн.	Отмечалось	В г. Купино Купинского района (пункт наблюдения Купинский) с 31.03.2022 г. отмечалась активизация подтопления. На преобладающей территории уровни залегали на глубине до 1-1,5 м (λ=0,7). Подтоплены объекты жилой застройки на площади около 4,7 км^2. Более всего подвержена подтоплению грунтовыми водами северная часть города (ул. 1-я Вокзальная, 2-я Вокзальная, 6-Путь, Мичурина, Бельского, Розы Люксембург) и территория вокруг озёр Садовое и Маховое. Литологический состав представлен в кровле эоловыми в основном лёгкими суглинками и супесями мощностью от 1 до 4,2 м при средней 2,1 м (vQ_{III}); ниже преобладающими лёгкими супесями, реже глинистыми тонкозернистыми песками общей мощностью 1,2-5,2 м при средней 3,3 м ($Q_{II-III}kr$). Факторы активизации метеорологический (резкое потепление с 27 марта, недостаточное промерзание почвы - глубина его промерзания ниже нормы на 26 см, количество зимних осадков – 110 % нормы); гидрогеологический (весьма слабые фильтрационные свойства верхнечетвертичных эоловых суглинков и глинистых песков карасуксой свиты, близкое залегание глинистого водоупора павлодарской свиты), техногенный (насыпи существующих автодорог, препятствующие поверхностному стоку талых и дождевых вод; утечка воды из водонесущих коммуникаций, канализационных ям; поливные воды зелёных насаждений и приусадебных участков).		
54.2022.0012	Сибирский	Новосибирская область	Ордынский район, в 2,2 км СВ с. Кирза	54,28183	81,69878	54,28183	81,69877	00.04.22	Не заверши-лась	ГР	Атм., гидрол.	Отмечалось	В 2,2 км СВ с. Кирза Ордынского района на береговом уступе Новосибирского вдхр. высотой 5-6 м на протяжении 0,395 км отмечалась активизация комплекса гравитационных процессов, выражавшаяся в осыпании, оползании грунта, образовании свежих стенок отрыва в виде глыб столбчатой структуры. У подножья уступа значительное скопление грунтовых масс. Наблюдаются трещины отрыва с шириной раскрытия до 10 см и видимой глубиной до 0,5 м, которые оконтуривают блоки площадью 3-5 м^2. Параметры проявления опасного ЭГП: длина 395 м; ширина 1 м, площадь 395 м². Берега сложены сухими лёссовидными супесями и суглинками третьей надпойменной террасы р. Оби (a^3Q_{III}). Разрушены земли лесного фонда площадью 0,000395 км^2. Фактор активизации – метеорологический (количество осадков в зимний период 2021-2022 гг. превысило норму на 24 %), гидрологический. Защитные мероприятия не проводятся.		
54.2022.0013	Сибирский	Новосибирская область	Ордынский район, в 0,9 км СВ с. Кирза	54,27411	81,68934	54,27411	81,68933	00.04.22	Не заверши-лась	ГР	Атм., гидрол.	Отмечалось	В 0,9 км СВ с. Кирза Ордынского района на береговом уступе Новосибирского вдхр. высотой 3-4 м на протяжении 0,86 км отмечалась активизация комплекса гравитационных процессов, выражавшаяся в осыпании, оползании грунта, образовании свежих стенок отрыва с шириной раскрытия до 10 см и видимой глубиной до 0,5 м, которые оконтуривают блоки площадью 3-5 м^2. Параметры проявления опасного ЭГП: длина 860 м; ширина 1 м, площадь 860 м². Берега сложены сухими лёссовидными супесями и суглинками третьей надпойменной террасы р. Оби (a^3Q_{III}). Разрушены земли лесного фонда площадью 0,000860 км^2. Фактор активизации – метеорологический (количество осадков в зимний период 2021-2022 гг. превысило норму на 24 %), гидрологический. Защитные мероприятия не проводятся.		

1	2	3	4	5	6	7	8	9	10	11	12	13	14	15	16
54.2022.0014	Сибирский	Новосибирская область	Ордынский район, в 0,7 км СВ с. Кирза	54,26964	81,68306	54,26964	81,68305	00.04.22	Не заверши-лась	Эо	Атм.	Отмечалось	В 0,7 км СВ с. Кирза Ордынского района, зафиксирована активизация процесса овражной эрозии, отмечалось увеличение параметров оврага по сравнению с 2017 г. по длине на 5,5 м, ширине в устье на 1,7 м. Параметры проявления опасного ЭГП: длина 14,5 м; средняя ширина 6 м, площадь 83 м², глубина 8-10 м. Геологический разрез представлен сухими лёссовидными супесями и суглинками третьей надпойменной террасы р. Оби (a^3Q_{III}). За год разрушение земель сельскохозяйственного назначения составляет 4,95 м². Фактор активизации – метеорологический (количество осадков в зимний период 2021-2022 гг. превысило норму на 24 %). Защитные мероприятия не проводятся.		
54.2022.0015	Сибирский	Новосибирская область	Ордынский район, в 0,2 км СВ с. Кирза	54,26642	81,68168	54,26642	81,68167	00.04.22	Не заверши-лась	ГР	Атм., гидрол.	Отмечалось	В 0,2 км СВ с. Кирза Ордынского района на береговом уступе Новосибирского вдхр. высотой 4-6 м на протяжении 0,41 км отмечалась активизация гравитационного процесса, выражавшаяся в осыпании, оползании грунта, образовании свежих стенок отрыва. Параметры проявления опасного ЭГП: длина 410 м; ширина 1 м, площадь 410 м². Берега сложены сухими лёссовидными супесями и суглинками третьей надпойменной террасы р. Оби (a^3Q_{III}). Разрушены земли сельскохозяйственного назначения площадью 0,00041 км². Фактор активизации – метеорологический (количество осадков в зимний период 2021-2022 гг. превысило норму на 24 %), гидрологический. Защитные мероприятия не проводятся.		
54.2022.0016	Сибирский	Новосибирская область	Ордынский район, в 0,1 км С с. Кирза	54,26573	81,67612	54,26573	81,67611	00.04.22	Не заверши-лась	Эо	Атм.	Отмечалось	В 0,1 км С с. Кирза Ордынского района, зафиксировано увеличение параметров оврага по сравнению с 2017 г. по длине на 5 м, ширине у вершины на 3 м. Параметры проявления опасного ЭГП: длина 145 м; средняя ширина 10,5 м, площадь 1523 м², глубина 6-7 м. Геологический разрез представлен сухими лёссовидными супесями и суглинками третьей надпойменной террасы р. Оби (a^3Q_{III}). Разрушение земель сельскохозяйственного назначения в год составил 6 м². Фактор активизации – метеорологический (количество осадков в зимний период 2021-2022 гг. превысило норму на 24 %). Защитные мероприятия не проводятся.		
54.2022.0017	Сибирский	Новосибирская область	Ордынский район, в 0,095 км СЗ с. Кирза	54,26456	81,67232	54,26456	81,67231	00.04.22	Не заверши-лась	Эо	Атм.	Отмечалось	В 0,095 км СЗ с. Кирза Ордынского района, отмечалась активизация процесса овражной эрозии, зафиксировано продвижение вершинной части оврага вверх по ложбинам стока; обрушение его бортов в привершинной части. Борта обваливаются, наблюдаются трещины отрыва с шириной раскрытия до 10-25 см и размером 1,5×3-5 м. Прирост оврага за 5 лет составил 18,3 м или в среднем 3,66 м/год. Параметры проявления опасного ЭГП: длина 163,3 м; средняя ширина 11 м, площадь 2152 м², глубина 6-7 м. Геологический разрез представлен сухими лёссовидными супесями и суглинками третьей надпойменной террасы р. Оби (a^3Q_{III}). Разрушение земель сельскохозяйственного назначения в год составил 27,5 м². Фактор активизации – метеорологический (количество осадков в зимний период 2021-2022 гг. превысило норму на 24 %). Защитные мероприятия не проводятся.		
55.2022.0001	Сибирский	Омская область	Горьковский район, СЗ д. Исаковка	55,74656	74,40656	55,74656	74,40655	00.04.22	Не заверши-лась	Эо	Атм.	Не отмечалось	СЗ д. Исаковка Горьковского района (пункт наблюдений Омский) с апреля 2022 г. отмечена активизация овражной эрозии на овраге №3-5. Зафиксировано обрушение грунта в вершине и боковом откосе оврага. Литологический состав пород представлен супесями, суглинками, глинами. Фактор активизации – метеорологический (количество атмосферных осадков).		

1	2	3	4	5	6	7	8	9	10	11	12	13	14	15	16
55.2022.0002	Сибирский	Омская область	Горьковский район, в 0,18 км СЗ д. Исаковка	55,74822	74,40681	55,74822	74,40680	00.04.22	Не заверши-лась	Эо	Атм.	Не отмечалось	В 0,18 км СЗ д. Исаковка Горьковского района (пункт наблюдений Омский) с апреля 2022 г. отмечена активизация овражной эрозии на овраге №3-6. Зафиксировано обрушение грунта в вершине и боковом откосе оврага. Литологический состав пород представлен супесями, суглинками, глинами, алевритами. Фактор активизации – метеорологический (количество атмосферных осадков).		
55.2022.0003	Сибирский	Омская область	Горьковский район, в 0,52 км З д. Исаковка	55,74469	74,39914	55,74460	74,39913	00.04.22	Не заверши-лась	Эо	Атм.	Не отмечалось	В 0,52 км З д. Исаковка Горьковского района (пункт наблюдений Омский) с апреля 2022 г. отмечена активизация овражной эрозии на овраге №3-7. Зафиксированы обрушения грунта по всему оврагу. Литологический состав пород представлен супесями, суглинками, глинами, алевритами. Фактор активизации – метеорологический (количество атмосферных осадков).		
55.2022.0004	Сибирский	Омская область	Горьковский район, в 0,9 км З д. Исаковка	55,74192	74,39942	55,74192	74,39942	00.04.22	Не заверши-лась	Эо	Атм.	Не отмечалось	В 0,9 км З д. Исаковка Горьковского района (пункт наблюдений Омский) с апреля 2022 г. отмечена активизация овражной эрозии на овраге №3-9. Зафиксировано обрушение грунта в вершине оврага. Литологический состав пород представлен супесями, суглинками. Фактор активизации – метеорологический (количество атмосферных осадков).		
55.2022.0005	Сибирский	Омская область	Горьковский район, в 0,97 км З д. Исаковка	55,74225	74,39532	55,74225	74,39531	00.04.22	Не заверши-лась	Эо	Атм.	Не отмечалось	В 0,97 км З д. Исаковка Горьковского района (пункт наблюдений Омский) с апреля 2022 г. отмечена активизация овражной эрозии на овраге №3-10. Литологический состав пород представлен супесями, суглинками, глинами. Фактор активизации – метеорологический (количество атмосферных осадков).		
55.2022.0006	Сибирский	Омская область	Горьковский район, в 0,7 км З д. Исаковка	55,74280	74,39783	55,74280	74,39782	00.04.22	Не заверши-лась	Эо	Атм.	Не отмечалось	В 0,7 км З д. Исаковка Горьковского района (пункт наблюдений Омский) с апреля 2022 г. отмечена активизация овражной эрозии на овраге №3-11. Зафиксированы обрушения грунта по всему оврагу. Литологический состав пород представлен супесями, глинами. Фактор активизации – метеорологический (количество атмосферных осадков).		
55.2022.0007	Сибирский	Омская область	Горьковский район, в 0,4 км З д. Исаковка	55,74510	74,40090	55,74510	74,40089	00.04.22	Не заверши-лась	Эо	Атм.	Не отмечалось	В 0,4 км З д. Исаковка Горьковского района (пункт наблюдений Омский) с апреля 2022 г. отмечена активизация овражной эрозии на овраге №3-12. Зафиксированы обрушения грунта по всему оврагу. Литологический состав пород представлен супесями, суглинками, глинами. Фактор активизации – метеорологический (количество атмосферных осадков).		

1	2	3	4	5	6	7	8	9	10	11	12	13	14	15	16
55.2022.0008	Сибирский	Омская область	Горьковский район, д. Исаковка	55,74950	74,41381	55,74950	74,41380	00.04.22	Не заверши-лась	Эо	Атм.	Не отмечалось	В д. Исаковка Горьковского района (пункт наблюдений Омский) с апреля 2022 г. отмечена активизация овражной эрозии на овраге №3-13. Зафиксировано обрушение грунта в боковом откосе оврага. Литологический состав пород представлен суглинками, глинами, алевритами. Фактор активизации – метеорологический (количество атмосферных осадков).		
55.2022.0009	Сибирский	Омская область	Горьковский район, в 2,4 км СВ с. Лежанка	55,48494	73,46517	55,48494	73,46516	00.04.22	Не заверши-лась	Эо	Атм.	Не отмечалось	В 2,4 км СВ с. Лежанка Горьковского района (пункт наблюдений Горьковский) с апреля 2022 г. отмечена активизация овражной эрозии. Овраг №2-2 в плане имеет вытянутую конусообразную форму, V-образное ложе. Литологический состав пород представлен супесями, суглинками, глинами, песками. Фактор активизации – метеорологический (количество атмосферных осадков).		
55.2022.0010	Сибирский	Омская область	Горьковский район, в 3,3 км СВ с. Лежанка	55,49361	73,46264	55,49361	73,46263	00.04.22	Не заверши-лась	Эо	Атм.	Не отмечалось	В 3,3 км СВ с. Лежанка Горьковского района (пункт наблюдений Горьковский) с апреля 2022 г. отмечена активизация овражной эрозии. Овраг №2-3 в плане имеет вытянутую конусообразную форму, V-образное ложе. Литологический состав пород представлен супесями, суглинками, глинами, песками. Фактор активизации – метеорологический (количество атмосферных осадков).		
55.2022.0011	Сибирский	Омская область	Горьковский район, в 3,6 км СВ с. Лежанка	55,49717	73,46656	55,49717	73,46655	00.04.22	Не заверши-лась	Эо	Атм.	Не отмечалось	В 3,6 км СВ с. Лежанка Горьковского района (пункт наблюдений Горьковский) с апреля 2022 г. отмечена активизация овражной эрозии. Овраг №2-4 в плане имеет вытянутую конусообразную форму, V-образное ложе. Литологический состав пород представлен супесями, суглинками, глинами, песками. Фактор активизации – метеорологический (количество атмосферных осадков).	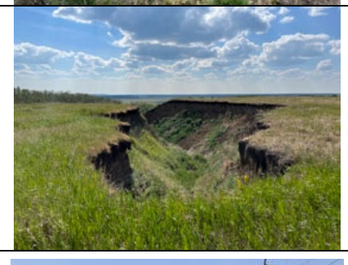	
55.2022.0012	Сибирский	Омская область	Называевский район, г. Называевск	55,56385	71,35598	55,56385	71,35598	00.04.22	Не заверши-лась	Пт	Гидрогеол., техн.	Отмечалось	В г. Называевск Называевского района (пункт наблюдений Называевский) с апреля 2022 г. отмечалась активизация процесса подтопления. Площадь подтопления 1,63 км^2. Литологический состав пород представлен глинами. Факторы активизации: гидрогеологический (залегание плотных неогеновых глин вблизи поверхности земли), техногенный (дорожные насыпи и железнодорожное полотно, нарушающие естественный сток). Уровень залегания грунтовых вод в наблюдательных скважинах в II квартале 2022 г. изменялся от 0,3 до 2,5 м. Для понижения уровня грунтовых вод рекомендуется восстановление дренажных систем.		
55.2022.0013	Сибирский	Омская область	Павлоградский район, пгт. Павлоградка	54,20279	73,57092	54,20279	73,57092	00.04.22	Не заверши-лась	Пт	Гидрогеол., техн.	Отмечалось	В пгт. Павлоградка Павлоградского района (пункт наблюдений Павлоградский) с апреля 2022 г. отмечалась активизация процесса подтопления. Площадь подтопления 0,019 км^2. Приусадебные участки на ул. Северная, Пролетарская, Ленина, Советская подтоплены. Литологический состав пород представлен суглинками, глинами. Факторы активизации: гидрогеологический (залегание плотных неогеновых глин вблизи поверхности земли), техногенный (дорожные насыпи, нарушающие естественный сток).		

1	2	3	4	5	6	7	8	9	10	11	12	13	14	15	16
55.2022.0014	Сибирский	Омская область	Марьяновский район, р.п. Марьяновка	54,95902	72,63881	54,95902	72,63881	00.04.22	Не заверши-лась	Пт	Атм., техн.	Отмечалось	В р.п. Марьяновка Марьяновского района с апреля 2022 г. отмечалась активизация процесса подтопления. Площадь подтопления 0,21 км^2. Приусадебные участки на ул. Северная, Омская, Кононцева, Южная подтоплены. Литологический состав пород представлен лессовыми суглинками, супесями, песками, глинами. Факторы активизации: метеорологический (интенсивное снеготаяние), техногенный (дорожные насыпи и железнодорожное полотно, нарушающие естественный сток).		
55.2022.0015	Сибирский	Омская область	Москаленский район, р.п. Москаленки	54,93030	71,93712	54,93030	71,93712	00.04.22	Не заверши-лась	Пт	Атм., техн.	Отмечалось	В р.п. Москаленки Москаленского района с апреля 2022 г. отмечалась активизация процесса подтопления. Площадь подтопления 1,02 км^2. Приусадебные участки на ул. Пушкина, Комсомольская подтоплены. Литологический состав пород представлен суглинками, глинами, супесями, песками. Факторы активизации: метеорологический (интенсивное снеготаяние), техногенный (укладка газопроводов, водопроводов, нарушающая естественный сток). Дренажная система организована, местами не в рабочем состоянии.		
70.2022.0001	Сибирский	Томская область	Зырянский район, с. Зырянское	56,83222	86,60667	56,83222	86,60666	00.04.22	Не заверши-лась	ГР	Атм., гидрол.	Отмечалось	В с. Зырянское Зырянского района (пункт наблюдений Зырянское) с апреля 2022 г. отмечалась активизация комплекса гравитационных процессов. Процесс в стадии развития. Базис развития – бечевник р. Чулым. Морфологические показатели: длина участка разрушения – 0,7 км, высота – 8-12 м. Отложения 2-ой надпойменной террасы р. Чулым представлены переслаиванием песчано-глинистых пород. Возраст проявления – четвертичный, активизация в бесснежный период (апрель-октябрь). Активность процессов снизилась с высокой до средней, на поверхности склона – следы свежих обрушений, на локальных участках – трещины растяжения и сброса длиной от 5,5 до 10,5 м. Величина разрушения уступа от 0,1 до 4,9 м, при среднем значении 1,56 м. Факторы активизации: метеорологический, гидрологический. Под угрозой разрушения дом по ул. Дзержинского, 20, расстояние до бровки уступа 5-10 см, отмечено разрушение огородов по ул. Лазо, 4, 6, 8, 10, 14.		
70.2022.0002	Сибирский	Томская область	Зырянский район, с. Красноярка	56,82100	86,84158	56,82100	86,84157	00.04.22	Не заверши-лась	ГР	Атм., гидрол.	Отмечалось	В с. Красноярка Зырянского района (пункт наблюдений Красноярка) с апреля 2022 г. отмечалась активизация комплекса гравитационных процессов. Процесс в стадии развития. Базис развития – бечевник р. Кия. Морфологические показатели: длина участка разрушения – 0,9 км, высота – 10-12 м. Отложения 2-ой надпойменной террасы р. Кия представлены переслаиванием песчано-глинистых пород. Возраст проявления – четвертичный, активизация в бесснежный период (апрель-октябрь). Активность процессов средняя, на поверхности склона – следы свежих обрушений. Величина разрушения уступа от 0,1 до 4,98 м при среднем значении 1,92 м. Факторы активизации: метеорологический, гидрологический. Перенесены опоры ЛЭП длиной 80 м.		

1	2	3	4	5	6	7	8	9	10	11	12	13	14	15	16
70.2022.0003	Сибирский	Томская область	Зырянский район, с. Чердаты	56,94789	86,92350	56,94789	86,92348	00.04.22	Не заверши-лась	ГР	Атм., гидрол.	Не отмечалось	В с. Чердаты Зырянского района (пункт наблюдений Чердаты) с апреля 2022 г. отмечалась активизация гравитационного процесса. Процесс в стадии развития. Базис развития – бечевник р. Чулым. Морфологические показатели: длина участка разрушения – 0,3 км, высота – 15-18 м. Отложения 2-ой надпойменной террасы р. Чулым представлены переслаиванием песчано-глинистых пород. Возраст проявления – четвертичный, активизация в бесснежный период (апрель-октябрь). Активность процессов снизилась с высокой до средней, на поверхности склона следы свежих обрушений. Бровка склона относительно ровная, без видимых осложнений. Величина разрушения уступа от 0,2 до 2,95 м при средних значениях 1,49 м. Факторы активизации: метеорологический, гидрологический. Негативное воздействие отсутствует.		
70.2022.0004	Сибирский	Томская область	Первомайский район, с. Первомайское	57,06306	86,22778	57,06306	86,22777	00.04.22	Не заверши-лась	ГР	Атм., гидрол.	Не отмечалось	В с. Первомайское Первомайского района (пункт наблюдений Первомайское) с апреля 2022 г. отмечалась активизация комплекса гравитационных процессов. Процесс в стадии развития. Базис развития – бечевник р. Чулым. Морфологические показатели: длина участка разрушения– 0,5 км, высота – до 22 м. Отложения 2-ой надпойменной террасы р. Чулым представлены переслаиванием песчано-глинистых пород. Возраст проявления – четвертичный, активизация в бесснежный период (апрель-октябрь). Активность процессов высокая, на поверхности склона – следы свежих обрушений. Величина разрушения уступа от 0,7 до 9,8 м, при средних значениях 4,22 м. Факторы активизации: метеорологический, гидрологический. Негативное воздействие отсутствует.		
70.2022.0005	Сибирский	Томская область	Первомайский район, с. Городок	56,91831	86,64750	56,91831	86,64749	00.04.22	Не заверши-лась	ГР	Атм., гидрол.	Не отмечалось	В с. Городок Первомайского района (пункт наблюдений Городок) с апреля 2022 г. отмечалась активизация компелкса гравитационных процессов. Процесс в стадии развития. Базис развития – бечевник р. Чулым. Морфологические показатели: длина участка разрушения – 0,8 км, высота – 20-22 м. Отложения 2-ой надпойменной террасы р. Чулым представлены переслаиванием песчано-глинистых пород. Возраст проявления – четвертичный, активизация в бесснежный период (апрель-октябрь). Активность процессов высокая, на поверхности склона – следы свежих обрушений. Величина разрушения уступа – от 0,1 до 9,5 м, при средних значениях 3,57 м. Факторы активизации: метеорологический, гидрологический. Негативное воздействие отсутствует.		
70.2022.0006	Сибирский	Томская область	Первомайский район, с. Комсомольск	57,40889	86,01444	57,40889	86,01443	00.04.22	Не заверши-лась	ГР	Атм., гидрол.	Не отмечалось	В с. Комсомольск Первомайского района (пункт наблюдений Комсомольск) с апреля 2022 г. отмечалась активизация комплекса гравитационных процессов. Процесс в стадии развития. Базис развития – бечевник р. Чулым. Морфологические показатели: длина участка разрушения – 0,4 км, высота – 12-14 м. Отложения 2-ой надпойменной террасы р. Чулым представлены переслаиванием песчано-глинистых пород. Возраст проявления – четвертичный, активизация в бесснежный период (апрель-октябрь). Активность процессов средняя, на поверхности склона следы свежих обрушений. Величина разрушения уступа от 0,1 до 1,98 м, при средних значениях 1,01 м. Факторы активизации: метеорологический, гидрологический. Негативное воздействие отсутствует.		

1	2	3	4	5	6	7	8	9	10	11	12	13	14	15	16
70.2022.0007	Сибирский	Томская область	Первомайский район, с. Комсомольск	57,41535	86,01645	57,41535	86,01644	00.04.22	Не заверши-лась	Эо	Атм.	Не отмечалось	В с. Комсомольск Первомайского района (пункт наблюдений Комсомольск) с апреля 2022 г. отмечалась активизация процесса овражной эрозии. Процесс в стадии развития. Базис развития – бечевник р. Чулым. Отложения 2-ой надпойменной террасы р. Чулым представлены переслаиванием песчано-глинистых пород. Возраст проявления – четвертичный, активизация в бесснежный период (апрель-октябрь). Активность процесса средняя, в бортах оврага следы свежих обрушений. Длина оврага увеличилась с 18,0 до 21,0 м, ширина в вершине до 7,5 м. Тальвег оврага достиг уреза р. Чулым. Фактор активизации: метеорологический. Негативное воздействие отсутствует.		
70.2022.0008	Сибирский	Томская область	Первомайский район, с. Комсомольск	57,41504	86,01627	57,41504	86,01626	00.04.22	Не заверши-лась	Эо	Атм.	Не отмечалось	В с. Комсомольск Первомайского района (пункт наблюдений Комсомольск) с апреля 2022 г. отмечалась активизация процесса овражной эрозии. Процесс в стадии развития. Базис развития – бечевник р. Чулым. Отложения 2-ой надпойменной террасы р. Чулым представлены переслаиванием песчано-глинистых пород. Возраст проявления – четвертичный, активизация в бесснежный период (апрель-октябрь). Активность процессов высокая, в бортах оврага следы свежих обрушений. Длина оврага увеличилась с 24,0 до 30,0 м, в вершине сформировалось 2 отвершка. Тальвег оврага достиг уреза р. Чулым. Фактор активизации: метеорологический. Негативное воздействие отсутствует.		
70.2022.0009	Сибирский	Томская область	Первомайский район, с. Альмяково	57,61389	85,69111	57,61389	85,69110	00.04.22	Не заверши-лась	ГР	Атм., гидрол.	Не отмечалось	В с. Альмяково Первомайского района (пункт наблюдений Альмяково) с апреля 2022 г. отмечалась активизация комплекса гравитационных процессов. Процесс в стадии развития. Базис развития – бечевник р. Чулым. Морфологические показатели: длина участка разрушения – 1,15 км, высота – 22-24 м. Отложения 2-ой надпойменной террасы р. Чулым представлены переслаиванием песчано-глинистых пород. Возраст проявления – четвертичный, активизация в бесснежный период (апрель-октябрь). Активность процессов средняя, на поверхности склона – следы свежих обрушений. Величина разрушения уступа от 0,0 до 2,0 м, при средних значениях 0,48 м. Факторы активизации: метеорологический, гидрологический. Негативное воздействие отсутствует.		
70.2022.0010	Сибирский	Томская область	Томский район, с. Калтай	56,27550	84,88900	56,27550	84,88899	00.04.22	Не заверши-лась	ГР	Атм., гидрол.	Не отмечалось	В с. Калтай Томского района (пункт наблюдений Калтай) с апреля 2022 г. отмечалась активизация комплекса гравитационных процессов. Процесс в стадии развития. Базис развития – бечевник р. Томь (пр. Панькова). Морфологические показатели: длина участка разрушения– 0,9 км, высота – 26-34 м. Отложения 3-ей надпойменной террасы р. Томь представлены переслаиванием песчано-глинистых пород. Возраст проявления – четвертичный, активизация в бесснежный период (апрель-октябрь). Активность процессов средняя, на поверхности склона следы свежих обрушений. Величина разрушения уступа – от 0,1 до 3,8 м, при средних значениях 0,41 м. Факторы активизации: метеорологический, гидрологический. Негативное воздействие отсутствует.		

1	2	3	4	5	6	7	8	9	10	11	12	13	14	15	16
70.2022.0011	Сибирский	Томская область	Каргасокский район, с. Каргасок	59,03681	80,88458	59,03703	80,88456	00.05.22	Не заверши-лась	ГР	Атм., гидрол.	Отмечалось	В с. Каргасок Каргасокского района (пункт наблюдений Каргасок (пр. Панигадка)) с мая 2022 г. отмечалась активизация комплекса гравитационных процессов. Процесс в стадии развития. Базис развития – бечевник пр. Панигадка. Морфологические показатели: длина склона – 0,8 км, высота – 14-16 м. Отложения 2 надпойменной террасы пр. Панигадка представлены переслаиванием песчано-глинистых пород. Возраст проявления – четвертичный, активизация в бесснежный период (апрель-октябрь). Активность процессов средняя, на поверхности склона следы свежих обрушений. На локальных участках развиты трещины отрыва длиной от 5,5 до 9,0 м, ширина формирующихся блоков – до 1,5 м. Величина разрушения склона – от 0,1 до 1,21 м, при средних значениях 0,41 м. Факторы активизации: метеорологический, гидрологический. Разрушен участок дороги по ул. Центральная длиной 40 м.		
70.2022.0012	Сибирский	Томская область	Каргасокский район, п. Б. Грива	58,92531	80,23681	58,92531	80,23680	00.05.22	Не заверши-лась	ГР	Атм., гидрол.	Не отмечалось	В п. Б. Грива Каргасокского района (пункт наблюдений Б. Грива) с мая 2022 г. отмечалась активизация комплекса гравитационных процессов. Процесс в стадии развития. Базис развития – бечевник р. Васюган. Морфологические показатели: длина склона – 0,8 км, высота – 18,0-20,0 м. Отложения 2 надпойменной террасы р. Васюган представлены переслаиванием песчано-глинистых пород. Возраст проявления – четвертичный, активизация в бесснежный период (апрель-октябрь). Активность процессов средняя, на поверхности склона следы свежих обрушений. Величина разрушения склона от 0,1 до 1,96 м, при средних значениях 0,73 м. Факторы активизации: метеорологический, гидрологический. Негативное воздействие отсутствует.		
70.2022.0013	Сибирский	Томская область	Каргасокский район, п. Б. Грива	58,92555	80,23707	58,92555	80,23706	00.05.22	Не заверши-лась	Эо	Атм.	Не отмечалось	В п. Б. Грива Каргасокского района (пункт наблюдений Б. Грива) с мая 2022 г. отмечалась активизация процесса овражной эрозии. Процесс в стадии развития. Базис развития – бечевник р. Васюган. Отложения 2 надпойменной террасы р. Васюган представлены переслаиванием песчано-глинистых пород. Возраст проявления – четвертичный, активизация в бесснежный период (апрель-октябрь). Сформировался новый овраг длиной 15,0 м по левому борту и 4,5 м по правому борту. Ширина оврага в устье 6,5 м, глубина вреза от 1,5 до 3,5 м. Фактор активизации: метеорологический. Негативное воздействие отсутствует.		
70.2022.0014	Сибирский	Томская область	Чаинский район, с. Подгорное	57,79533	82,64708	57,79533	82,64707	00.05.22	Не заверши-лась	ГР	Атм., гидрол.	Не отмечалось	В с. Подгорное Чаинского района (пункт наблюдений Подгорное) с мая 2022 г. отмечалась активизация комплекса гравитационных процессов. Процесс в стадии развития. Базис развития – бечевник р. Чая. Морфологические показатели: длина уступа – 0,2 км, высота – до 12,0 м. Отложения 2 надпойменной террасы р. Чая представлены переслаиванием песчано-глинистых пород. Возраст проявления – четвертичный, активизация в бесснежный период (апрель-октябрь). Активность процессов средняя, на поверхности склона следы свежих обрушений. Бровка склона относительно ровная, без видимых осложнений. Величина разрушения склона до 1,44 м, при средних значениях 0,64 м. Факторы активизации: метеорологический, гидрологический. Негативное воздействие отсутствует.		

1	2	3	4	5	6	7	8	9	10	11	12	13	14	15	16
03.2022.0001	Дальневосточный	Республика Бурятия	Тарбагатайский район, с. Десятниково	51,42337	107,43972	51,42337	107,43971	00.06.22	Не заверши-лась	Эо	Атм.	Не отмечалось	В с. Десятниково Тарбагатайского района (пункт наблюдений с. Десятиково) с июня 2022 г. отмечена активизация процесса овражной эрозии. Овраг развивается в сторону с/х угодий. Длина оврага 290 м, ширина оврага в среднем составляет 15 м, глубина оврага – 4-10 м, блоки обвалившегося грунта шириной 0,8 м, длиной до 14 м. Базис развития - р. Тарбагатайка. Литологический состав пород представлен супесями, суглинками, мелкозернистыми песками. Фактор активизации: метеорологический (атмосферные осадки). Мероприятия инженерной защиты не проводятся. Негативное воздействие отсутствует.		
03.2022 .0002	Дальневосточный	Республика Бурятия	Тарбагатайский район, с. Десятниково	51,42576	107,44972	51,42576	107,44971	00.06.22	Не заверши-лась	Эо	Атм.	Не отмечалось	В с. Десятниково Тарбагатайского района (пункт наблюдений с. Десятиково) с июня 2022 г. отмечена активизация процесса овражной эрозии. Овраг развивается в сторону с/х угодий. Длина оврага 1210 м, ширина 32 м, глубина 10-12 м. Вершина оврага представляет крутые боковые откосы. В средней части оврага наблюдаются трещины, разрушение боковых откосов, видны свежие обвалы грунта. В вершине оврага развивается отвершек справа длиной 143 м. Базис развития - р. Тарбагатайка. Литологический состав пород представлен супесями, суглинками, мелкозернистыми песками. Фактор активизации: метеорологический (атмосферные осадки). Мероприятия инженерной защиты не проводятся. Негативное воздействие отсутствует.		
03.2022.0003	Дальневосточный	Республика Бурятия	Тарбагатайский район, с. Десятниково	51,42347	107,45344	51,42347	107,45343	00.06.22	Не заверши-лась	Эо	Атм.	Не отмечалось	В с. Десятниково Тарбагатайского района (пункт наблюдений с. Десятиково) с июня 2022 г. отмечена активизация процесса овражной эрозии. Овраг № 3 развивается в сторону с/х угодий. Длина оврага 550 м, ширина 16 м, глубина 3-8 м. В районе вершины оврага фиксируется несколько отвершков, заросших травой и кустарником. Наиболее активно процессы овражной эрозии выражены в средней части оврага – видны свежие обвалы грунта. Базис развития - р. Тарбагатайка. Литологический состав пород представлен супесями, суглинками, мелкозернистыми песками. Фактор активизации: метеорологический (атмосферные осадки). Мероприятия инженерной защиты не проводятся. Негативное воздействие отсутствует.		
03.2022.0004	Дальневосточный	Республика Бурятия	г. Улан-Удэ, п. Аршан, ул. Аршанская, Шевченко	51,86571	107,66130	51,86571	107,66129	00.06.22	Не заверши-лась	Эо	Атм.	Не отмечалось	По ул. Аршанская, Шевченко в п. Аршан г. Улан-Удэ (пункт наблюдений п. Аршан) с июня 2022 г. отмечена активизация процесса овражной эрозии. Длина оврага 2152 м, ширина от 6 до 30 м, глубина в среднем 8 м. Овраг засыпан на двух участках – от устья до пересечения с ул. Вакарина (песком и бытовым мусором) и напротив приусадебного участка по ул. Аршанская, 86 (песком). Общая протяженность засыпанных участков около 530 м. На остальной части оврага по его бортам наблюдаются свежие блоки обвалившихся пород и осыпи. Базис развития – тальвег оврага. Литологический состав пород представлен средне-мелкозернистыми песками, супесями. Фактор активизации: метеорологический (атмосферные осадки). Негативное воздействие отсутствует.		

1	2	3	4	5	6	7	8	9	10	11	12	13	14	15	16
25.2022. 0001	Дальневосточный	Приморский край	Хасанский район, с. Кравцовка	43,357227	131,657247	43,357227	131,657249	00.04.22	01.06.22	Оп	Техн., атм.	Не отмечалось	В Хасанском районе, с. Кравцовка, пункт наблюдения «Кравцовский» отмечалась активизация оползнего процесса, период активизации – июнь 2022 г, оползень в стадии развития; базис развития – левый берег р. Грязная; морфометрические показатели: длина - 97,0 м; ширина – 111,0 м; площадь – 10767 м^2; мощность - 4.0 м; объём – 43068 м^3; оползень сложен суглинками с включениями кусков базальтов, галечника верхнечетвертичного-современного возраста (dc Q_{III-IV}); оползень современный, блокового типа, имеет террасовидную поверхность с многочисленными стенками и трещинами отрыва. Активность процесса повышается в апреле-мае при снеготаянии и выпадении атмосферных осадков. В период повышенной активности возможна активизация эрозионных процессов, реже возможны сели. Негативного воздействия на автодорогу не отмечалось. Защитные сооружения – отсутствуют. Информация о материальном ущербе, пострадавших людях отсутствует, режим ЧС не объявлялся.		
25.2022. 0002	Дальневосточный	Приморский край	Шкотовский район, пгт. Шкотово	43,34785	132,446051	43,34785	132,446053	00.04.22	26.05.22	Оп	Техн., атм.	Не отмечалось	В Шкотовском районе, пгт. Шкотово отмечалась активизация оползневого процесса. Период активизации – май 2022 г, процесс в стадии развития; базис развития – правый берег р. Шкотовка; морфометрические показатели: длина – 5,0 м, ширина – 145,0 м, площадь – 725,0 м^2, мощность – 1,2 м, объём – 870 м^3; оползень сложен суглинками с включениями кусков базальтов, гравия, гальки dc QIII-IV; плиоценовые отложения суйфунской (sf) и шуфанской (šf) свит (N_2); оползень современный, блокового типа, имеет террасовидную поверхность с многочисленными трещинами отрыва. Активность процесса повышается в апреле-мае при активном снеготаянии, выпадении атмосферных осадков и повышения температуры воздуха. В период повышенной активности возможна активизация эрозионных процессов, реже возможны сели. Негативного воздействия на автодорогу не отмечалось. Защитные сооружения – отсутствуют. Информация о материальном ущербе, пострадавших людях отсутствует, режим ЧС не объявлялся.		
25.2022. 0003	Дальневосточный	Приморский край	Ольгинский район с. Горноводное	43,675839	134,715561	43,675839	134,715563	00.04.22	25.05.22	Ос	Техн., атм.	Не отмечалось	В Ольгинском районе, с. Горноводное на пункте наблюдения «Горноводный» отмечалась активизация осыпного процесса. Период активизации – май 2022 г, осыпной процесс в стадии развития; базис развития – левый берег р. Солонцовая; морфометрические показатели: длина – 33 м, ширина – 89 м, площадь – 2937,0 м^2, мощность – 1,5 м, объём – 4405,5 м^3. Осыпной шлейф представлен щебнем андезитов, андезитобазальтов, туффитов Верхнемеловые эффузивно-метаморфические образования самаргинской свиты (K_2sm); Активность процесса повышается в апреле-мае при снеготаянии и выпадении большого объема атмосферных осадков. Негативного воздействия на автодорогу не отмечалось. Защитные сооружения – отсутствуют. Информация о материальном ущербе, пострадавших людях отсутствует, режим ЧС не объявлялся.		

1	2	3	4	5	6	7	8	9	10	11	12	13	14	15	16
25.2022. 0004	Дальневосточный	Приморский край	Уссурийский городской округ, г. Уссурийск	43,76100	132,08286	43,76100	132,08286	00.04.21	23.05.22	Оп	Техн., атм., гидрогеол.	Не отмечалось	В Уссурийском городском округе, г. Уссурийск на пункте наблюдения «Уссурийский» отмечалась активизация оползневого процесса. Период активизации – май 2022 г, оползень в стадии развития; базис развития – левый берег р. Глуховка; морфометрические показатели: длина - 60,0 м; ширина – 214,0 м; площадь – 12840,0 м^2; мощность -3,5 м; объём - 44940 м^3; оползень сложен суглинками, глинами слаболитифицированными, алевролитами, лигнитами верхнего миоцена усть-суйфунской свиты (N_1^3us); оползень современный, блокового типа, имеет террасовидную поверхность с стеной и трещинами отрыва. Активность процесса повышается в апреле-мае при снеготаянии, выпадении атмосферных осадков и повышении температуры воздуха, июле-августе при выпадении большого объема атмосферных осадков. В период повышенной активности возможна активизация эрозионных процессов. Негативное воздействия на автодорогу проявляется в виде заполнения кювета грунтом. Защитные сооружения – отсутствуют. Информация о материальном ущербе, пострадавших людях отсутствует, режим ЧС не объявлялся.		
25.2022. 0005	Дальневосточный	Приморский край	Надеждинский район, п. Раздольное	43,597361	131,98236	43,597361	131,982363	00.04.21	23.05.22	Оп	Гидрогеол., техн., атм.	Не отмечалось	В Надеждинском районе, п. Раздольное на пункте наблюдения «Раздольненский 2» отмечалась активизация оползневого процесса. Период активизации - май 2022 г, оползень в стадии развития; базис развития – автодорога; морфометрические показатели: длина - 52,0 м; ширина – 355,0 м; площадь – 18460,0 м^2; мощность - 4,5 м; объём - 83070,0 м^3; оползень сложен глинами, суглинками с включениями обломков разной величины серых базальтов и других литологических разностей техногенного происхождения верхнего миоцена усть-суйфунской свиты (N_1^3us); оползень современный, блокового типа, имеет террасовидную поверхность с стеной (h-3,5-4,0 м) и трещинами отрыва. Активность процесса повышается в апреле-мае в период снеготаяния, выпадения дождей и повышения температуры воздуха, июле-августе при выпадении большого объема атмосферных осадков. В период повышенной активности возможна активизация эрозионных процессов. Негативного воздействия на автодорогу не отмечалось. Защитные сооружения – отсутствуют. Информация о материальном ущербе, пострадавших людях отсутствует, режим ЧС не объявлялся.		
25.2022. 0006	Дальневосточный	Приморский край	Уссурийский городской округ, г. Уссурийск	43,64007	132,00158	43,64008	132,00158	00.05.22	23.05.22	Оп	Техн., атм.	Не отмечалось	В Уссурийском городском округе, г. Уссурийск на участке 681,1 км автодороги А-370 «Уссури» отмечалась активизация оползневого процесса. Период активизации - май 2022 г, оползень в стадии развития; базис развития – р. Боёвка; морфометрические показатели: длина - 29,0 м; ширина – 113,0 м; площадь – 3277,0 м^2; мощность - 1,5 м; объём - 4915,5,0 м^3; оползень сложен глинами, суглинками с включениями обломков разной величины серых базальтов и других литологических разностей техногенного происхождения верхнего миоцена усть-суйфунской свиты (N_1^3us); группа оползней современная, блокового типа. Активность процесса повышается в мае, июле-августе при выпадении большого объема атмосферных осадков. В период повышенной активности возможна активизация эрозионных процессов. Негативного воздействия на автодорогу не отмечалось. Защитные сооружения – отсутствуют. Информация о материальном ущербе, пострадавших людях отсутствует, режим ЧС не объявлялся.		

1	2	3	4	5	6	7	8	9	10	11	12	13	14	15	16
25.2022.1110.0007	Дальневосточный	Приморский край	Уссурийский ГО, с. Глуховка	43,76063	132,08332	43,76063	132,08332	00.04.22	23.05.22	Эо	Гидрогеол., техн., атм.	Не отмечалось	В Уссурийском городском округе, г. Уссурийск на участке 665,03 км объездной дороги А-370 «Уссури» отмечалась активизация процесса овражной эрозии. Период активизации – май 2022 г, процесс овражной эрозии в стадии развития; базис развития – автодорога; морфометрические показатели: длина - 62,0 м; ширина – 757,0 м; площадь – 46934,0 м^2; в зоне распространения процесса овражной эроии склоновая поверхность сложена глинами, суглинками с включениями обломков разной величины серых базальтов и других литологических разностей техногенного происхождения верхнего миоцена усть-суйфунской свиты (N_1^3us); Активность процесса повышается в апреле-мае (во время снеготаяния), июле-августе при выпадении большого объема атмосферных осадков. В период повышенной активности возможна активизация оползневого процесса. Негативного воздействия на автодорогу не отмечалось. Защитные сооружения – отсутствуют. Информация о материальном ущербе, пострадавших людях отсутствует, режим ЧС не объявлялся.		
25.2022.1110.0008	Дальневосточный	Приморский край	Уссурийский ГО, с. Глуховка	43,83963	132,09696	43,83963	132,09696	00.04.22	23.05.22	Эо	Техн., атм.	Не отмечалось	В Уссурийском городском округе, г. Уссурийск на участке 653,3 км объездной автодороги А-370 «Уссури» в 82 м от автодороги отмечалась активизация процесса овражной эрозии. Период активизации – май 2022 г, процесс овражной эрозии в стадии развития; базис развития – тальвег овражной балки; морфометрические показатели: длина - 50,0 м; ширина по верху – 7,5 м; глубина эрозионного вреза - 1,5 м; в зоне распространения процесса овражной эроии склоновая поверхность сложена глинами, суглинками с включениями обломков разной величины серых базальтов и других литологических разностей техногенного происхождения верхнего миоцена усть-суйфунской свиты (N_1^3us). Активность процесса повышается в апреле-мае (в период снеготаяния) и в июле-августе при выпадении большого объема атмосферных осадков. Негативного воздействия на ЛЭП и автодорогу не отмечалось. Защитные сооружения – отсутствуют. Информация о материальном ущербе, пострадавших людях отсутствует, режим ЧС не объявлялся.		
25.2022.1110.0009	Дальневосточный	Приморский край	Кавалеровский район, с. Высокогорск	44,35747	135,31390	44,35747	135,31390	00.04.22	24.05.22	Ос	Техн., атм.	Не отмечалось	В Кавалеровском районе, с. Высокогорск на пункте наблюдения Высокогорский отмечалась активизация осыпного процесса. Период активизации – май 2022 г, осыпной процесс в стадии развития; базис развития – левый берег р. Высокогорская; морфометрические показатели: длина – 15,5 м, ширина – 112,0 м, площадь – 1736,0 м^2, мощность – 2,0 м, объём – 3472,0 м^3. Осыпной шлейф представлен щебнем туфы андезитов, алевролиты, песчаники таухинской свиты (K_1b-v); Активность процесса повышается в апреле при снеготаянии и повышении температур воздуха, в июле-августе при выпадении большого объема атмосферных осадков. В период повышенной активности возможна активизация оползневого процесса. Негативного воздействия на автодорогу не отмечалось. Защитные сооружения – отсутствуют. Информация о материальном ущербе, пострадавших людях отсутствует, режим ЧС не объявлялся.		

1	2	3	4	5	6	7	8	9	10	11	12	13	14	15	16
25.2022.1110.0010	Дальневосточный	Приморский край	Ольгинский район, с. Новониколаевка	43,789719	135,08000	43,789719	135,080002	00.04.22	25.05.22	Ос	Техн., атм.	Не отмечалось	В Ольгинском районе, с. Новониколаевка на пункте наблюдения «Новониколаевский 1» (Участок 309,5,0 км автодороги Находка-Кавалерово) отмечалась активизация осыпного процесса. Период активизации – май 2022 г, осыпной процесс в стадии развития; базис развития – левый берег р. Аввакумовка; морфометрические показатели: длина – 51,0 м, ширина – 47,0 м, площадь – 2397,0 м², мощность – 1,3 м, объём – 3116,0 м³. Осыпной шлейф представлен щебнем аргиллитов, алевролитов кремнистых, кремнисто-глинистых пород, песчаников, спилитов (J 1-2*)*; Активность процесса повышается в апреле (при снеготаянии), июле-августе (при выпадении большого объема атмосферных осадков). В период повышенной активности возможна активизация оползневого процесса. Негативного воздействия на автодорогу не отмечалось. Защитные сооружения – отсутствуют. Информация о материальном ущербе, пострадавших людях отсутствует, режим ЧС не объявлялся.		
25.2022.0011	Дальневосточный	Приморский край	Чугуевский район, с. Павловка	44,38285	134,25597	44,38285	134,255972	00.04.22	24.05.22	Ос	Техн., атм.	Отмечалось	В Чугуевском районе, с. Павловка на пункте наблюдения «Павловский» (участок 223,6 км автодороги Осиновка-Р. Пристань) отмечалась активизация осыпного процесса. Период активизации – май 2022 г, осыпной процесс в стадии развития; базис развития – левый берег старичного озера, морфометрические показатели: длина – 24,5 м, ширина – 380,0 м, площадь – 9310,0 м², мощность – 2,0 м, объём – 18620,0 м³. Осыпной шлейф представлен глыбами и щебнем алевролитов, конгломератов, песчаников Лужкинской свиты раннего мела (K_1al_{2-3}); степень активности процесса средняя и повышается в апреле (при снеготаянии), июле-августе (при выпадении большого объема атмосферных осадков). Негативное воздействие – осыпание в придорожный кювет скальных пород. Защитные сооружения – отсутствуют. Информация о материальном ущербе, пострадавших людях отсутствует, режим ЧС не объявлялся.		
25.2022.0012	Дальневосточный	Приморский край	Чугуевский район, с. Антоновка	44,36533	134,40947	44,36533	134,409472	00.04.22	24.05.22	Ос	Техн., атм.	Отмечалось	В Чугуевском районе, с. Антоновка на пункт наблюдения «Антоновский» (участок 235,85 км автодороги Осиновка-Р. Пристань) отмечалась активизация осыпного процесса. Период активизации – май 2022 г, осыпной процесс в стадии развития; базис развития – левый берег старичного озера; морфометрические показатели: длина – 20,0 м, ширина – 219,0 м, площадь – 4380,0 м², мощность – 1,3 м, объём – 5694,0 м³. Осыпной шлейф представлен щебнем туфов, игнибритов, реолитов, риодацитов, туфитов, туфопесчаников Приморской серии верхнего мела (K_2pr)*;* Активность процесса повышается в апреле (при снеготаянии), июле-августе (при выпадении большого объема атмосферных осадков). Негативное воздействие – осыпание в придорожный кювет скальных пород. Защитные сооружения – отсутствуют. Информация о материальном ущербе, пострадавших людях отсутствует, режим ЧС не объявлялся.		
27.2022.0001	Дальневосточный	Хабаровский край	Вяземский район, в 146 км автодороги А 370	47,36733	134,55750	47.36732	134.55750	00.00.22	30.06.22	Об-Ос	Техн., атм.	Не отмечалось	В Вяземском районе на придорожных склонах с углом уклона от 60 до 90°, высотой от 10 до 30м участка 146 км автодороги А-370 проложенной среди выветрелых скальных пород мелового возраста (порфиры, сланцы) отмечалась активизация обвально-осыпных процессов. На участке 200 м периодически происходят обвалы и осыпи с образованием осыпных шлейфов и конусов выноса обломочного материала к подножью склона и на полотно автодороги. Базис эрозии подножье склона. Отдельные высыпания с полотна автодороги периодически устраняются дорожными службами. Основные факторы активизации – техногенный (подрезка склона при строительстве автодороги) и климатический. В момент обследования негативных воздействий не зафиксировано.		

1	2	3	4	5	6	7	8	9	10	11	12	13	14	15	16
27.2022.002	Дальневосточный	Хабаровский край	Бикинский район 215 км автодороги А 370	46.85219	134.27977	46.85218	134.27977	00.00.22	30.06.22	Эп	Техн., атм.	Не отмечалось	На участке 215 км автодороги А-370 в Бикинском районе на придорожном склоне высотой до 15-20м с углом уклона до 60° отмечалась активизация процесса плоскостной эрозии, наблюдается размыв поверхности откоса из суглинисто-супесчанных грунтовых грунтов четвертичного возраста с образованием эрозионных борозд и локальных сплывов к подножью склона длиной до 100,0 м. Базис эрозии подножье склона. Проявление современное. Основные факторы активизации – техногенный (подрезка склона при строительстве автодороги) и климатический. Защитные и укрепляющие сооружения отсутствуют. В момент обследования негативных воздействий не зафиксировано.		
27.2022.003	Дальневосточный	Хабаровский край	Нанайский район, 140 (136) км автодороги Лидога-Ванино	49.26921	138.36801	49.269209	138.36801	00.00.22	30.06.22	ГР	Техн., атм.	Не отмечалось	На участке 140 км автодороги А-376 в Нанайском районе на придорожном склоне высотой до 15-20 м с углом уклона до 60° отмечалась активизация комплекса гравитационно-эрозионных процессов, отмечен размыв поверхности откоса из суглинисто-супесчанных грунтовых грунтов четвертичного возраста с образованием эрозионных борозд и локальных сплывов к подножью склона длиной до 100,0 м. Проявление современное. Освноыне факторы активизации – техногенный (подрезка склона при строительстве автодороги) и климатически. Защитные и укрепляющие сооружения отсутствуют. В момент обследования зафиксировано высыпания обломков на дорожное полотно		
27.2022.004	Дальневосточный	Хабаровский край	Нанайский район, 164 (155) км автодороги Лидога-Ванино	49.27686	138.60728	49.27686	138.60728	00.00.22	30.06.22	Об-Ос	Техн., атм.	Не отмечалось	На участке 164 км автодороги А-376 на придорожном склоне высотой до 30м с уклоном до 60°, сложенном породами юрско-мелового возраста отмечена активизация обвально-осыпных процессов. На участке 200 м периодически происходят осыпи с образованием осыпных шлейфов у подножья склона и выносом осыпного материала на полотно автодороги. Выносы обвально-осыпного материала на полотно автодороги периодически устраняются дорожными службами. Проявление современное. Основные факторы активизации – техногенный (подрезка склона при строительстве автодороги) и климатический. Защитные сооружения отсутствуют. В момент обследования негативного воздействия не отмечено.		
27.2022.005	Дальневосточный	Хабаровский край	Нанайский район, 173 (169) км автодороги Лидога-Ванино	49.25648	138.71062	49.256491	13.71062	00.00.22	30.06.22	Об-Ос	Техн., атм.	Не отмечалось	На участке 173 км автодороги А-376 на придорожном склоне высотой до 30 м с уклоном до 60°, сложенном породами юрско-мелового возраста отмечена активизация обвально-осыпных процессов. На участке 200 м периодически происходят обвалы и осыпи с образованием осыпных шлейфов у подножья склона и выносом осыпного материала на полотно автодороги. Выносы обвально-осыпного материала на полотно автодороги периодически устраняются дорожными службами. Проявление современное. Основные факторы активизации – техногенный (подрезка склона при строительстве автодороги) и климатический. Защитные сооружения отсутствуют. В момент обследования негативного воздействия не отмечено.		

1	2	3	4	5	6	7	8	9	10	11	12	13	14	15	16
27.2022.006	Дальневосточный	Хабаровский край	Ванинский район, 179 (184) км автодороги Лидога-Ванино	49.26176	138.77502	49.261759	138.77502	00.00.22	30.06.22	Ос	Техн., атм.	Не отмечалось	На участке 179 км автодороги А-376 на придорожном склоне высотой до 20 м с уклоном до 60°, сложенном породами юрско-мелового возраста отмечена активизация осыпного процесса. На участке 100 м периодически происходят осыпи с образованием шлейфов у подножья склона и выносом осыпного материала на полотно автодороги. Выносы осыпного материала на полотно автодороги периодически устраняются дорожными службами. Проявление современное Основные факторы активизации – техногенный (подрезка склона при строительстве автодороги) и климатический. Защитные сооружения отсутствуют. В момент обследования негативного воздействия не отмечено.		
27.2022.007	Дальневосточный	Хабаровский край	Ванинский район, 213 (220) км автодороги Лидога-Ванино	49.18264	139.07092	49.18264	49.18264	00.00.21	Не заверши-лась	Ос	Техн., атм.	Не отмечалось	На участке 213 км автодороги А-376 на придорожном склоне высотой до 10-15 м сложенном породами мезозойского возраста отмечена активизация осыпного процесса. На участке 100 м периодически происходят осыпи с образованием осыпных шлейфов у подножья склона и выносом осыпного материала на полотно автодороги. Выносы осыпного материала на полотно автодороги периодически устраняются дорожными службами. Проявление современное. Основные факторы активизации – техногенный (подрезка склона при строительстве автодороги) и климатический. Защитные сооружения отсутствуют. В момент обследования негативного воздействия не отмечено.		
27.2022.008	Дальневосточный	Хабаровский край	Ванинскийрайон, 223 (230) км автодороги Лидога-Ванино	49.17797	139.17383	49.17796	139.173831	00.00.22	30.06.22	Эп	Техн., атм.	Не отмечалось	На участке 223 км на придорожном склоне А 376 высотой до 10 м сложенном супесчаными суглинками с включением щебня из разрушенных пород отмечена активизация процесса плоскостной эрозии. На участке 100 м в результате размыва поверхности откоса атмосферными осадками происходит оползание размываемой массы к подножью. Выносной материал с полотна автодороги периодически устраняются дорожными службами. Проявление современное. Основные факторы активизации – техногенный (подрезка склона при строительстве автодороги) и климатический. Защитные сооружения отсутствуют. В момент обследования негативного воздействия не отмечено.		
27.2022.009	Дальневосточный	Хабаровский край	Ванинский район, 245 (253) км автодороги Лидога-Ванино	49.11961	139.30446	49.11960	139.30446	00.00.22	30.06.22	Об-Ос	Техн., атм.	Не отмечалось	На участке 245 км автодороги А-376 на поверхности придорожного склона из трещиноватых скальных пород юрско-мелового возраста отмечена активизация обвально-осыпных процессов. Высота склона 30 м. На протяжении 1000 м периодически происходят обвалы и осыпи с образованием осыпных шлейфов у подножья склона и выбросом обломочного материала на полотно автодороги. Выносы обвально-осыпного материала на полотно автодороги периодически устраняются дорожными службами. Проявление современное. Основные факторы активизации – техногенный (подрезка склона при строительстве автодороги) и климатический. Защитные сооружения отсутствуют. В момент обследования негативного воздействия не отмечено.		

1	2	3	4	5	6	7	8	9	10	11	12	13	14	15	16
75.2022.0001	Дальневосточный	Забайкальский край	Карымский район, уч. А/дороги Чита-Хабаровск, 70-ый км, правая сторона, в 3,5 км В пгт. Дарасун	51,65694	114,04472	51,65694	114,04471	00.04.22	Не заверши-лась	Оп	Техн., атм.	Отмечалось	В Карымском районе, на уч. а/дороги Чита-Хабаровск, 70 км, в 3,5 км в пгт. Дарасун (пункт наблюдения «Уч. а/дороги Чита-Хабаровск») в апреле 2022 г. отмечена активизация оползневого процесса. Оползневый склон сложен делювиальными четвертичными отложениями (песок, суглинок с включением дресвы и щебня гранитов). Ширина оползня 152 м. На момент обследования оползневой процесс развиваются на склоне южнее и севернее укрепленного посередине участка. Ширина южной части оползня увеличилась от 32 до 46 м. Стенка отрыва покрыта эрозионными бороздами, лишена растительности. Смещение грунта по стенке отрыва до 5,5 м. У бровки уступа трещины бортового отпора шириной до 25 см. Ширина северной части оползня увеличилась от 20 до 52 м. Смещение грунта по стенке отрыва до 4,5 м. Оползневой процесс частично развивается и на закрепленном армированной сеткой участке склона. Факторы активизации: техногенный (подрезка склона), метеорологический (атмосферные осадки, оттаивание сезонно-мерзлого слоя). Кювет дороги длиной 38 м заполнен деляпсием.		
75.2022.0002	Дальневосточный	Забайкальский край	Карымский район, уч. А/дороги Чита-Хабаровск, 70 км, левая сторона, в 3,5 км восточнее пгт. Дарасун	51,6575	114,0462	51,6575	114,0461	00.04.22	Не заверши-лась	Оп	Техн., атм.	Отмечалось	В Карымском районе, на уч. а/дороги Чита-Хабаровск, 70 км в 3,5 км восточнее пгт. Дарасун (пункт наблюдения «Уч. а/дороги Чита-Хабаровск»), отмечалась активизация оползневого процесса. Склон сложен делювиальными четвертичными отложениями (песок, суглинок с включением дресвы и щебня гранитов). Размеры оползня увеличились по ширине от 95 до 116 м, длина 8 м, глубина зоны воздействия 1,2 м. Смещение блоков грунта по стенке отрыва изменяется от 0,5 м до 3,4 м. У бровки склона трещины бортового отпора шириной до 0,2 м. Факторы активизации: техногенный (подрезка склона), метеорологический (атмосферные осадки, оттаивание сезонно-мерзлого слоя). Склон не закреплен. Кювет дороги длиной 120 м заполнен деляпсием.		
75.2022.0003	Дальневосточный	Забайкальский край	Карымский район, уч. А/дороги Чита-Хабаровск, 69 км, правая сторона	51,66513	114,04586	51,66513	114,04585	00.04.22	Не заверши-лась	Оп	Техн., атм.	Отмечалось	В Карымском районе, на уч. а/дороги Чита-Хабаровск, 69 км (пункт наблюдения «Уч. а/дороги Чита-Хабаровск») отмечалась активизация оползневого процесса, оползень шириной – 44 м и длиной – 4 м. Стенка отрыва извилистая. Смещение почвенно-растительного слоя по ней до 3,5 м. Склон сложен делювиальными четвертичными отложениями (песок, суглинок с включением дресвы и щебня гранитов). Факторы активизации: техногенный (подрезка склона), метеорологический (атмосферные осадки, оттаивание сезонно-мерзлого слоя). Склон не закреплен. Кювет дороги длиной 44 м заполнен деляпсием.		

ПРИЛОЖЕНИЕ 3

Фотоматериалы

Северо-западный федеральный округ



Фото 10.2022.0001. Свежее оголение в верхней части оползневого склона на бровке срыва в п. Хийденсельга, Республика Карелия



Фото. 10.2022.0002. Оголение берегового склона у верхней бровки
осыпан обломками строительных материалов, п. Каскесручей, Республика Карелия



Фото 10.2022.0003. Террасированный оползневой склон, местами оголённый, с покосившимися деревьями в п. Каскесручей Прионежского района Республики Карелия



Фото 10.2022.0004. Свежие оползневые массы у подножья берегового склона.
в п. Каскесручей, Республика Карелия

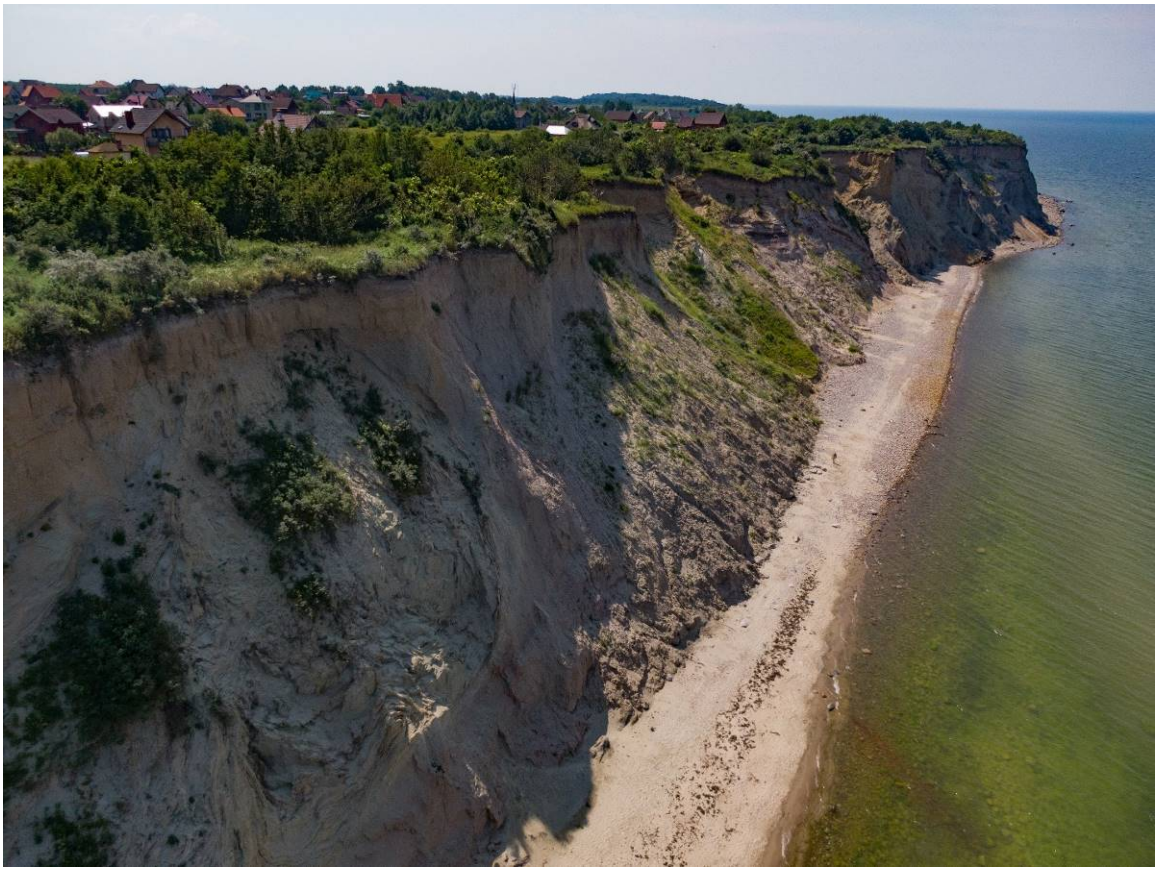

Фото 39.2022.0001. Общий вид оползневого склона в пгт. Донское.

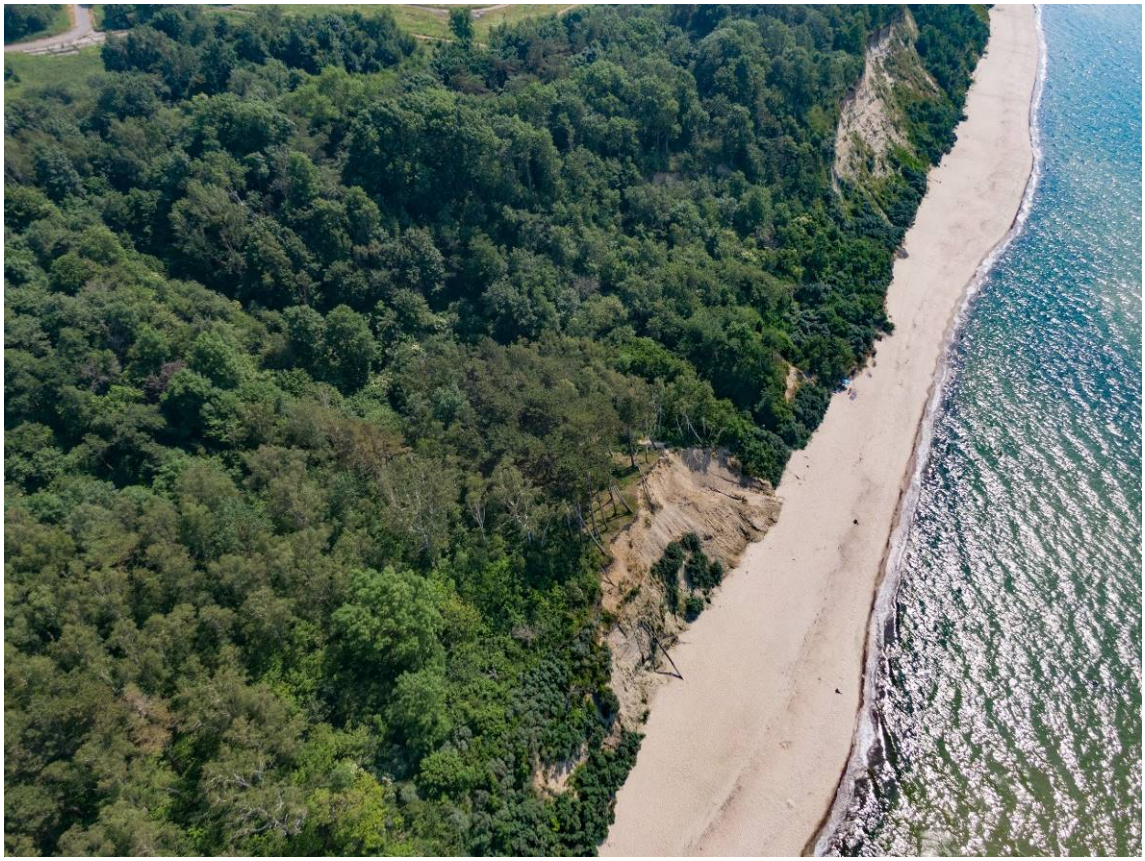

Фото 39.2022.0002. Общий вид оползневого склона на север и на юг в районе д. Маяк.

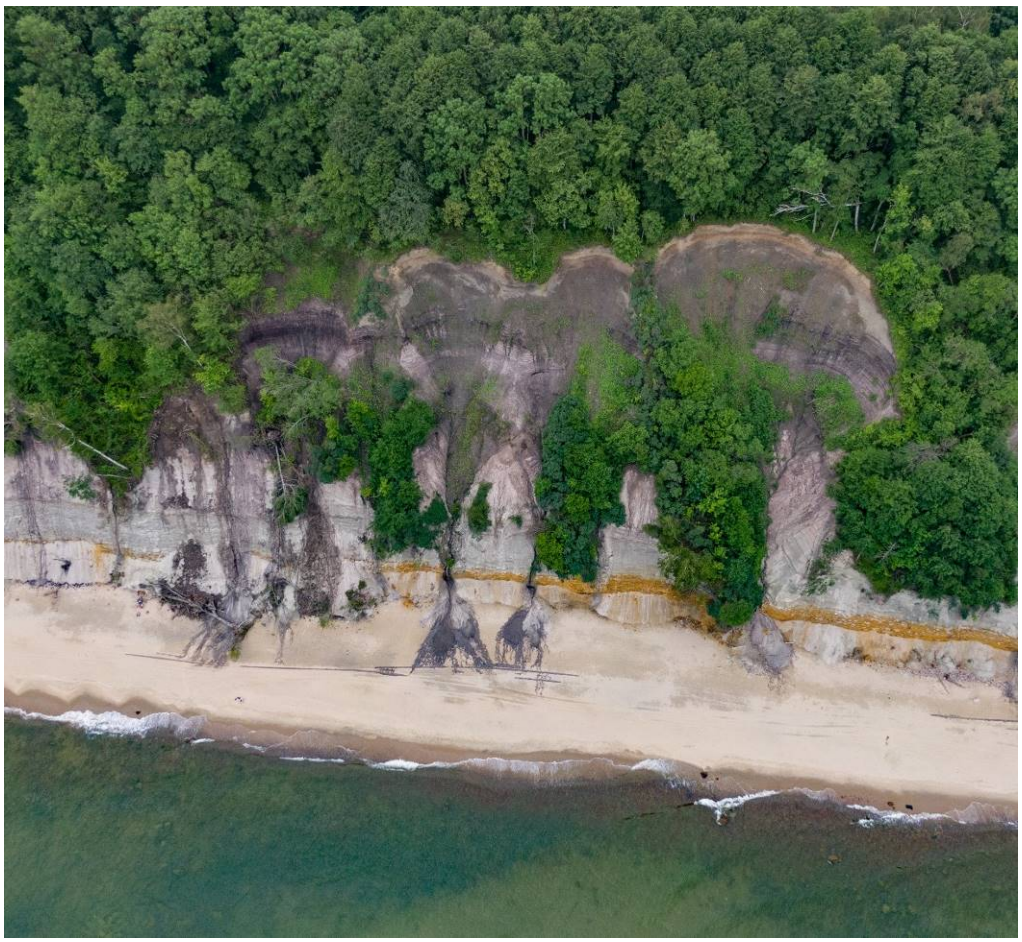

Фото 39.2022.0003. Оползневой цирк, следы промоин и сплывы суглинистых прослоек и глин в п. Приморье,



Фото 47.2022.0004. Бровка отрыва оползневых масс вдоль территории церкви Царя Николая по ул. Зелёная 7А в г. Никольское Тосненского района Ленинградской области



Фото 51.2022.0001. Общий вид оползня, перегородившего Нижне-Ростинское шоссе в г. Мурманск (фото СМИ)



Фото 51.2022.0002. Осыпной склон горы Соловарака с крупными неокатанными валунами расположенный во дворах жилых домов по улице Капитана Миронова в г. Кола.



Фото 51.2022.0003. Активизация оползневого процесса на придорожном склоне вблизи села Териберка Мурманской области. Оползневой склон и вынесенные на проезжую часть оползневые массы



Фото 53.2022.0001. Общий вид оползневого склона на правом берегу у моста через реку Кересть в г. Чудово, Успенского сельского поселения Новгородской области



Фото 53.2022.0002. Развитие оползневого процесса на соседнюю с участком 62 территорию по Мстинской набережной в г. Боровичи Новгородской области



Фото 53.2022.0003. Общий вид на береговой склон (т.н. 1) у д.11 по ул. Северная в д. Устрека Старорусского района Новгородской области



Фото 53.2022.0004. Общий вид на участок оползневого склона и постройки в зоне воздействия процесса вдоль ул. Северная в д. Устрека Старорусского района Новгородской области



Фото 53.2022.0005. Обрушение породы и деформация спусковой лестницы на береговом склоне вдоль ул. Набережная в д. Устрека Старорусского района Новгородской области



Фото 53.2022.0006. Общий вид осыпного участка склона вдоль ул. Озёрная в д. Пустошь Старорусского района Новгородской области



Фото 53.2022.0007. Общий вид участка поражённого склона, представляющий собой оползневой фронт со следами активности процесса в д. Пустошь Старорусского района Новгородской области



Фото 53.2022.0008. Крупный оползневой цирк инсеквентного оползня вблизи д. Пустошь Старорусского района Новгородской области



Фото 53.2022.0009. Подсохшее оползневое тело в нижней части оползневого склона в д. Коростынь Шимского района Новгородской области



Фото 53.2022.0010. Общий вид оползневого участка на Оборонительном валу Окольного города вблизи д. 40 по ул. Черняховского в г. Великий Новгород



Фото 53.2021.0011. Общий вид оползневого участка склона Оборонительного вала Окольного города вблизи д. 38 по ул. Черняховского в г. Великий Новгород



Фото 53.2022.0012. Общий вид оползневого участка в Наговском с/п, д. Ретлё на СЗ вдоль берегового склона оз. Ильмень



Фото 53.2021.0013. Общий вид осыпного участка в Наговском с/п, д. Ретлё на ЮВ вдоль берегового склона оз. Ильмень



Фото 78.2022.0001. Вид на оползневой склон левого берега реки Смоленки вблизи пешеходного Ново-Андреевского моста в Василеостровском районе г. Санкт-Петербурга



Фото 78.2022.0002. Сквозной суффозионный провал с внутренней стороны берегозащитного сооружения у пешеходного Ново-Андреевского моста в Василеостровском районе г. Санкт-Петербурга



Фото 78.2022.0003. Воздействие оползневого процесса на металлическую подпорную стенку и пешеходную набережную возле кладбища Остров Декабристов в Василеостровском районе г. Санкт-Петербурга.



Фото 78.2022.0004. Общий вид оползневой части склона правого берега реки Смоленки у д. 33 по набережной реки Смоленки



Фото 78.2022.00011. Формирование трещин в асфальтном покрытии прогулочной дорожки, скопление строительного мусора на склоне нижней террасы вблизи д. 7 по 6-й Жерновской ул. Красногвардейского района г. Санкт-Петербурга



Фото 78.2022.0012. Деформация склона по направлению к реке в пределах проявления вблизи д. 7по 6-й Жерновской (центральная часть излучины реки Лубья)

Проявление 78.2022.0013



Фото 78.2022.0013. Вид на проявление оползневого процесса у входа на прогулочную придомовую дорожку вблизи д. 7 по 6-й Жерновской ул. Красногвардейского района г. Санкт-Петербурга



Фото 83.2022.0001. Обрушение берега под жилой постройкой; дата съемки 12.06.2022



Фото 83.2022.0002. Оползание заново отсыпанных берегоукрепительных конструкций. 12.06.2022



Фото 83.2022.0003. Развитие дефляции на участке газопровода Василково – Нарьян-Мар, 50,85 км от посёлка Искатели

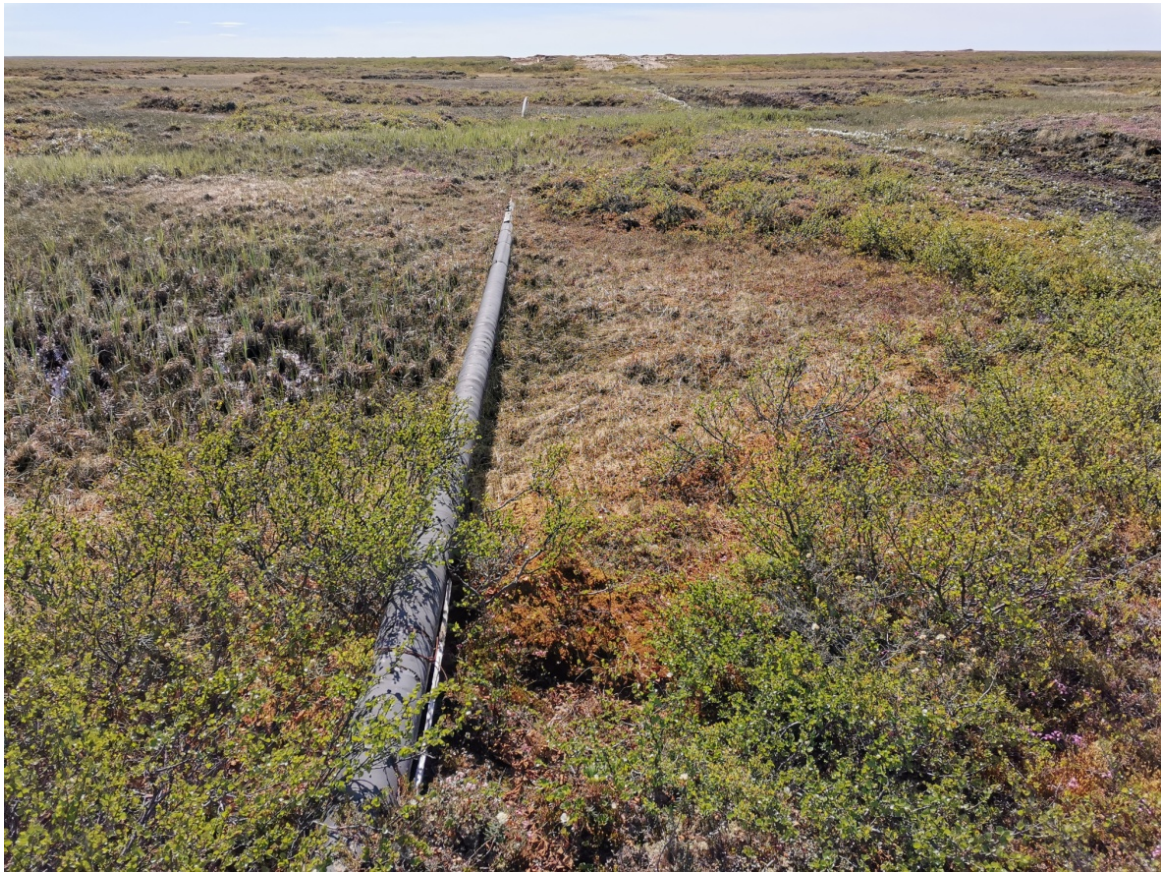

Фото 83.2021.0004. Криогенное пучение, выпучивание фрагмента газопровода Василково – Нарьян-Мар, 48,75 км от посёлка Искатели

Центральный федеральный округ



Фото 32-2022-0002 Оползневой процесс г. Брянск, Советский район, садовое товарищество "Десна" ул. Фабричная д. 45, Брянская область



Фото 32-2022-0003 Оползневой процесс городской парк, Свято-Троицкий Собор, г. Трубчевск, Трубчевский район, Брянская область



Фото 32-2022-0004 Оползневой процесс городской парк, Свято-Троицкий Собор, г. Трубчевск, Трубчевский район, Брянская область



Фото 33-2022-0001 Оползневой процесс, г. Вязники, правый склон долины р. Свистишна, Вязниковский район, Владимирская область



Фото 40-2022-0001 Оползневой процесс с. Ильинское, Козельский район, Калужская область



Фото 44-2022-0002 Оползневой процесс южная окраина с. Завражье, слияние р. Волги и Немды, Кадыйский район, Костромская область



Фото 44-2022-0002 Оползневой процесс с. Сандогора, ул. Центральная, приусадебная территория д. 15, Костромской район, Костромская область



Фото 48-2022-0001 Процесс овражной эрозии склон реки Липовка в парке Победы, г. Липецк, Липецкая область



Фото 48-2022-0002 Процесс овражной эрозии ур. Озерки, в 1,1 км западнее с. Екатериновка, Лебедянский район, Липецкая область



Фото 77-2022-0001 Оползневой процесс правый берег р. Москва, в пределах Филевской излучины, между домом отдыха "Крылатское" на западе и районом бывшего пос. Первомайский, г. Москва,



Фото 77-2022-0002 Оползневой процесс правый берег р. Раменка, восточная часть парка им. 50-летия Октября, г. Москва



Фото 77-2022-0001 Оползневой процесс д. Дроздово, правый берег р. Москвы, ниже по течению от плотины "Трудкоммуны", г.о. Ленинский, Московская область



Фото 66-2022-0001 Оползневой процесс 0,25 км юго-западнее д. Дачная -2, Смоленский район, Смоленская область



Фото 66-2022-0002 Оползневой процесс 0,28 км юго-восточнее д. Соловьево, Смоленский район, Смоленская область



Фото 66-2022-0003 Оползневой процесс вблизи д. Гнёздово, Смоленский район, Смоленская область



Фото 76-2022-0002 Оползневой процесс с. Семеновское, Рыбинский район, Ярославская область



Фото 76-2022-0001 Оползневой процесс д. Демино, Рыбинский район, Ярославская область

Южный федеральный округ



Фото 01.2022.0002. Центральная часть Краснооктябрьского оползня на южной окраине г. Майкоп, в 2 км к северу от пос. Краснооктябрьский, республика Адыгея.



Фото 01.2022.0003. Береговой уступ на левом борту р. Ходзь, пораженный оползневыми процессами. Кошехабльский район, южная окраина а. Ходзь.



Фото 01.2022.0004. Общий вид на оползневое проявление. Кошехабльский район, юго-западная окраина а. Ходзь.



Фото 01.2022.0005. Склон подверженный оползневой активизации на правом борту балки, отделившийся оползневой блок. Кошехабльский район, западная окраина а. Ходзь.



Фото 01.2022.0006. Оползневое проявление на правом борту балки. Оголенные стенки срыва высотой 0,3-0,4 м. Кошехабльский район, западная окраина а. Ходзь.



Фото 01.2022.0007. Левый береговой уступ р. Белая с активизировавшимися ЭГП. Майкопский район, ст. Абадзехская, северо-западная окраина – ул. Шоссейная



Фото 01.2022.0008. Левый фланг оползня, затронутый активизаций. Майкопский район, ст. Абадзехская, в 200 м к северу от ул. Советской, р. Молочка.



Фото 01.2022.0009. В нижней части склона на левом фланге оползневого массива активны обвально-осыпные процессы. Майкопский район, ст-ца. Абадзехская, северная окраина х. Шевченко



Фото 01.2022. 0010.Правый фланг оползня вблизи жилого дома. Активны процессы оползания, отмечается приращение оползня. Майкопский район, южная окраина ст. Абадзехская.



Фото 01.2022. 0011. Правый борт долины р. Белая пораженный обвальными процессами, в подножии свежие коллювиальные вывалы. Майкопский район, п. Табачный. Ул. Короткая 3.



Фото 01.2022. 0012. Вид на тело оползня с противоположного берега. Майкопский район, пос. Краснооктябрьский, ул. Курджипская, Приречная.



Фото 01.2022. 0013. Вид на оползневой массив с противоположного берега. В центральной части язык оползня, вдающийся в реку. Майкопский район, пос. Краснооктябрьский, ул. Набережная.



Фото 01.2022. 0014. Активизировавшийся обвально-осыпной участок уступа на левом берегу р. Белая. Фото с противоположного берега. Майкопский район, пос. Совхозный.



Фото 01.2022. 0015. Общий вид на береговой уступ подверженный оползанию в верхней части. Майкопский район, южная окраина пос. Тульский, правый берег р. Белая.



Фото 01.2022. 0016. Обвалившийся блок грунта в подножии уступа. Обильное высачивание родников. Майкопский район, южная окраина пос. Тульский, левый берег р. Белая.



Фото 01.2022. 0017. В верховом откосе автодороги склон, пораженный обвальными процессами. Майкопский район, участок строящейся автомобильной дороги «с. Черниговское-пос. Дагомыс».



Фото 01.2022. 0018. Участок склона, в верховом откосе автодороги, пораженный обвально-осыпными процессами. Майкопский район, участок строящейся автомобильной дороги «с. Черниговское-пос. Дагомыс».



Фото 01.2022. 0019. Активный обвал в верховом откосе автодороги. Майкопский район, участок строящейся автомобильной дороги «с. Черниговское-пос. Дагомыс».



Фото 01.2022. 0020. Оползневой очаг в низовом откосе автодороги, вблизи подпорной стенки. Поврежденный дорожный отбойник. Майкопский район, участок строящейся автомобильной дороги Гузерипль – плато Лаго-Наки в 14 км к северо-западу от п. Гузерипль.



Фото 01.2022. 0021. Разрушающаяся оползнем асфальтированная площадка. Майкопский район, участок строящейся автомобильной дороги Гузерипль – плато Лаго-Наки в 14,3 км к северо-западу от п. Гузерипль.



Фото 01.2022. 0022. Участок склона на левом борту р. Бзыха подверженный обвально-оползневым процессам в верховом и низовом откосах. Майкопский район, участок строящейся автомобильной дороги Гузерипль – плато Лаго-Наки.



Фото 01.2022. 0023. Участок автодороги подверженный разрушению оползневыми процессами, происходящими на правом борту р. Бызха. Майкопский район, участок строящейся автомобильной дороги Гузерипль – плато Лаго-Наки.



Фото 01.2022. 0024. Деформации и трещины на дорожном полотне на протяжении 50 м. Майкопский район, участок строящейся автомобильной дороги Гузерипль – плато Лаго-Наки.



Фото 01.2022. 0025. Головная часть оползня в верховом откосе. Майкопский район, участок строящейся автомобильной дороги Гузерипль – плато Лаго-Наки.



Фото 01.2022. 0026. Тело оползня в низовом откосе автодороги, вал выпирания, разрушенная подпорная стенка. Майкопский район, участок строящейся автомобильной дороги Гузерипль – плато Лаго-Наки.



Фото 01.2022. 0027. Вид с правого фланга оползня, подпорная стена, опора ЛЭП без деформаций. Майкопский район, участок строящейся автомобильной дороги Гузерипль – плато Лаго-Наки.



Фото 01.2022. 0028. Разрушение автомобильной дороги под воздействием оползневых процессов. Майкопский район, 79-й км автомобильной дороги А159 Майкоп-Гузерипль.

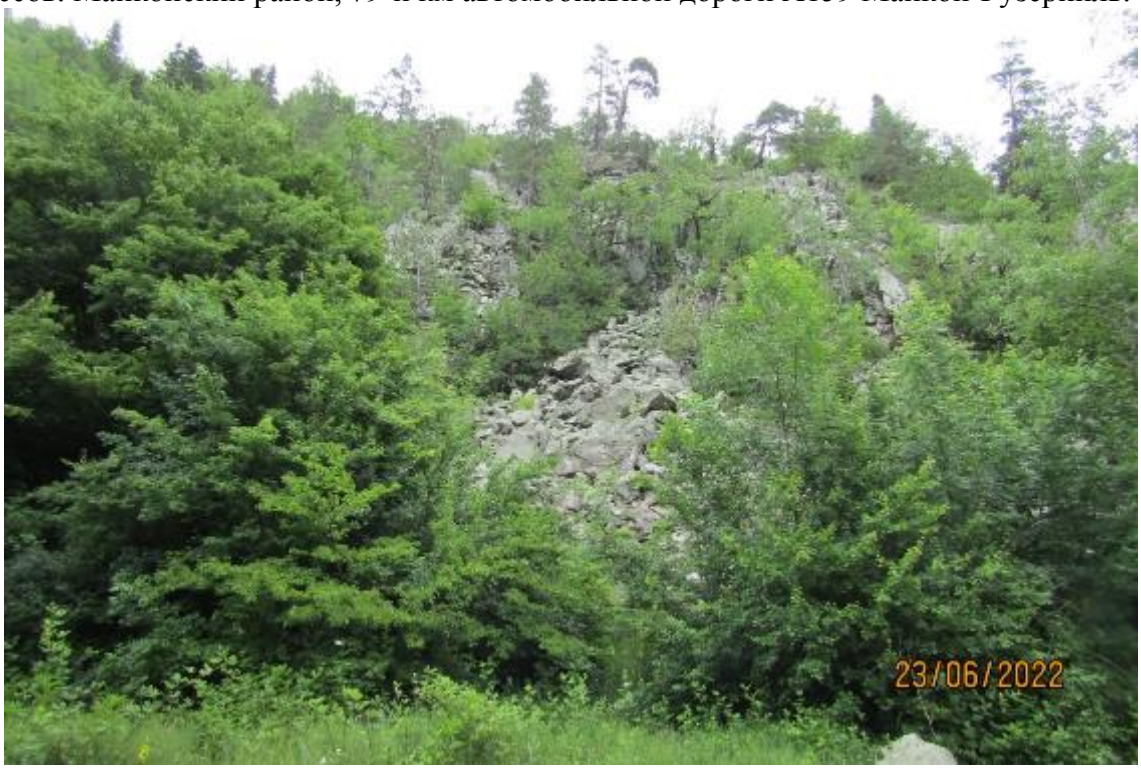

Фото 01.2022. 0029. Обвальный очаг на левом борту долины р. Белая на 84 км дороги А-159. Майкопский район, 84-й км автомобильной дороги А159 Майкоп-Гузерипль.



Фото 01.2022. 0030. Активизация оползневого очага в низовом откосе дороги. Майкопский район, участок автомобильной дороги 79К-187 в 6,5 км к северо-западу от п. Гузерипль.



Фото 01.2022. 0031. Деформации дорожного полотна вследствие активизации оползневых процессов. Майкопский район, участок автомобильной дороги 79К-187 в 7 км к северо-западу от п. Гузерипль.



Фото 01.2022. 0032. Деформация дороги на левом фланге оползневого проявления. Майкопский район, участок автомобильной дороги 79К-187 в 7,4 км к западу от п. Гузерипль.



Фото 01.2022. 0033. Активный обвальный очаг в верховом откосе дороги. Майкопский район, участок автомобильной дороги 79К-187 в 9,1 км к западу от п. Гузерипль.



Фото 01.2022. 0034. Разрушение автомобильной дороги от воздействия оползневых процессов. Майкопский район, участок автомобильной дороги 79К-187 в 9,4 км к западу от п. Гузерипль.



Фото 01.2022. 0035. Оползание делювиальных и коренных отложений в верховом откосе автомобильной дороги. Майкопский район, участок автомобильной дороги 79К-187 в 9,5 км к северо-западу от п. Гузерипль.



Фото 01.2022. 0036. Активизация оползневых процессов на площади около 30 000 м^2. Майкопский район, в 12 км к западу – юго-западу от п. Гузерипль.



Фото 01.2022. 0037. На контакте аргиллитов и известняков развиты активные обвальные процессы. Майкопский район, в 12 км к западу – юго-западу от п. Гузерипль.



Фото 23.2022.0001. Активизация оползневого процесса по ул. Курортный проспект в районе санатория «Зеленая Роща»



Фото 23.2022.0003. Разжиженный деляпсий переползает через подпорную стену в районе многоквартирных домов по ул. Красноармейская, 19 (ул. Цюрупы 32)



Фото 23.2022.0005 Активизация оползневого процесса по ул. Пасечная, 12 (ул. Подгорная, 5)



Фото 23.2022.0008. Активизация оползневого процесса по ул. Санаторная, 59



Фото 23.2022.0009. Оползневое проявление в верховом откосе грунтовой дороги по пути на туристический объект «Ореховские водопады»



Фото 23.2022.0010. Наползание разжиженного деляпсия на частное домовладение в нижней части склона



Фото 23.2022.0011. Языковая часть оползня переваливается через подпорную стену и перекрывает проезжую часть по ул. Лесная в мкр. Блиново



Фото 23.2022.0013. Смещение полотна дороги «Обход Сочи» в результате оползневых подвижек



Фото 23.2022.0014. Активизация оползневого процесса по ул. Пятигорская в МО г. Сочи



Фото 23.2022.0018. Активизация оползневого процесса в районе строящегося здания по ул. Виноградная, 190



Фото 23.2022.0026. Вид на оползневой склон в языковой части по ул. Пластунская



Фото 23.2022.0027. Деформации газовой трубы на склоне в результате оползневых подвижек в районе ул. Известинская, 51, 45, 45А



Фото 23.2022.0029. Активизация блоково-консистентного оползня по ул. Новороссийское шоссе



Фото 23.2022.0031. Языковая часть оползня наползает на жилой дом по ул. Макаренко 8Б/8



Фото 23.2022.0032. Активизация оползневого процесса по ул. Санаторная, 50А



Фото 23.2022.0034. Разрушение участка дороги в с. Ермоловка в 2,5 км к северу от с. Нижняя Шиловка



Фото 23.2022.0040. Активизация оползневого очага над полотном дороги у туннеля «Дублер Курортного проспекта»



Фото 23.2022.0044. Деформация дорожного полотна в результате оползневой активизации при въезде в с. Орел-Изумруд



Фото 23.2022.0046. Новые оползневые деформации на отремонтированной дороге в с. Нижняя Шиловка, квартал «Социализм»



Фото 23.2022.0053. Свежие коллювиальные накопления в подножии обвально-осыпного уступа.



Фото 23.2022.0054. Оползневой очаг вдоль трассы А-147 (139-й км)



Фото 23.2022.0055. Активизация оползневого процесса на правом борту долины р. Детляшко по ул. Бюроканская. Деляпсий увлажнен, подвижен



Фото 23.2022.0056. Активизация оползневого процесса по ул. Холмская в с. Детляжка. Оползневые деформации газовой трубы



Фото 23.2022.0057. Активизация оползневого процесса по ул. Холмская в с. Верхнее Буу. Оползневые деформации и просадки на автомобильном полотне



Фото 23.2022.0058. Оползневой массив на левом берегу р. Буу в стадии захутания. Очаговая активизация на левом фланге



Фото 23.2022.0059. Активизация оползневого процесса по пути к ж/д станции Уч-Дере. Свежие трещины закола в средней части склона



Фото 23.2022.0060. Разрушение местной дороги и смещение секций забора санатория



Фото 23.2022.0061. Активные оползневые процессы, вызванные боковой эрозией р. Восточный Дагомыс по ул. Армавирская



Фото 23.2022.0062. Деформации на дорожном полотне, на правом фланге оползня



Фото 23.2022.0063. Левый фланг оползня, фрагмент подпорной стены, коллювиальные отложения на теле оползня



Фото 23.2022.0064. оползневые деформации, перегиб в рельефе на новом асфальтовом полотне дороги 03К-458



Фото 23.2022.0065. Деформации на асфальтовом полотне дороги 03К-458



Фото 23.2022.0066. Разрушение автодороги по пер. Араратскому



Фото 23.2022.0067. Оползневой рельеф на участке активизации по адресу пер. Араратский, 5



Фото 23.2022.0068. Обрушение обочины дороги и части дорожного полотна в результате активизации оползневого процесса при въезде в с. Разбитый Котел



Фото 23.2022.0069. Активный консистентный оползень в верховом откосе дороги на с. Разбитый Котел



Фото 23.2022.0070. Активизация оползневого процесса по ул. Ломоносовская



Фото 23.2022.0071. Оползневое проявление в верхней части склона на левом борту долины р. Сочи



Фото 23.2022.0072. Оползание делювиальных суглинков на левом борту долины р. Сочи



Фото 23.2022.0073. Активизация оползневого процесса в верховом откосе дороги по ул. Голенева в районе домовладения №17/18



Фото 23.2022.0074. Активизация оползневого процесса на левом борту балки в районе домовладения №27 по ул. Вишневая



Фото 23.2022.0075. Активизация оползневого процесса в верховьях р. Цаныk в СТ Спартак с. Верхний Юрт



Фото 23.2022.0076. Оползание делювиального чехла в верховом откосе дороги в районе эстакады на 10-м километре «Обхода Сочи»



Фото 23.2022.0077. Блоково-консистентный оползень на левом борту долины р. Бзугу по ул. Тепличная в районе квартала Фруктовый



Фото 23.2022.0078. Активное оползневое проявление в верховом откосе дороги на южной окраине с. Богушевка



Фото 23.2022.0079. Трещины отседания на асфальтовом полотне дороги



Фото 23.2022.0080. Активизация оползневого процесса на левом борту долины р. Мацеста в непосредственной близости от жилых многоквартирных домов



Фото 23.2022.0081. Активизация консистентного оползня на левом борту долины р. Мацеста в с. Краевско-Армянское.



Фото 23.2022.0082. Активизация оползневого процесса на левом борту долины р. Мацеста на южной окраине с. Измайловка



Фото 23.2022.0083. Разрушение бетонной дороги в с. Казачий Брод под воздействием оползневых процессов



Фото 23.2022.0084. Активизация консистентного оползня по адресу пер. Аэровокзальный, 22



Фото 23.2022.0085. Деформации асфальтового полотна по ул. Новороссийское шоссе под воздействием оползневого процесса



Фото 23.2022.0086. Трещины растяжения на асфальтовом полотне по ул. Видовая в мкр. Мацестинская долина



Фото 23.2022.0087. Оползневые процессы разрушают асфальтовое полотно по ул. Малый Ахун



Фото 23.2022.0088. Проявление обвального процесса по ул. Дорога на Большой Ахун



Фото 23.2022.0089. Разрушение полосы дороги и низового откоса под воздействием оползневого процесса



Фото 23.2022.0090. Трещины и деформации на автодороге на протяжении 30 м



Фото 23.2022.0091. Консистентный оползень в низовом откосе дороги на Красную Волю



Фото 23.2022.0092. Активизация оползневого процесса на южной окраине с. Красная Воля



Фото 23.2022.0093. Трещины растяжения на дороге на протяжении 10 м



Фото 23.2022.0094. Деформации на автомобильной дороге к югу от с. Калиновое Озеро



Фото 23.2022.0095. Активный оползневой очаг в верховом откосе дороги



Фото 23.2022.0096. Слабоактивный оползневой процесс с деформациями на дорожном полотне



Фото 23.2022.0097. Активизация оползневого процесса сопровождается деформациями дорожного полотна



Фото 23.2022.0098. Перегиб дороги на правом фланге оползневого очага



Фото 23.2022.0099. Свежие оползневые трещины на новом дорожном полотне в с. Калиновое Озеро



Фото 23.2022.0100. Разжиженный деляпсий сползает на автомобильную дорогу



Фото 23.2022.0101. Разрушение низового откоса автомобильной дороги под воздействием оползневого процесса



Фото 23.2022.0102. Разрушение низового откоса автомобильной дороги под воздействием оползневого процесса



Фото 23.2022.0103. Слабоактивный оползневой очаг в верховом откосе дороги по ул. Веринская в СТ Фара



Фото 23.2022.0104. Деформации автомобильного полотна вследствие оползневых подвижек по ул. Чайная на северо-западной окраине с. Вардане-Верино



Фото 23.2022.0105. Оползневая просадка в низовом откосе дороги по автодороге между селами Вардане-Верино и Бестужевское



Фото 23.2022.0106. Оползневая трещина на новом асфальтовом полотне дороги к северу от с. Бестужевское



Фото 23.2022.0107. Активизация оползневого процесса вдоль дороги между селами Бестужевское и Орел-Изумруд



Фото 23.2022.0108. Слабоактивный оползневой очаг по пер. Васильковый в Адлерском районе г. Сочи



Фото 23.2022.0109. Разрушение участка дороги под воздействием оползневых процессов



Фото 23.2022.0110. Разрушение бетонных плит по дороге на с. Ермоловку



Фото 23.2022.0111. Слабоактивное оползневое проявление по дороге между селами Нижняя Шиловка и Ермоловка



Фото 23.2022.0112. Оползневое обнажение в верховом откосе дороги в 3,7 км к северу от с. Нижняя Шиловка



Фото 23.2022.0113. Расхождение бетонных плит дороги по ул. Кропоткинская в районе строения №26 в с. Ахштырь



Фото 23.2022.0114. Деформация дорожного полотна на участке дороги между селами Черешня и Ахштырь



Фото 23.2022.0115. Деформация дорожного полотна на участке дороги на северной окраине с. Черешня



Фото 23.2022.0116. Активизация оползневого очага в верховом откосе дороги



Фото 23.2022.0117. Активизация оползневого очага с деформациями дорожного полотна по ул. Владимировская в с. Черешня



Фото 23.2022.0118. Деформация дорожного полотна по ул. Владимировская в районе домовладения №114А



Фото 23.2022.0119. Активный оползневой очаг выше дороги по ул. Владимировская в районе домовладения №112



Фото 23.2022.0120. Разрушение дорожного полотна в низовом откосе в районе домовладения №1Б по ул. Гомельская с. Черешня



Фото 23.2022.0121. Деформации автомобильного полотна по ул. Миндальная



Фото 23.2022.0122. Активизация на правом фланге оползневого тела по ул. Белых Акаций



Фото 23.2022.0123. Активизация на оползневом склоне затрагивает техногенные насыпные грунты с захватом делювиальных суглинков



Фото 23.2022.0124. Активизация оползневого склона в верховом откосе дороги по ул. Липецкая на южной окраине с. Липники



Фото 23.2022.0125. Активный оползневой очаг на правом берегу р. Мзымты в месте впадения в нее р. Пслух.



Фото 23.2022.0126. Активный оползневой очаг в русле селя №4 при слиянии его с селем №5 в средней части склона.



Фото 23.2022.0127. Активный оползневой очаг в средней части правобережного склона долины р. Мзымта после впадения в нее ручья Пограничного.



Фото 23.2022.0128. Активный оползневой очаг в средней части левобережного склона долины р. Мзымта по ул. Альпийское шоссе.



Фото 23.2022.0129. Активный оползневой очаг в средней части левобережного склона долины р. Мзымта по ул. Альпийское шоссе перед тоннелем «№2 Роза-Хутор».



Фото 23.2022.0130. Активный оползневой очаг в средней части левобережного склона долины р. Мзымта по ул. Альпийское шоссе над тоннелем «№2 Роза-Хутор»



Фото 23.2022.0131. Активный оползневой очаг в верховом откосе ул. Альпийское шоссе в 250 м к юго-западу от тоннеля «№2 Роза-Хутор».



Фото 23.2022.0132. Активный оползневой очаг в верховье селя №2. Деформации дорожных ограждений



Фото 23.2022.0133. Активный оползневой очаг в верховье селя №3.



Фото 23.2022.0134. Активный оползень на левом фланге селя №3, разрушенный короб с коммуникациями



Фото 23.2022.0135. Активизация оползневых процессов на склоне, в верховье селевой долины №4



Фото 23.2022.0136. Правый борт ручья Черного, оползневой склон, деформированная подпорная стенка, деформации на дороге



Фото 23.2022.0137.



Фото 23.2022.0138. Обнаженный оползневой склон с большим углом наклона, в подножии свежий деляпсий



Фото 23.2022.0139. Оползневая деформация на дороге, полотно разбитое трещинами, перегиб по высоте на 30 см



Фото 23.2022.0140. Свежий оползневой очаг в верховом откосе автодороги, в подножии коллювиальные вывалы



Фото 23.2022.0141. Отсевший оползневой блок на петле автодороги, подпорная стена в верховом откосе



Фото 23.2022.0142. В верховом откосе автодороги обвально-оползневой очаг, блоково-консистентного типа. В подножии свежие коллювиальные отложения



Фото 23.2022.0143. Тело оползня в верховом откосе автодороги, разделенное на два потока. В теле оползня поваленные деревья



Фото 23.2022.0144. Обвально-осыпной склон вдоль верхового откоса автодороги



Фото 23.2022.0145. Обвально-оползневой склон со следами свежей осыпной активности. В подножии ранее съехавший блок с произрастающим на нем молодым лесом



Фото 23.2022.0146. Обвально-осыпное проявление в долине реки Чвижепсе



Фото 23.2022.0147. Деформации на автодороге на протяжении 70 м, величина просадки до 20 см



Фото 23.2022.0148. Тело оползня, не задернованное, не увлажненное



Фото 23.2022.0149. Активный оползень, в головной части обнажается стенка срыва, в подножии свежий, разжиженный деляпсий, разрушенная автодорога.



Фото 23.2022.0150. На повороте, в верховом откосе автодороги обвально-осыпное проявление. Осыпаются суглинки с включениями гальки и щебня



Фото 23.2022.0151. Тело оползня на левом борту притока р Мзымта



Фото 23.2022.0152. Оползневые деформации на автодороге. Сильная просадка, Разрывы и трещины на бетонных плитах



Фото 23.2022.0153. Обнажение в верхнем откосе автодороги с активным обвально-осыпным процессом



Фото 23.2022.0154. Активный левый фланг оползня со ступенчатым рельефом, оголенными стенками срыва высотой до 2 м, в подножии склона деляпсий



Фото 23.2022.0155. Левый фланг оползня, стенка срыва, трещины растяжения.



Фото 23.2022.0156. Головная часть оползня, язык оползня, оползневые деформации, переформированный рельеф



Фото 23.2022.0157. Разрушение автомобильной дороги вследствие активизации оползневых процессов на участке трассы М-4 «Дон» (фото из открытых источников СМИ)



Фото 23.2022.0158. Активизация обвального процесса в с. Супсех (фото из открытых источников СМИ)



Фото 23.2022.0159. Активизация оползневого процесса на Лысой Горе в

районе ул. Пятигорская, 90 (фото из открытых источников СМИ)



Фото 23.2022.0162. Активизация оползневого очага в низовом откосе дороги по Новороссийскому шоссе (фото из открытых источников СМИ)



Фото 1. 91.2022.0029. Свежее оползание горной массы.



Фото 2. *91.2022.0032.* В пределах оползневого тела, в головной части оползня образовалась группа «верхних», открытых, крутопадающих простирающихся перпендикулярно к направлению движения оползневых масс трещин.



Фото 3. *91.2022.0032.* Ширина трещин растяжения до 28,0 см.



Фото 4. 91.2022.0038. Свежий срыв. Деформации дорожного полотна.

г. Севастополь



Фото № 67.2022.0002. Средняя часть оползня. Активный оползневой очаг длиной до 8 м вдоль бровки и высотой срыва до 3 м. По сравнению с обследованием в 1 квартале оползневой очаг увеличился вдвое (апрель 2022 г.)



Фото № 67.2022.0003. Разрушение грунтовой автодороги на протяжении 10-15 м, глубина срыва до 2-х м. На участке происходит осадка насыпных грунтов, многочисленные трещины растяжения (1 июня 2022 г.)

Северо-Кавказский федеральный округ



Фото 05.2022.0004. Активизировавшийся оползневой процесс на км 103+400 автодороги "Махачкала-Буйнакск-Леваши-В.Гуниб", в 2,6км юго-западнее с.Кутиша. Левашинский район. Республика Дагестан.



Фото 05.2022.0005. Деформация оползнем полотна автодороги "Махачкала-Буйнакск-Леваши-В.Гуниб" (км 104+600), в 3,1 км юго-западу с.Кутиша. Левашинский район. Республика Дагестан.



Фото 05.2022.0008. Деформация домовладений в пос.Сепараторный (ГО г.Махачкала) в результате активизации оползневого процесса. Республика Дагестан.



Фото 05.2022.0018. Обвально-осыпными массами перекрыто полотно автодороги “Магарамкент-Ахты-Рутул” (км 56), в 2,6 км западнее с.Усухчай. Докузпаринский район. Республика Дагестан. (Фото из открытых источников информации Республики Дагестан)



Фото 05.2022.0027. Обвально-осыпными массами перекрыто полотно автодороги “Магарамкент-Ахты-Рутул” (км 55), в 1,3 км западнее с.Усухчай. Докузпаринский район. Республика Дагестан.



Фото 05.2022.0029. Активизировавшийся обвально-осыпной процесс на км 217 автодороги “ Грозный–Ботлих–Хунзах–Араканская площадка” в 4,3 км юго-восточнее с.Могох. Гергебельский район. Республика Дагестан



Фото 07.2022.0005. Деформация автодороги В.Аул-Хасанья-Герпегеж-Кашхатау в пределах оползня «Дорожный» в 2 км к западу от с. Герпегеж. Кабардино-Балкарская Республика.



Фото 15.2022.0007. Активизация оползня в пределах автодороги Чикола-Мацута (пк 283,5), привела к деформации дорожой полки на интервале 150м и металлического ограждения. Ирафский район. Республика Северная Осетия-Алания.
(Фото АО «Севосетинэкогеомониторинг»).



Фото 15.2022.0032. Обвально-осыпными массами перекрыто полотно дороги в с. В. Бад.. Алагирский район. Республика Северная Осетия-Алания



Фото 20.2022.0013. Активизация оползня привела к деформации полотна дороги с покрытием с.Хажи-Эвла - с. Агишбатой (км 1,51) на интервале 40м, шириной 4м. Веденский район. Чеченская Республика.



Фото 20.2022.0033. Деформация оползневыми подвижками полотна автодороги с.Ведено-с.Белгатой, в 1,46 км к западу от с. Белгатой. Веденский район. Чеченская Республика.



Фото 26.2022.14. В результате смещений оползневых масс в языковой части оползня отмечались деформации нескольких гаражей (ГСК по ул. Свободной), деформации газопровода, ЛЭП. Октябрьский район г. Ставрополь. Ставропольский край.



Фото 26.2022.25. Смещения оползневых масс в низовом откосе реконструируемой дороги от п. Белореченский к верхнему спортивному комплексу ФГБУ «Юг Спорт», г. Кисловодск, Ставропольский край.



Фото 26.2022.27. Активизация нижней части оползневого массива в верховом откосе автодороги п. Белореченский - Верхний спортивный комплекс г. Кисловодск, Ставропольский край.



Фото 26.2022.28 Активизация нижней части оползневого массива в верховом откосе автодороги п. Белореченский - Верхний спортивный комплекс. г. Кисловодск, Ставропольский край.

Приволжский федеральный округ



Фото 02.2022.0002. Вершина верхнего эрозионного уступа (вершина оврага).
Створ №1 «Уфимского косогора». Республика Башкортостан



Фото 02.2022.0003. Вершина среднего эрозионного уступа по левому борту.
Створ №1 «Уфимского косогора». Республика Башкортостан



Фото 02.2022.0004. Карстовое поле. Активная воронка. Створ №2 «Уфимского косогора». Республика Башкортостан



Фото 02.2022.0005. Днище воронки 14/11, активная зона. Сползание пород с деревьями по СЗ склону. Створ №1 «Уфимского косогора». Республика Башкортостан



Фото 02.2022.0006. Карстовая воронка с14/08 с активными понорами под скальным склоном. Створ №1 «Уфимского косогора». Республика Башкортостан



Фото 02.2022.0007 Воронки 14/70-14/72. Осыпание грунта в понор. Створ №1 «Уфимского косогора». Республика Башкортостан



Фото 02.2022.0008 Воронка 14/71. Увеличение параметров воронки за счет приема сточных вод. Рост эрозионных уступов. Створ №1 «Уфимского косогора». Республика Башкортостан



Фото 02.2022.0009. Вершинная часть оврага №1 на участке Пенькозавод. Подмыв и обрушение грунта по левому склону оврага. Республика Башкортостан



Фото 02.2022.0010. Подмыв и обрушение левого склона оврага №3 на участке Пенькозавод. Республика Башкортостан



Фото 12.2022.0002. Развитие овражной эрозии в 14,8 м от опоры ЛЭП у д. Ишли-Пичуш в Моркинском районе. Республика Марий Эл.



Фото 12.2022.0003. Развитие овражной эрозии в 6.75 м от опоры ЛЭП у д. Пертылга Моркинского района. Республика Марий Эл.



Фото 12.2022.0004. Развитие овражной эрозии в 29.7 м от опоры ЛЭП у д. Макаркино
Моркинского района. Республика Марий Эл.



Фото 13.2022.0001. Стенка срыва оползневого цирка в 2,95 м от опоры ЛЭП. 720 м севернее с. Надеждинка, Старошайговский район, Республика Мордовия.



Фото 13.2022.0002. Активизация оползневого процесса в западной части оползневого цирка на перекрестке улиц Матросова и Дючкова, г. Ардатов, Республика Мордовия.



Фото 16.2022.0001 Оползень продолжает разрушать дом 53 по ул. Маринина, г. Чистополь, Чистопольский район, Республика Татарстан



Фото 16.2022.0002 Новый сход оползня на северной части набережной р. Волга пгт. Камское Устье, Камско - Устьинский район, Республика Татарстан



Фото 16.2022.0003 Новый сход оползня на южной части набережной р. Волга. пгт. Камское Устье, Камско-Устьинский район, Республика Татарстан



Фото 16.2022.0004 Оползень скольжения на северной окраине пгт. Камское Устье, Камско – Устьинский район, Республика Татарстан.



Фото 16.2022.0005 Продолжается активизация и развитие правого фланга большого оползня на 3 створе (на волжском склоне) г. Тетюши, Тетюшский район Республика Татарстан



Фото 16.2022.0006 Весенняя активизация оползня скольжения от кромки берегового откоса до уреза воды р. Волга, у мечети, д. Кзыл – Байрак, Верхнеуслонский район, Республика Татарстан



Фото 16.2022.0007 Характерный оползневой тип разрушения берегового откоса участка Кульсеитово, Советский район, г. Казань, Республика Татарстан



Фото 16.2022.0008 Участок весенней активизации оползня у дома 19 по ул. Фрунзе, д. Шланга, Дрожжановский район, Республика Татарстан



Фото 18.2022.0001. Стенка отрыва оползня вязкопластического течения. д. Сухарево, Каракулинский район, Удмуртская Республика



Фото 18.2022.0002. Оползень скольжения в. д. Чеганда, Каракулинский район, Удмуртская Республика



Фото 18.2022.0003. Оползень вязкопластического течения в. д. Гольяны, Завьяловский район, Удмуртская Республика



Фото 18.2022.0004. Оползневая трещина закола в. с. Нылга, Увинский район, Удмуртская Республика



Фото 18.2022.0005. Вершина оврага в. г. Сарапул, Удмуртская Республика



Фото 21.2022.0001. Деформация забора оползнем в г. Чебоксары ул. Семена Ислюкова Республика Чувашская



Фото 21.2022.0002. Оползень по ул. Комсомольская с. Порецкое. Республика Чувашская



Фото 59.2022.0001. Провал №3, опускающиеся под воду гаражи в ГК «Кардан» и автодорожное кольцо (справа внизу), г. Березники, июль 2021 г. Пермский край.



Фото 59.2022.0002. Провал на аварийном участке СКРУ-2, СНТ «Ключики», г. Соликамск, июнь 2022 г. Пермский край.



Фото 52.2022.0001. Ситуационная обстановка в районе оползня, май 2022г., наб. Федоровского, г. Нижний Новгород



Фото 52.2022.0002. Оползень на Волжском склоне, ул. Новая деревня,
г. Нижний Новгород,



Фото 56.2022.0001. Верховье наблюдаемого оврага на участке Булановский-2,
в 1,5 км западнее с. Буланово Октябрьского района Оренбургской области



Фото 56.2022.0002. Верховье отвержка наблюдаемого оврага на участке Тюльганский,
в 1,5 км севернее р.ц. Тюльган Тюльганского района Оренбургской области



Фото 56.2022.0003. Верховье наблюдаемого оврага на участке Спасский-2,
в 1,5 км юго-восточнее с.Спасское Саракташского района Оренбургской области



Фото 56.2022.0004. Обследуемый овраг в 0,1 км восточнее предприятия ООО «Оренбив»,
в 1,5 км западнее с.Черный Отрог Саракташского района Оренбургской области



Фото 58.2022.0002. Активизация оползневого процесса на 1-м отвержке оврага Южный, уч. «Овраг Южный-ул. Мал. Набережная». ЮВ окраина г. Сердобск, Пензенская область



Фото 58.2022.0003. Активизация оползневого процесса на 2-м отвержке оврага Южный, уч. «Овраг Южный-ул. Мал. Набережная». ЮВ окраина г. Сердобск, Пензенская область



Фото 58.2022.0005. Новый оползень-плыв, на левом склоне оврага Южный. ЮВ окраина г. Сердобск, Пензенская область



Фото 63.2021.0001. Разрушенный дом №154 и образовавшаяся трещина сброса по ул.Декабристов, г.Сызрань, Самарская область



Фото 63.2021.0002. Разрушенная грунтовая автодорога и ЛЭП в районе оползня №0078, п. Новокашпирский, г.Сызрань, Самарская область



Фото 63.2022.0003. Провал №0038, образовавшийся рядом с восточным фасадом 1-го подъезда дома №9 по ул. Структурная, г. Самара, Самарская область



Фото 64.2022.0001. Стенка срыва с разрушенными постройками на 9-й Тополином проезде. г. Саратов, Саратовская область



Фото 73.2022.0001. Общий вид оползневого смещения, оползневые срывы, уступы, застои грунтовых вод на ул. Мира, с. Арское, г. Ульяновск, Ульяновская область

Уральский федеральный округ

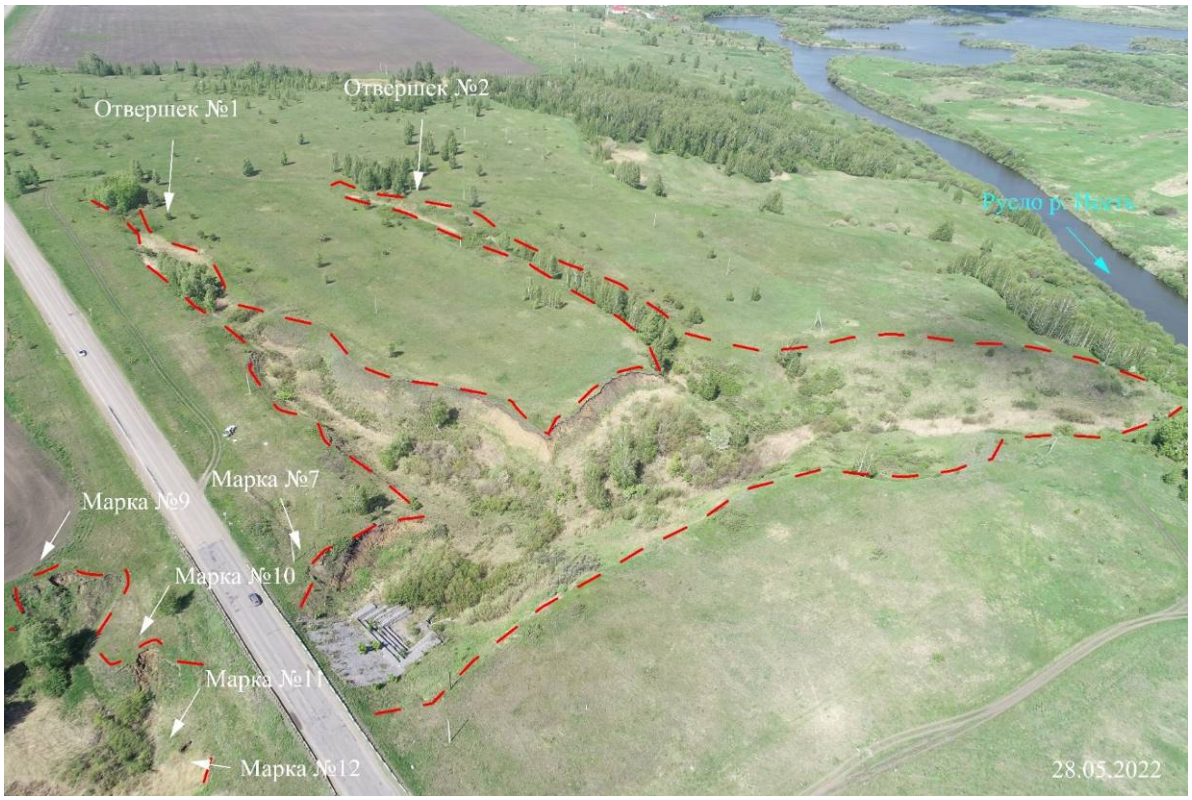

Фото 45.2022.3 (а). Активизация процесса овражной эрозии на Шадринском-1 участка



Фото 66.2022.12. Активизация оползневого процесса на Каменском-1 свежие срывы и заложение новой трещины на южной стенке срыва.

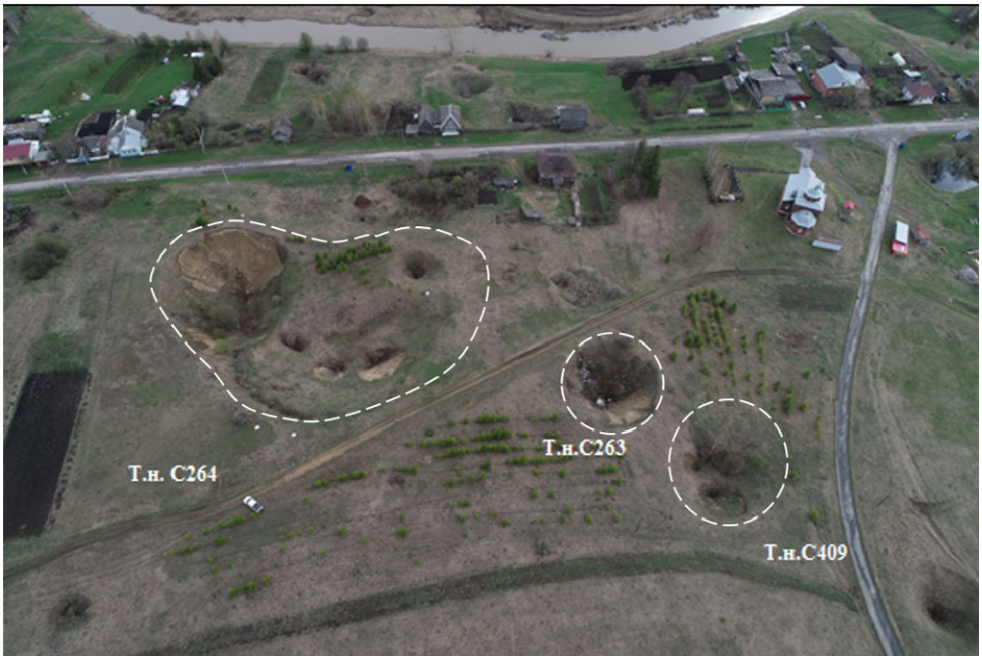

Фото 66.2022.13. Общий вид Красноуфимского (Новое Село) участка активизации карстово-суффозионного процесса



Фото 66.2022.14. Активная воронка в Т.н. С411



Фото 66.2022.15. Активная воронка в Т.н. С263



Фото 66.2022.16. Активизация карстово-суффозионного процесса в Т.н. С264 в северной части воронки



Фото 74.2022.1. Строение оползня по автодороге на ГЛК Аджигардак



Фото 74.2022.2. Вид оползневого участка по ул. Набережная в г. Аша

Сибирский федеральный округ



Фото 04.2022.0003. Надоползневый уступ оползня № 32, окрестности с. Майма, Майминский район, Республика Алтай



Фото 04.2022.0004. С. Кызыл-Озек. В зоне возможного воздействия оползня № 31 –усадьба по ул. Советская, 2. Майминский район, Республика Алтай



Фото 04.2022.0005. Г. Горно-Алтайск, ул. Гагарина, 45. Оползень № 19. Угол ограды усадьбы по ул. Гагарина, 43/2 в 4,93 м от бровки уступа оползня, Республика Алтай



Фото 04.2022.0006. Г. Горно-Алтайск, ул. Черноплодная, 10. Оползень № 28. Разрушение подпорной противооползневой стенки, Республика Алтай



Фото 04.2022.0008. уч. а/дороги Р-256, 0,125 км. Разрушение дорожного полотна, развитие трещин и уступов выше надоползневого уступа оползня № 35. Майминский район, Республика Алтай



Фото 04.2022.0009. Стенка отрыва оползня № 36 высотой 6-8 м, окрестности с. Майма, Майминский район, Республика Алтай



Фото 04.2022.0010. С. Алферово, ул. Центральная, № 1, 1А, 1Б. Жилые дома расположены на языке древнего оползня, испытывающего активизацию. Майминский район, Республика Алтай



Фото 04.2022.0011. Структурный оползень № 38 в стадии зарождения с 2022 г. Уступ высотой до 1,5 м, развивающийся по свежей трещине растяжения. Окрестности с. Майма, Майминский район, Республика Алтай



Фото 04.2022.0012. Участок а/дороги Р-256, 686 км. Обвал, перекрывший Чуйский тракт, произошел 09.05.2022 г. (https://vk.com/altainews?w=wall-19003088_167260)



Фото 17.2022.0001. Осыпной участок автодороги Кызыл – Баян-Кол, 24 км, Кызылский район, Республика Тыва



Фото 17.2022.0002. Активизация гравитационного процесса, с. Элегест, Чеди-Хольский район, Республика Тыва



Фото 17.2022.0003. Вершина оврага на уч. а/дороги Элегест – Усть-Элегест, 4 км, Чеди-Хольский район, Республика Тыва



Фото 17.2022.0004. Развитие процесса овражной эрозии на уч. а/дороги Кызыл – Баян-Кол, Кызылский район, Республика Тыва



Фото 22.2022.0001. Эрозионный оползень на левом береговом склоне долины р. Оби, напротив СНТ «Энергетик», г. Барнаул, Алтайский край



Фото 22.2022.0002. Полигенный оползень на левом береговом склоне долины р. Оби на участке ул. Фабричная, 2-О, г. Барнаул, Алтайский край



Фото 22.2022.0003. Полигенный оползень на левом береговом склоне долины р. Оби на участке пр. Калинина, 122, г. Барнаул, Алтайский край



Фото 22.2022.0004. Оползневые проявления на левом береговом склоне долины р. Оби на участке ул. Квартал 953а, 481а, г. Барнаул, Алтайский край



Фото 22.2022.0005. Полигенный оползень на левом береговом склоне долины р. Оби на участке ул. Квартал 953а, 380, г. Барнаул, Алтайский край



Фото 22.2022.0006. Эрозионный оползень на левом береговом склоне долины р. Оби на участке ул. Квартал 953а, 19, г. Барнаул, Алтайский край



Фото 22.2022.0007. Эрозионный оползень на левом береговом склоне долины р. Оби на участке 9-й Заводской проезд, 40, «Оползневой цирк ЗТУ», г. Барнаул, Алтайский край



Фото 22.2022.0008. Активизация овражной эрозии на склоне надпойменной террасы долины р. Чумыш на ПН Тальменский, овраг № 2, пгт. Тальменка, Тальменский район, Алтайский край



Фото 22.2022.0009. Активизация овражной эрозии на склоне надпойменной террасы долины р. Чумыш на ПН Тальменский, овраг № 3, пгт. Тальменка, Тальменский район, Алтайский край



Фото 22.2022.0010. Активизация овражной эрозии на склоне надпойменной террасы долины р. Чумыш на ПН Тальменский, овраг № 6, пгт. Тальменка, Тальменский район, Алтайский край



Фото 22.2022.0011. Овражная эрозия на надпойменной террасе долины р. Боровлянка на ПН Анисимовский, овраг № 1, с. Анисимово, Тальменский район, Алтайский край



Фото 22.2022.0012. Овражная эрозия на надпойменной террасе долины р. Боровлянка на ПН Анисимовский, овраг № 2, с. Анисимово, Тальменский район, Алтайский край



Фото 22.2022.0013. Овражная эрозия на надпойменной террасе долины р. Боровлянка на ПН Анисимовский, овраг № 3, с. Анисимово, Тальменский район, Алтайский край



Фото 22.2022.0014. Овражная эрозия на надпойменной террасе долины р. Чумыш на ПН Митюшевский, овраг № 1, с. Митюшево, Тальменский район, Алтайский край



Фото 22.2022.0015. Овражная эрозия на надпойменной террасе долины р. Чумыш на ПН Митюшевский, овраг № 2, с. Митюшево, Тальменский район, Алтайский край



Фото 22.2022.0016. Овражная эрозия на надпойменной террасе долины р. Чумыш на ПН Митюшевский, овраг № 3, с. Митюшево Тальменский район, Алтайский край



Фото 22.2022.0017. Овражная эрозия на надпойменной террасе долины р. Чумыш на ПН Новотроицкий-2, овраг № 1, с. Новотроицк, Тальменский район, Алтайский край



Фото 22.2022.0018. Овражная эрозия на надпойменной террасе долины р. Чумыш на ПН Новотроицкий-2, овраг № 2, с. Новотроицк, Тальменский район, Алтайский край



Фото 22.2022.0019. Овражная эрозия на надпойменной террасе долины р. Чумыш на ПН Новотроицкий-2, овраг № 3, с. Новотроицк, Тальменский район, Алтайский край



Фото 22.2022.0020. Овражная эрозия на надпойменной террасе долины р. Чумыш на ПН Новотроицкий-2, овраг № 4, с. Новотроицк, Тальменский район, Алтайский край



Фото 22.2022.0021. Овражная эрозия на надпойменной террасе долины р. Бобровка на ПН Романовский, овраг № 1, с. Романово, Косихинский район, Алтайский край



Фото 22.2022.0022. Овражная эрозия на надпойменной террасе долины р. Бобровка на ПН Романовский, овраг № 2, с. Романово, Косихинский район, Алтайский край



Фото 22.2022.0023. Овражная эрозия на надпойменной террасе долины р. Бобровка на ПН Романовский, овраг № 3, с. Романово, Косихинский район, Алтайский край



Фото 22.2022.0024. Овражная эрозия на надпойменной террасе долины р. Бобровка на ПН Полковниковский, овраг № 1, с. Полковниково, Косихинский район, Алтайский край



Фото 22.2022.0025. Овражная эрозия на надпойменной террасе долины р. Бобровка на ПН Полковниковский, овраг № 2, с. Полковниково, Косихинский район, Алтайский край



Фото 22.2022.0026. Овражная эрозия на надпойменной террасе долины р. Бобровка на ПН Полковниковский, овраг № 3, с. Полковниково, Косихинский район, Алтайский край



Фото 22.2022.0027. Овражная эрозия на поверхности склона долины р. Чесноковка, ПН Новообинцевский, овраг № 1, с. Новообинцево, Шелаболихинский район, Алтайский край



Фото 22.2022.0028. Овражная эрозия на поверхности склона долины р. Чесноковка, ПН Новообинцевский, овраг № 2, с. Новообинцево, Шелаболихинский район, Алтайский край



Фото 22.2022.0029. Овражная эрозия на поверхности склона долины р. Шелаболиха, ПН Новообинцевский, овраг № 3, с. Новообинцево, Шелаболихинский района, Алтайский край



Фото 22.2022.0030. Овражная эрозия на поверхности склона долины р. Шелаболиха, ПН Новообинцевский, овраг № 4, с. Новообинцево, Шелаболихинский район, Алтайский край



Фото 22.2022.0031. Овражная эрозия на поверхности Приобского плато, овраг № 1, с. Белово, Усть-Пристанский район, Алтайский край



Фото 22.2022.0032. Овражная эрозия на поверхности Приобского плато, овраг № 2, с. Белово, Усть-Пристанский район, Алтайский край



Фото 22.2022.0033. Овражная эрозия на поверхности Приобского плато, овраг № 3, с. Белово, Усть-Пристанский район, Алтайский край



Фото 24.2022.0005 Овраг на южной окраине с. Новобирилюссы, Бирилюсский район, Красноярский край



Фото 38.2022.0002. Участок подтопления между ул. Чернышевского и Ленина, г. Тулун, Тулунский район, Иркутская область



Фото 38.2022.0003. Деформация дома по ул. Огородная, 2/1, предместье Радищева, г. Иркутск, Иркутская область



Фото 38.2022.0004. Активный овраг № 2, ПН Бильчир-2, п. Бильчир, Осинский район, Иркутская область



Фото 38.2022.0005. Вершина оврага № 3, ПН Бильчир-2, п. Бильчир, Осинский район, Иркутская область



Фото 38.2022.0006. Активный овраг № 5, ПН Бильчир-2, п. Бильчир, Осинский район, Иркутская область



Фото 38.2022.0007. Овраг № 1 ПН Нукуты, вблизи с. Нукуты, Нукутский район, Иркутская область



Фото 38.2022.0008. Овраг № 2 ПН Нукуты, вблизи с. Нукуты, Нукутский район, Иркутская область



Фото 38.2022.0009. Вершина оврага № 3 ПН Нукуты, вблизи с. Нукуты, Нукутский район, Иркутская область



Фото 38.2022.0010. Активный овраг № 3 ПН Закулей, с. Закулей, Нукутский район, Иркутская область



Фото 38.2022.0011. Активный овраг № 4 ПН Закулей, вблизи с. Закулей, Нукутский район, Иркутская область



Фото 38.2022.0012. Активный овраг № 5 ПН Закулей, с. Закулей, Нукутский район, Иркутская область



Фото 38.2022.0013. Активный овраг № 6 ПН Закулей, вблизи с. Закулей, Нукутский район, Иркутская область



Фото 38.2022.0014. Активный овраг № 7 ПН Закулей, вблизи с. Закулей, Нукутский район, Иркутская область



Фото 38.2022.0015. Активный овраг № 8 ПН Закулей, вблизи с. Закулей, Нукутский район, Иркутская область



Фото 38.2022.0016. Активный овраг № 9 ПН Закулей, вблизи с. Закулей, Нукутский район, Иркутская область



Фото 38.2022.0017. Активный овраг № 10 ПН Закулей, вблизи с. Закулей, Нукутский район, Иркутская область



Фото 38.2022.0018. Активный овраг № 11 ПН Закулей, вблизи с. Закулей, Нукутский район, Иркутская область



Фото 38.2022.0019. Обвально-осыпной склон вблизи п. Жданово, ПН Жданово, Осинский район, Иркутская область



Фото 38.2022.0020. Овраг № 1 на коренном склоне залива Оса вблизи п. Жданово, ПН Жданово, Осинский район, Иркутская область



Фото 38.2022.0021. Разрушение коренного склона залива Оса вблизи п. Жданово, ПН Жданово, Осинский район, Иркутская область



Фото 38.2022.0022. Овраг № 3 на коренном склоне залива Оса вблизи п. Жданово, ПН Жданово, Осинский район, Иркутская область



Фото 38.2022.0023. Овраг № 5 на коренном склоне залива Оса вблизи п. Жданово, ПН Жданово, Осинский район, Иркутская область



Фото 38.2022.0024. Овраг № 10 на коренном склоне залива Оса вблизи п. Жданово, ПН Жданово, Осинский район, Иркутская область



Фото 38.2022.0025. Овраг № 11 на коренном склоне залива Оса вблизи п. Жданово, ПН Жданово, Осинский район, Иркутская область



Фото 38.2022.0026. Овраг № 12 на коренном склоне залива Оса вблизи п. Жданово, ПН Жданово, Осинский район, Иркутская область



Фото 42.2022.00001. Деформация фундамента здания поликлиники в пгт. Яя, Яйский район, Кемеровская область-Кузбасс



Фото 42.2022.00002. Развитие оврага в районе с. Поломошное, Яшкинский район, Кемеровская область-Кузбасс



Фото 42.2022.00003. Разрушаемый уступ в с. Новопестерёво, Гурьевский район, Кемеровская область-Кузбасс



Фото 42.2022.0004. Ул. Щербакова, 1, смотровой колодец, уровень ПВ 0,5 м, г. Белово, Кемеровская область-Кузбасс



Фото 42.2022.0005. Разрушение дома и бани по ул. Школьная, 2 в с. Боровково, Новокузнецкий район, Кемеровская область-Кузбасс



Фото 42.2022.0006. Береговой уступ в пгт. Крапивинский, Крапивинский район, Кемеровская область-Кузбасс



Фото 42.2022.0007. Состояние дренажной канавы по ул. Перспективная в с. Борисово, Крапивинский район, Кемеровская область-Кузбасс



Фото 54.2022.0002. По улице Карла Маркса уровни воды в придорожных канавах находятся на тех же отметках, что и уровни грунтовых вод (около 0,5 м от дневной поверхности). г. Барабинск, Барабинский район, Новосибирская область, 15.04.2022 г.



Фото 54.2022.0003. На пересечении улиц Водосточная и Толбухина уровни воды в придорожных канавах находятся на тех же отметках, что и уровни грунтовых вод (около 0,5 м от дневной поверхности). г. Бердск, Новосибирская область, 21.04.2022 г.



Фото 54.2022.0004. Улица Ленина, 30, 28, уровни воды в придорожных канавах находятся на тех же отметках, что и уровни грунтовых вод. пгт.Мошково, Мошковский район, Новосибирская область, 18.04.2022 г.



Фото 54.2022.0005. По улице Максима Горького уровни воды в придорожных канавах находятся на тех же отметках, что и уровни грунтовых вод (около 0,5 м от дневной поверхности). г. Чулым, Чулымский район, Новосибирская область, 15.04.2022 г.



Фото 54.2022.0008. По улице Фабричная уровни воды в придорожных канавах находятся на тех же отметках, что и уровни грунтовых вод (около 0,5 м от дневной поверхности). пгт. Коченёво, Коченёвский район, Новосибирская область, 18.04.2022 г.



Фото 54.2022.0009. В результате подтопления грунтовыми водами происходит вспучивание грунта и как следствие разрушение асфальтового покрытия по ул. Логовая. с. Лебедевка, Искитимский район, Новосибирская область, 18.05.2022 г.



Фото 54.2022.00012. Активизация гравитационного процесса – осыпание, оползание грунта, образовании свежих стенок отрыва в виде глыб столбчатой структуры. с. Кирза, Ордынский район, Новосибирская область



Фото 54.2022.00013. Образование свежих стенок отрыва площадью 4-6 м^2. с. Кирза, Ордынский район, Новосибирская область



Фото 54.2022.00014. Развивающийся овраг, с. Кирза, Ордынский район, Новосибирская область



Фото 54.2022.00015. Активизация гравитационного процесса берегового уступа высотой 4-6 м – осыпание, оползание, образование свежих стенок отрыва. с. Кирза, Ордынский район, Новосибирская область



Фото 54.2022.00016. Вершина оврага, с. Кирза, Ордынский район, Новосибирская область



Фото 54.2022.00017. Растущий овраг (рост за 5 лет составил 18,3 м), с. Кирза, Ордынский район, Новосибирская область



Фото 55.2022.0001. Проявление овражной эрозии на ПН Омский, окрестности д. Исаковка, Горьковский район, Омская область



Фото 55.2022.0002. Проявление овражной эрозии на ПН Омский, окрестности д. Исаковка, Горьковский район, Омская область



Фото 55.2022.0003. Проявление овражной эрозии на ПН Омский, в 0,52 км З д. Исаковка, Горьковский район, Омская область



Фото 55.2022.0004. Проявление овражной эрозии на ПН Омский, в 0,9 км З д. Исаковка, Горьковский район, Омская область



Фото 55.2022.0005. Проявление овражной эрозии на ПН Омский, в 0,97 км З д. Исаковка, Горьковский район, Омская область



Фото 55.2022.0006. Проявление овражной эрозии на ПН Омский, в 0,7 км З д. Исаковка, Горьковский район, Омская область



Фото 55.2022.0007. Проявление овражной эрозии на ПН Омский, в 0,4 км З д. Исаковка, Горьковский район, Омская область



Фото 55.2022.0008. Проявление овражной эрозии на ПН Омский, д. Исаковка, Горьковский район, Омская область



Фото 55.2022.0009. Проявление овражной эрозии на Горьковском участке, в 2,4 км СВ с. Лежанка, Горьковский район, Омская область



Фото 55.2022.00010. Проявление овражной эрозии на Горьковском участке, в 3,3 км СВ с. Лежанка, Горьковский район, Омская область



Фото 55.2022.00011. Проявление овражной эрозии на Горьковском участке, в 3,6 км СВ с. Лежанка, Горьковский район, Омская область



Фото 55.2022.0012. Подтопление на ул. Павлова, 67, г. Называевск, Называевский район, Омская область



Фото 55.2022.0013. Водоотводный канал на ул. Пролетарская, 45, пгт. Павлоградка, Павлоградский район, Омская область



Фото 55.2022.0014. Участок подтопления на ул. Омская, 77, р.п. Марьяновка, Марьяновский район, Омская область



Фото 55.2022.0015. Участок подтопления на ул. Пушкина, 46, р.п. Москаленки, Москаленский район, Омская область



Фото 70.2022.0001. Гравитационные процессы в с. Зырянское, Зырянский район, Томская область



Фото 70.2022.0002. Гравитационные процессы в с. Красноярка, Зырянский район, Томская область



Фото 70.2022.0003. Гравитационные процессы в с. Чердаты, Зырянский район, Томская область



Фото 70.2022.0004. Гравитационные процессы в с. Первомайское, Первомайский район, Томская область



Фото 70.2022.0005. Гравитационные процессы в с. Городок, Первомайский район, Томская область



Фото 70.2022.0006. Гравитационные процессы в с. Комсомольск, Первомайский район, Томская область



Фото 70.2022.0007. Овражная эрозия в с. Комсомольск, Первомайский район, Томская область



Фото 70.2022.0008. Овражная эрозия в с. Комсомольск, Первомайский район, Томская область



Фото 70.2022.0009. Гравитационные процессы в с. Альмяково, Первомайский район, Томская область



Фото 70.2022.0010. Гравитационные процессы, с. Калтай, район ДОЦ «Энергия», Томская область



Фото 70.2022.0011. Гравитационные процессы в с. Каргасок, Каргасокский район, Томская область



Фото 70.2022.0012. Гравитационные процессы в п. Б. Грива, Каргасокский район, Томская область



Фото 70.2022.0013. Овражная эрозия в п. Б. Грива, Каргасокский район, Томская область



Фото 70.2022.0014. Гравитационные процессы в с. Подгорное, Чаинский район, Томская область

Дальневосточный федеральный округ



Фото 03.2022.0001. Боковые стенки оврага № 1, с. Десятниково, Тарбагатайский район, Республика Бурятия



Фото 03.2022.0002. Общий вид оврага № 2, с. Десятниково, Тарбагатайский район, Республика Бурятия



Фото 03.2022.0003. Отвершки оврага № 3, с. Десятниково, Тарбагатайский район, Республика Бурятия



Фото 03.2022.0004. Развитие оврага в п. Аршан, г. Улан-Удэ, Республика Бурятия



Фото. 25.1110.00001. Участок 37,0 км автодороги Раздольное –Хасан низкая активность оползневого процесса на пункте наблюдения Кравцовский, расположенного в Хасанском районе вблизи с. Кравцовка. По состоянию на 01.06.2022 г (собственное фото).



Фото. 25.1110.00002. Участок 4,0 км автодороги Шкотово-Партизанск, низкая активность оползневого процесса на пункте наблюдения Шкотовский, в Шкотовском районе близи пгт. Шкотово. По состоянию на 26.05.2022 г (собственное фото).



Фото. 25.1110.00003. Участок 268 км автодороги Находка-Кавалерово, низкая степень активности осыпного процесса на пункте наблюдения Горноводный в Ольгинском районе вблизи с. Горноводное. По состоянию на 25.05.2022 г (собственное фото).



Фото. 25.1110.00004. Участок 105 км автодороги Владивосток-Хабаровск, в Уссурийском ГО, вблизи г. Уссурийск. Низкая степень активности оползневого процесса на пункте наблюдения «Уссурийский» с формированием новых оползневых блоков. По состоянию на 23.05.2022 г.



А



Б

Фото. 25.1110.00005. На участке 687,3 км автодороги А 370 «Уссури» Хабаровск-Владивосток на пункте наблюдения «Раздольненский 2» в Надеждинском районе вблизи с. Раздольное отмечена техногенное террасирование оползневых тел. Наблюдалась средняя степень активности оползневых процессов. По состоянию на 23.05.2022 г



Фото 25.1110.00006. На участке 981,1 км автодороги А-370 «Уссури» в Уссурийском ГО вблизи г. Уссурийск. Наблюдалась средняя степень активности оползневых процессов. По состоянию на 23.05.2022 г.



Фото 25.1110.00007. На участке 665,03 км объездной дороги А-370 «Уссури» на придорожной склоновой поверхности наблюдалась низкая активность эрозионного процесса плоскостной (струйчатой) и овражной эрозии. Участок расположен в Уссурийском ГО, вблизи с. Глуховка. По состоянию на 23.05.2022 г.



Фото. 25.1110.00008. На участке 653,3 км объездной автодороги А-370 «Уссури» в 82 м от федеральной трассы в колее просёлочной дороге наблюдалась низкая активность эрозионного процесса. Уссурийский ГО, вблизи г. Уссурийск. По состоянию на 23.05.2022 г.



Фото. 25.1110.00009. На участке 323 км автодороги Осиновка-Р. Пристань низкая активность осыпного процесса с разрушением придорожного склона. Кавалеровский район, вблизи с. Высокогорск. По состоянию на 24.05.2022 г.



Фото. 25.1110.00010. На участке 294,0 км автодороги Находка-Кавалерово пункта наблюдения «Новониколаевский 2» отмечена средняя активность осыпного процесса с высыпанием скального материала на дорожное полотно, Ольгинский район в близи с. Новониколаевка. По состоянию на 25.05.2022 г.



Фото. 25.1110.00011. ***У***часток 223,6 км автодороги Осиновка-Р. Пристань, пункт наблюдения «Павловский», отмечена средняя активность осыпного процесса с высыпанием скального материала на дорожное полотно, Чугуевский район, с. Павловка. По состоянию на 25.05.2022 г.



Фото. 25.1110.00012. ***У***часток 235,85 км автодороги Осиновка-Р. Пристань, пункт наблюдения «Антоновский», отмечена низкая активность осыпного процесса с высыпанием скального материала на дорожное полотно, Чугуевский район, с. Антоновка. По состоянию на 24.05.2022 г.



Фото 27.2022.0001. Конус выноса, обвально-осыпной шлейф на участке 146 км А 370, Вяземский район Хабаровский край, 18.04.2022г.



Фото 27.2022.002. Оползневой склон на участке 215 км А 370, Бикинский район Хабаровский край, 18.04.2022г.



Фото 27.2022.003. Осыпные проявления на участке 140 (136 км) А 376 Нанайский район Хабаровский край, 24.05.2022



Фото 27.2022.004. Осыпное проявление на участке 164 (155) км автодороги Лидога-Ванино, Нанайский район Хабаровский край, 24.05.2022г.



Фото 27.2022.0005. Осыпной шлейф на участке 173 (169) км автодороги Лидога-Ванино, Нанайский район Хабаровский край, 24.05.2022г.



Фото 27.2022.006. Осыпные проявления, промоины на участке 179 (184) км автодороги Лидога-Ванино Ванинский район Хабаровский край 26.05.2022г.



Фото 27.2022.007. Осыпные проявления, промоины на участке 213 (220) км автодороги Лидога-Ванино Ванинский район Хабаровский край 26.05.2022г.



Фото 27.2022.008. Оползающий размываемый склон на участке 230 км автодороги Лидога-Ванино Ванинский район Хабаровский край 26.05.2022г.



Фото 27.2022.009. участок автодороги Лидога-Ванино, развитие осыпных проявлений 253 км Ванинский район Хабаровский край 26.05.2022г.



Фото 75.2022.0001. Оползень на правом откосе уч. а/дороги А-167, 70 км, севернее закрепленного участка склона, Карымский район, Забайкальский край



Фото 75.2022.0002. Развитие оползневых процессов на левом откосе уч. а/ дороги А-167, 70 км, Карымский район, Забайкальский край



Фото 75.2022.0003. Оплывины уч. а/дороги А-167, 69 км, Карымский район, Забайкальский край